



دانشگاه صنعتی شاهرود

دانشکده : فیزیک

گروه : فیزیک ذرات بنیادی

$SU(2)_L \times U(1)_Y$ جرم نوترینو در مدل‌های

دانشجو : حمیدرضا رضازاده

استاد راهنما :

پروفسور علی‌اکبر رجبی

چکیده:

تا مدت‌های زیادی تصور می‌شد نوترینوها ذرات بدون جرم هستند. همین امر سبب آن می‌گشت که این ذرات با دیگر فرمیونهای مدل استاندارد (مانند لپتونهای باردار و کوارکها) که جرم دارند، بسیار متفاوت باشند. در دهه ۵۰ و ۶۰ میلادی چنان باوری به بدون جرم بودن نوترینو وجود داشت که قانون بنیادی برهمکنشهای ضعیف، نظریه V-A، برای جریان باردار ضعیف تا حد زیادی به این امر مربوط می‌گشت^۱. این نظریه بر ناوردایی میدانهای فرمیونی بدون جرم تحت تبدیلات^۲ بنا نهاده شده بود.

در دهه ۹۰ میلادی داده‌های حاصل از نوترینوهای خورشیدی و جوی، گواهی تجربی بر جرم‌دار بودن نوترینو نشان دادند. با این حال فرض جرم‌دار بودن نوترینو و پژوهش پدیدارشناختی آن به حدود دهه ۷۰ میلادی بازمی‌گردد. در دهه ۷۰ و ۸۰ میلادی بررسی‌های بسیاری با فرض جرم‌دار بودن نوترینو بر مبنای نظریه‌های پیمانه‌ای انجام شد.

جرم‌دار بودن نوترینوها سبب شباهت بسیار زیاد آنها به کوارکها شده است. بر همین اساس امکان آمیختگی بین طعمهای مختلف نوترینو و در نتیجه پدیده نوسانات نوترینو وجود دارد. با توجه به صفر بودن جرم نوترینو در مدل استاندارد مهمترین اثر گواههای تجربی مبنی بر جرم‌دار بودن نوترینو آن است که باید به سوی فیزیک ماورای مدل استاندارد برویم.

مدل استاندارد برپایه گروه تقارنی $U(1) \times U_L(2) \times U_C(2)$ شکل گرفته است، و فرمول‌بندی آن به‌گونه‌ای است که نوترینوها در آن بدون جرم می‌باشند. اکنون با وجود گواههای تجربی بسیار زیاد مبنی بر جرم‌دار بودن نوترینو و همچنین دیگر مشکلات مدل استاندارد، مشخص شده است که برای درک این قضایا باید به فیزیک ماورای مدل استاندارد پرداخت. اما پا فراتر گذاشتن از محدوده مدل استاندارد به معنی ان نیست که نمی‌توان از گروههای تقارنی آن استفاده نکرد. مدل استاندارد در پدیده‌شناسی بسیار موفق عمل می‌کند. با همین گروه پیمانه‌ای مدل استاندارد می‌توان مدل‌هایی ایجاد کرد که نوترینوها در آن جرم‌دار باشند. در این پایان‌نامه تلاش بر تعمیم کوچکی بر مدل استاندارد برای توصیف جرم نوترینو بوده است. این تعمیم به صورت درنظر گرفتن امکان وجود نوترینوهای راستگرد و همچنین ماژورانا بودن نوترینو می‌باشد. بر این اساس پدیده آمیختگی نوترینو، نوسانات نوترینو، تقارن

^۱ این نظریه را سودارشان، مارشاک، فایمن و گلمن بنیان نهادند.

CP و نقض آن و امکان واپاشی‌های بتازای دوگانه توضیح داده شده است. در پایان در می‌یابیم که همانند بیشتر مدل‌های ماورای مدل استاندارد با درنظر گرفتن نوترینو به صورت ذره‌ای مازورانا امکان توضیح پدیده‌های مشاهده شده مربوط به آن میسر می‌باشد.

کلید واژه:

۱ - جرم نوترینو،

۲ - گروه $SU(2)_L \times U(1)_Y$

۳ - ناپایستگی عدد لپتونی

فهرست

۱	مقدمه
۲	۱) مدل استاندارد فیزیک ذرات
۵	۱-۱ لاغرانژین الکترووضعیف
۱۱	۱-۲ بر همکنش‌های الکترووضعیف
۱۸	۱-۳ سه نسل لپتونها و کوارکها
۲۱	۱-۴ شکست خودبه‌خود تقارن و سازوکار هیگز
۲۲	۱-۴-۱ مثال برای روش ساختن بحث
۲۳	۲-۴-۱ به دست آوردن جملات جنبشی
۲۴	۳-۴-۱ نکته‌ای درباره یکاهای
۲۴	۴-۴-۱ شکست خودبه‌خود تقارن و جرم
۲۶	۱-۵ سازوکار هیگز در مدل استاندارد
۳۱	۱-۶-۱ جرم فرمیونی و آمیختگی
۳۶	۱-۶-۱ جملات جرمی کوارکها
۴۱	۷-۱ بوزونهای پیمانه‌ای
۴۵	۱-۷-۱ میدان الکترومغناطیسی
۴۷	۲-۷-۱ بوزونهای W , Z

۵۰	۲) آمیختگی سه نسل کوارکها
۵۲	۱- قطربندهای ماتریس جرم
۵۳	۲- پارامترهای فیزیکی در ماتریس آمیختگی کوارکها
۵۵	۳- پارامتریندی ماتریس آمیختگی کوارکها
۵۵	۱-۳- دو نسل کوارکها
۵۷	۲-۳- سه نسل کوارکها
۶۵	۴- جرم تبھگن
۶۷	۵- ماتریس آمیختگی کوارکها با یک عنصر صفر
۶۹	۶- CP نقض
۷۶	۳) جرم نوترینو در مدل‌های $U(1)_Y \times U(2)_L \times U(2)_R$
۷۸	۱-۳) آمیختگی نوترینوهای دیراکی
۷۹	۱-۱-۳) اعداد لپتونی
۸۲	۲-۱-۳) آمیختگی نوترینوهای دیراک
۸۶	۲- ۲) نوترینوهای مازورانا
۸۹	۱-۲-۳) جمله جرمی مازورانا
۹۲	۲-۲-۳) درجه‌های آزادی

۹۴	۳-۲-۳ میدان مژورانای کوانتیزه
۹۵	۴-۲-۳ عدد لپتونی برای نوترینوهای مژورانا
۹۸	۵-۲-۳ تقارن CP برای نوترینوهای مژورانا
۱۰۱	۶-۲-۳ جرم مؤثر مژورانا
۱۰۴	۳-۳ آمیختگی سه نسل نوترینو مژورانا
۱۰۶	۱-۳-۳ برهmekنشهای ضعیف در آمیختگی سه نسل نوترینوی مژورانا
۱۰۸	۲-۳-۳ ناوردایی CP در آمیختگی سه نسل نوترینوی مژورانا
۱۱۰	۳-۳-۳ آمیختگی مؤثر سه نسل نوترینو
۱۱۱	۴-۳ جمله جرمی دیراک- مژورانا برای یک نسل
۱۱۴	۱-۴-۳ احتمال نوسان نوترینو
۱۲۰	۲-۴-۳ برهmekنشهای ضعیف در جمله جرمی دیراک- مژورانا
۱۲۱	۳-۴-۳ ناوردایی CP در جمله جرمی دیراک- مژورانا
۱۲۲	۴-۴-۳ آمیختگی بیشینه
۱۲۳	۵-۴-۳ حد دیراک
۱۲۳	۶-۴-۳ نوترینوهای شبهدیراکی
۱۲۴	۷-۴-۳ سازوکار الکلنگی

- ۱۲۵ ۳-۵ آمیختگی دیراک-ماژورانا در سه نسل
- ۱۲۷ ۳-۵-۱ برهmekنشهای ضعیف برای آمیختگی دیراک-ماژورانا در سه نسل
- ۱۲۸ ۳-۵-۲ سازوکار الکلنجی برای سه نسل نوتربینو
- ۱۲۹ ۳-۶ آمیختگی سه بیشینه برای سه نسل نوتربینو
- ۱۳۱ ۳-۷ آمیختگی N نسل نوتربینو
- ۱۳۵ نتیجه‌گیری کلی
- ۱۳۶ پیوست الف
- ۱۴۲ پیوست ب
- ۱۴۴ پیوست ج
- ۱۴۷ مراجع

مقدمه

در فیزیک امروز گواههای تجربی محکمی مبنی بر نوسانات نوترینوها، بهویژه در نوترینوهای جوی و نوترینوهای خورشیدی وجود دارد. این گواههای تجربی دائر بر وجود جرم و همچنین وجود ماتریس آمیختگی همانند ماتریس آمیختگی CKM در بخش کوارکی مدل استاندارد فیزیک ذرات برای نوترینوها می‌باشد. مطالعه جرم و آمیختگی در بخش لپتونی به همان اندازه بخش کوارکی دارای اهمیت است. اما ویژگیهایی مانند کوچک بودن بیش از حد جرم نوترینوها، نقض عدد لپتونی که شاید به خنثی بودن این ذره مربوط و همچنین ناشی از مازورانا بودن این ذرات باشد، سبب توجه بسیار زیاد به نوترینوها گشته است. جرم‌های مازورانا ممکن است درنتیجه سازوکار الکلنجی به وجود آیند. فیزیک نوترینو مهمترین حوزه فیزیک است که ما را به فیزیک ماورای مدل استاندارد رهنمون می‌سازد.

در این پایان‌نامه در آغاز در فصل نخست به کلیات مدل استاندارد در محدوده برهمنکنشهای الکتروضعیف می‌پردازیم. سعی شده است که جزئیات روابط مورد استفاده و مفید آورده شود، گواینکه در برخی جاهای بهمنظور دوری گزیدن از اطالة کلام از آوردن همه جزئیات و اثبات روابط خودداری شده است.

در فصل دوم به آمیختگی کوارکها در مدل استاندارد و ماتریس CKM می‌پردازیم. بررسی و آگاهی از ماتریس آمیختگی کوارکها برای درک آمیختگی نوترینوها بسیار لازم است. آمیختگی نوترینوهای دیراکی کاملاً همانند کوارکها می‌باشد. همچنین در فصل دوم به ناوردای یارلسکوگ می‌پردازیم که در به دست آوردن احتمال نوسان نوترینوها بسیار مهم می‌باشد.

در فصل پایانی سوم جرم نوترینو را تحت گروهای پیمانهای $U(1) \times U(2)_L \times U(2)_R$ بررسی می‌کنیم. در این فصل با جزئیات کامل جرم نوترینوها را چه در مورد نوترینوی دیراک و چه در مورد نوترینوی مازورانا و همچنین دیراک-مازورانا توصیف می‌کنیم. باور عمومی بر آن است که جرم نوترینو یکی از تظاهرات فیزیک ماورای مدل استاندارد است که خود را در محدوده انرژیهای پایین نشان می‌دهد. در همین راستا کوچک بودن جرم نوترینوها ناشی از فیزیک انرژی بالای جدید و شاید ناشی از اتحاد نیروها دانسته می‌شود. این موضوع در سازوکار الکلنجی توضیح داده می‌شود که در این باره در بخش ۷-۴-۳ بحث می‌کنیم. مدلها و فرضیهای بسیاری درباره منشا جرم نوترینوها و کاربرد سازوکار الکلنجی در آنها بهویژه در چند سال اخیر مطرح شده است. در این پایان‌نامه به آنها نمی‌پردازیم زیرا مستلزم مقدمه مفصلی درباره پایه‌های نظری آنها می‌باشد که بسیار فراتر از چشم‌انداز این پایان‌نامه می‌باشد. افراد علاقه‌مند به موضوع می‌توانند به مراجع [۳۵] و [۵۰] مراجعه کنند.

فصل اول

مدل استاندارد فیزیک ذرات

۱- مدل استاندارد فیزیک ذرات

مدل استاندارد برهمکنش‌های قوی، الکترومغناطیسی و ضعیف بنیادی را با استفاده از نظریه کوانتومی میدان توصیف می‌کند [۱].

نظریه پیمانه‌ای آن بر اساس تقارن موضعی^۱ گروه‌های $U(1) \times U(2) \times U(3)$ و $SU(3)_C \times SU(2)_L \times SU(1)_Y$ می‌باشد. C نشان‌دهنده رنگ، L کایرالیتی چپگرد (ر.ک. پیوسن ج) و Y فوق‌بار ضعیف است.

ذرات واسطه برهمکنش قوی γ گلوبون بدون جرم متناظر با ۸ مولد گروه $SU(3)$ و ذرات واسطه برهمکنش ضعیف سه بوزون پیمانه‌ای جرم‌دار Z^\pm متناظر با سه مولد گروه $SU(2)_L$ و ذرات واسطه برهمکنش الکترومغناطیسی γ بوزون پیمانه‌ای بدون جرم (γ فوتون) متناظر با ۱ مولد گروه $U(1)_Y$ هستند. در مدل استاندارد می‌توان برهمکنش الکترومغناطیسی را جدای از برهمکنش‌های قوی مطالعه کرد. زیرا تقارن گروه رنگ $SU(3)_c$ شکسته نشده است و بین $SU(3)_c$ و $SU(2)_L \times U(1)_Y$ هیچ آمیختگی^۲ وجود ندارد. از طرفی بین بوزون‌های پیمانه‌ای خنثی L و Y ($U(1)_Y$ آمیختگی وجود دارد. (این موضوع را نشان خواهیم داد). بنابراین برهمکنش‌های ضعیف و الکترومغناطیسی را باید با هم مطالعه کرد.

گروه تقارنی مدل استاندارد، برهمکنش‌ها را تثبیت می‌کند. تعداد و ویژگی‌های بوزون‌های پیمانه‌ای خنثی از روی آن تعیین می‌شود. البته سه ثابت جفت‌شدنگی مستقل $U(1)_Y$ و $SU(2)_L$ و $SU(3)_c$ نامشخص می‌ماند که باید از آزمایش مقدار آنها را به دست آورد.

دو نقص عمدۀ مدل استاندارد عبارتند از

- ۱) ۱۹ پارامتر وجود دارد که نمی‌توان آنها را در چهارچوب مدل استاندارد تعیین کرد.
- ۲) شامل گرانش نمی‌شود.

پارامترهایی که مدل استاندارد به آن بستگی دارد:

¹ Local Symmetry

² mixing

بخش فرمیونی مدل استاندارد به ۱۳ پارامتر بستگی دارد.

۶ جرم کوارک

۳ جرم لپتون‌های باردار

← همگی از آزمایش تعیین می‌شوند.

۳ زاویه آمیختگی لپتون‌ها

۱ فاز

بخش پیمانه‌ای ۳ پارامتر (سه ثابت جفت‌شده) دارد [۲].

Strong CP Problem ← 1 QCD parameter

بخش هیگز } جرم هیگز
ثابت جفت شده مرتبه چهارم

۱۹ پارامتر + وجود ۳ خانواده (نسل) + عدم دربرگیری گرانش همه این جنبه‌های نارضایت‌بخش

با هم این نظر را تلقین می‌کنند که مدل استاندارد نظریه نهایی فیزیک ذرات بنیادی نیست بلکه

باید نظریه‌ای مؤثر در انرژی پایین باشد.

از آنجایی که مدل استاندارد نظریه‌ای بازبین‌جارپذیر^۱ است، تصحیحات کوانتومی آن نسبت به فیزیک

ماورای مدل استاندارد، غیر حساس می‌باشد. به همین دلیل مدل استاندارد در پدیده‌شناسی بسیار

موفق است و تقریباً همه پدیده‌های شناخته شده، بجز نوسانات نوترینو و مسائل مربوط به آن را می-

تواند توصیف کند.

در تجربه هم برهمکنش‌های مدل استاندارد نوترینو تایید شده‌اند. این برهمکنش‌ها در تحلیل داده-

های نوترینو به کار می‌روند. البته ویژگی‌های مدل استاندارد نوترینو پیامد مهم اخترفیزیک و کیهان-

شناسی می‌باشد.

^۱ renormalizable

۱-۱ لاغرانژی الکترووضعیف

در این بخش می‌خواهیم به بخش الکترووضعیف لاغرانژی مدل استاندارد بپردازیم. بخش الکترووضعیف مدل استاندارد، برهمکنش‌های نوترینو را در مدل استاندارد توصیف می‌کند. بدین منظور کافیست تنها $SU(2)_L \times U(1)_Y$ از گروه تقارنی مدل استاندارد را در نظر بگیریم.

گروه $SU(2)_L$ را ایزواسپین ضعیف می‌گویند. زیروند L به این معناست که عناصر این گروه فقط بر مولفه‌های کایرال چپگرد میدان‌های فرمیونی اثر می‌کنند. (مولفه‌های راستگرد کایرال تحت تبدیلات ایزواسپین ضعیف، یکتایی^۱ هستند).

این گروه سه مولد دارد.

$$I_a, \quad (a=1,2,3) \quad (1-1)$$

که در رابطه جابجایی زیر صدق می‌کند.

$$[I_a, I_b] = i \epsilon_{abc} I_c \quad (2-1)$$

ϵ تانسور تماماً پادمتقارن است. در رابطه (2-1) ویژگی غیرآبلی^۲ گروه $SU(2)$ نشان داده می‌شود. مثلاً در نمایش دو بعدی، $I_a = \frac{\tau_a}{2}$ هستند که τ_a ماتریس‌های پائولی می‌باشند. (به این دلیل از τ_a به جای σ_a برای نمایش ماتریس پائولی استفاده کردیم که با عملگرهای اسپین اشتباه نشوند).

با ثابت‌های دلخواه c_a منجر به آن می‌شود که رابطه جابجایی (2-1) برقرار نباشد. یعنی عمل مولد در هر نمایشی یکتاست.

گروه $U(1)_Y$ را فوقبار^۳ می‌گویند. این گروه با عملگر فوقبار Y تولید می‌شود.

¹ singlet

² non-Abelian

³ این واژه را برابر Hypercharge برگزیدیم، در مقابل supercharge (ابربار) که در نظریه‌های ابرتقارنی سبب تبدیل فرمیون به بوزون و بالعکس می‌شود.

رابطه گلمن- نیشیجیما^۱

$$Q = I_{\tau} + \frac{Y}{\gamma} \quad \text{رابطه Gell-Mann - Nishijima} \quad (3-1)$$

این رابطه از آنجا لازم است که عمل عملگر فوق‌بار را بر روی میدان‌های فرمیونی تثبیت می‌کند.

رابطه گلمن- نیشیجیما بر اتحاد برهمنکنش‌های ضعیف و الکترومغناطیسی دلالت دارد. برای

برقرار بودن ناوردایی پیمانه‌ای موضعی سه بوزون پیمانه‌ای برداری ($a = 1, 2, 3$) مربوط به سه

مولد ($a = 1, 2, 3$) گروه $SU(2)_L$ و یک میدان بوزونی پیمانه‌ای برداری B^μ مربوط به تنها

مولد گروه $U(1)_Y$ را معرفی می‌کنیم. همچنین به جای مشتق معمولی ∂_μ مشتق هموردا D_μ را قرار

می‌دهیم.

$$D_\mu = \partial_\mu + i g \underline{A}_\mu \cdot \underline{I} + i g' B_\mu^Y \not{v} \quad (4-1)$$

$$\underline{I} \equiv (I_1, I_2, I_3) \quad , \quad \underline{A}^\mu \equiv (A_1^\mu, A_2^\mu, A_3^\mu)$$

$$A^\mu \cdot \underline{I} \equiv \sum_a A_a^\mu I_a \quad (5-1)$$

در رابطه (4-1) g ثابت جفت‌شدگی برهمنکنش ضعیف گروه $SU(2)_L$ و g' ثابت جفت‌شدگی گروه $U(1)_Y$ می‌باشد.

مولفه‌های کایرال چپگرد میدان‌های فرمیونی در دوگانه‌های ایزواسپینی ضعیف^۲ گروه‌بندی می‌شوند.

برای سادگی تنها نسل اول لپتونها و کوارکها را در نظر می‌گیریم.

$$L_L = \begin{pmatrix} v_{e_L} \\ e_L \end{pmatrix} \quad Q_L = \begin{pmatrix} u_L \\ d_L \end{pmatrix} \quad (6-1)$$

$$\underline{I} L_L = \frac{\tau}{\gamma} L_L \quad \underline{I} Q_L = \frac{\tau}{\gamma} Q_L \quad (7-1)$$

¹ Gell-Mann-Nishijima

² Weak isoispin doublets

$$\begin{aligned}
\underline{I} L_L &= \left(\frac{\tau_1}{\gamma} + \frac{\tau_2}{\gamma} + \frac{\tau_3}{\gamma} \right) L_L = \frac{\underline{\tau}}{\gamma} L_L \quad \underline{\tau} = (\tau_1, \tau_2, \tau_3) \\
Q = I_3 + \frac{Y}{\gamma} &= \frac{\tau_3}{\gamma} + \frac{Y}{\gamma} \quad Q L_L = (\text{مقدار بار}) L_L \quad (8-1) \\
I_3 = \frac{\tau_3}{\gamma} &= \frac{1}{\gamma} \begin{pmatrix} 1 & 0 \\ 0 & -1 \end{pmatrix} \quad I_3 L_L = \frac{1}{\gamma} \begin{pmatrix} 1 & 0 \\ 0 & -1 \end{pmatrix} \begin{pmatrix} v_{e_L} \\ e_L \end{pmatrix} = \frac{1}{\gamma} \begin{pmatrix} v_{e_L} \\ -e_L \end{pmatrix}
\end{aligned}$$

نوترینو ذره بدون بار است. پس با اعمال Q باید ویژه مقدار صفر برای v_{e_L} و (-1) برای e_L به دست آید.

$$\begin{cases} Q L_L = Q \begin{pmatrix} v_{e_L} \\ e_L \end{pmatrix} = \begin{pmatrix} 0 \\ -e_L \end{pmatrix} \Rightarrow I_3 L_L + \frac{Y}{\gamma} L_L = \begin{pmatrix} 0 \\ -e_L \end{pmatrix} \Rightarrow \\ Q = I_3 + \frac{Y}{\gamma} \\ \frac{1}{\gamma} \begin{pmatrix} v_{e_L} \\ -e_L \end{pmatrix} + \frac{Y}{\gamma} \begin{pmatrix} v_{e_L} \\ e_L \end{pmatrix} = \begin{pmatrix} 0 \\ -e_L \end{pmatrix} \Rightarrow \frac{Y}{\gamma} \begin{pmatrix} v_{e_L} \\ e_L \end{pmatrix} = -\frac{1}{\gamma} \begin{pmatrix} v_{e_L} \\ e_L \end{pmatrix} \\ Y \begin{pmatrix} v_{e_L} \\ e_L \end{pmatrix} = - \begin{pmatrix} v_{e_L} \\ e_L \end{pmatrix} \Rightarrow Y L_L = -L_L \quad Y Q_L = \frac{1}{\gamma} Q_L \end{cases} \quad (9-1)$$

عناصر گروه موضعی تبدیلات $SU(2)_L \times U(1)_Y$ را با $3+1$ پارامتر، پارامتر بنده می‌کنیم.

$$(\underline{\theta}(x), \eta(x)) \quad , \quad \underline{\theta}(x) = (\theta_1(x), \theta_2(x), \theta_3(x)) \quad (10-1)$$

که به مختصات فضا زمان x بستگی دارد.

$$g(\underline{\theta}(x), \eta(x)) \in SU(2)_L \times U(1)_Y \quad (11-1)$$

نمایش یکانی $(\underline{\theta}(x), \eta(x))$ در فضای برداری میدان‌ها به صورت زیر است.

$$\begin{aligned}
U(\underline{\theta}(x), \eta(x)) &= e^{i \underline{\theta}(x) \cdot \underline{L} + i \eta(x) \frac{Y}{\gamma}} = U(\underline{\theta}(x)) U(\eta(x)) \\
U(\underline{\theta}(x)) &= e^{i \underline{\theta}(x) \cdot \underline{L}} \quad U(\eta(x)) = e^{i \eta(x) \frac{Y}{\gamma}}
\end{aligned} \quad (12-1)$$

تبديل دوگانه‌های فرمیونی چپگرد تحت $g(\underline{\theta}(x), \eta(x))$ به شکل زیر می‌باشد.

$$\begin{aligned}
L_L &\xrightarrow{g(\underline{\theta}(x), \eta(x))} L'_L = U(\underline{\theta}(x), \eta(x)) L_L = U_L^l(\underline{\theta}(x), \eta(x)) L_L \\
Q_L &\xrightarrow{g(\underline{\theta}(x), \eta(x))} Q'_L = U(\underline{\theta}(x), \eta(x)) Q_L = U_L^q(\underline{\theta}(x), \eta(x)) Q_L
\end{aligned} \quad (13-1)$$

$$\begin{aligned} U_L^l(\underline{\theta}(x), \eta(x)) &= e^{\frac{i}{\tau} \underline{\theta}(x) \cdot \underline{L} - \frac{i}{\tau} \eta(x)} \\ U_L^q(\underline{\theta}(x), \eta(x)) &= e^{\frac{i}{\tau} \underline{\theta}(x) \cdot \underline{L} + \frac{i}{\tau} \eta(x)} \end{aligned} \quad (14-1)$$

در مدل استاندارد فرض می‌شود که نوترینوی راستگرد وجود ندارد تا نوترینوها بدون جرم باقی بمانند.

دیگر فرمیون‌های راستگرد در نسل اول عبارتند از

$$e_R, u_R, d_R \quad (15-1)$$

که تحت تبدیلات گروه ایزواسپین ضعیف، یکتایی هستند.

$$I f_R = \circ (f = e, u, d) \quad (16-1)$$

با استفاده از رابطه گلمن – نیشیجیما (۳-۱)،

$$\begin{aligned} Q d_R &= -\frac{1}{\tau} d_R \quad Q u_R = \frac{1}{\tau} u_R \\ Q = I + \frac{Y}{\tau} \xrightarrow{I f_R = \circ} Q f_R &= \frac{Y}{\tau} f_R \Rightarrow Y \begin{pmatrix} u_R \\ d_R \end{pmatrix} = Q \begin{pmatrix} u_R \\ d_R \end{pmatrix} = \begin{pmatrix} \frac{1}{\tau} u_R \\ -\frac{1}{\tau} d_R \end{pmatrix} \end{aligned} \quad (17-1)$$

به همین ترتیب

$$Y e_R = -\gamma e_R, \quad Y u_R = \frac{1}{\tau} u_R, \quad Y d_R = -\frac{1}{\tau} d_R \quad (18-1)$$

مولفه‌های راستگرد تحت تبدیلات (۱۱-۱) به صورت زیر در می‌آیند.

$$\begin{aligned} U(\underline{\theta}(x), \eta(x)) \begin{pmatrix} u_R \\ d_R \end{pmatrix} &= e^{i \underline{\theta}(x) \cdot \underline{L} + i \eta(x) \frac{Y}{\tau}} \begin{pmatrix} u_R \\ d_R \end{pmatrix} \\ U(\underline{\theta}(x), \eta(x)) \begin{pmatrix} u_R \\ d_R \end{pmatrix} &= e^{i \eta(x) \frac{Y}{\tau}} \begin{pmatrix} u_R \\ d_R \end{pmatrix} = \begin{pmatrix} e^{i \frac{Y}{\tau} \eta(x)} u_R \\ e^{-i \frac{Y}{\tau} \eta(x)} d_R \end{pmatrix} \end{aligned} \quad (19-1)$$

$$f_R \xrightarrow{g(\underline{\theta}(x), \eta(x))} f'_R = U(\underline{\theta}(x), \eta(x)) f_R = U_R^f(\eta(x)) f_R \quad (f = e, u, d)$$

$$U_R^e(\eta(x)) = e^{-i \eta(x)}, \quad U_R^u(\eta(x)) = e^{\frac{Y}{\tau} i \eta(x)}, \quad U_R^d(\eta(x)) = e^{-\frac{Y}{\tau} i \eta(x)}$$

جدول (۱-۱): ویژه مقادیر ایزواسپین ضعیف I ، و مولفه سوم آن I_3 ، و فوق بار Y ، و بار $Q = I_3 + \frac{Y}{2}$ بر دوگانه ها و

یگانه های فرمیونی

I	I_3	Y	Q		
$\frac{1}{2}$	$\begin{pmatrix} \frac{1}{2} \\ -\frac{1}{2} \end{pmatrix}$	-۱	$\begin{pmatrix} 0 \\ -1 \end{pmatrix}$	$L_L = \begin{pmatrix} e_L \\ e_L \end{pmatrix}$	دوگانه لپتونی
۰	۰	-۲	-۱	e_R	یگانه لپتونی
$\frac{1}{2}$	$\begin{pmatrix} \frac{1}{2} \\ -\frac{1}{2} \end{pmatrix}$	$\frac{1}{3}$	$\begin{pmatrix} \frac{2}{3} \\ -\frac{1}{3} \end{pmatrix}$	$Q_L = \begin{pmatrix} u_L \\ d_L \end{pmatrix}$	دوگانه کوارکی
۰	۰	$\begin{pmatrix} \frac{4}{3} \\ -\frac{2}{3} \end{pmatrix}$	$\begin{pmatrix} \frac{2}{3} \\ -\frac{1}{3} \end{pmatrix}$	$\begin{pmatrix} u_R \\ d_R \end{pmatrix}$	یگانه کوارکی

لاگرانژی مدل استاندارد الکتروضعیف کلی ترین لاگرانژی بازبهنجار پذیر تحت گروه تقارنی موضعی $SU(2)_L \times U(1)_Y$ می باشد، که بر حسب میدان های بوزونی پیمانه ای و دوگانه هیگز $(x)\phi$ نوشته می شود.

برای نسل اول لپتونها و کوارکها داریم:

$$\mathcal{L} = i \overline{L}_L \not{D} L_L + i \overline{Q} \not{D} Q_L + \sum_{f=e,u,d} i \overline{f}_R \not{D} f_R$$

$$-\frac{1}{4} A_{\mu\nu} A^{\mu\nu} - \frac{1}{4} B_{\mu\nu} B^{\mu\nu} \quad \text{جملات جنبشی و خود جفت شدگی بوزون های پیمانه ای}$$

$$+ (D_\mu \phi)^\dagger (D^\mu \phi)^\dagger - \mu' \phi^\dagger \phi - \lambda (\phi^\dagger \phi)^2 \quad \text{میدان هیگز-شکست خود به خود تقارن} \quad (20-1)$$

$$- y^e (\overline{L}_L \phi e_R + \overline{e}_R \phi^\dagger L_L) \quad \text{جفت شدگی های هیگز-فرمیون یوکالوا مولدهای جرم لپتونی}$$

$$- y^d (\overline{Q}_L \phi d_R + \overline{d}_R \phi^\dagger Q_L) - y^u (\overline{Q}_L \tilde{\phi} u_R + \overline{u}_R \tilde{\phi}^\dagger Q_L)$$

سطر نخست در معادله (۲۰-۱):

دیدیم که میدان‌های فرمیونی (کوارکی و لپتونی) طبق روابط (۱۳-۱) و (۱۹-۱) تبدیل می‌شوند. برای اینکه نظریه تحت تبدیل پیمانه‌ای ناوردا باشد، باید مشتق هموردا طبق رابطه زیر تبدیل شود.

$$D_\mu \xrightarrow{g(\underline{\theta}(x), \eta(x))} D'_\mu = U(\underline{\theta}(x), \eta(x)) D_\mu U^{-1}(\underline{\theta}(x), \eta(x)) \quad (21-1)$$

در نتیجه میدان‌های بوزونی پیمانه‌ای باید به صورت زیر تبدیل شوند.^۱

$$\underline{A}_\mu \cdot \underline{I} \xrightarrow{g(\underline{\theta}(x), \eta(x))} \underline{A}'_\mu \cdot \underline{I} = U(\underline{\theta}(x)) \left[\underline{A}_\mu \cdot \underline{I} - \frac{i}{g} \partial_\mu \right] U^{-1}(\underline{\theta}(x)) \quad (22-1)$$

$$B_\mu \cdot \frac{Y}{2} \xrightarrow{g(\underline{\theta}(x), \eta(x))} B'_\mu \cdot \frac{Y}{2} = U(\eta(x)) \left[B_\mu \frac{Y}{2} - \frac{i}{g} \partial_\mu \right] U^{-1}(\eta(x)) \quad (23-1)$$

تبدیل میدان B_μ را می‌توان به صورت زیر ساده کرد.

$$B_\mu \xrightarrow{g(\underline{\theta}(x), \eta(x))} B'_\mu = B_\mu - \frac{1}{g} \partial_\mu \eta(x) \quad (24-1)$$

زیرا مولفه‌های راستگرد و چپگرد میدان‌های فرمیونی تحت تبدیلات گروه پیمانه‌ای (۱۳-۱) به روش-های مختلفی تبدیل می‌یابند (ر.ک. (۱۳-۱) و (۱۹-۱)). بنا به تقارن پیمانه‌ای در چگالی لاغرانژی وجود جملاتی جرمی از قبیل

$$f \bar{f} = \overline{f_L} f_R + \overline{f_R} f_L \quad (f = e, u, d) \quad (25-1)$$

ممنوع می‌باشد، خواهیم دید که تولید جرم فریون‌ها در مدل استاندارد از طریق فرایند شکست تقارن سازوکار هیگز صورت می‌گیرد.

^۱اثبات این موارد در پیوست الف آمده است.

۱-۲ بر همکنش‌های الکتروضعیف

مشتقهای هموردا را در سطر نخست (۲۰-۱) بسط داده و جملات جنبشی آن را حذف می‌کنیم در نتیجه لاغرانژی جفت‌شدگی فرمیون‌ها با بوزون‌های پیمانه‌ای به دست می‌آید.

$$\begin{aligned}
 \mathcal{L} &= i \overline{L_L} \not{D} L_L + i \overline{Q_L} \not{D} Q_L + \sum_{f=e,u,d} i \overline{f_R} \not{D} f_R && \text{بسط مشتقهای هموردا} \\
 &= i \overline{L_L} \left(\not{\partial}_\mu + i g \not{A}_\mu \cdot \underline{L} + i g' \not{B}'_\mu \cdot \frac{Y}{\gamma} \right) L_L + \\
 &\quad i \overline{Q_L} \left(\not{\partial}_\mu + i g \not{A}_\mu \cdot \underline{L} + i g' \not{B}'_\mu \cdot \frac{Y}{\gamma} \right) Q_L \\
 &\quad + \sum_{f=e,u,d} i \overline{f_R} \left(\not{\partial}_\mu + i g \not{A}_\mu \cdot \underline{L} + i g' \not{B}'_\mu \cdot \frac{Y}{\gamma} \right) f_R = && (26-1) \\
 &\quad i \overline{L_L} \left\{ \not{\partial}_\mu L_L + i g \not{A}_\mu \cdot \frac{\tau}{\gamma} L_L + i g' \not{B}'_\mu \left(-\frac{1}{\gamma} L_L \right) \right\} \\
 &\quad + i \overline{Q_L} \left\{ \not{\partial}_\mu Q_L + i g \not{A}_\mu \left(\frac{I}{\gamma} \right) Q_L + i g' \not{B}'_\mu \left(\frac{1}{\gamma} \right) \left(\frac{1}{\gamma} \right) Q_L \right\} \\
 &\quad + i \overline{e_R} \left\{ \not{\partial}_\mu + i g' \not{B}'_\mu \left(\frac{1}{\gamma} \right) (-\gamma) \right\} e_R + i \overline{u_R} \left\{ \not{\partial}_\mu + i g' \not{B}'_\mu \left(\frac{1}{\gamma} \right) \left(\frac{4}{\gamma} \right) \right\} u_R \\
 &\quad + i \overline{d_R} \left\{ \not{\partial}_\mu + i g' \not{B}'_\mu \left(\frac{1}{\gamma} \right) \left(-\frac{1}{\gamma} \right) \right\} d_R
 \end{aligned}$$

با حذف جملات جنبشی (حاوی $\not{\partial}_\mu$)

$$\begin{aligned}
 \mathcal{L}_I &= -\frac{1}{\gamma} \overline{L_L} (g \not{A} \cdot \underline{\tau} - g' \not{B}') L_L - \frac{1}{\gamma} \overline{Q_L} \left(g \not{A} \cdot \underline{\tau} + \frac{1}{\gamma} g' \not{B}' \right) Q_L && (27-1) \\
 &\quad + g' \overline{e_R} \not{B}' e_R - \frac{1}{\gamma} g' \overline{u_R} \not{B}' u_R + \frac{1}{\gamma} g' \overline{d_R} \not{B}' d_R
 \end{aligned}$$

برای به دست آوردن جملات برهمکنشی برای فرمیون‌ها به طور صحیح، در آغاز تنها لپتون‌ها را در نظر می‌گیریم.

$$\begin{aligned}
 g \not{A} \cdot \underline{\tau} - g' \not{B}' &= g \left[\not{A}_\gamma \begin{pmatrix} 0 & 1 \\ 1 & 0 \end{pmatrix} + \not{A}_\tau \begin{pmatrix} 0 & -i \\ i & 0 \end{pmatrix} + \not{A}_r \begin{pmatrix} 1 & 0 \\ 0 & -1 \end{pmatrix} \right] - g' \not{B}' \begin{pmatrix} 1 & 0 \\ 0 & 1 \end{pmatrix} \\
 &= g \begin{pmatrix} \not{A}_r & \not{A}_\tau - i \not{A}_r \\ (\not{A}_\gamma + i \not{A}_r) & \not{A}_r \end{pmatrix} - g' \begin{pmatrix} \not{B}' & 0 \\ 0 & \not{B}' \end{pmatrix} = \begin{pmatrix} g \not{A}_r - g' \not{B}' & g (\not{A}_\tau - i \not{A}_r) \\ g (\not{A}_\gamma + i \not{A}_r) & -g \not{A}_r - g' \not{B}' \end{pmatrix} && (28-1)
 \end{aligned}$$

$$\mathcal{L}_{I,L} = -\frac{1}{\gamma} \begin{pmatrix} \overline{\nu_{e_L}} & \overline{e_L} \end{pmatrix} \begin{pmatrix} g \underline{A}_r - g' \underline{B}' & g (\underline{A}_l - i \underline{A}_r) \\ g (\underline{A}_l + i \underline{A}_r) & -g \underline{A}_r - g' \underline{B}' \end{pmatrix} \begin{pmatrix} \nu_{e_L} \\ e_L \end{pmatrix} + g' \overline{e_R} \underline{B}' e_R \quad (29-1)$$

برهمنکنش مذکور را به دو بخش جریان باردار^۱ CC (ناشی از جملات غیر اصلی) و جریان خنثی^۲ تقسیم می‌کنیم (جملات روی قطر اصلی).

$$\mathcal{L}_{I,L}^{(CC)} = -\frac{g}{\gamma} \left\{ \overline{\nu_{e_L}} (\underline{A}_l - i \underline{A}_r) e_L + \overline{e_L} (\underline{A}_l - i \underline{A}_r) \nu_{e_L} \right\} \quad (30-1)$$

$$\mathcal{L}_{I,L}^{(NC)} = -\frac{1}{\gamma} \left\{ \overline{\nu_{e_L}} (g \underline{A}_r - g' \underline{B}') \nu_{e_L} - \overline{e_L} (g \underline{A}_r + g' \underline{B}') e_L - 2g' \overline{e_R} \underline{B}' e_R \right\} \quad (31-1)$$

ابتدا جریان باردار را در نظر می‌گیریم و میدان W^μ را تعریف می‌کنیم. این میدان بوزون‌های W^+ را نابود و W^- را می‌آفریند.

$$W^\mu = \frac{A_l^\mu - i A_r^\mu}{\sqrt{2}} \quad (32-1)$$

$$\begin{aligned} \mathcal{L}_{I,L}^{(CC)} &= -\frac{g}{\sqrt{2}} \left\{ \overline{\nu_{e_L}} \underline{W}' e_L + \overline{e_L} \underline{W}'^\dagger \nu_{e_L} \right\} = -\frac{g}{2\sqrt{2}} \overline{\nu_{e_L}} \gamma^\mu (1 - \gamma^5) e W_\mu + \text{H.C.} \\ &= -\frac{g}{2\sqrt{2}} j_{W,L}^\mu W_\mu + \text{H.C.} \end{aligned} \quad (33-1)$$

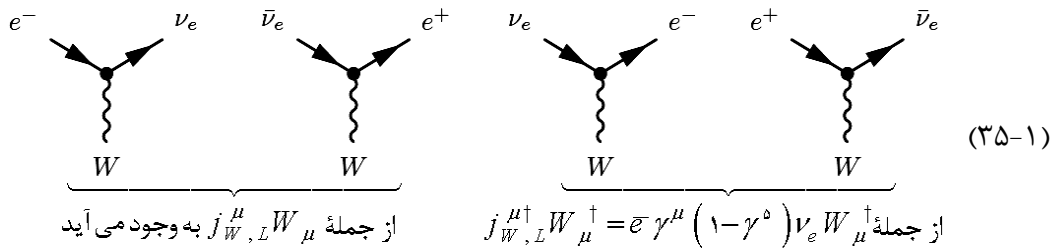
که $j_{W,L}^\mu$ جریان باردار لپتونی است.

$$j_{W,L}^\mu = \overline{\nu_e} \gamma^\mu \underbrace{(1 - \gamma^5)}_{\gamma e_L} e W_\mu = \gamma \overline{\nu_e} \gamma^\mu e_L \quad (34-1)$$

¹ Charged current

² Neutral current

$$\gamma \left(\frac{1 - \gamma^5}{\gamma} \right) f = f_L \quad , \quad \left(\frac{1 + \gamma^5}{\gamma} \right) f = f_R$$



لاگرانژی برهمکنش (۳۳-۱) جفت‌شدگی‌های سه ساقی تولید می‌کند.

اکنون لاگرانژی جریان خنثی را در نظر می‌گیریم. نظریه باید شامل برهمکنش‌های الکترومغناطیسی که لاگرانژی QED توصیف می‌کند، هم بشود.

$$\mathcal{L}_{I,L}^{(\gamma)} = -e j_{\gamma,L}^\mu A_\mu \quad (36-1)$$

e بار الکتریکی بنیادی، A^μ میدان الکترومغناطیسی و $j_{\gamma,L}^\mu$ جریان الکترومغناطیسی لپتونی است.

$$j_{\gamma,L}^\mu = -\bar{e} \gamma^\mu e \quad (\text{علامت منفی به سبب بار منفی الکترون است}) \quad (37-1)$$

با بیان میدان الکترومغناطیسی A^μ به صورت ترکیب خطی مناسبی از A_z^μ و B^μ می‌توان لاگرانژی QED را به صورت بخشی از لاگرانژی جریان خنثی معادله (۳۱-۱) به دست آورد.

این ترکیب خطی و ترکیب خطی عمود بر آن (که میدان بوزونی برداری Z^μ را تعریف می‌کند) دورانی را در صفحه میدان‌های A_z^μ و B^μ به اندازه زاویه θ_W (زاویه آمیختگی ضعیف یا زاویه واینبرگ) انجام می‌دهند.

$$\begin{aligned} A^\mu &= \sin \theta_W A_z^\mu + \cos \theta_W B^\mu \\ Z^\mu &= \cos \theta_W A_z^\mu - \sin \theta_W B^\mu \end{aligned} \quad (38-1)$$

زاویه آمیختگی ضعیف (زاویه واینبرگ) به این دلیل برگزیده شده است که جفت‌شدگی بین میدان الکترومغناطیسی و میدان‌های فرمیونی را بدهد. (۳۸-۱) را در (۳۱-۱) وارد می‌کنیم.

$$\begin{cases} \cos \theta_W A^\mu - \sin \theta_W Z^\mu = B^\mu \\ \sin \theta_W A^\mu + \cos \theta_W Z^\mu = A^\mu \end{cases} \Rightarrow$$

$$\mathcal{L}_{I,L}^{(NC)} = -\frac{1}{\gamma} \left\{ \overline{\nu_{e_L}} [g(\sin \theta_W \mathcal{A}^\mu + \cos \theta_W \mathcal{Z}^\mu) - g'(\cos \theta_W \mathcal{A}^\mu - \sin \theta_W \mathcal{Z}^\mu)] \nu_{e_L} \right. \\ \left. - \overline{e_L} g [\sin \theta_W \mathcal{A}^\mu + \cos \theta_W \mathcal{Z}^\mu] + g' (\cos \theta_W \mathcal{A}^\mu - \sin \theta_W \mathcal{Z}^\mu) e_L \right. \\ \left. - 2g' \overline{e_R} (\cos \theta_W \mathcal{A}^\mu - \sin \theta_W \mathcal{Z}^\mu) e_R \right\}$$

$$\mathcal{L}_{I,L}^{(NC)} = -\frac{1}{\gamma} \left\{ \overline{\nu_{e_L}} \left[(g \cos \theta_W + g' \sin \theta_W) \mathcal{Z}^\mu + (g \sin \theta_W - g' \cos \theta_W) \mathcal{A}^\mu \right] \nu_{e_L} \right. \\ \left. - \overline{e_L} \left[(g \cos \theta_W - g' \sin \theta_W) \mathcal{Z}^\mu + (g \sin \theta_W + g' \cos \theta_W) \mathcal{A}^\mu \right] e_L \right. \\ \left. - 2g' \overline{e_R} \left[-\sin \theta_W \mathcal{Z}^\mu + \cos \theta_W \mathcal{A}^\mu \right] e_R \right\}$$

نوترینوها ذرات خنثی هستند پس با میدان الکترومغناطیسی جفت شدگی ندارد. ضرایب متناظر را در (۴۰-۱) برابر صفر قرار می‌دهیم.

$$g \sin \theta_W = g' \cos \theta_W \Rightarrow \tan \theta_W = \frac{g'}{g} \quad (41-1)$$

این رابطه بسیار مهم می‌باشد زیرا ضرایب جفت شدگی g و g' را در مدل استاندارد با زاویه آمیختگی ضعیف (واینبرگ) به هم مربوط می‌کند. با جایگذاری (۴۱-۱) در (۴۰-۱)،

$$\xrightarrow{g' = \frac{g \sin \theta_W}{\cos \theta_W}} \mathcal{L}_{I,L}^{(NC)} = -\frac{g}{\gamma} \left\{ \overline{\nu_{e_L}} \left[(\cos \theta_W + \sin \theta_W / \cos \theta) \mathcal{Z}^\mu \right] \nu_{e_L} \right. \\ \left. - \overline{e_L} \left[(\cos \theta_W - \sin \theta_W / \cos \theta \sin \theta_W) \mathcal{Z}^\mu + (\sin \theta_W + \sin \theta_W) \mathcal{A}^\mu \right] e_L \right. \\ \left. - 2 \overline{e_R} \left[-\sin \theta_W / \cos \theta \mathcal{Z}^\mu + \sin \theta_W \mathcal{A}^\mu \right] e_R \right\} \quad (42-1)$$

$$\mathcal{L}_{I,L}^{(NC)} = -\frac{g}{\gamma \cos \theta_W} \left\{ \overline{\nu_{e_L}} \left[(\cos \theta_W + \sin \theta_W) \mathcal{Z}^\mu \right] \nu_{e_L} \right. \\ \left. - \overline{e_L} \left[(\cos \theta_W - \sin \theta_W) \mathcal{Z}^\mu \right] e_L - 2 \overline{e_R} \left[-\sin \theta_W \mathcal{Z}^\mu \right] e_R \right\} \quad (43-1)$$

$$+ g \sin \theta_W \overline{e_L} \mathcal{A}^\mu e_L + g \sin \theta_W \overline{e_R} \mathcal{A}^\mu e_R$$

$$\mathcal{L}_{I,L}^{(NC)} = -\frac{g}{\gamma \cos \theta_W} \left\{ \overline{\nu_{e_L}} \mathcal{Z}^\mu \nu_{e_L} - \left(1 - 2 \sin \theta_W \right) \overline{e_L} \mathcal{Z}^\mu e_L \right. \\ \left. + 2 \sin \theta_W \overline{e_R} \mathcal{Z}^\mu e_R \right\} + g \sin \theta_W \overline{e} \mathcal{A}^\mu e \quad (44-1)$$

جمله آخر جفت شدگی میدان الکترون با میدان الکترومغناطیسی است پس باید با لاغرانژی برهمنش QED در معادله (۳۶-۱) یکی باشد.

$$\begin{cases} g \sin \theta_W \bar{e} \not{A} e = -e j_{\gamma,L}^\mu A_\mu \Rightarrow g \sin \theta_W \bar{e} \not{A} e = e \bar{e} \gamma^\mu e A_\mu \\ j_{\gamma,L}^\mu = -\bar{e} \gamma^\mu e \end{cases} \Rightarrow g \sin \theta_W \bar{e} \gamma^\mu A_\mu e = e \bar{e} \gamma^\mu A_\mu e \Rightarrow \begin{cases} g \sin \theta_W = e \\ \xrightarrow{(41-1)} g' \cos \theta_W = e \end{cases} \quad (45-1)$$

این نتایج بسیار مهم بین ثوابت جفت شدگی g' ، g و بار الکتریکی بنیادی e ایجاد ارتباط می کنند.

$$g = e \csc \theta_W \quad , \quad g' = e \csc \theta_W \Rightarrow e = \frac{g g'}{\sqrt{g^2 + g'^2}} \quad (46-1)$$

لاغرانژی جریان خنثی را می توان به صورت زیر هم نوشت:

$$\mathcal{L}_{I,L}^{(NC)} = \mathcal{L}_{I,L}^{(Z)} + \mathcal{L}_{I,L}^{(\gamma)} \quad (47-1)$$

همان لاغرانژی $\mathcal{L}_{I,L}^{(\gamma)}$ در معادله (۳۶-۱) است و $\mathcal{L}_{I,L}^{(Z)}$ لاغرانژی جریان خنثی ضعیف می باشد.

$$\begin{aligned} \mathcal{L}_{I,L}^{(Z)} &= -\frac{g}{2 \cos \theta_W} j_{Z,L}^\mu Z_\mu \\ j_{Z,L}^\mu &= 2 g_L^\nu \overline{v_{e_L}} \gamma^\mu v_{e_L} + 2 g_L^l \overline{e_L} \gamma^\mu e_L + 2 g_R^l \overline{e_R} \gamma^\mu e_R \end{aligned} \quad (48-1)$$

که ضرایب g_L^{ν} ، g_L^l ، g_R^l از مقایسه با (۴۴-۱) بدست می آید، همچنین برای میدان های فرمیونی

$$g_L^f = I_f^f - q_f \sin \theta_W \quad , \quad g_R^f = -q_f \sin \theta_W \quad (49-1)$$

جدول ۲-۱ مقادیر g_L و g_R برای میدان های فرمیونی

g_A	g_V	g_R	g_L	فرمیون ها
$g_A^\nu = \frac{1}{2}$	$g_V^\nu = \frac{1}{2}$	$g_R^\nu = 0$	$g_L^\nu = \frac{1}{2}$	v_e, v_μ, v_τ
$g_A^l = -\frac{1}{2}$	$g_V^l = -\frac{1}{2} + 2s_W$	$g_R^l = s_W$	$g_L^l = -\frac{1}{2} + s_W$	e, μ, τ
$g_A^U = \frac{1}{2}$	$g_V^U = \frac{1}{2} - \frac{4}{3}s_W$	$g_R^U = \frac{1}{3}s_W$	$g_L^U = \frac{1}{2} - \frac{1}{3}s_W$	u, c, t
$g_V^D = -\frac{1}{2}$	$g_V^D = -\frac{1}{2} + \frac{2}{3}s_W$	$g_R^D = \frac{1}{3}s_W$	$g_L^D = -\frac{1}{2} + \frac{1}{3}s_W$	d, s, b

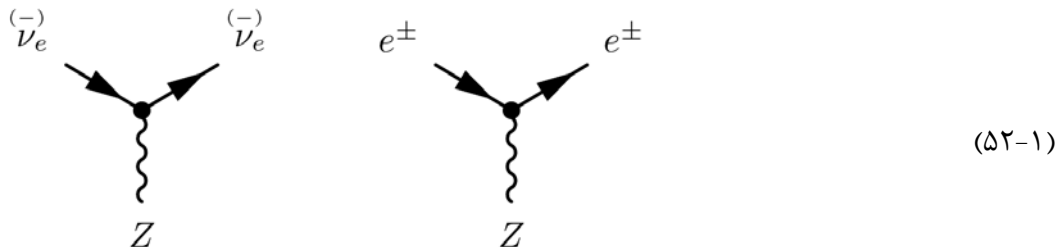
به سبب آمیختگی میدان‌های پیمانه‌ای A^{μ} و B^{μ} در (۳۸-۱) برهمنکش‌های جریان خنثی ضعیف برای میدان‌های فرمیونی باردار هم شامل مولفه‌های چپگرد و هم شامل مولفه‌های راستگرد می‌شوند. جریان خنثی ضعیف (۴۸-۱) را می‌توان به صورت زیر هم نوشت.

$$j_{Z,L}^{\mu} = \bar{v}_e \gamma^{\mu} \left(g_V^{\nu} - g_A^{\nu} \gamma^5 \right) v_e + \bar{e} \gamma^{\mu} \left(g_V^l - g_A^l \gamma^5 \right) e \quad (50-1)$$

که جفت‌شدگی‌های برداری و محوری $g_V^{\nu,L}$ ، $g_A^{\nu,L}$ در جدول ۲-۱ آمده‌اند.

$$g_V^f = g_L^f + g_R^f = I_{\tau}^f - 2q_f \sin^2 \theta_W \quad , \quad g_A^f = g_L^f - g_R^f = I_{\tau}^f \quad (51-1)$$

لاگرانژی برهمنکش جریان خنثی ضعیف (۴۸-۱) توصیف کننده جفت‌شدگی‌های سه‌ساقی زیر است.



لاگرانژی برهمنکش الکترومغناطیسی لپتونی (۳۶-۱) جفت‌شدگی‌های سه‌ساقی زیر را نشان می‌دهد.



اکنون به بخش کوارکی لاگرانژی برهمنکش معادله (۲۷-۱) می‌پردازیم.

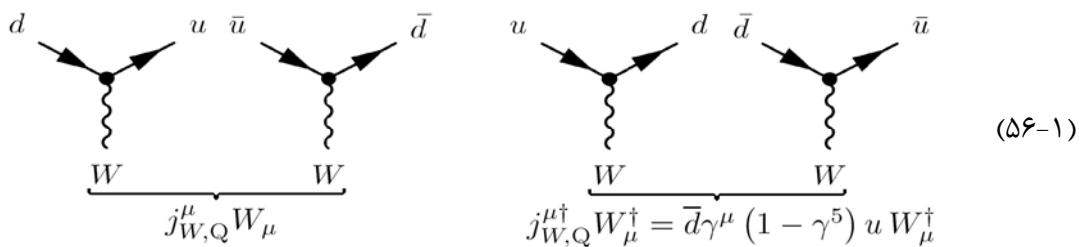
$$\mathcal{L}_{1,Q} = -\frac{1}{\sqrt{2}} \begin{pmatrix} \bar{u}_L & \bar{d}_L \end{pmatrix} \begin{pmatrix} g \not{A}_r + \frac{1}{3} g' \not{B}' & g (\not{A}_l - i \not{A}_r) \\ g (\not{A}_l + i \not{A}_r) & -g \not{A}_r + \frac{1}{3} g' \not{B}' \end{pmatrix} \begin{pmatrix} u_L \\ d_L \end{pmatrix} - \frac{1}{3} g' \bar{u}_R \not{B}' u_R + \frac{1}{3} \bar{d}_R \not{B}' d_R \quad (54-1)$$

با تکرار همان روند که برای لپتونها انجام دادیم.

$$\mathcal{L}_{I,Q}^{(CC)} = -\frac{g}{\sqrt{2}} j_{W,Q}^\mu W_\mu + \text{H.C.} \quad (55-1)$$

$$j_{W,Q}^\mu = \bar{u} \gamma^\mu (1 - \gamma^5) d = \bar{u}_L \gamma^\mu d_L$$

لاگرانژی برهمکنش معادله (۳۳-۱) جفت‌شدگی سه ساقی زیر را ایجاد می‌کند.



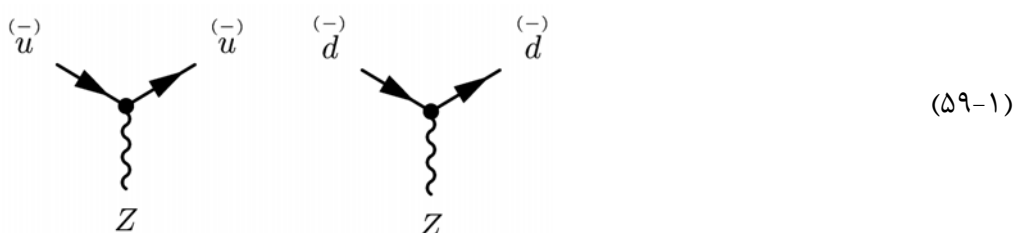
همانند حالت لپتونی، می‌توان برهمکنش جریان خنثی کوارکی را هم به دو بخش ضعیف و الکترومغناطیسی جدا کرد.

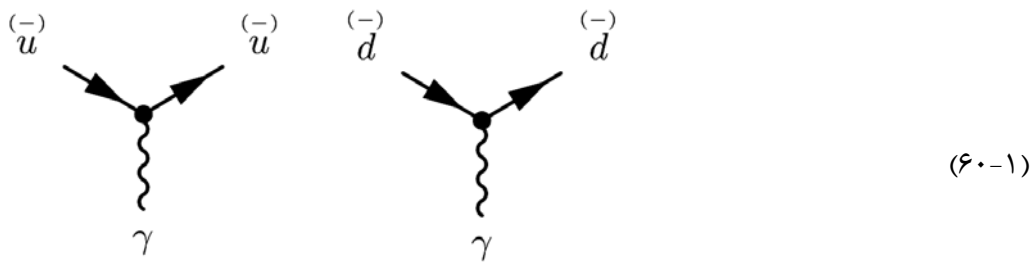
$$\begin{aligned} \mathcal{L}_{I,Q}^{(NC)} &= \mathcal{L}_{I,Q}^{(Z)} + \mathcal{L}_{I,Q}^{(\gamma)} \\ \mathcal{L}_{I,Q}^{(\gamma)} &= -e j_{\gamma,Q}^\mu A_\mu, \quad \mathcal{L}_{I,Q}^{(Z)} = -\frac{g}{\sqrt{2} \cos \theta_W} j_{\gamma,Q}^\mu Z_\mu \end{aligned} \quad (57-1)$$

$$\begin{aligned} j_{\gamma,Q}^\mu &= \frac{1}{\sqrt{2}} \bar{u} \gamma^\mu u - \frac{1}{\sqrt{2}} \bar{d} \gamma^\mu d \\ j_{Z,Q}^\mu &= g_L^U \bar{u}_L \gamma^\mu u_L + g_R^U \bar{u}_R \gamma^\mu u_R + g_L^D \bar{d}_L \gamma^\mu d_L + g_R^D \bar{d}_R \gamma^\mu d_R \\ &= \bar{u} \gamma^\mu (g_V^U - g_A^U \gamma^5) u + \bar{d} \gamma^\mu (g_V^D - g_A^D \gamma^5) d \end{aligned} \quad (58-1)$$

ضرایب $g_L^U, g_L^D, g_R^U, g_R^D, g_V^U, g_V^D, g_A^U, g_A^D$ در معادلات (۵۷-۱) و (۵۸-۱) در جدول ۲-۱ آمده

است، لاگرانژی برهمکنش جریان خنثی ضعیف کوارکی در (۵۷-۱) توصیف کننده جفت‌شدگی‌های زیر است.





۳-۱ سه نسل لپتونها و کوارکها

در این بخش معادلات (۳۳-۱) و (۴۸-۱) و (۵۵-۱) و (۵۷-۱) را برای سه نسل لپتونها و کوارکها تعمیم می‌دهیم. سه نسل به قرار زیرند.

$$\begin{aligned} L'_{e_L} &\equiv \begin{pmatrix} \nu'_{e_L} \\ e'_L \end{pmatrix}, \quad L'_{\mu_L} \equiv \begin{pmatrix} \nu'_{\mu_L} \\ \mu'_L \end{pmatrix}, \quad L'_{\tau_L} \equiv \begin{pmatrix} \nu'_{\tau_L} \\ \tau'_L \end{pmatrix} \\ Q'_{u_L} &\equiv \begin{pmatrix} u'_L \\ d'_L \end{pmatrix}, \quad Q'_{c_L} \equiv \begin{pmatrix} c'_L \\ s'_L \end{pmatrix}, \quad Q'_{t_L} \equiv \begin{pmatrix} t'_L \\ b'_L \end{pmatrix} \end{aligned} \quad (61-1)$$

و یکتایی‌ها عبارتند از

$$\begin{aligned} l'_{e_R} &= e'_R, \quad l'_{\mu_R} = \mu'_R, \quad l'_{\tau_R} = \tau'_R \\ q'^U_{u_R} &= u'_R, \quad q'^U_{c_R} = c'_R, \quad q'^U_{t_R} = t'_R \\ q'^D_{d_R} &= d'_R, \quad q'^D_{s_R} = s'_R, \quad q'^D_{b_R} = b'_R \end{aligned} \quad (62-1)$$

منظور از علامت پریم (') آن است که این فرمیون‌ها در حالت کلی دارای جرم معینی نیستند بلکه ترکیب‌های خطی از میدان‌هایی با جرم معین‌اند. اعداد کوانتومی میدان‌های (۶۱-۱) و (۶۲-۱) همانند نسل اول هستند که در جدول ۱-۱ آمده‌اند.

لاگرانژی (۲۰-۱) برای سه نسل به صورت زیر درمی‌آید.

$$\begin{aligned}
\mathcal{L} = & i \sum_{\alpha=e,\mu,\tau} \overline{L'_{\alpha_L}} \not{\partial} L'_{\alpha_L} + i \sum_{\alpha=\gamma,\tau} \overline{Q'_{\alpha_L}} \not{\partial} Q'_{\alpha_L} + i \sum_{\alpha=e,\mu,\tau} \overline{l'_{\alpha_R}} \not{\partial} l'_{\alpha_R} \\
& + i \sum_{\alpha=d,s,b} \overline{q'^D_{\alpha_R}} \not{\partial} q'^D_{\alpha_R} + i \sum_{\alpha=u,c,t} \overline{q'^U_{\alpha_R}} \not{\partial} q'^U_{\alpha_R} - \frac{1}{4} A_{\mu\nu} A^{\mu\nu} - \frac{1}{4} B_{\mu\nu} B^{\mu\nu} \\
& + (D_\rho \phi)^\dagger (D^\rho \phi)^\dagger - \mu^\gamma \phi^\dagger \phi - \lambda (\phi^\dagger \phi)^4
\end{aligned}$$

جفت شدگیهای
یوکاوای
فرمیون هیگز
سبب تولید
جرم فرمیون
و آمیختگی
کوارک

(۶۳-۱)

$$\tilde{\phi} = i \tau_\gamma \phi^*$$

لاگرانژی برهمکنش الکترومغناطیسی از دو خط اول (۶۳-۱) به دست می‌آید.

$$\mathcal{L}_1^{(\gamma)} = -e j_\gamma^\rho A_\rho, \quad j_\gamma^\rho = j_{\gamma,L}^\rho + j_{\gamma,Q}^\rho \quad (64-1)$$

$$j_{\gamma,L}^\rho = - \sum_{\alpha=e,\mu,\tau} \overline{l'_\alpha} \gamma^\rho l'_\alpha, \quad j_{\gamma,Q}^\rho = \frac{1}{3} \sum_{\alpha=u,c,t} \overline{q'^U_\alpha} \gamma^\rho q'^U_\alpha - \frac{1}{3} \sum_{\alpha=d,s,b} \overline{q'^D_\alpha} \gamma^\rho q'^D_\alpha \quad (65-1)$$

لاگرانژی برهمکنش جریان باردار هم از خط اول (۶۳-۱) به دست می‌آید.

$$\mathcal{L}_I^{(CC)} = -\frac{g}{\sqrt{2}} j_W^\rho W_\rho + \text{H.C.} \quad (66-1)$$

$$\begin{aligned}
j_W^\rho &= j_{W,L}^\rho + j_{W,Q}^\rho \\
j_{W,L}^\rho &= \gamma \left(\overline{v'_{e_L}} \gamma^\rho e'_L + \overline{v'_{\mu_L}} \gamma^\rho \mu'_L + \overline{v'_{\tau_L}} \gamma^\rho \tau'_L \right) \\
j_{W,Q}^\rho &= \gamma \left(\overline{u'_L} \gamma^\rho d'_L + \overline{c'_L} \gamma^\rho s'_L + \overline{t'_L} \gamma^\rho b'_L \right)
\end{aligned} \quad (67-1)$$

که جریان باردار فرمیونی j_W^ρ برابر با مجموع جریان‌های باردار لپتونی و کوارکی است. می‌توان جریان باردار لپتونی را به فرم فشرده زیر هم نوشت.

$$\begin{aligned}
j_{W,L}^\rho &= \gamma \sum_{\alpha=e,\mu,\tau} \overline{v'_{\alpha_L}} \gamma^\rho l'_{\alpha_L} \\
l'_{e_L} &\equiv e'_L, \quad l'_{\mu_L} \equiv \mu'_L, \quad l'_{\tau_L} \equiv \tau'_L
\end{aligned} \quad (68-1)$$

عملگرهای بالابرند و پایینبرند ایزواسپین را هم به صورت زیر تعریف می‌کنیم.

$$\begin{aligned}
I_{\pm} &= I_1 \pm i I_2, \quad [I_a, I_b] = i \varepsilon_{abc} I_c \\
\Rightarrow [I_3, I_{\pm}] &= [I_3, I_1 \pm i I_2] = [I_3, I_1] \pm i [I_3, I_2] = i \varepsilon_{321} I_2 \pm i \varepsilon_{321} I_1 \\
&= i I_2 \mp (-i) I_1 = \pm I_1 + i I_2 = \pm I_{\pm} \Rightarrow I_3 I_{\pm} - I_{\pm} I_3 = \pm I_{\pm} \\
\Rightarrow I_3 I_{\pm} &= \pm I_{\pm} + I_{\pm} I_3 = I_{\pm} (I_3 \pm 1)
\end{aligned} \tag{69-1}$$

اکنون اگر $|i, i_3\rangle$ را ویژه حالت I_2 و I_3 با ویژه مقادیر i و i_3 در نظر بگیریم $|i, i_3\rangle$ ویژه حالتی از I با ویژه مقدار $i_3 \pm 1$ می‌باشد.

$$I_3 |i, i_3\rangle = i_3 |i, i_3\rangle \Rightarrow I_3 I_{\pm} |i, i_3\rangle = (i_3 \pm 1) |i, i_3\rangle \tag{70-1}$$

عملگرهای I_{\pm} در نمایش ماتریسی

$$\begin{aligned}
I_+ &\xrightarrow[\text{دو تایی}]{\tau_+} \frac{\tau_1 + i \tau_2}{2} = \begin{pmatrix} 0 & 1 \\ 0 & 0 \end{pmatrix} \\
I_- &\xrightarrow[\text{دو تایی}]{\tau_-} \frac{\tau_1 - i \tau_2}{2} = \begin{pmatrix} 0 & 0 \\ 1 & 0 \end{pmatrix}
\end{aligned} \tag{71-1}$$

I_+ مولفه پایینی دوتایی را بالا می‌برد و ویژه مقدار I_2 را یک واحد افزایش می‌دهد. I_- هم مولفه بالایی را پایین آورده و ویژه مقدار I_2 را یک واحد کاهش می‌دهد. برای جریان ضعیف باردار فرمیونی:

$$\begin{aligned}
j_{W,L}^{\rho} &= \gamma \sum_{\alpha=e,\mu,\tau} \overline{L'_{\alpha_L}} \gamma^{\rho} I_+ L'_{\alpha_L} \\
j_{W,Q}^{\rho} &= \gamma \sum_{\alpha=\downarrow,\uparrow,\nu} \overline{Q'_{\alpha_L}} \gamma^{\rho} I_+ Q'_{\alpha_L} \\
j_{W,L}^{\rho\dagger} &= \gamma \sum_{\alpha=e,\mu,\tau} \overline{L'_{\alpha_L}} \gamma^{\rho} I_- L'_{\alpha_L} \\
j_{W,Q}^{\rho\dagger} &= \gamma \sum_{\alpha=\downarrow,\uparrow,\nu} \overline{Q'_{\alpha_L}} \gamma^{\rho} I_- Q'_{\alpha_L}
\end{aligned} \tag{72-1}$$

لاگرانژی برهمکنش جریان خنثی از دو خط اول معادله (63-1) به دست می‌آید.

$$\begin{aligned}
\mathcal{L}_I^{(Z)} &= -\frac{g}{\cos \theta_W} j_Z^{\rho} Z_{\rho}, \quad j_Z^{\rho} = j_{Z,L}^{\rho} + j_{Z,Q}^{\rho} \\
j_{Z,L}^{\rho} &= \gamma g_L^{\nu} \sum_{\alpha=u,c,t} \overline{V'_{\alpha_L}} \gamma^{\rho} V'_{\alpha_L} + \gamma \sum_{\alpha=e,\mu,\tau} \left(g_L^l \overline{l'_{\alpha_L}} \gamma^{\rho} l'_{\alpha_L} + g_R^l \overline{l'_{\alpha_R}} \gamma^{\rho} l'_{\alpha_R} \right) \\
j_{Z,Q}^{\rho} &= \gamma \sum_{\alpha=u,c,t} \left(g_L^U \overline{q'_{\alpha_L}^U} \gamma^{\rho} q'_{\alpha_L} + g_R^U \overline{q'_{\alpha_R}^U} \gamma^{\rho} q'_{\alpha_R} \right) \\
&+ \gamma \sum_{\alpha=d,s,b} g_L^D \overline{q'_{\alpha_L}^D} \gamma^{\rho} q'_{\alpha_L} + g_R^D \overline{q'_{\alpha_R}^D} \gamma^{\rho} q'_{\alpha_R}
\end{aligned} \tag{73-1}$$

$$\begin{aligned} q'^U_{u_L} &\equiv u'_L \quad , \quad q'^U_{c_L} \equiv c'_L \quad , \quad q'^U_{t_L} \equiv t'_L \\ q'^D_{d_L} &\equiv d'_L \quad , \quad q'^D_{s_L} \equiv s'_L \quad , \quad q'^D_{b_L} \equiv b'_L \end{aligned} \tag{74-1}$$

مقدار ضرایب $g^v_L, g^l_L, g^U_L, g^D_L, g^v_R, g^l_R, g^U_R, g^D_R$ معادله (49-1) در جدول ۲-۱ آورده شده‌اند.

۱-۴ شکست خودبه‌خود تقارن و سازوکار هیگز

در نظریه کوانتمی میدان و در نتیجه در مدل استاندارد شکست خودبه‌خود تقارن و سازوکار هیگز

اهمیت بسیاری دارد. بنابراین در این بخش سعی می‌شود این موضوع با جزئیات بیشتری روشن گردد.

لاگرانژی مانند $\mathcal{L} = \partial_\mu \phi \partial^\mu \phi - \mu^2 \phi + \lambda \phi^4$ را در نظر می‌گیریم، که تحت $\phi \rightarrow -\phi$ ناورداست.

موارد بسیاری مانند لاگرانژی بالا، وجود دارد که سیستم دارای تقارنی است که در لاگرانژی وجود

دارد اما حالت پایه (حالت خلا) آن در همان تقارن صدق نمی‌کند. در چنین وضعیتی گوییم که

سیستم دستخوش شکست خودبه‌خود تقارن می‌شود.

فرض کنیم مهره‌ای را بالای کاسه‌ای قرار دادیم و کاسه به صورت سرته روی زمین قرار گرفته است.

از نقطه نظر مهره سیستم متقارن است و همه راستاهای از بالا کاسه به پایین یکسان است. اما سیستم

در واقع ناپایدار است هر چند به ظاهر مهره ساکن است اما اندک اختلالی منجر به فرو فرستادن مهره

به پایین و سطح زمین می‌شود. اختلالی به طور خودبه‌خود تقارنی را که قبلًا وجود داشته است، می-

شکند. بعلاوه تازه مهره به انرژی پتانسیل کمینه واقعی خود می‌رسد. حالت پایه واقعی انرژی پتانسیل

زمان رخ می‌دهد که تقارن شکسته شود و مهره بر زمین قرار می‌گیرد.

در نظریه کوانتمی میدان هم با لاگرانژی‌هایی برمی‌خوریم که ویژگیهایی شبیه به این وضعیت

دارند. حالت خلایی که به ظاهر حالت پایه است، اما حالت پایه یا حالت خلا واقعی با انرژی کمتر

منجر به شکسته شدن تقارن می‌شود. خلا را حالتی با $\phi = 0$ (بدون میدان) می‌دانیم. حول $\phi = 0$

بسط می‌دهیم و از نظریه اختلال استفاده می‌کنیم. آنگاه میدان‌ها به صورت افت و خیزهایی حول

حالت پایه خواهند بود. لاگرانژی $V = T - \mathcal{L}$ است. در نظریه کوانتمی میدان جملات جنبشی به

شكل $\phi \partial_\mu \phi \partial^\mu V = 0$ را پتانسیل به صورت $V(\phi)$ می‌باشد. برای یافتن پتانسیل کمینه، حساب می‌کنیم.

۱-۴-۱ مثال برای روش ساختن بحث

لاگرانژی زیر را در نظر می‌گیریم.

$$\mathcal{L} = \frac{1}{2} (\partial_\mu \phi)^2 - \frac{1}{2} \mu^2 \phi^2 - \frac{1}{4} \lambda \phi^4 \quad (75-1)$$

$V(\phi) = \frac{1}{2} \mu^2 \phi^2 + \frac{1}{4} \lambda \phi^4$ تابعی اسکالر است. جمله انرژی جنبشی $\frac{1}{2} (\partial_\mu \phi)^2$ می‌باشد. پتانسیل ϕ

است. نیروی ایجادکننده این پتانسیل:

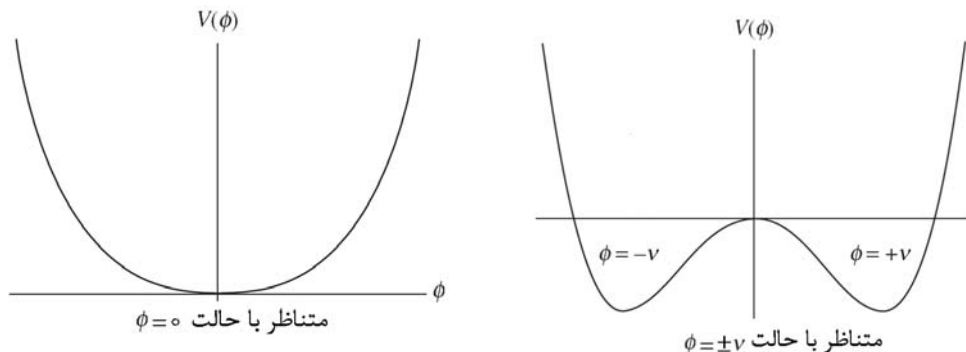
$$\frac{\partial V}{\partial \phi} = \mu^2 \phi + \lambda \phi^3 = \phi (\mu^2 + \lambda \phi^2) \quad (76-1)$$

$$\frac{\partial V}{\partial \phi} = 0 \Rightarrow \begin{cases} \text{الف} & \phi = 0 \\ \text{ب} & \mu^2 + \lambda \phi^2 = 0 \Rightarrow \phi = \pm \sqrt{-\frac{\mu^2}{\lambda}} = \pm v \end{cases} \quad (77-1)$$

حالت (الف) متناظر با میدان اسکالاری به جرم μ می‌باشد. جمله ϕ^4 نشان‌دهنده

خودبرهمکنش‌های میدان با قدرت جفت‌شده λ است. اگر حالت پایه در $\phi = 0$ باشد، تحت $\phi \rightarrow -\phi$ متقارن است.

حالت (ب) برای آنکه ϕ حقیقی باشد باید $\mu^2 > 0$ باشد. مشابه حالتی که مهره به پایین می‌لغزد. در



این حالت ϕ می‌تواند هر یک از مقادیر v یا $+v$ را برگزیند. انتخاب هر یک از حالت‌های $\phi = -v$ یا $\phi = +v$ سبب شکسته شدن تقارن می‌شود. دریافتیم که کمینه واقعی $\phi = \pm v$ است (VEV)^۱، نه $\phi = 0$. حالت $\phi = 0$ حالت ناپایدار است و بسط حول آن همگرا نخواهد بود. اما بسط اختلالی حول یکی از $\phi = \pm v$ همگرا می‌باشد و می‌توانیم قواعد فاینمن را به کار ببریم.

۲-۴-۱ به دست آوردن جملات جنبشی

لاگرانژی کلین گوردون را در نظر می‌گیریم.

$$\mathcal{L} = \frac{1}{2}(\partial_\mu \phi)^2 - \frac{1}{2}\mu^2 \phi^2 \quad (78-1)$$

کوانتای میدان ϕ ذراتی به جرم $\mu = m$ هستند. با توجه به لاگرانژی می‌بینیم که جمله جرمی به شکل $\frac{1}{2}\mu^2 \phi^2$ پدیدار شده، به شرطی که $\mu > 0$ باشد و $m = \mu$ جرم ذره مورد نظر است.

برای یافتن جمله جرمی شاید بتوان نتیجه گرفت که :

جمله جرمی در لاگرانژی جمله‌ای است که بر حسب میدان از مرتبه ۲ باشد و به شکل $\alpha \phi^2$ به ازای α در لاگرانژی قرار دارد.

توجه: در بسیاری از لاگرانژی‌ها جمله جرمی به طریقی پنهان است. مثلاً لاگرانژی

$$\mathcal{L} = \frac{1}{2}(\partial_\mu \phi)^2 + \ln(1 - \alpha \phi) \quad (79-1)$$

در نظر بگیریم. به ظاهر جمله جرمی (به شکل $\alpha \phi^2$) ندارد و ممکن است به اشتباه تصور شود که این لاگرانژی میدان‌های بدون جرم ($\mu = m$) را توصیف می‌کند. اما اگر جمله دوم لاگرانژی رابطه را بسط به سری بدهیم.

$$\mathcal{L} = \frac{1}{2}(\partial_\mu \phi)^2 - \alpha \phi - \frac{1}{2}\alpha^2 \phi^2 - \frac{1}{3}\alpha^3 \phi^3 - O(\phi^4) \quad (80-1)$$

^۱ Vacuum Expectation Value

در می‌یابیم با شرط آنکه $\alpha > 0$ باشد، این لاغرانژی توصیف کنندهٔ ذراتی به جرم ($m = \alpha$) می‌باشد،

پس برای یافتن جملهٔ جرمی در لاغرانژی (زمانی که آشکار نیست) باید:

۱. پتانسیل را بسط به سری دهیم.

۲. به جستجوی جملاتی مرتبه دوم بر حسب میدان‌ها باشیم.

۳-۴-۱ نکته‌ای دربارهٔ یکاهای

اگر \hbar, c, μ را در معادلهٔ کلین گوردون قرار دهیم.

$$\frac{1}{c^2} \frac{\partial^2 \phi}{\partial t^2} - \nabla^2 \phi - \frac{\mu^2 c^2}{\hbar^2} \phi = 0 \quad (81-1)$$

پس اگر در لاغرانژی جملاتی به صورت $\frac{1}{2} \alpha^2 \phi^2$ را در نظر بگیریم، جرم ذره به ثابت α مربوط می‌شود.

$$\alpha = \frac{\mu c}{\hbar}, \quad m = \mu = \frac{\hbar \alpha}{c} \quad (82-1)$$

که α بدون بعد و عدد است و μ هم از جنس جرم است.

اگر جملات مرتبه دوم بدون ضریب $\frac{1}{2}$ باشند، یعنی شامل $\frac{1}{2} \alpha^2 \phi^2$ شوند، باید ضریب $\frac{1}{2}$ را در نظر

بگیریم و بعد با معادلهٔ کلین گوردون مقایسه کنیم.

$$\alpha' = \frac{1}{2} \frac{\mu^2 c^2}{\hbar^2} \Rightarrow m = \mu = \sqrt{\frac{\hbar \alpha}{c}} \quad (83-1)$$

۴-۴-۱ شکست خودبه‌خود تقارن و جرم

جملات جرمی در لاغرانژین (۷۵-۱) را یافتیم و همچنین فهمیدیم که حالت‌های پایه یا کمینه‌های

واقعی پتانسیل خودبه‌خود شکسته شده‌اند و برابر

$$\phi = \pm \sqrt{-\frac{\mu^2}{\lambda}} \quad (84-1)$$

هستند. کمینه در $\phi = 0$ قرار ندارد بلکه در $\phi = \pm \sqrt{\lambda}$ است.

حالت $v = \phi$ را در نظر می‌گیریم و میدان را دوباره مقیاس بندی^۱ می‌کنیم.

$$\phi(x) = v \pm \eta(x) \quad (85-1)$$

میدان را به صورت افت و خیزهایی با $(x)\eta$ حول کمینه سمت راست v نشان می‌دهیم. اکنون دوباره لاغرانژی را می‌نویسیم.

$$\begin{cases} \partial_\mu \phi(x) = \partial_\mu [v \pm \eta(x)] = \partial_\mu \eta(x) \\ \phi^2(x) = (v + \eta(x))^2 = v^2 + 2v\eta + \eta^2 \\ \phi^4(x) = (v + \eta(x))^4 = v^4 + 4v^3\eta + 6v^2\eta^2 + 4v\eta^3 + \eta^4 \end{cases} \Rightarrow$$

$$\mathcal{L} = \frac{1}{4}(\partial_\mu \phi)^2 - \frac{1}{4}\mu^2\phi^2 - \frac{1}{4}\lambda\phi^4 = \frac{1}{4}(\partial_\mu \eta)^2 - \frac{1}{4}\mu^2(v^2 + 2v\eta + \eta^2) - \frac{1}{4}\lambda(v^4 + 4v^3\eta + 6v^2\eta^2 + 4v\eta^3 + \eta^4) \quad (86-1)$$

v فقط عدد است از آنجا که ثوابت در معادلات میدان (معادلات اولر- لاغرانژ) اهمیتی ندارد، می-

توانیم همه ثوابت را بیرون بکشیم. در این حال جمله نخست پتانسیل عبارتست از:

$$\begin{aligned} \phi &= \pm \sqrt{\frac{-\mu^2}{\lambda}} = \pm v \Rightarrow \frac{1}{4}\mu^2(v^2 + 2v\eta + \eta^2) = -\frac{1}{4}\lambda v^2(v^2 + 2v\eta + \eta^2) \\ &= -\lambda v^3\eta - \frac{1}{4}\lambda v^2\eta^2 \end{aligned} \quad (87-1)$$

و جمله آخر پتانسیل هم خالی از ثوابت می‌کنیم، در پایان لاغرانژی به صورت زیر در می‌آید:

$$\begin{aligned} \mathcal{L} &= \frac{1}{4}(\partial_\mu \phi)^2 - \frac{1}{4}\mu^2(v^2 + 2v\eta + \eta^2) - \frac{1}{4}\lambda(v^4 + 4v^3\eta + 6v^2\eta^2 + 4v\eta^3 + \eta^4) \\ \Rightarrow \mathcal{L} &= \frac{1}{4}(\partial_\mu \phi)^2 - \lambda v^3\eta - \lambda v^2\eta^2 - \frac{1}{4}\lambda\eta^4 \end{aligned} \quad (88-1)$$

اکنون مطابق با قاعده گفته شده به دنبال جملات مرتبه دوم بر حسب میدان η هستیم.

این جمله عبارتست از

$$\begin{cases} \lambda v^3\eta \\ \frac{1}{2}m^2\phi^2 \end{cases} \Rightarrow m = \sqrt{2\lambda v^2} = \sqrt{2\lambda}v \quad (89-1)$$

(جمله جرمی کلین گوردون)

^۱ rescale

(ضریب $\frac{1}{2}$ را هم در نظر گرفتیم). جملات دیگر در لاغرانژی نشان دهنده خودبرهمکنش هستند.^۳

نشان دهنده رأسی در نمودار فایلمن با سه ساق است که جفت شدگی آن هم برابر λ^2 می باشد.



جمله آخر $\lambda \eta^4$ خودبرهمکنشی دیگر با چهار ساق است.

$$\begin{aligned} \mathcal{L} = & \frac{1}{2} (\partial_\mu \eta)^2 \\ & - \lambda v^2 \eta^2 \\ & - \lambda v^3 \eta^3 \\ & - \frac{1}{4} \lambda \eta^4 \end{aligned} \quad (90-1)$$

۱-۵ سازوکار هیگز در مدل استاندارد

در مدل استاندارد فرمیون‌ها و بوزون‌های W و Z از طریق سازوکار هیگز جرمدار می‌شوند [۸-۳].

دوگانه هیگز^۱ را در نظر می‌گیریم.

$$\Phi(x) = \begin{pmatrix} \phi^+(x) \\ \phi^\circ(x) \end{pmatrix} \quad (91-1)$$

جدول (۱-۳) ویژه مقادیر ایزواسپین، مؤلفه سوم آن، فوق‌بار و بار برای دوگانه هیگز

Q	Y	$\frac{I}{2}$	I
$\frac{1}{2}$	$+1$	$\frac{1}{2}$	$\frac{1}{2}$
\circ		$-\frac{1}{2}$	

دوگانه هیگز $\Phi(x) \equiv \begin{pmatrix} \Phi^+ \\ \Phi^\circ \end{pmatrix}$

$\phi^+(x)$ میدان اسکالر مختلط باردار و $\phi^\circ(x)$ میدان اسکالر مختلط خنثی است.

$$\Phi \xrightarrow{g(\underline{\theta}(x), \eta(x))} \Phi' = U(\underline{\theta}(x), \eta(x)) = \exp\left(\frac{i}{2}\underline{\theta}(x) \cdot \underline{\tau} + \frac{i}{2}\eta(x)\right) \Phi \quad (92-1)$$

با توجه به تبدیل مشتق هموردا (۲۱-۱) می‌توان نوشت.

¹ Higgs Doublet

$$\mathcal{L}_{\text{Higgs}} = (D_\mu \Phi)^\dagger (D^\mu \Phi) - \mu^2 \Phi^\dagger \Phi - \lambda (\Phi^\dagger \Phi)^2 \quad (93-1)$$

که تحت تبدیل پیمانهای $(\vartheta(x), \eta(x))$ ناورداست. در (93-1) ضریب خود جفت‌شدگی مرتبه

دوم میدان هیگز یعنی λ باید مثبت باشد. λ تا پتانسیل زیر از پایین مقید¹ باشد.

$$V(\Phi) = \mu^2 \Phi^\dagger \Phi + \lambda (\Phi^\dagger \Phi)^2 \quad (94-1)$$

از طرفی باید μ^2 باشد، تا شکست خودبه‌خود تقارن صورت گیرد. یعنی

$$SU(2)_L \times U(1)_Y \longrightarrow U(1)_Q \quad (95-1)$$

که $U(1)_Q$ گروه تقارنی پیمانهای برهمکنش‌های الکترومغناطیسی است. که مربوط به پایستگی بار

الکتریکی می‌شود و مشخص است که ناشکسته می‌ماند. مطابق (77-1)

$$\nu \equiv \sqrt{\frac{-\mu^2}{\lambda}} \quad (96-1)$$

را تعریف و از ثابت $\frac{\nu^4}{\epsilon}$ صرف‌نظر می‌کنیم. در نتیجه پتانسیل هیگز معادله (94-1) به صورت

$$V(\Phi) = \lambda \left(\Phi^\dagger \Phi - \frac{\nu^2}{2} \right)^2 \quad (97-1)$$

در می‌آید. کمینه پتانسیل به ازای

$$\Phi^\dagger \Phi = \frac{\nu^2}{2} \quad (98-1)$$

رخ می‌دهد. همان‌گونه که گفته شد در نظریه کوانتمی میدان، کمینه پتانسیل متناظر با خلا (پایین-ترین حالت انرژی) و حالت‌های برانگیخته کوانتیزه هر میدان بالای خلا متناظر با حالت‌های ذره می‌باشند. فرمیونها، میدانهای بوزونی برداری با اسپین غیر صفر، باید در خلا مقدار صفر داشته باشند (ناوردایی طبیعت تحت دوران فضایی). میدانهای اسکالر باردار در خلا مقدار صفر دارند (خلا از نظر

¹ Bounded from below

الکتریکی خنثی است). میدان‌های اسکالر خنثی، بدون بار الکتریکی، می‌توانند در خلا مقدار غیر صفر داشته باشند. باید VEV میدان‌های هیگز ناشی از Φ° باشند، تا خلا از نظر الکتریکی خنثی باشد.

$$\langle \Phi \rangle = \frac{1}{\sqrt{2}} \begin{pmatrix} \circ \\ v \end{pmatrix} \quad (99-1)$$

تقارن Y به طور خودبه‌خود شکسته می‌شود.

$$I_1 \langle \Phi \rangle = \frac{\tau_1}{\sqrt{2}} \langle \Phi \rangle = \frac{1}{2\sqrt{2}} \begin{pmatrix} v \\ \circ \end{pmatrix} \neq \circ$$

$$I_2 \langle \Phi \rangle = \frac{\tau_2}{\sqrt{2}} \langle \Phi \rangle = -\frac{i}{2\sqrt{2}} \begin{pmatrix} v \\ \circ \end{pmatrix} \neq \circ$$

$$I_3 \langle \Phi \rangle = \frac{\tau_3}{\sqrt{2}} \langle \Phi \rangle = -\frac{1}{2\sqrt{2}} \begin{pmatrix} \circ \\ v \end{pmatrix} \neq \circ$$

$$Y \langle \Phi \rangle = \langle \Phi \rangle \neq \circ$$

$$Q \langle \Phi \rangle = \left(I_1 + \frac{Y}{\gamma} \right) \langle \Phi \rangle = \frac{1}{\sqrt{2}} \begin{pmatrix} 1 & 0 \\ 0 & 0 \end{pmatrix} \begin{pmatrix} \circ \\ v \end{pmatrix} = \circ$$

بنابراین خلا تحت تبدیل پیمانه‌ای متعلق به گروه $U(1)_Q$ ناورداست.

$$e^{i\theta Q} \langle \Phi \rangle = \langle \Phi \rangle \quad (100-1)$$

ناوردایی بالا وجود بوزونی پیمانه‌ای متناظر با گروه $U(1)_Q$ را مسلم می‌کند. /ین بوزون فوتون است.

توجه آنکه لاغرانژی کاملاً متقارن است، منظور از شکست خودبه‌خود تقارن آن است که تقارن در خلا شکسته می‌شود. درنتیجه حالت‌های فیزیکی از برانگیختگی‌های میدان‌ها در بالای خلا به وجود می‌آید که تقارن لاغرانژی را ندارند. بسیاری ترجیح می‌دهند بگویند تقارن پنهان می‌شود. برای به دست آوردن ویژگی‌های فیزیکی ناشی از شکست خودبه‌خود تقارن بهتر است دوگانه هیگز را به صورت زیر بنویسیم.

$$\Phi(x) = \frac{1}{\sqrt{2}} \exp \left(\frac{i}{2v} \underline{\xi}(x) \cdot \underline{\tau} \right) \begin{pmatrix} \circ \\ v + H(x) \end{pmatrix} \quad (101-1)$$

میدان‌های اسکالر حقیقی $(\xi_1(x), \xi_2(x), \xi_3(x))$ ، $H(x)$

وجود v هم در آرگومان تابع نمایی به سبب آن است که بعد میدانهای اسکالر انرژی می-

باشد. $(x)H$ بوزون هیگز را (فیزیکی) توصیف می‌کند که از برانگیختگی‌های میدان هیگز در بالای

خلا به دست آمده است. میدانهای (x) ^۱ غیر فیزیکی‌اند زیرا با تبدیل پیمانه‌ای $(1-92)$ به شکل زیر

$$\underline{\theta}(x) = -\frac{1}{v} \underline{\xi}(x), \quad \eta(x) = 0 \quad (102-1)$$

به این تبدیلات، پیمانه یکانی^۱ گویند. که در آن حالت‌های فیزیکی نظریه به صراحت پذیدار می‌شود.

در پیمانه یکانی، دوگانه هیگز

$$\begin{aligned} \Phi(x) &= \frac{1}{\sqrt{2}} \begin{pmatrix} v + H(x) \\ v - H(x) \end{pmatrix} \\ D_\mu(x)\Phi(x) &= \left[\partial_\mu + \frac{i}{\sqrt{2}} g \underline{A}_\mu \cdot \underline{\tau} + \frac{i}{\sqrt{2}} g' \underline{B}_\mu(x) \right] \Phi(x) \\ &= \frac{1}{\sqrt{2}} \begin{pmatrix} \frac{i}{\sqrt{2}} g W_\mu(x) [v + H(x)] \\ \partial_\mu H(x) - \frac{i}{\sqrt{2}} \frac{g}{\cos \theta_W} Z_\mu [v + H(x)] \end{pmatrix} \end{aligned} \quad (103-1)$$

در پیمانه یکانی، لاگرانژی هیگز در معادله $(1-93)$ به صورت زیر در می‌آید.

$$\begin{aligned} \mathcal{L}_{\text{Higgs}} &= \frac{1}{2} (\partial H)^2 + \frac{g^2}{4} [v + H(x)]^2 W_\mu^\dagger W^\mu + \frac{g^2}{8 \cos^2 \theta_W} [v + H(x)]^2 Z_\mu Z^\mu \\ &\quad - \frac{\lambda}{4} (H^2 + v H)^2 \end{aligned} \quad (104-1)$$

$$\begin{aligned} \mathcal{L}_{\text{Higgs}} &= \frac{1}{2} (\partial H)^2 - \lambda v^2 H^2 - \lambda v H^3 - \frac{\lambda}{4} H^4 \\ &\quad + \frac{g^2 v^2}{4} W_\mu^\dagger W^\mu + \frac{g^2 v^2}{8 \cos^2 \theta_W} Z_\mu Z^\mu + \frac{g^2 v}{4} W_\mu^\dagger W^\mu H \\ &\quad + \frac{g^2 v}{4 \cos^2 \theta_W} Z_\mu Z^\mu H + \frac{g^2}{4} W_\mu^\dagger W^\mu H^2 + \frac{g^2}{8 \cos^2 \theta_W} Z_\mu Z^\mu H^2 \end{aligned} \quad (105-1)$$

جمله اول جمله جنبشی برای بوزون هیگز است. جمله دوم، جمله جرمی بوزون هیگز است که از آن

جرم هیگز به دست می‌آید.

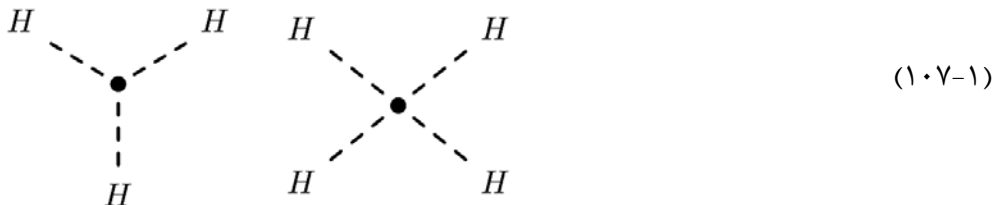
^۱ unitary gauge

$$m_H = \sqrt{2\lambda v^2} = \sqrt{-2\mu^2} \quad (106-1)$$

μ^2 پارامتری منفی در مدل استاندارد است، مقدار m_H به دیگر کمیتها مربوط نمی‌شود و باید اندازه-

گیری شود. در مدل استاندارد مقداری برای m_H پیش‌بینی نمی‌شود. جمله سوم و چهارم خود جفت-

شدگی‌های سه‌ساقی و چهار ساقی میدان هیگز



جملات پنجم و ششم جملات جرمی بوزونهای پیمانهای Z, W هستند.

$$m_W = \frac{g v}{\sqrt{2}} , \quad m_Z = \frac{g v}{\sqrt{2} \cos \theta_W} \quad (108-1)$$

$$\rho = \frac{m_W^2}{m_Z^2 \cos^2 \theta_W} , \quad \rho = 1 \quad (109-1)$$

[۹]. این مقدار در مرتبه درختی برقرار است. تصحیحات تابشی منجر به انحراف از مقدار $\rho = 1$ می-

شود. اهمیت این مقدار برای ایزواسپین ضعیف هیگز می‌باشد. زیرا می‌توان بخش هیگز مدل استاندارد

را به‌گونه‌ای بسط داد که شامل چندگانه‌های هیگز شود (در کنار دوگانه‌های هیگزی معادله (۹۱-۱))

که همگی دارای VEV‌هایی باشند که در تولید جرم بوزونهای پیمانهای Z, W از طریق سازوکار

هیگز شرکت می‌کند. به‌ازای تعداد دلخواهی از چندگانه‌های هیگز Φ_k که شامل دوگانه استاندارد

شود، از رابطه زیر به‌دست می‌آید.

$$\rho = \frac{\sum_k \left[I^k (I^k + 1) - (I^k_{\Phi}) \right] v_k^2}{\sqrt{2} \sum_k (I^k_{\Phi}) v_k^2} \quad (110-1)$$

. [۱۰]

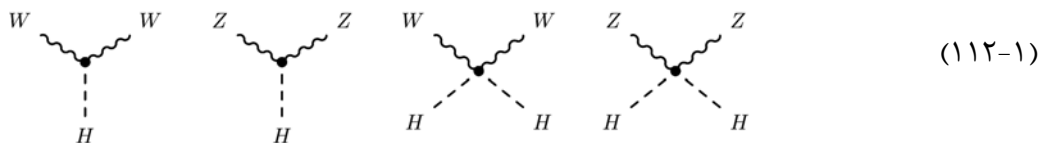
I^k ایزواسپین ضعیف چندگانه هیگز Φ_k و I^k_{Φ} مؤلفه سوم ایزواسپین ضعیف مؤلفه Φ_k است که

دارای VEV برابر با v_k می‌باشد. با استفاده از (۱۱۰-۱) مقدار ρ برابر با مقدار زیر شود

$$\rho = 0.9998^{+0.0008}_{-0.0005} \quad (111-1)$$

[۹]. که با مقدار $m = 1$ کاملاً سازگار است. با توجه به داده‌های تجربی امکان آن وجود دارد که بهغیر از دوگانه هیگز در مدل استاندارد دوگانه‌های دیگری هم وجود داشته باشند که در تولید جرم Z, W از طریق سازوکار هیگز شرکت کنند.

چهار جمله آخر هم جفت‌شدگی‌های سه‌ساقی و چهار‌ساقی میدان هیگز با بوزونهای پیمانه‌ای است.



۶-۱ جرم فرمیونی و آمیختگی

در مدل استاندارد جرم فرمیونها ناشی از سازوکار هیگز و درنتیجه جفت‌شدگی یوکاوی میدانهای فرمیونی با دوگانه هیگز می‌باشد. جرم فرمیون باید دربردارنده جفت‌شدگی‌های چپگرد و راستگرد باشد. در مدل استاندارد نوترینوها بدون جرم‌مند زیرا مؤلفه راستگرد ندارند که این خود دوری باطل است. با درنظر گرفتن لپتونهای باردار و فوق‌بار دوگانه هیگز، لاگرانژی یوکاوی لپتون هیگز به‌شکل زیر می‌باشد

$$\mathcal{L}_{H,L} = - \sum_{\alpha,\beta=e,\mu,\tau} Y'_{\alpha\beta} \overline{L'_{\alpha L}} \Phi l'_{\beta R} + \text{H.C.} \quad (113-1)$$

که تحت تبدیلات گروه پیمانه‌ای $U(1)_Y \times U(2)_L \times U(2)_R$ ناورداست. با توجه به عبارت مربوط به دوگانه

$$\text{هیگز در پیمانه یکانی، } \Phi(x) = \frac{1}{\sqrt{2}} \begin{pmatrix} v + H(x) \\ 0 \end{pmatrix}$$

$$\begin{aligned} \mathcal{L}_{H,L} &= - \left(\frac{v + H}{\sqrt{2}} \right) \sum_{\alpha,\beta=e,\mu,\tau} Y'_{\alpha\beta} \overline{l'_{\alpha L}} l'_{\beta R} + \text{H.C.} \\ l'_L &\equiv \begin{pmatrix} e'_L \\ \mu'_L \\ \tau'_L \end{pmatrix}, \quad l'_R \equiv \begin{pmatrix} e'_R \\ \mu'_R \\ \tau'_R \end{pmatrix} \end{aligned} \quad (114-1)$$

$$\Rightarrow \mathcal{L}_{H,L} = - \left(\frac{v+H}{\sqrt{2}} \right) \overline{l_L^l} Y'^l l_R' + \text{H.C.} \quad (115-1)$$

ماتریس Y' را می‌توان با استفاده از تبدیلات دویکانی بسط داد.

$$V_L^{l\dagger} Y'^l V_R^l = Y^l \quad , \quad Y_{\alpha\beta}^l = y_{\alpha}^l \delta_{\alpha\beta} \quad (\alpha, \beta = e, \mu, \tau) \quad (116-1)$$

$$V_R^{l\dagger} = \left(V_R^l \right)^{-1} \quad , \quad V_L^{l\dagger} = \left(V_L^l \right)^{-1}$$

با قطری کردن معادله (116-1) به عبارت زیر می‌رسیم

$$\mathcal{L}_{H,L} = - \left(\frac{v+H}{\sqrt{2}} \right) \overline{l_L^l} Y^l l_R + \text{H.C.} \quad (117-1)$$

$$l_L = V_L^{l\dagger} l_L' \equiv \begin{pmatrix} e_L \\ \mu_L \\ \tau_L \end{pmatrix}, \quad l_R = V_R^{l\dagger} l_R' \equiv \begin{pmatrix} e_R \\ \mu_R \\ \tau_R \end{pmatrix}$$

که مؤلفه‌های راستگرد و چپگرد میدانهای لپتونی باردار با جرم معین هستند. سرانجام یوکاوای لپتون

هیگز به صورت زیر درمی‌آید

$$\mathcal{L}_{H,L} = - \sum_{\alpha=e,\mu,\tau} \frac{y_{\alpha}^l v}{\sqrt{2}} l_{\alpha} l_{\alpha} - \sum_{\alpha=e,\mu,\tau} \frac{y_{\alpha}^l}{\sqrt{2}} \overline{l_{\alpha}} l_{\alpha} H \quad (118-1)$$

$$l_{\alpha} = l_{\alpha L} + l_{\alpha R} \xrightarrow{(\alpha=e,\mu,\tau)} l_e \equiv e, l_{\mu} \equiv \mu, l_{\tau} \equiv \tau$$

در سمت راست معادله (118-1)، جمله نخست جمله جرمی لپتونهای باردار است که جرم آنها از

رابطه زیر به دست می‌آید

$$m_{\alpha} = \frac{y_{\alpha}^l v}{\sqrt{2}} \quad , \quad (\alpha = e, \mu, \tau) \quad (119-1)$$

ضرایب y_{α}^l در مدل استاندارد پارامترهای نامعلومند. یعنی در مدل استاندارد جرم لپتونها را نمی‌توان پیش‌بینی کرد بلکه باید از آزمایش اندازه‌گیری شوند.

از جمله دوم در سمت راست معادله (118-1) و (119-1) درمی‌یابیم که جفت‌شدگی‌های سه‌ساقی بین لپتونهای باردار و بوزون هیگز متناسب با جرم لپتونهای باردار است.

$$-\sum_{\alpha=e,\mu,\tau} \frac{m_\alpha}{v} \overline{l}_\alpha l_\alpha H \quad (120-1)$$

نوتروینوها در مدل استاندارد بدون جرم هستند. پس با بوزون هیگر جفت نمی‌شوند. جفت‌شدگی سه-

ساقی (120-1) لپتون باردار l با بوزون هیگر به صورت زیر می‌باشد.



و با توجه به تبدیل موجود در (117-1)

$$\nu'_L \equiv \begin{pmatrix} \nu'_{eL} \\ \nu'_{\mu L} \\ \nu'_{\tau L} \end{pmatrix} \quad (122-1)$$

$$j_{W,L}^\rho = 2 \overline{\nu'_L} \gamma^\rho l'_L = 2 \overline{\nu'_L} \gamma^\rho V_L^l l_L \quad (123-1)$$

برای نوتروینوهای بدون جرم

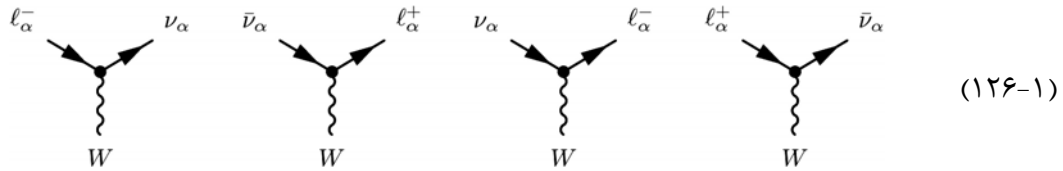
$$\nu_L = V_L^l \dagger \nu'_L \equiv \begin{pmatrix} \nu_{eL} \\ \nu_{\mu L} \\ \nu_{\tau L} \end{pmatrix} \quad (124-1)$$

و جریان ضعیف باردار لپتونی به صورت زیر می‌باشد.

$$j_{W,L}^\rho = 2 \overline{\nu_L} \gamma^\rho l_L = 2 \sum_{\alpha=e,\mu,\tau} \overline{\nu_{\alpha L}} \gamma^\rho l_{\alpha L} \quad (125-1)$$

در مدل استاندارد، میدانهای طعم نوتروینو (از این‌رو به آنها طعم گفته می‌شود که هریک فقط با میدان لپتون باردار نظری در جریان ضعیف باردار (125-1) جفت می‌شوند). ویژه‌حالتهای جرمی نیز هستند. زیرا هر ترکیب خطی از میدانهای بدون جرم میدانی بدون جرم است. بعداً خواهیم دید که در نظریه‌های ماورا مدل استاندارد که نوتروینوها جرم‌دار هستند، میدانهای طعم نوتروینو در حالت کلی ویژه‌حالتهای جرمی نیستند، پدیده‌ای که به آن نوسانات نوتروینو گویند.

با جریان ضعیف باردار لپتونی در (۱۲۵-۱)، بخش لپتونی لاگرانژی برهمکنش ضعیف جریان باردار در (۱۶-۱) توصیف کننده جفت‌شده‌گیهای سه‌ساقی لپتونها با بوزون پیمانه‌ای W است.



هر لپتون باردار را با طعم نوترینوی متناظر جفت می‌کند. درنتیجه اعداد لپتونی هر طعم، L_τ, L_μ, L_e پایسته هستند.

جدول (۱۴-۱) اعداد لپتونی برای طعمهای مختلف

L_τ	L_μ	L_e		L_τ	L_μ	L_e	
○	○	-1	$(\bar{\nu}_e, e^+)$	○	○	+1	(ν_e, e^-)
○	-1	○	$(\bar{\nu}_\mu, \mu^+)$	○	+1	○	(ν_μ, μ^-)
-1		○	$(\bar{\nu}_\tau, \tau^+)$	+1		○	(ν_τ, τ^-)

در فصل ۳ خواهیم دید که ناپایستگی اعداد لپتونی در فیزیک ماورای مدل استاندارد اهمیتی بسیار دارد. پایستگی هر عدد طعم لپتونی از طریق قضیه نوثر^۱ به ناوردایی لاگرانژی تحت تبدیلات جهانی (U, مربوط می‌شود).

$$\nu_{\alpha L} \longrightarrow e^{i\varphi_\alpha} \nu_{\alpha L} \quad l_{\alpha L} \longrightarrow e^{i\varphi_\alpha} l_{\alpha L} \quad l_{\alpha R} \longrightarrow e^{i\varphi_\alpha} l_{\alpha R} \quad (127-1)$$

درنتیجه جریان پایسته متناظر با آن $\partial_\rho j^\rho = 0$ برابر با عبارت زیر است.

$$j_\alpha^\rho = \overline{\nu_{\alpha L}} \gamma^\rho \nu_{\alpha L} + \overline{l_\alpha} \gamma^\rho l_\alpha \quad (128-1)$$

و بار پایسته هم ($\partial_\alpha L_\alpha = 0$) برابر با عبارت زیر است

$$L_\alpha = \int d^4x j_\alpha^\circ(x) \quad (129-1)$$

با استفاده از بسط فوریه برای جواب معادله دیراک، به روابط زیر می‌رسیم

¹ Noether's Theorem

$$\psi(x) = \int \frac{d^3x}{(2\pi)^3 2E} \sum_{h=\pm 1} \left[a^{(h)}(p) u^{(h)}(p) e^{-ip \cdot x} + b^{(h)\dagger}(p) v^{(h)}(p) e^{ip \cdot x} \right] \quad (130-1)$$

(بسط میدان جرم دار دیراک)

$$\psi_R(x) = \int \frac{d^3x}{(2\pi)^3 2E} \left[a^{(+)}(p) u^{(+)}(p) e^{-ip \cdot x} + b^{(-)\dagger}(p) v^{(-)}(p) e^{ip \cdot x} \right] \quad (131-1)$$

(میدان کایرال بدون جرم)

$$\psi_L(x) = \int \frac{d^3x}{(2\pi)^3 2E} \left[a^{(-)}(p) u^{(-)}(p) e^{-ip \cdot x} + b^{(+)\dagger}(p) v^{(+)}(p) e^{ip \cdot x} \right] \quad (132-1)$$

(میدان کایرال بدون جرم)

با استفاده از بسط فوریه برای میدان نوترینوی کایرال چپگرد $\nu_{\alpha L}(x)$ عملگر عدد لپتونی طعم

نوترینو را که بسامان و بهنجار^۱ شده باشد، به دست می‌آوریم.

$$L_\alpha := \int \frac{d^3x}{(2\pi)^3 2E} \left[a_{\nu_\alpha}^{(-)\dagger}(p) a_{\nu_\alpha}^{(-)}(p) - b_{\nu_\alpha}^{(+)\dagger}(p) b_{\nu_\alpha}^{(+)}(p) \right] \quad (133-1)$$

$$+ \int \frac{d^3x}{(2\pi)^3 2E} \sum_{h=\pm 1} \left[a_{l_\alpha}^{(h)\dagger}(p) a_{l_\alpha}^{(h)}(p) - b_{l_\alpha}^{(h)\dagger}(p) b_{l_\alpha}^{(h)}(p) \right]$$

این رابطه بیانگر آن است که در مدل استاندارد، نوترینوها فقط چپگرد و پادنوترینوها فقط راستگرد هستند. با درنظر گرفتن جریان خنثی ضعیف برای میدانهای لپتونی در معادله دوم (۷۳-۱)،

$$j_{W,L}^\rho = g_L^\nu \overline{\nu_L} \gamma^\rho \nu'_L + g_L^l \overline{l_L} \gamma^\rho l'_L + g_R^l \overline{l_R} \gamma^\rho l'_R$$

$$= g_L^\nu \overline{\nu_L} V_L^{l\dagger} \gamma^\rho V_L^l \nu_L + g_L^l \overline{l_L} V_L^{l\dagger} \gamma^\rho l_L + g_R^l \overline{l_R} V_R^{l\dagger} \gamma^\rho V_L^l l_R \quad (134-1)$$

$$= g_L^\nu \overline{\nu_L} \gamma^\rho \nu_L + g_L^l \overline{l_L} \gamma^\rho l_L + g_R^l \overline{l_R} \gamma^\rho l_R$$

$$\left(l_L = V_L^{l\dagger} l'_L, \quad l_R = V_R^{l\dagger} l'_R \right)$$

$V_L^{l\dagger}$ و V_R^l هم یکانی‌اند.

بنابراین عبارت حاضر برای جریان خنثی ضعیف بر حسب میدانهای لپتونی بدون پریم با جرم معین

همانند عبارت بر حسب میدانهای لپتونی پریم‌دار هستند. به این پدیده سازوکار GIM^۲ گویند [۱۱].

¹ Normal ordered

² Glashow- Iliopoulos- Maiani

سازوکار GIM برای جریان الکترومغناطیسی لپتونها هم در معادله دوم (۷۳-۱) صدق می‌کند.

$$j_{\gamma,L}^{\rho} = - \sum_{\alpha=e,\mu,\tau} \overline{l'_\alpha} \gamma^\rho l_\alpha \quad (135-1)$$

بنابراین جفت‌شدگی‌های سه‌ساقی لپتونها با بوزون پیمانه‌ای Z را می‌توان به صورت زیر نشان داد.

$$(136-1)$$

و جفت‌شدگی سه‌ساقی لپتون باردار ℓ_α با فوتون به صورت زیر می‌باشد.

$$(137-1)$$

۱-۶-۱ جملات جرمی کوارمها

با استفاده از معادلات (۶۱-۱) دوگانه‌های چپگرد، و (۶۲-۱) دوگانه‌های راستگرد، حاصلضربهای جرم-

گونه میدانهای راستگرد و چپگرد را در نظر می‌گیریم.

دوگونه حاصلضرب را می‌توان در نظر گرفت.

$$\begin{aligned} \overline{Q'_{\alpha L}} q'^D_{\beta R} & \quad \alpha = 1, 2, 3 \\ & \quad \beta = d, s, b \\ \overline{Q'_{\alpha R}} q'^U_{\beta R} & \quad \alpha = 1, 2, 3 \\ & \quad \beta = u, c, t \end{aligned} \quad (138-1)$$

حاصلضرب سطر نخست (۱۳۸-۱) با فوقبار $-Y$ می‌تواند با دوگانه هیگز با فوقبار $+Y$ جفت

شود تا لاگرانژی یوکاوایی تحت تبدیلات $(1+1)_L \times U(2)_Y$ در (۱۰-۱) ناوردا بماند.

$$-\sum_{\alpha=1,2,3} \sum_{\beta=d,s,b} Y'^D_{\alpha\beta} \overline{Q'_{\alpha L}} \Phi q'^D_{\beta R} \quad (139-1)$$

ماتریس $Y^{,D} \times 3$ مختلط جفت‌شده‌های یوکاواست. این جمله لاغرانژی در سطر ششم لاغرانژی مدل استاندارد معادله (۱-۶۳) هم پدیدار شد. این جمله همانند لاغرانژی یوکاوای هیگز لپتون در معادله (۱-۱۱۳) می‌باشد و ایجاد جرم کوارکهای پایین‌گون d, s, b ، می‌گردد.

$$\begin{aligned} & -\left(\frac{v+H}{\sqrt{2}}\right)_{\alpha, \beta=d, s, b} Y_{\alpha \beta}^{'D} \overline{q_{\alpha L}^{'D}} q_{\beta R}^{'D} \\ & Y_{d \beta}^{'D} \equiv Y_{\backslash \beta}^{'D} \quad Y_{s \beta}^{'D} \equiv Y_{\natural \beta}^{'D} \quad Y_{b \beta}^{'D} \equiv Y_{\flat \beta}^{'D} \\ & \tilde{\Phi} = i \tau_{\nu} \Phi^{*} \end{aligned} \quad (140-1)$$

$$\begin{aligned} \tilde{\Phi} & \xrightarrow{g(\underline{\theta}(x), \eta(x))} i \tau_{\nu} e^{-i \underline{\theta}(x) \cdot \frac{\tau^*}{\sqrt{2}} - i \frac{\eta(x)}{\sqrt{2}}} \Phi^{*} = \left(\tau_{\nu} e^{-i \underline{\theta}(x) \cdot \frac{\tau^*}{\sqrt{2}} - i \frac{\eta(x)}{\sqrt{2}}} \tau_{\nu} \right) i \tau_{\nu} \Phi^{*} \\ & = e^{i \underline{\theta}(x) \cdot \underline{\tau} - i \frac{\eta(x)}{\sqrt{2}}} \tilde{\Phi} \quad (\tau_{\nu} \underline{\tau}^* \tau_{\nu} = -\underline{\tau}) \end{aligned} \quad (142-1)$$

بهمانند دوگانه ایزوسپین ضعیف با فوقبار $-1 = Y$ تبدیل می‌یابد. جرم کوارکهای بالا گون $\tilde{\Phi}$

$$-\sum_{\alpha=1, 2, 3} \sum_{\beta=u, c, t} Y_{\alpha \beta}^{'D} \overline{Q_{\alpha L}^{'D}} \tilde{\Phi} q_{\beta R}^{'D} \quad \text{در سطر آخر (۶۳-۱) بود} \quad (143-1)$$

$$\tilde{\Phi} = \frac{1}{\sqrt{2}} \begin{pmatrix} v + H(x) \\ \circ \end{pmatrix} \quad \text{در پیمانه یکانی} \quad (144-1)$$

$$\begin{aligned} (143-1) \Rightarrow & -\left(\frac{v+H(x)}{\sqrt{2}}\right)_{\alpha, \beta=u, c, t} \sum_{\alpha, \beta=u, c, t} Y_{\alpha \beta}^{'U} \overline{q_{\alpha L}^{'U}} \tilde{\Phi} q_{\beta R}^{'U} \\ & Y_{u \beta}^{'U} \equiv Y_{\backslash \beta}^{'U}, \quad Y_{c \beta}^{'U} \equiv Y_{\natural \beta}^{'U}, \quad Y_{t \beta}^{'U} \equiv Y_{\flat \beta}^{'U} \end{aligned} \quad (145-1)$$

درنتیجه با قرار دادن جملات یوکاوای ناوردای پیمانه‌ای و همیوغهای هرمیتی آنها در (۱-۱۳۹) و (۱-۱۴۳)، لاغرانژی یوکاوای کوارک به دست می‌آید.

$$\mathcal{L}_{H, Q} = -\sum_{\alpha=1, 2, 3} \left[\sum_{\beta=d, s, b} Y_{\alpha \beta}^{'D} \overline{Q_{\alpha L}^{'D}} \Phi q_{\beta R}^{'D} + \sum_{\beta=u, c, t} Y_{\alpha \beta}^{'U} \overline{Q_{\alpha L}^{'U}} \tilde{\Phi} q_{\beta R}^{'U} \right] + \text{H.C.} \quad (146-1)$$

$$\mathcal{L}_{H, Q} = -\left(\frac{v+H(x)}{\sqrt{2}}\right) \left[\sum_{\alpha, \beta=d, s, b} Y_{\alpha \beta}^{'D} \overline{q_{\alpha L}^{'D}} q_{\beta R}^{'D} + \sum_{\alpha, \beta=u, c, t} Y_{\alpha \beta}^{'U} \overline{q_{\alpha L}^{'U}} q_{\beta R}^{'U} \right] + \text{H.C.} \quad (147-1)$$

جملات متناسب با v جملات جرمی کوارکها هستند. از آنجا که ماتریسهای مختلط $Y^{'U}, Y^{'D}$ از

جفتشدگیهای یوکاوا در حالت کلی غیرقطری‌اند، میدانهای کوارکی پریم‌دار دارای جرم معینی نیستند. آرایه‌های زیر را همانند لپتونها معرفی می‌کنیم.

$$q_L'^U \equiv \begin{pmatrix} u_L' \\ c_L' \\ t_L' \end{pmatrix} \quad q_R'^U \equiv \begin{pmatrix} u_R' \\ c_R' \\ t_R' \end{pmatrix} \quad q_L'^D \equiv \begin{pmatrix} d_L' \\ s_L' \\ b_L' \end{pmatrix} \quad q_R'^D \equiv \begin{pmatrix} d_R' \\ s_R' \\ b_R' \end{pmatrix} \quad (148-1)$$

لاگرانژی یوکاوا هیگز-کوارک به شکل ماتریسی زیر می‌باشد.

$$\mathcal{L}_{H,Q} = \left(\frac{v + H}{\sqrt{2}} \right) \left[\overline{q_L'^D} Y'^D q_R'^D + \overline{q_L'^U} Y'^R q_R'^U \right] + \text{H.C.} \quad (149-1)$$

$$V_L^{D\dagger} Y'^U V_R^D = Y^D \quad , \quad Y_{\alpha\beta}^D = y_\alpha^D \delta_{\alpha\beta} \quad (\alpha, \beta = d, s, b) \quad (150-1)$$

$$V_L^{U\dagger} Y'^U V_R^U = Y^U \quad , \quad Y_{\alpha\beta}^U = y_\alpha^U \delta_{\alpha\beta} \quad (\alpha, \beta = u, c, t)$$

$$q_L^U = V_L^{U\dagger} q_L'^U \equiv \begin{pmatrix} u_L \\ c_L \\ t_L \end{pmatrix}, \quad q_R^U = V_R^{U\dagger} q_R'^U \equiv \begin{pmatrix} u_R \\ c_R \\ t_R \end{pmatrix} \quad (151-1)$$

$$q_L^D = V_R^{D\dagger} q_L'^D \equiv \begin{pmatrix} d_L \\ s_L \\ b_L \end{pmatrix}, \quad q_R^D = V_R^{D\dagger} q_R'^D \equiv \begin{pmatrix} d_R \\ s_R \\ b_R \end{pmatrix}$$

$$\mathcal{L}_{H,Q} = \left(\frac{v + H}{\sqrt{2}} \right) \left[\overline{q_L^D} Y^D q_R^D + \overline{q_L^U} Y^U q_R^U \right] + \text{H.C.}$$

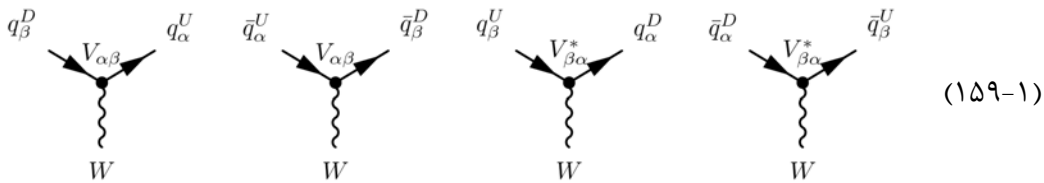
$$= - \sum_{\alpha=d,s,b} \frac{y_\alpha^D v}{\sqrt{2}} \overline{q_\alpha^D} q_\alpha^D - \sum_{\alpha=u,c,t} \frac{y_\alpha^U v}{\sqrt{2}} \overline{q_\alpha^U} q_\alpha^U \quad (152-1)$$

$$- \sum_{\alpha=d,s,b} \frac{y_\alpha^D}{\sqrt{2}} \overline{q_\alpha^D} q_\alpha^D H - \sum_{\alpha=u,c,t} \frac{y_\alpha^U}{\sqrt{2}} \overline{q_\alpha^U} q_\alpha^U H$$

$$q_\alpha^D \equiv q_{\alpha L}^D + q_{\alpha R}^D \quad q_\alpha^U \equiv q_{\alpha L}^U + q_{\alpha R}^U$$

$$m_\alpha = \frac{y_\alpha^D v}{\sqrt{2}} \quad (\alpha = d, s, b) \quad (153-1)$$

$$m_\alpha = \frac{y_\alpha^U v}{\sqrt{2}} \quad (\alpha = u, c, t)$$



همانند مورد لپتونها به دلیل نامعلوم بودن مقدار پارامترهای $q_{u,c,t}^U$ و $q_{d,s,b}^D$ در مدل استاندارد، نمی‌توان جرم کوارها را پیش‌بینیکرد و باید آن را از آزمایش به دست آورد.

به سبب ناسازگاری بین میدانهای کوارکی بدون پریم با جرم معین و میدانهای کوارکی پریم‌دار با جرم نامعین (جريان باردار ضعیف کوارکی (167-1)) آمیختگی کوارکی پیش می‌آید. با استفاده از تعریفهای (148-1)، جريان باردار ضعیف کوارکی به صورت زیر در می‌آید.

$$j_{W,Q}^\rho = \overline{q_L^U} \gamma^\rho q_L^D \quad (154-1)$$

$$j_{W,Q}^\rho = \overline{q_L^U} V_L^{U\dagger} \gamma^\rho V_L^D q_L^D = \overline{q_L^U} \gamma^\rho V_L^{U\dagger} V_L^D q_L^D \quad (155-1)$$

$$q_L^U V_L^{U\dagger} q_L^D \rightarrow \overline{q_L^U} = \overline{q_L^U} V_L^U \rightarrow \overline{q_L^U} V_L^{U\dagger} = \overline{q_L^U} \quad (156-1)$$

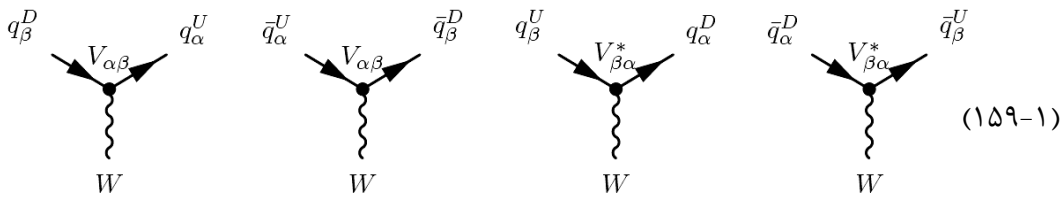
$$V = V_L^{U\dagger} V_L^D \quad (157-1)$$

ماتریس آمیختگی کوارک، V ، را ماتریس کابیبو-کوبایاشی ماساکاوا¹ (CKM) نیز می‌نامند که اثر فیزیکی آمیختگی کوارکها را دربر می‌گیرد. ماتریس آمیختگی کوارکی برهمکنشهای جريان باردار ضعیف را برای کوارکها با جريان زیر تعیین می‌کند.

$$j_{W,Q}^\rho = \overline{q_L^U} \gamma^\rho V q_L^D \quad (158-1)$$

عبارت بالا در محاسبات مربوط به فرآیندهای برهمکنش ضعیف که کوارکها را دربر می‌گیرد، (که حالت‌های آغازین و نهایی دارای جرم معینی باشند) بسیار مورد استفاده قرار می‌گیرد. کمیتهای قابل اندازه‌گیری به عناصر ماتریس آمیختگی V بستگی دارند. با جريان باردار ضعیف در (158-1) بخش کوارکی لاگرانژی برهمکنش ضعیف جريان ضعیف در (166-1) جفت‌شدگیهای سه ساقی کوارکها (158-1) را با بوزون پیمانه‌ای W توصیف می‌کند.

¹ Cabibbo-Kobayashi-Masakawa



در رأس تغییر طعم رخ می‌دهد، عدد طعم کوارکها پایسته نیست. عدد باریونی در جریان باردار

کوارکی (۶۷-۱) پایسته است. عدد باریونی کوارکی برابر با $\frac{1}{3}$ و برای پادکوارکها برابر با $\frac{1}{3}$ است.

اکنون به بررسی اثر آمیختگی کوارکها بر جریان ضعیف خنثی (۱-۷۳) می‌پردازیم. با استفاده از

(۱۵۱-۱) جریان خنثی کوارکی را برحسب میدانهای کوارکی با جرم معین بیان می‌کنیم.

$$\begin{aligned} j_{W,L}^\rho = & 2g_L^U \overline{q_L^U} \gamma^\rho q_L'^U + 2g_R^U \overline{q_R^U} \gamma^\rho q_R'^U + 2g_L^D \overline{q_L^D} \gamma^\rho q_L'^D \\ & + 2g_R^D \overline{q_R^D} \gamma^\rho q_R'^D = 2g_L^U \overline{q_L^U} V_L^U \gamma^\rho V_L^U q_L^U + 2g_R^U \overline{q_R^U} V_R^U \gamma^\rho V_R^U q_R^U \\ & + 2g_L^D \overline{q_L^D} V_L^D \gamma^\rho V_L^D q_L^D + 2g_R^D \overline{q_R^D} V_R^D \gamma^\rho V_R^D q_R^D \\ & = 2g_L^U \overline{q_L^U} \gamma^\rho q_L^U + 2g_R^U \overline{q_R^U} \gamma^\rho q_R^U + 2g_L^D \overline{q_L^D} \gamma^\rho q_L^D + 2g_R^D \overline{q_R^D} \gamma^\rho q_R^D \end{aligned} \quad (160-1)$$

پس چه جریان خنثی را برحسب میدانهای کوارکی جرمدار و چه برحسب میدانهای پریم‌دار بیان

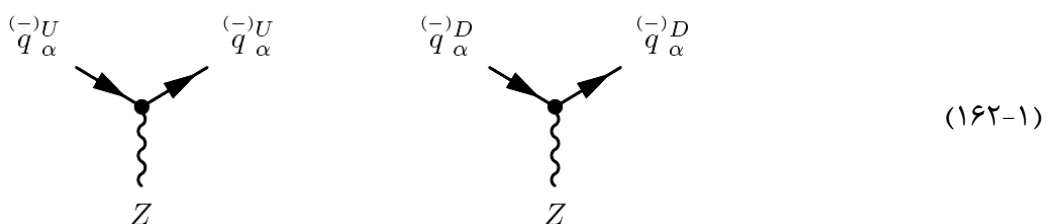
کنیم، (میدانهای پریم‌دار در جریان باردار ضعیف پدیدار می‌شوند) شکل آنها یکسان می‌باشد.

به این روند، سازوکار GIM گویند. جریان خنثی ضعیف تحت آمیختگی میدانهای کوارکی ناورداد

می‌باشد. سازوکار GIM در جریان الکترومغناطیسی کوارکها هم کار می‌کند.

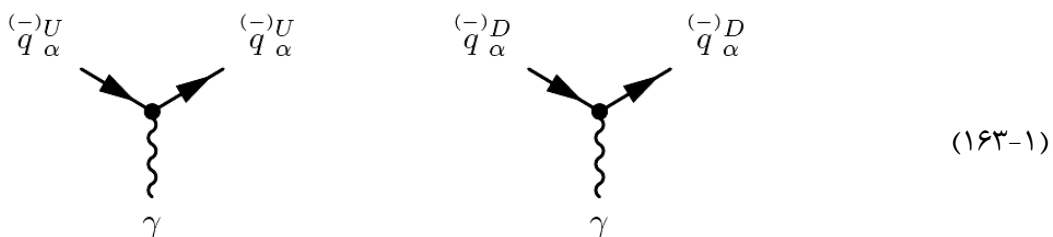
$$j_{\gamma,Q}^\rho = \frac{1}{3} \sum_{\alpha=u,c,t} \overline{q_\alpha^U} \gamma^\rho q_\alpha^U - \frac{1}{3} \sum_{\alpha=d,s,b} \overline{q_\alpha^D} \gamma^\rho q_\alpha^D \quad (161-1)$$

که برحسب میدانهای کوارکی جرمدار معادله (۱۵۲-۱) نوشته شد. بنابراین در مدل استاندارد هیچ



جریان خنثی که سبب تغییر طعم شود، وجود ندارد.

و جفت‌شدگی‌های سه‌ساقی کوارکها با فوتون را هم با نمودار زیر نشان می‌دهیم



۷-۱ بوزونهای پیمانه‌ای

سطر دوم در لagrانژی الکتروضعیف مدل استاندارد (63-1) را درنظر می‌گیریم

$$\mathcal{L}_{\text{gauge}} = -\frac{1}{4} \underline{A}_{\mu\nu} \underline{A}^{\mu\nu} - \frac{1}{4} \underline{B}_{\mu\nu} \underline{B}^{\mu\nu} \quad (164-1)$$

این جملات بیان‌کننده میدانهای پیمانه‌ای و خودبرهمکنشهای آن می‌باشد.

$$\underline{A}^{\mu\nu} = (A_1^{\mu\nu}, A_2^{\mu\nu}, A_3^{\mu\nu})$$

$$A_a^{\mu\nu} = \partial^\mu A_a^\nu - \partial^\nu A_a^\mu - g \sum_{b,c=1}^3 \epsilon_{abc} A_b^\mu A_c^\nu \quad (a=1,2,3) \quad (165-1)$$

$$B^{\mu\nu} = \partial^\mu B^\nu - \partial^\nu B^\mu$$

که $B^{\mu\nu}$ تعمیم تansور الکترومغناطیسی است. A^μ همان میدان

الکترومغناطیسی معادله (38-1) می‌باشد. جمله جنبشی از رابطه زیر به دست می‌آید.

$$\mathcal{L}_A = -\frac{1}{4} F_{\mu\nu} F^{\mu\nu} \quad (166-1)$$

که تحت تبدیل پیمانه‌ای موضعی $(1) U$ ناوردا می‌باشد [12].

پس به همین روش جمله دوم در معادله (164-1) تحت تبدیلات موضعی $(1) U$ که در معادله (1-1)

آمد، ناوردا می‌باشد.

در معادله (165-1) علاوه بر موارد بالا، جمله اضافی دیگری هم وجود دارد که برای منظور کردن

بوزونهای پیمانه‌ای $SU(2)_L$ و درنتیجه ناوردایی جمله نخست (164-1)، تحت

تبدیلات پیمانه‌ای غیرآبلی موضعی $SU(2)_L$ ، همان تبدیلات معادله (22-1) نوشته شده است.

با استفاده از معادلات (۱۶۴-۱) و (۳۸-۱)، معادله (۳۲-۱) را برحسب میدانهای پیمانه‌ای

$$W^\mu, Z^\mu, A^\mu \text{ می‌نویسیم.}$$

$$\begin{cases} W^\mu = \frac{A_\chi^\mu - i A_\gamma^\mu}{\sqrt{2}} \\ W^{\mu\dagger} = \frac{A_\chi^\mu + i A_\gamma^\mu}{\sqrt{2}} \end{cases} \Rightarrow \begin{cases} A_\chi^\mu = \frac{W^\mu + W^{\mu\dagger}}{\sqrt{2}} \\ A_\gamma^\mu = \frac{W^\mu - W^{\mu\dagger}}{\sqrt{2}i} \end{cases} \quad (167-1)$$

$$\begin{cases} A^\mu = \sin \theta_W A_\gamma^\mu + \cos \theta_W B^\mu \\ Z^\mu = \cos \theta_W A_\gamma^\mu - \sin \theta_W B^\mu \end{cases} \Rightarrow \begin{cases} A_\gamma^\mu = \sin \theta_W A^\mu + \cos \theta_W Z^\mu \\ B^\mu = \cos \theta_W A^\mu - \sin \theta_W Z^\mu \end{cases}$$

$$A_a^{\mu\nu} = \partial^\mu A_a^\nu - \partial^\nu A_a^\mu - g \sum_{b,c=1}^3 \varepsilon_{abc} A_b^\mu A_c^\nu \quad (168-1)$$

$$B^{\mu\nu} = \partial^\mu B^\nu - \partial^\nu B^\mu$$

$$\begin{aligned} \mathcal{L}_{\text{gauge}} &= -\frac{1}{4} A_{\mu\nu} A^{\mu\nu} - \frac{1}{4} B_{\mu\nu} B^{\mu\nu} = \\ &= -\frac{1}{4} \left\{ (A_{\chi\mu\nu} A_{\gamma\mu\nu} A_{\gamma\mu\nu}) (A_\chi^{\mu\nu} A_\gamma^{\mu\nu} A_\gamma^{\mu\nu}) \right. \\ &\quad \left. + (\partial_\mu B_\nu - \partial_\nu B_\mu) (\partial^\mu B^\nu - \partial^\nu B^\mu) \right\} \quad (169-1) \\ &= -\frac{1}{4} \left\{ A_{\chi\mu\nu} A_{\chi\mu\nu}^{\mu\nu} + A_{\gamma\mu\nu} A_{\gamma\mu\nu}^{\mu\nu} + A_{\gamma\mu\nu} A_{\gamma\mu\nu}^{\mu\nu} \right. \\ &\quad \left. + (\partial_\mu B_\nu - \partial_\nu B_\mu) (\partial^\mu B^\nu - \partial^\nu B^\mu) \right\} \end{aligned}$$

برای نمونه جمله نخست را به همراه میدانهای B درنظر می‌گیریم (با استفاده از (۱۶۷-۱)).

$$\begin{aligned} \mathcal{L}_{\text{gauge}} &= -\frac{1}{4} \left\{ \left[\partial_\mu A_{\chi\nu} - \partial_\nu A_{\chi\mu} - g (A_{\gamma\mu} A_{\gamma\nu} + A_{\gamma\mu} A_{\gamma\nu}) \right] \right. \\ &\quad \times \left. \left[\partial^\mu A_\chi^\nu - \partial^\nu A_\chi^\mu - g (A_\gamma^\mu A_\gamma^\nu + A_\gamma^\mu A_\gamma^\nu) \right] + (\partial_\mu B_\nu - \partial_\nu B_\mu) (\partial^\mu B^\nu - \partial^\nu B^\mu) \right\} \quad (170-1) \end{aligned}$$

$$\begin{aligned}
&= -\frac{1}{\gamma} \left\{ \left[\partial_\mu \left(\frac{W_\nu + W_\nu^\dagger}{\sqrt{\gamma}} \right) - \partial_\nu \left(\frac{W_\mu + W_\mu^\dagger}{\sqrt{\gamma}} \right) - g \left(\frac{W_\mu - W_\mu^\dagger}{\sqrt{\gamma} i} \right) (\sin \theta_W A_\nu + \cos \theta_W Z_\nu) \right. \right. \\
&\quad - g (\sin \theta_W A_\nu + \cos \theta_W Z_\nu) \left(\frac{W_\nu - W_\nu^\dagger}{\sqrt{\gamma} i} \right) \left[\partial^\mu \left(\frac{W_\nu + W_\nu^\dagger}{\sqrt{\gamma}} \right) - \partial^\nu \left(\frac{W_\mu + W_\mu^\dagger}{\sqrt{\gamma}} \right) \right. \\
&\quad \left. \left. - g \left(\frac{W_\mu - W_\mu^\dagger}{\sqrt{\gamma} i} \right) (\sin \theta_W A_\nu + \cos \theta_W Z_\nu) - g (\sin \theta_W A^\mu + \cos \theta_W Z^\mu) \left(\frac{W_\nu - W_\nu^\dagger}{\sqrt{\gamma} i} \right) \right] \right. \\
&\quad \left. + \left[\partial_\mu (\cos \theta_W A_\nu - \sin \theta_W Z_\nu) - \partial_\nu (\cos \theta_W A_\mu - \sin \theta_W Z_\mu) \right] \right. \\
&\quad \times \left. \left[\partial^\mu (\cos \theta_W A_\nu - \sin \theta_W Z_\nu) - \partial^\nu (\cos \theta_W A_\mu - \sin \theta_W Z_\mu) \right] \right\} \quad (171-1) \\
&= -\frac{1}{\gamma} \left\{ \left[\frac{\partial_\mu W_\nu + \partial_\mu W_\nu^\dagger}{\sqrt{\gamma}} - \frac{\partial_\nu W_\mu + \partial_\nu W_\mu^\dagger}{\sqrt{\gamma}} - \frac{g i}{\sqrt{\gamma}} \sin \theta_W W_\mu A_\nu + \frac{g i}{\sqrt{\gamma}} \cos \theta_W W_\mu Z_\nu \right. \right. \\
&\quad - \frac{g i}{\sqrt{\gamma}} \sin \theta_W W_\mu^\dagger A_\nu - \frac{g i}{\sqrt{\gamma}} \cos \theta_W W_\mu^\dagger Z_\nu + \frac{g i}{\sqrt{\gamma}} \sin \theta_W A_\mu W_\nu - \frac{g i}{\sqrt{\gamma}} \sin \theta_W A_\mu W_\nu^\dagger \\
&\quad + \frac{g i}{\sqrt{\gamma}} \cos \theta_W Z_\mu W_\nu - \frac{g i}{\sqrt{\gamma}} \cos \theta_W Z_\mu W_\nu^\dagger \left. \right] \left[\frac{\partial^\mu W_\nu + \partial^\mu W_\nu^\dagger}{\sqrt{\gamma}} - \frac{\partial^\nu W_\mu + \partial^\nu W_\mu^\dagger}{\sqrt{\gamma}} \right. \\
&\quad \left. \left. + \frac{g i}{\sqrt{\gamma}} \sin \theta_W W^\mu A_\nu + \frac{g i}{\sqrt{\gamma}} \cos \theta_W W^\mu Z_\nu - \frac{g i}{\sqrt{\gamma}} \sin \theta_W W^\mu A_\nu + \frac{g i}{\sqrt{\gamma}} \cos \theta_W W^\mu Z_\nu \right. \right. \\
&\quad + \frac{g i}{\sqrt{\gamma}} \sin \theta_W A^\mu W_\nu - \frac{g i}{\sqrt{\gamma}} \sin \theta_W A^\mu W_\nu^\dagger + \frac{g i}{\sqrt{\gamma}} \cos \theta_W Z^\mu W_\nu - \frac{g i}{\sqrt{\gamma}} \cos \theta_W Z^\mu W_\nu^\dagger \\
&\quad + \left[\cos \theta_W \partial_\mu A_\nu - \sin \theta_W \partial_\mu Z_\nu - \cos \theta_W \partial_\nu A_\mu - \sin \theta_W \partial_\nu Z_\mu \right] \\
&\quad \times \left. \left. \left[\cos \theta_W \partial^\mu A_\nu - \sin \theta_W \partial^\mu Z_\nu - \cos \theta_W \partial^\nu A_\mu + \sin \theta_W \partial^\nu Z_\mu \right] \right\} \quad (172-1) \right.
\end{aligned}$$

به همین ترتیب برای دو جمله دیگر $A_{\alpha\mu\nu} A^{\mu\nu}$ و $A_{\alpha\mu\nu} A^{\mu\nu}$ هم می‌نویسیم. با توجه به رابطه‌های

$$\begin{aligned}
F_W^{\mu\nu} &= \partial^\mu W^\nu - \partial^\nu W^\mu \\
F_Z^{\mu\nu} &= \partial^\mu Z^\nu - \partial^\nu Z^\mu \quad (173-1)
\end{aligned}$$

لاغرانژی به صورت زیر در می‌آید

$$\begin{aligned}
\mathcal{L} &= -\frac{1}{\gamma} \left\{ \left[\frac{F_W^{\mu\nu}}{\sqrt{\gamma}} \left(\partial_\mu W_\nu - \partial_\nu W_\mu \right) + \frac{F_W^{\dagger\mu\nu}}{\sqrt{\gamma}} \left(\partial_\mu W_\nu^\dagger - \partial_\nu W_\mu^\dagger \right) \right. \right. \\
&\quad \left. \left. + \frac{g i}{\sqrt{\gamma}} \cos \theta_W (W_\mu Z_\nu + W_\mu^\dagger Z_\nu + Z_\mu W_\nu - Z_\mu W_\nu^\dagger) \right] \right\}
\end{aligned}$$

$$\begin{aligned}
& + \frac{g i}{\sqrt{2}} \sin \theta_W (W_\mu A_\nu - W_\mu^\dagger A_\nu + A_\mu W_\nu - A_\mu W_\nu^\dagger) \Big] \\
& \times \left[\left[\frac{\overbrace{\partial^\mu W^\nu - \partial^\nu W^\mu}^{F_{W\mu\nu}}}{\sqrt{2}} + \frac{\overbrace{\partial^\mu W^{\nu\dagger} - \partial^\nu W^{\mu\dagger}}^{F_{W\mu\nu}}}{\sqrt{2}} \right. \right. \\
& + \frac{g i}{\sqrt{2}} \cos \theta_W (W^\mu Z^\nu + W^{\mu\dagger} Z^\nu + Z^\mu W^\nu - Z^\mu W^{\nu\dagger}) \\
& + \frac{g i}{\sqrt{2}} \sin \theta_W (W^\mu A^\nu - W^{\mu\dagger} A^\nu + A^\mu W^\nu - A^\mu W^{\nu\dagger}) \Big] \\
& + \left[\cos \theta_W (\overbrace{\partial_\mu A_\nu - \partial_\nu A_\mu}^{F_{\mu\nu}}) + \sin \theta_W (\overbrace{\partial_\mu Z_\nu - \partial_\nu Z_\mu}^{F_{Z\mu\nu}}) \right] \\
& \times \left. \left[\cos \theta_W (\overbrace{\partial^\mu A^\nu - \partial^\nu A^\mu}^{F^{\mu\nu}}) + \sin \theta_W (\overbrace{\partial^\mu Z^\nu - \partial^\nu Z^\mu}^{F_Z^{\mu\nu}}) \right] \right\} \quad (174-1)
\end{aligned}$$

در نهایت با توجه به اینکه $\frac{g g'}{\sqrt{g' + g''}} = e$ و با درنظر گرفتن همه جملات به نتیجه زیر می‌رسیم:

$$\begin{aligned}
L = & -\frac{1}{4} F_W^\dagger_{\mu\nu} F_W^{\mu\nu} - \frac{1}{4} F_Z^\dagger_{\mu\nu} F_Z^{\mu\nu} - \frac{1}{4} F_{\mu\nu} F^{\mu\nu} \\
& + i g \cos \theta_W [F_W^{\mu\nu} Z_\mu W_\nu^\dagger - F_W^\dagger_{\mu\nu} Z^\mu W^\nu + F_Z^{\mu\nu} W_\mu^\dagger W_\nu] \\
& + i e [F_W^{\mu\nu} A_\mu W_\nu^\dagger - F_W^\dagger_{\mu\nu} A^\mu W^\nu + F^{\mu\nu} W_\mu^\dagger W_\nu] \\
& + g' \cos' \theta_W [(W_\mu Z^\mu) (W_\nu^\dagger Z^\nu) - (W^\mu W_\mu^\dagger) (Z^\nu Z_\nu)] \\
& + e' [(W_\mu A^\mu) (W_\nu^\dagger A^\nu) - (W^\mu W_\mu^\dagger) (A^\nu A_\nu)] \\
& + e g \cos \theta_W [(W_\mu Z^\mu) (W_\nu^\dagger A^\nu) + (W^{\mu\dagger} Z^\mu) (W_\nu A^\nu) - 2(W^\mu W_\mu^\dagger) (Z_\nu A^\nu)] \\
& + \frac{g'}{2} [(W_\mu W^\mu) (W_\nu^\dagger W^\nu) - (W_\mu^\dagger W^\mu)^2] \quad (175-1)
\end{aligned}$$

آخرین جمله در سطر نخست همان جمله جنبشی معادله (166-1) میدان الکترومغناطیسی می‌باشد.

دو جمله اول هم در سطر نخست به ترتیب جملات جنبشی برای بوزونهای Z و W هستند که برحسب

تانسورهای $F_Z^{\mu\nu}$ و $F_W^{\mu\nu}$ نوشته شده‌اند. این تانسورها ساختاری همانند تانسور تعمیم‌یافته

الکترومغناطیسی $F^{\mu\nu}$ دارند. دیگر جملات هم جفت شدگیهای سه ساقی و چهار ساقی بوزونهای پیمانهای هستند.

$$ie [(p_1 - p_2)_\lambda g_{\mu\nu} + (p_2 - p_3)_\mu g_{\nu\lambda} + (p_3 - p_1)_\nu g_{\lambda\mu}] \quad (176-1)$$

۱-۷-۱ میدان الکترومغناطیسی

همانگونه که از سطر نخست معادله (۱۷۵-۱) بر می‌آید، این سطر لاغرانژی آزاد میدان الکترومغناطیسی در حالت کلاسیک (۱۶۶-۱)، $\mathcal{L}_A = -\frac{1}{4} F_{\mu\nu} F^{\mu\nu}$ ، است. با توجه به معادله اول-

$$\text{لاغرانژ. } (\mathcal{L}_A = -\frac{1}{4} F_{\mu\nu} F^{\mu\nu}) \text{، به معادله میدان کلاسیک می‌رسیم} \quad (r = 1, 2, \dots, n)$$

$$\Box A^\nu - \partial^\nu (\partial_\mu A^\mu) = 0 \quad (177-1)$$

لاغرانژی الکترومغناطیسی (۱۶۶-۱) تحت تبدیلات پیمانهای موضعی $U(Q)$ ناورداست.

$$A^\mu \rightarrow A'^\mu = A^\mu - \frac{1}{e} \partial_\mu \varphi(x) \quad (178-1)$$

همچنین لاغرانژی کامل مدل استاندارد هم تحت تبدیلات پیمانهای موضعی $U(Q)$ برای میدان الکترومغناطیسی ناوردامی باشد و تبدیل میدانهای فرمیونی در آن به صورت زیر می‌باشد.

$$f \rightarrow f' = e^{i Q \varphi(x)} f \quad (179-1)$$

برای بررسی فیزیکی مسأله پیمانه لورنتس را برمی‌گزینیم. در این پیمانه میدان الکترومغناطیسی به صورت زیر می‌باشد.

$$\partial^\mu A^\mu = 0 \quad (180-1)$$

برای آنکه A'^μ هم در شرط لورنتس (180-1) صدق کند و تبدیل پیمانه‌ای (178-1) هم برقرار بماند، کافیست تابع $\varphi(x)$ را به‌گونه‌ای برگزینیم که $(\square \varphi(x)) = -\partial^\mu A^\mu(x)$ با تبدیل پیمانه‌ای به صورت $\square \varphi(x) = 0$ تعریف می‌شود.

میدان الکترومغناطیسی آزاد در پیمانه لورنتس در معادله دالamberی صدق می‌کند.

$$\square A^\mu = 0 \quad (181-1)$$

بسط انتگرال فوریه میدان الکترومغناطیسی به صورت زیر است.

$$A^\mu(x) = \int \frac{d^3 p}{(2\pi)^3 2\omega} \sum_{\alpha=0}^3 \left[a_\gamma^{(\alpha)}(p) \varepsilon_\mu^{(\alpha)}(p) e^{-ip \cdot x} + a_\gamma^{(\alpha)\dagger}(p) \varepsilon_\mu^{(\alpha)*}(p) e^{ip \cdot x} \right] \quad (181-1)$$

و انرژی فوتون برابر مقدار زیر می‌باشد [۱۳].

$$\omega = p^\circ = |\vec{p}| \quad (182-1)$$

چاربردار قطبش $(\varepsilon_\mu^{(\alpha)}(p))$ با $\alpha = 0, 1, 2, 3$ مجموعه‌ای از چهار بردار مستقل خطی تشکیل می‌دهد که در روابط زیر صدق می‌کنند.

$$\varepsilon^{(\alpha)}(p) \cdot \varepsilon^{(\beta)*}(p) = g^{\alpha\beta} \quad (183-1)$$

$$\sum_{\alpha=0}^3 \varepsilon_\mu^{(\alpha)}(p) \cdot \varepsilon_\nu^{(\alpha)*}(p) g^{\alpha\alpha} = g_{\mu\nu} \quad (183-1)$$

مرسوم است که $\varepsilon_\mu^{(0)}$ را زمان‌گونه (یعنی $\varepsilon_\mu^{(0)}(p) \cdot p = \omega$) و $\varepsilon_\mu^{(1,2,3)}(p)$ را بردارهای عرضی (یعنی $\varepsilon_\mu^{(1,2,3)}(p) \cdot p = -\omega$) در نظر بگیرند. این چهار قطبش با دو قطبش عرضی فوتونهای حقیقی کامل می‌باشند [۱۳]. عملگرهای $a_\gamma^{(\alpha)}(p)$ در روابط جابجایی زیر صدق می‌کنند.

$$\left[a_\gamma^{(\alpha)}(p), a_{\gamma'}^{(\alpha')\dagger}(p') \right] = -g^{\alpha\alpha'} (\frac{1}{2\pi})^3 2\omega \delta^3(\vec{p} - \vec{p}') \quad (184-1)$$

$$\left[a_{\gamma}^{(\alpha)}(p), a_{\gamma'}^{(\alpha')\dagger}(p') \right] = \left[a_{\gamma}^{(\alpha)\dagger}(p), a_{\gamma'}^{(\alpha')\dagger}(p') \right] = \circ \quad (185-1)$$

که درنتیجه انتشارگر فوتون بهصورت زیر درمی آید.

$$G_{\mu\nu}(x-x') = \left\langle \circ \left| T [A_{\mu}(x) A_{\nu}(x')] \right| \circ \right\rangle = \lim_{\varepsilon \rightarrow \circ} i \int \frac{d^4 p}{(2\pi)^4} \frac{-g_{\mu\nu}}{p^2 + i\varepsilon} e^{-ip \cdot (x-x')} \quad (186-1)$$

۲-۷-۱ بوزونهای W, Z

در مدل استاندارد بوزونهای برداری W^\pm, Z جرم خود را که در معادلات (108-1) آمده، از طریق سازوکار هیگز بهدست می آورند. از طریق این سازوکار تقارن $U(1) \times U(2)_L \times U(2)_Y$ خودبخود شکسته می شود. یعنی لاغرانژی تحت تبدیلات $U(1)_L \times U(2)_Y$ متقارن است اما حالتهای فیزیکی متقارن نیستند. تقارن لاغرانژی که پنهانی در جهان واقعی است برای بازبینی بودن نظریه الزامی است. بنابراین جملات جرمی برای میدانهای بوزون پیمانهای ممنوع هستند (همانند جرم فرمیونها).

مثالاً جمله جرمی صریح برای میدانهای بوزون پیمانهای B^μ که به نوع زیر است

$$\frac{1}{2} m_B^\gamma B^\mu B_\mu \quad (187-1)$$

تحت تبدیلات پیمانهای (24-1) ناوردانی باشد.

با استفاده از آخرین سطر معادله (175-1) و جملات جرمی (105-1)، لاغرانژی برای میدانهای بوزونی آزاد W, Z را در پیمانه یکانی بهصورت زیر می نویسیم.

$$\mathcal{L}^{(W)} = -\frac{1}{4} F_W^{\mu\nu} F_W^{\mu\nu} + m_W W_\mu^\dagger W^\mu \quad (188-1)$$

$$\mathcal{L}^{(Z)} = -\frac{1}{4} F_Z^{\mu\nu} F_Z^{\mu\nu} + m_Z Z_\mu^\dagger Z^\mu \quad (189-1)$$

این لاغرانژیها منجر به معادلات پروکا برای میدانهای بوزونی Z, W آزاد می شود.

$$(\square + m_W^\gamma) W^\mu - \partial^\mu (\partial_\nu W^\nu) = \circ \quad (190-1)$$

$$(\square + m_Z^\gamma) Z^\mu - \partial^\mu (\partial_\nu Z^\nu) = \circ \quad (191-1)$$

اگر از دو معادله (۱۸۸-۱) و (۱۸۹-۱) دیورژانس بگیریم و با احتساب اینکه $m_Z \neq 0$, $m_W \neq 0$ است، به معادلات مولفه‌های مستقل میدانهای بوزون Z , W را از چهار به سه و معادلات پروکا (۱۸۸-۱) و (۱۸۹-۱) را به معادلات کلاین گوردون تقلیل می‌دهند.

$$\partial_\mu W^\mu = 0 \quad (192-1)$$

$$\partial_\mu Z^\mu = 0 \quad (193-1)$$

معادلات کلاین گوردون عبارتند از

$$(\square + m_W^2) W^\mu = 0 \quad (194-1)$$

$$(\square + m_Z^2) Z^\mu = 0 \quad (195-1)$$

بسط انتگرالهای فوریه میدانهای Z , W عبارتند از

$$W_\mu(x) = \int \frac{d^4 p}{(2\pi)^4} \frac{1}{2E_W} \sum_{r=1}^4 \left[a_W^{(r)}(p) \varepsilon_W^{(r)\dagger}(p) e^{-ip \cdot x} + b_W^{(r)\dagger}(p) \varepsilon_W^{(r)*}(p) e^{ip \cdot x} \right] \quad (196-1)$$

$$E_W = p^\mu = \sqrt{|\vec{p}|^2 + m_W^2}$$

و

$$Z_\mu(x) = \int \frac{d^4 p}{(2\pi)^4} \frac{1}{2E_Z} \sum_{r=1}^4 \left[a_Z^{(r)}(p) \varepsilon_Z^{(r)\dagger}(p) e^{-ip \cdot x} + b_Z^{(r)\dagger}(p) \varepsilon_Z^{(r)*}(p) e^{ip \cdot x} \right] \quad (197-1)$$

$$E_Z = p^\mu = \sqrt{|\vec{p}|^2 + m_Z^2}$$

چاربردارهای قطبش $\varepsilon_Z^{(r)}(p)$ و $\varepsilon_W^{(r)}(p)$ دو مجموعه از چاربردارهای مستقل خطی مکان‌گونه

متعادم بهنجار را تشکیل می‌دهند. به‌گونه‌ای که

$$\varepsilon_W^{(r)}(p) \cdot \varepsilon_W^{(s)*}(p) = \varepsilon_Z^{(r)}(p) \cdot \varepsilon_Z^{(s)*}(p) = -\delta_{rs} \quad (198-1)$$

با توجه به قیدهای (۱۹۲-۱) و (۱۹۳-۱)، چاربردارهای قطبش $\varepsilon_Z^{(r)}(p)$ و $\varepsilon_W^{(r)}(p)$ عرضی‌اند.

$$\varepsilon_W^{(r)}(p) \cdot p = \varepsilon_Z^{(r)}(p) \cdot p = 0 \quad (199-1)$$

به علاوه با توجه به معادلات (۱۹۸-۱) و (۱۹۹-۱) می‌توان روابط کامل بودن را نوشت.

$$\sum_{r=1}^{\infty} \varepsilon_W^{(r)}(p) \varepsilon_W^{(r)*}(p) = -g_{\mu\nu} + \frac{p_\mu p_\nu}{m_W^2} \quad (2.00-1)$$

$$\sum_{r=1}^{\infty} \varepsilon_Z^{(r)}(p) \varepsilon_Z^{(r)*}(p) = -g_{\mu\nu} + \frac{p_\mu p_\nu}{m_Z^2}$$

روابط جابجایی هم به صورت زیر هستند.

-1)

$$\left[a_W^{(\alpha)}(p), a_W^{(\alpha')\dagger}(p') \right] = \left[b_W^{(\alpha)}(p), b_W^{(\alpha')\dagger}(p') \right] = -g^{\alpha\alpha'} (\not{\pi})^2 E_W \delta^{\mu\nu} (\vec{p} - \vec{p}') \quad (2.01)$$

$$\left[a_Z^{(\alpha)}(p), a_Z^{(\alpha')\dagger}(p') \right] = -g^{\alpha\alpha'} (\not{\pi})^2 E_Z \delta^{\mu\nu} (\vec{p} - \vec{p}') \quad (2.02-1)$$

عملگرهای $a_Z^{(\alpha)}(p)$ و $b_W^{(\alpha)}(p)$ و $a_W^{(\alpha)}(p)$ با یکدیگر جابجا می‌شوند.

با توجه به روابط جابجایی و کامل بودن (2.00-1) می‌توان انتشارگرهای میدانهای پیمانه‌ای را نوشت

$$G_{\mu\nu}^{(W)}(x-x') = \left\langle \circ \left| T [W_\mu(x) W_\nu^\dagger(x')] \right| \circ \right\rangle = \lim_{\epsilon \rightarrow 0} i \int \frac{d^4 p}{(2\pi)^4} \frac{-g_{\mu\nu} + \frac{p_\mu p_\nu}{m_W^2}}{p^2 - m_W^2 + i\epsilon} e^{-ip \cdot (x-x')} \quad (2.03-1)$$

$$G_{\mu\nu}^{(Z)}(x-x') = \left\langle \circ \left| T [Z_\mu(x) Z_\nu^\dagger(x')] \right| \circ \right\rangle = \lim_{\epsilon \rightarrow 0} i \int \frac{d^4 p}{(2\pi)^4} \frac{-g_{\mu\nu} + \frac{p_\mu p_\nu}{m_Z^2}}{p^2 - m_Z^2 + i\epsilon} e^{-ip \cdot (x-x')} \quad (2.04-1)$$

فصل دوم

آمیختگی سه نسل کوارکها

۲ آمیختگی سه نسل کوارکها

آمیختگی نوترینوهای دیراک همانند آمیختگی کوارکها می‌باشد. در مورد نوترینوهای ماژورانا هم آمیختگی بسیار شبیه به آمیختگی کوارکها می‌باشد. در این رساله از ماتریس V برای نشان دادن ماتریس آمیختگی کوارکها و از ماتریس U برای نشان دادن ماتریس آمیختگی نوترینوها استفاده می‌شود. ماتریس یکانی 3×3 آمیختگی CKM را که در معادله (۱۵۷-۱) آمده است، درنظر می‌گیریم

$$V = V_L^{U\dagger} V_L^D = \begin{pmatrix} V_{11} & V_{12} & V_{13} \\ V_{21} & V_{22} & V_{23} \\ V_{31} & V_{32} & V_{33} \end{pmatrix} \quad (1-2)$$

V که به ترتیب ماتریسهای یکانی هستند که برای قطعی کردن ماتریسهای جرمی کوارکهای بالا-گون و پایین-گون در معادلات (۱۵۰-۱) به کار می‌روند. برپایه داده‌های تجربی با $\approx 90\%$ سازگاری، مقادیر بازه‌های جرمی برای ماتریس آمیختگی کوارکها به شرح زیر است [۹]:

$$|V| = \begin{pmatrix} 0.9739_0.9751 & 0.221_0.227 & 0.0029_0.0045 \\ 0.221_0.227 & 0.9730_0.9744 & 0.039_0.044 \\ 0.0048_0.014 & 0.037_0.043 & 0.9990_0.9992 \end{pmatrix} \quad (2-2)$$

همه ویژگیهای ماتریس آمیختگی کوارکها V را می‌توان به ماتریس آمیختگی لپتونها U برای نوترینوهای دیراکی تعمیم داد.

$$V \rightarrow U = V_L^{I\dagger} V_L^v = \begin{pmatrix} U_{11} & U_{12} & U_{13} \\ U_{21} & U_{22} & U_{23} \\ U_{31} & U_{32} & U_{33} \end{pmatrix} = \begin{pmatrix} U_{e1} & U_{e2} & U_{e3} \\ U_{\mu 1} & U_{\mu 2} & U_{\mu 3} \\ U_{\tau 1} & U_{\tau 2} & U_{\tau 3} \end{pmatrix} \quad (3-2)$$

بنا به رسمی تاریخی، ماتریس آمیختگی کوارک ایزواسپین ضعیف کوارکهای چپگرد $I_3 = 1/2$ را به کوارکهای راستگرد $I_3 = -1/2$ متصل می‌کند، در حالیکه ماتریس آمیختگی لپتونی، لپتونهای باردار چپگرد $I_3 = -1/2$ را به نوترینوهای راستگرد متصل می‌سازد. البته می‌توان با تبدیل یکی از دو ماتریس آمیختگی به همیوغ هرمیتی آن، هر دو ماتریس آمیختگی را به یک شکل درآورد.

تعداد مولدها را با N نشان می‌دهیم. برای سادگی تنها حالت‌های $N=3$ و $N=2$ را درنظر می‌-

گیریم.

۱- قطعی کردن ماتریس جرم

با استفاده از تبدیل دویکانی می‌توان ماتریس $N \times N$ مختلط M' را قطعی کرد.

$$V_L^\dagger M' V_R = M, \quad M_{\alpha\beta} = m_\alpha \delta_{\alpha\beta} \quad (4-2)$$

که V_L و V_R دو ماتریس یکانی $N \times N$ مناسب هستند و m_α عدد صحیح مثبت می‌باشد [۱۴].

به منظور درک چگونگی قطعی کردن دویکانی به طریق زیر عمل می‌کنیم. نخست تعداد پارامترهای مستقل را می‌شماریم. ماتریس $N \times N$ مختلط M' دارای $2N$ عنصر مستقل می‌باشد. از آنجا که هر یک از ماتریسهای یکانی V_L و V_R دارای N عنصر مستقل و ماتریس M هم دارای N عنصر مستقل است، تعداد پارامترهای دسترس پذیر برای قطعی کردن بیش از میزان لازم است.

برای آنکه ثابت کنیم قطعی کردن مطابق معادله (۴-۲) ممکن است، حاصل ضرب $M' M'^\dagger$ را درنظر می‌گیریم، که ماتریسی هرمیتی است و می‌توان آن را با استفاده از تبدیل یکانی $V_L^\dagger = V_L^{-1}$ قطعی کرد.

$$V_L^\dagger M' M'^\dagger V_L = M, \quad M_{\alpha\beta} = m_\alpha \delta_{\alpha\beta} \quad (5-2)$$

ویژه مقادیر حقیقی و مثبت آن عبارتند از

$$\begin{aligned} m_\alpha^r &= \sum_\beta (V_L^\dagger M')_{\alpha\beta} (M'^\dagger V_L)_{\beta\alpha} = \sum_\beta (V_L^\dagger M')_{\alpha\beta} (V_L^\dagger M')_{\beta\alpha}^\dagger = \\ &= \sum_\beta (V_L^\dagger M')_{\alpha\beta} (V_L^\dagger M')_{\alpha\beta}^* = \sum_\beta \left| (V_L^\dagger M')_{\alpha\beta} \right|^r \end{aligned} \quad (6-2)$$

ماتریس M' و ماتریس V_R را به صورت زیر می‌نویسیم

$$M' = V_L M V_R^\dagger, \quad M_{\alpha\beta} = \sqrt{m_\alpha^r} \delta_{\alpha\beta} \quad (7-2)$$

$$V_R = (M')^{-1} V_L M \quad (8-2)$$

با توجه به معادلات (۵-۲) و (۸-۲) و $M^\dagger = M$ در می‌یابیم که ماتریس V_R یکانی است:

$$V_R^\dagger V_R = M V_L^\dagger (M'^\dagger)^{-1} (M')^{-1} V_L M = M V_L^\dagger (M M'^\dagger)^{-1} V_L M = M M^{-1} M = I \quad (9-2)$$

$$V_R V_R^\dagger = (M')^{-1} V_L M^\dagger V_L^\dagger (M'^\dagger)^{-1} = (M')^{-1} M' M'^\dagger (M'^\dagger)^{-1} = I \quad (10-2)$$

با استفاده از یکانی بودن V_L و V_R , می‌توان قطری کردن دو یکانی در معادله (۴-۲) را با استفاده از

$$\text{معادله (۷-۲)} \text{ با توجه به مقدار } m_\alpha = \sqrt{m_\alpha^2} \text{ دریافت.}$$

۲-۲ پارامترهای فیزیکی در ماتریس آمیختگی کوارکها

بطور کلی هر ماتریس $N \times N$ ای به N^2 پارامتر حقیقی مستقل بستگی دارد. این پارامترها بر دو دسته‌اند

$$\text{تعداد زوایای آمیختگی} = \frac{N(N-1)}{2} \quad (11-2)$$

$$\text{تعداد فاز} = \frac{N(N+1)}{2} \quad (12-2)$$

ماتریس آمیختگی کوارک با $N=3$ بر حسب سه زاویه آمیختگی و شش فاز نوشته می‌شود. اما همانگونه که پیشتر گفته شد همه فازها دارای معنای فیزیکی نیستند، زیرا اثر فیزیکی ماتریس آمیختگی کوارک به سبب حضور آن در جریان باردار ضعیف معادله (۱۵۸-۱) کوارکها می‌باشد

$$j_{W,Q}^U = \overline{q_L^U} \gamma^\mu V q_L^D \quad (13-2)$$

(به سبب سازوکار GIM ماتریس آمیختگی کوارک هیچ اثری بر جریان خنثی ضعیف کوارکی ندارد، ر.ک. معادله (۱۷۸-۱)). به حز مورد جریان باردار ضعیف، لاغرانژی تحت تبدیل فاز جهانی به شکل زیر برای میدانهای کوارکی ناورداست.

$$q_\alpha^U \rightarrow e^{i\psi_\alpha^U} q_\alpha^U, q_k^D \rightarrow e^{i\psi_k^D} q_k^D \quad (14-2)$$

که $\alpha = u, c, t$ ، $k = d, s, b$ است. با انجام دادن این تبدیلات جریان باردار کوارکی در

معادله (۱۳-۲) به صورت زیر درمی‌آید

$$j_{W,Q}^{\gamma} = \sum_{\alpha=u,c,t} \sum_{k=d,s,b} \overline{q_L^U} \gamma^\mu e^{-i\psi_\alpha^U} V_{\alpha k} e^{i\psi_\alpha^D} q_{kL}^D \quad (15-2)$$

که می‌توان آن را به صورت زیر نوشت

$$j_{W,Q}^{\mu} = \underbrace{\gamma e^{-i(\psi_c^U - \psi_s^D)}}_{\alpha=u,c,t} \sum_{k=d,s,b} \overline{q_{\alpha L}^U} \gamma^\mu \underbrace{e^{-i(\psi_\alpha^U - \psi_c^D)}}_{N-1=1} V_{\alpha k} \underbrace{e^{-i(\psi_k^U - \psi_s^D)}}_{N-1=1} q_{kL}^D \quad (16-2)$$

که از فاز $e^{-i(\psi_c^U - \psi_s^D)}$ فاکتور گرفتیم و در هر جمله تعداد فازهای مستقل را نشان دادیم. تعداد

$$1 + (N-1) + (N-1) = 2N-1 = 5 \quad (17-3)$$

فاز دلخواه برای میدانهای کوارکی وجود دارد که می‌توان به گونه‌ای آنها را برگزید تا تعداد پنج فاز از

شش فاز ماتریس آمیختگی کوارکی حذف شود. دلیل آنکه چرا $2N-1$ و نه $2N$ فاز از ماتریس

آمیختگی را می‌توان حذف کرد، آن است که فازبندی دوباره^۱ همه میدانهای کوارکی سبب می‌شود که

جریان باردار کوارکی ناوردا باقی بماند. این ناوردایی از طریق قضیه نوثر به پایستگی عدد باریونی

مربوط می‌شود.

بنابراین ماتریس آمیختگی کوارکی شامل

$$\frac{N(N+1)}{2} - (2N-1) = \frac{(N-1)(N-2)}{2} = 1 \quad (18-2)$$

حالت فیزیکی می‌شود و تعداد کل پارامترهای فیزیکی (زوایای آمیختگی و فازها) در ماتریس

آمیختگی کوارکی برابر با

¹ rephasing

$$\frac{N(N-1)}{2} + \frac{(N-1)(N-2)}{2} = (N-1)^2 = 4 \quad (19-2)$$

مرسوم است که ماتریس آمیختگی کوارکی را تنها بحسب این چهار پارامتر فیزیکی، سه زاویه آمیختگی و یک فاز، بیان کنیم که همه آنها کمیتهای قابل اندازه‌گیری هستند.

پس از خلاصه کردن، ماتریس آمیختگی کوارکی به صورت زیر درمی‌آید

$$N=3 \Rightarrow \begin{cases} \frac{N(N-1)}{2} = 3 & \text{آمیختگی} \\ \frac{(N-1)(N-2)}{2} = 1 & \text{فاز} \end{cases} \quad (20-2)$$

و اگر از نسل سوم چشم‌پوشی کنیم

$$N=2 \Rightarrow \begin{cases} \frac{N(N-1)}{2} = 1 & \text{آمیختگی} \\ \frac{(N-1)(N-2)}{2} = 0 & \text{فاز} \end{cases} \quad (21-2)$$

بنابراین اگر دو نسل مد نظر باشند، ماتریس آمیختگی تنها به یک پارامتر فیزیکی، زاویه آمیختگی، بستگی دارد که به آن زاویه کابیبو^۱ می‌گویند [۱۵].

۲-۳ پارامتر بندی ماتریس آمیختگی کوارکها

۱-۳-۲ دو نسل کوارکها

هر ماتریس 2×2 یکانی را می‌توان بحسب زاویه آمیختگی θ و سه فاز η, ω_1, ω_2 به صورت زیر نوشت

$$V = \begin{pmatrix} \cos\theta e^{i\omega_1} & \sin\theta e^{i(\omega_1+\eta)} \\ -\sin\theta e^{i(\omega_1-\eta)} & \cos\theta e^{i\omega_1} \end{pmatrix} \quad (22-2)$$

^۱ Cabibbo angle

می‌توان ماتریس بالا را به شکل هم‌ارز زیر نوشت

$$V = \begin{pmatrix} \omega_1 & 0 \\ 0 & \omega_2 \end{pmatrix} \begin{pmatrix} e^{i\eta} & 0 \\ 0 & 1 \end{pmatrix} \begin{pmatrix} \cos\theta & \sin\theta \\ -\sin\theta & \cos\theta \end{pmatrix} \begin{pmatrix} e^{-i\eta} & 0 \\ 0 & 1 \end{pmatrix} \quad (23-2)$$

خوبی شکل بالا در این است که به صراحت نشان می‌دهد که می‌توان با فازبندی دوباره میدانهای کوارکی هر سه فاز را حذف کرد. در جریان ضعیف باردار کوارکی در معادله (۱۵۸-۱)

$$j_{W,Q}^{\mu} = \overline{q_L^U} \gamma^{\mu} V q_L^D \quad (24-2)$$

q_L^D و q_L^U برای دونسل عبارتند از

$$q_L^U = \begin{pmatrix} u_L \\ c_L \end{pmatrix}, \quad q_L^D = \begin{pmatrix} d_L \\ s_L \end{pmatrix} \quad (25-2)$$

با فازبندی دوباره، می‌توان فازهای η, ω_1, ω_2 را در V حذف کرد.

$$u_L \rightarrow e^{i(\omega_1 + \eta)} u_L, \quad c_L \rightarrow e^{i\omega_1} c_L, \quad d_L \rightarrow e^{i\eta} d_L \quad (26-2)$$

بنابراین مرسوم است که ماتریس V را بدون فازهای فیزیک به صورت زیر بنویسند:

$$V = \begin{pmatrix} \cos\theta_C & \sin\theta_C \\ -\sin\theta_C & \cos\theta_C \end{pmatrix} \quad (27-2)$$

که زاویه آمیختگی θ_C همان زاویه کابیبو می‌باشد [۱۵].

مقدار تجربی زاویه کابیبو برابر است با

$$\sin\theta_C \approx 0.2243 \pm 0.016 \quad (28-2)$$

توجه آنکه گزینش پارامتربندی ماتریس آمیختگی کوارکی برای دو نسل، یکتا نیست و می‌توان مثلاً شکل زیر را برگزید.

$$V = \begin{pmatrix} \cos\theta'_C & -\sin\theta'_C \\ \sin\theta'_C & \cos\theta'_C \end{pmatrix} \quad \text{یا} \quad V = \begin{pmatrix} \sin\theta''_C & \cos\theta''_C \\ -\cos\theta''_C & \sin\theta''_C \end{pmatrix} \quad (29-2)$$

همه شکلهای مختلف پارامتربندی به یکدیگر مربوطند (مثلاً $\theta'_C = -\theta_C$, $\theta''_C = \frac{\pi}{2} - \theta_C$) و منجر به

نتایج فیزیکی یکسانی می‌شوند. بنابراین می‌توان هرگونه پارامتربندی را برگزید تنها مهم است که در

طی محاسبات گزینش نخستین تغییر نکند. برای مقایسه با نتایج دیگر باید تبدیل مناسب را اعمال کرد.

محدوده زاویه θ_C بازه زیر می‌باشد

$$^{\circ} \leq \theta_C \leq \frac{\pi}{2} \quad (30-2)$$

مثلاً ماتریس آمیختگی زیر را در نظر می‌گیریم

$$\tilde{V} = \begin{pmatrix} \cos \tilde{\theta}_C & \sin \tilde{\theta}_C \\ -\sin \tilde{\theta}_C & \cos \tilde{\theta}_C \end{pmatrix} \quad (31-2)$$

$$\frac{\pi}{2} \leq \tilde{\theta}_C \leq \pi \quad (32-2)$$

با گزینش

$$\theta_C = \pi - \tilde{\theta}_C \quad (33-2)$$

که بازه θ_C در معادله (30-2) داده شده است. می‌توانیم \tilde{V} را به صورت زیر بنویسیم.

$$\tilde{V} = \begin{pmatrix} -\cos \theta_C & \sin \theta_C \\ -\sin \theta_C & -\cos \theta_C \end{pmatrix} = \begin{pmatrix} -1 & 0 \\ 0 & -1 \end{pmatrix} \begin{pmatrix} \cos \theta_C & \sin \theta_C \\ -\sin \theta_C & \cos \theta_C \end{pmatrix} \begin{pmatrix} 1 & 0 \\ 0 & -1 \end{pmatrix} \quad (34-2)$$

که با تغییر علامت u_L و s_L می‌توان دو ماتریس قطری در سمت راست معادله را حذف کرد. بنابراین ماتریس آمیختگی \tilde{V} در (31-2) با بازه $\tilde{\theta}_C$ در (32-2)، همارز فیزیکی ماتریس آمیختگی V در معادله (27-2) با بازه θ_C در (30-2) می‌باشد.

۲-۳-۲ سه نسل کوارکها

زمانی که سه نسل لپتونها را در نظر بگیریم، وضعیت پیچیده‌تر می‌شود زیرا پارامتر بندی‌های ممکن بیشتر (گزینشهای بسیاری برای فازها متناظر با یک فاز فیزیکی) می‌گردد، ر.ک. (۲۰-۲). در زیر روش مرسوم پارامتر بندی ماتریس آمیختگی کوارکی می‌آید [۱۶-۲۰].

N^3 مولد دوران یکانی را به صورت ماتریس‌های A^{ab} با عنصر

$$\left[A^{ab} \right]_{rs} = \delta_{ar} \delta_{bs} \quad (35-2)$$

درنظر می‌گیریم. به گونه‌ای که

$$A^{ab} A^{cd} = A^{ad} \delta_{bc} \quad (36-2)$$

با درنظر گرفتن ماتریس‌های یکانی و تکمدول زیر

$$W^{ab}(\theta_{ab}, \eta_{ab}) \equiv W^{ab}(\zeta_{ab}) = \exp(\zeta_{ab} A^{ab} - \zeta_{ab}^* A^{ba}) \quad a \neq b \quad (37-2)$$

$$\zeta_{ab} = \theta_{ab} e^{i\eta_{ab}} \quad (38-2)$$

به آسانی می‌توان دریافت که

$$(\zeta_{ab} A^{ab} - \zeta_{ab}^* A^{ba})^k = (-1)^k \theta_{ab}^k (A^{aa} + A^{bb}), \quad k \geq 1 \quad \text{به ازای} \quad (39-2)$$

$$(\zeta_{ab} A^{ab} - \zeta_{ab}^* A^{ba})^{k+1} = (-1)^k \theta_{ab}^{k+1} (e^{i\eta_{ab}} A^{ab} - e^{-i\eta_{ab}} A^{ba}), \quad k \geq 0 \quad \text{به ازای} \quad (40-2)$$

و درنتیجه

$$\begin{aligned} W^{ab}(\theta_{ab}, \eta_{ab}) &= \sum_{k=0}^{\infty} \frac{(\zeta_{ab} A^{ab} - \zeta_{ab}^* A^{ba})^k}{k!} \\ &= \sum_{k=0}^{\infty} \frac{(\zeta_{ab} A^{ab} - \zeta_{ab}^* A^{ba})^{2k}}{(2k)!} + \sum_{k=0}^{\infty} \frac{(\zeta_{ab} A^{ab} - \zeta_{ab}^* A^{ba})^{2k+1}}{(2k+1)!} \\ &= 1 - (A^{aa} + A^{bb}) + (A^{aa} + A^{bb}) \sum_{k=0}^{\infty} (-1)^k \frac{\theta_{ab}^{2k}}{(2k)!} \\ &\quad + (e^{i\eta_{ab}} A^{ab} - e^{-i\eta_{ab}} A^{ba}) \sum_{k=0}^{\infty} (-1)^k \frac{\theta_{ab}^{2k+1}}{(2k+1)!} \\ &= 1 + (\cos \theta_{ab} - 1)(A^{aa} + A^{bb}) + \sin \theta_{ab} (e^{i\eta_{ab}} A^{ab} - e^{-i\eta_{ab}} A^{ba}) \end{aligned} \quad (41-2)$$

بنابراین عناصر $W^{ab}(\theta_{ab}, \eta_{ab})$ عبارتند از

$$\begin{aligned} \left[W^{ab}(\theta_{ab}, \eta_{ab}) \right]_{rs} &= \delta_{rs} + (c_{ab} - 1)(\delta_{ra} \delta_{sa} + \delta_{rb} \delta_{sa}) \\ &\quad + s_{ab} (e^{i\eta_{ab}} \delta_{ra} \delta_{sb} + e^{-i\eta_{ab}} \delta_{rb} \delta_{sa}) \end{aligned} \quad (42-2)$$

داریم، $N = 3$, $a = 1$, $b = 2$ است. مثلاً برای مورد $s_{ab} \equiv \sin \theta_{ab}$ و $c_{ab} \equiv \cos \theta_{ab}$ که

$$W^{ab}(\theta_{ab}, \eta_{ab}) = \begin{pmatrix} \cos \theta_{ab} & \sin \theta_{ab} e^{i\eta_{ab}} & 0 \\ -\sin \theta_{ab} e^{i\eta_{ab}} & \cos \theta_{ab} & 0 \\ 0 & 0 & 1 \end{pmatrix} \quad (43-2)$$

می‌توان دید که ماتریس یکانی و تکمدول $W^{ab}(\theta_{ab}, \eta_{ab})$ دورانی مختلط را در صفحه $a-b$ نشان

می‌دهد که اگر $\eta_{ab} = 0$ باشد، به دورانی حقیقی به اندازه زاویه θ_{ab} تبدیل می‌شود.

همچنین گزینش A^{ab} با $a=b$ هم سودمند می‌باشد. زیرا ماتریسهای یکانی قطری ایجاد می‌کند.

هر ماتریس یکانی قطری را می‌توان به صورت زیر نوشت

$$D(\omega) = \text{diag}(e^{i\omega_1}, \dots, e^{i\omega_N}) = \exp\left(i \sum_{a=1}^N \omega_a A^{aa}\right) \quad (44-2)$$

که ω مجموعه N فاز $(\omega_1, \dots, \omega_N)$ می‌باشد. هر ماتریس یکانی $N \times N$ را می‌توان به صورت

حاصل ضرب نوشت.

$$V = D(\omega) \left[\prod_{a < b} W^{ab}(\theta_{ab}, \eta_{ab}) \right] \quad (a, b = 1, \dots, N) \quad (45-2)$$

با N^2 مولد معادله (35-2). زاویه θ_{ab} هم در بازه

$$0 \leq \theta_{ab} \leq \frac{\pi}{2} \quad (46-2)$$

قرار دارد. در حالیکه فازهای ω_k و η_{ab} می‌توانند هر مقداری بین 0 تا 2π را اختیار کند.

$$0 \leq \omega_k \leq 2\pi, \quad 0 \leq \eta_{ab} \leq 2\pi \quad (47-2)$$

ترتیب ضرب کردن ماتریسهای W^{ab} دلخواه است به گونه‌ای که هر ترتیب ضرب منجر به

پارامتربندی جدیدی می‌شود. همساز با معادلات (11-2) و (12-2) تعداد $2/N(N-1)$ زاویه

آمیختگی θ_{ab} و η_{ab} وجود دارد که تعداد $2/N(N-1)$ آن فاز η_{ab} و تعداد N آن فاز

ω_k می‌باشد.

عبارت معادله (45-2) را برای V می‌توان به صورت زیر بازنوشت:

$$V = D(\omega - \varphi) \left[\prod_{a < b} D(\varphi) W^{ab}(\theta_{ab}, \eta_{ab}) D^\dagger(\varphi) \right] D(\varphi) \quad (a, b = 1, \dots, N) \quad (48-2)$$

که W^{ab} و $D(\varphi)$ مجموعه دلخواهی از فازها هستند. به ازای هر فاز φ ، ماتریس‌های $\varphi = \varphi_1, \dots, \varphi_N$ در اتحاد زیر صدق می‌کنند.

$$D(\varphi) W^{ab} D^\dagger(\varphi) = W^{ab}(\theta_{ab}, \eta_{ab} + \varphi_a - \varphi_b) \quad (49-2)$$

$$\begin{aligned} [D(\varphi) W^{ab} D^\dagger(\varphi)]_{rs} &= \sum_{t,u} e^{i\varphi_r} \delta_{rt} [\delta_{tu} + (c_{ab} - 1)(\delta_{ta}\delta_{ua} + \delta_{tb}\delta_{ub}) \\ &\quad + s_{ab}(e^{i\eta_{ab}}\delta_{ta}\delta_{ua} - e^{-i\eta_{ab}}\delta_{tb}\delta_{ub})] e^{-i\varphi_s} \delta_{us} \\ &= \delta_{rs} + (c_{ab} - 1)(\delta_{ra}\delta_{sa} - \delta_{rb}\delta_{sb}) \\ &\quad + s_{ab} \left(e^{i(\eta_{ab} + \varphi_z - \varphi_b)} \delta_{ra}\delta_{sb} - e^{-i(\eta_{ab} + \varphi_z - \varphi_b)} \delta_{rb}\delta_{sa} \right) \\ &= W^{ab}(\theta_{ab}, \eta_{ab} + \varphi_a - \varphi_b) \end{aligned} \quad (50-2)$$

با گزینش $\omega = \varphi$ و بکار بردن اتحاد (45-2)، به رابطه زیر می‌رسیم

$$V = \left[\prod_{a < b} W^{ab}(\theta_{ab}, \eta_{ab} + \omega_a - \omega_b) \right] D(\omega) \quad (a, b = 1, 2, 3) \quad (51-2)$$

همچنین با استفاده از اتحاد (49-2) و گزینش $\varphi_a = -\eta_{ab}$ ، $\varphi_b = 0$ ، $\varphi_c = 0$ ($c \neq a, b$) می‌توان

ماتریس $W^{ab}(\theta_{ab}, \eta_{ab})$ را به صورت زیر نوشت

$$W^{ab}(\theta_{ab}, \eta_{ab}) = D^a(\eta_{ab}) R^{ab} D^{a\dagger}(\eta_{ab}) = D^{b\dagger}(\eta_{ab}) R^{ab} D^b(\eta_{ab}) \quad (52-2)$$

که

$$[D^a(\eta)]_{rs} = \delta_{rs} + (e^{i\eta} - 1) \delta_{ra} \delta_{sa} \quad (53-2)$$

$$\begin{aligned} [R^{ab}]_{rs} &= [R^{ab}(\theta_{ab})]_{rs} = \delta_{rs} + (\cos \theta_{ab} - 1) (\delta_{ra}\delta_{sa} + \delta_{rb}\delta_{sb}) \\ &\quad + \sin \theta_{ab} (\delta_{ra}\delta_{sb} - \delta_{rb}\delta_{sa}) \end{aligned} \quad (54-2)$$

جز عناصر $[D^a(\eta)]_{aa} = e^{i\eta}$ با $D^a(\eta)$ همه عناصر ماتریس یکانی و قطری با

ویژگی $(R^{ab})^T = R^{ab-1}$ برابر با یک است. ماتریس متعامد $D^{a\dagger}(\eta) = D^a(-\eta)$ دورانی به-

اندازه زاویه θ_{ab} در صفحه $a-b$ می‌دهد. مثلاً

$$R^{12} = \begin{pmatrix} \cos \theta_{12} & \sin \theta_{12} & 0 \\ -\sin \theta_{12} & \cos \theta_{12} & 0 \\ 0 & 0 & 1 \end{pmatrix}, \quad D^1(\eta_{12}) = \begin{pmatrix} e^{i\eta_{12}} & 0 & 0 \\ 0 & 1 & 0 \\ 0 & 0 & 1 \end{pmatrix} \quad (55-2)$$

با استفاده از اتحاد (49-2) از معادله (48-2) رابطه زیر به دست می‌آید.

$$V = D(\omega - \varphi) \left[\prod_{a < b} W^{ab}(\theta_{ab}, \varphi_a + \eta_{ab} - \varphi_b) \right] D(\varphi) \quad (a, b = 1, 2, 3) \quad (56-2)$$

می‌توان مجموعه دلخواه از فازهای $\varphi = (\varphi_1, \dots, \varphi_N)$ را به گونه‌ای برگزید که $N-1$ فاز از $\prod_{a < b} W^{ab}$ را از حاصلضرب $N(N-1)/2$ فاز η_{ab} بیرون کشید. تنها $N-1$ فاز η_{ab} را می‌توان بیرون کشید زیرا تنها $N-1$ عدد $\varphi_a - \varphi_b$ مستقل وجود دارد.

برای کوارکها که $N=3$ است، ماتریس یکانی V بر حسب سه زاویه آمیختگی $\theta_{12}, \theta_{13}, \theta_{23}$ و پارامتر بندی $\omega_1, \omega_2, \omega_3, \eta_{12}, \eta_{13}, \eta_{23}$ می‌شود. مجموعه فازهای دلخواه شش فاز $\eta_{12}, \eta_{13}, \eta_{23}$ را می‌توان به گونه‌ای برگزید که دو فاز از سه فاز η_{ab} تشکیل حاصلضرب را بدهند. η_{12} و η_{23} را با گزینش زیر

$$\varphi_1 - \varphi_2 = -\eta_{12}, \quad \varphi_1 - \varphi_3 = -\eta_{13} \quad (57-2)$$

پس نمی‌توان η_{13} را بیرون کشید، زیرا $\varphi_1 - \varphi_2 = -\eta_{12} - \eta_{23} = -\eta_{13}$ دلخواه نیست.

با گزینش ویژه‌ای در معادله (57-2)، به رابطه زیر می‌رسیم

$$\varphi = (\varphi_1 - \eta_{12}, \varphi_1, \varphi_1 + \eta_{23}) \quad (58-2)$$

و می‌توان با گزینش ویژه‌ای برای ترتیب‌بندی حاصلضرب ماتریسهای ماتریس آمیختگی را در معادله (57-2) به صورت زیر نوشت

$$V = D(\omega - \varphi) R^{12} W^{13} R^{12} D(\varphi) \quad (59-2)$$

$$D(\omega - \varphi) = e^{-i\varphi_1} \text{diag} \left(e^{i(\omega_1 + \eta_{12})}, e^{i\omega_1}, e^{i(\omega_1 + \eta_{23})} \right) \quad (60-2)$$

$$W^{1\alpha} = W^{1\alpha}(\theta_{ab}, \eta_{ab}) = D^1(\eta_{1\alpha}) R^{1\alpha} D^{1\dagger}(\eta_{1\alpha}) \quad (61-2)$$

$$D(\varphi) = e^{-i\varphi_1} \text{diag} \left(e^{-i\eta_{11}}, 1, e^{i\eta_{11}} \right) \quad (62-2)$$

از معادلات بالا برمی‌آید که مقدار φ اثری در معادلات ندارد، و می‌توان مقدار آن را برابر با صفر اختیار کرد. در معادله (59-2) از $e^{i\omega_1}$ فاکتور می‌گیریم و ماتریس یکانی را به صورت زیر می‌نویسیم.

$$V = e^{i\omega_1} D^L R^{1\alpha} W^{1\alpha} R^{1\alpha} D^R \quad (63-2)$$

$$D^L \equiv \text{diag} \left(e^{i(\omega_1 - \omega_2 + \eta_{11})}, 1, e^{i(\omega_2 - \omega_1 + \eta_{11})} \right) \quad (64-2)$$

$$D^R \equiv \text{diag} \left(e^{-i\eta_{11}}, 1, e^{i\eta_{11}} \right) \quad (65-2)$$

در معادله (59-2) از سه فاز $\omega_1, \omega_2, \omega_3$ در سمت چپ، و از دو فاز $-\eta_{11}$

و η_{11} در سمت حاصلضرب ماتریسی $R^{1\alpha} W^{1\alpha} R^{1\alpha}$ فاکتور گرفته شد.

دو تعریف زیر را در نظر می‌گیریم

$$D^U \equiv \text{diag} \left(e^{-i(\psi_u^U - \psi_c^U)}, 1, e^{i(\psi_t^U - \psi_c^U)} \right) \quad (66-2)$$

$$D^D \equiv \text{diag} \left(e^{i(\psi_d^D - \psi_s^D)}, 1, e^{i(\psi_b^D - \psi_s^D)} \right) \quad (67-2)$$

با وارد کردن ماتریس یکانی معادله (63-2) در عبارت معادله (16-2) جریان باردار کوارکی، به عبارت

زیر می‌رسیم:

$$j_{W,Q}^\mu = 2e^{-i(\psi_c^U - \psi_s^D)} e^{i\omega_1} \overline{q_L^U} \gamma^\mu D^{U\dagger} D^L R^{1\alpha} W^{1\alpha} R^{1\alpha} D^R D^D q_L^D \quad (68-2)$$

با گزینش زیر برای فازهای دلخواه میدانهای کوارکی، و بهایزی هر مقداری برای فاز آزاد ψ^B ، می‌توان

حاصلضربهای $D^R D^D$ و $D^{U\dagger} D^L$ ، $e^{-i(\psi_c^U - \psi_s^D)} e^{i\omega_1}$ را حذف کرد.

$$\psi_u^U = \psi^B + \omega_1 + \eta_{11} \quad (69-2)$$

$$\psi_c^U = \psi^B + \omega_1 - \eta_{11} \quad (70-2)$$

$$\psi_t^U = \psi^B + \omega_1 - \eta_{11} \quad (71-2)$$

$$\psi_d^D = \psi^B + \eta_{12} \quad (72-2)$$

$$\psi_s^D = \psi^B \quad (73-2)$$

$$\psi_b^D = \psi^B - \eta_{12} \quad (74-2)$$

با توجه به روابط بالا در می‌یابیم که دلخواه بودن و ماندن فاز آزاد مشترک میدانهای کوارکی بسیار مهم است، زیرا بنا به قضیه نوثر ناوردایی لآگرانژین تحت دوران فاز مشترک میدانهای کوارکی دلیل پایستگی عدد باریونی می‌باشد.

با توجه به مطالب گفته شده، در می‌یابیم که با گزینش مناسبی برای فاز دلخواه میدانهای کوارکی، می‌توان جریان باردار کوارکی را به صورت زیر نوشت

$$j_{W,Q}^\mu = \overline{q_L^U} \gamma^\mu V q_L^D \quad (75-2)$$

و ماتریس آمیختگی کوارک هم بسته به سه زاویه آمیختگی $\theta_{12}, \theta_{13}, \theta_{23}$ و یک فاز فیزیکی η_{12} عبارتست از

$$V = R^{13} W^{13} R^{12} \quad (76-2)$$

با قرار دادن

$$\delta_{13} = -\eta_{12} \quad (77-2)$$

می‌توان شکل صریح ماتریس آمیختگی را نوشت [۲۱] :

$$V = \begin{pmatrix} c_{12} c_{13} & s_{12} c_{13} & s_{13} e^{-i\delta_{13}} \\ -s_{12} c_{23} - c_{12} s_{23} s_{13} e^{i\delta_{13}} & c_{12} c_{23} - s_{12} s_{23} s_{13} e^{i\delta_{13}} & s_{23} c_{13} \\ s_{12} s_{23} - c_{12} c_{23} s_{13} e^{i\delta_{13}} & -c_{12} s_{23} - s_{12} c_{23} s_{13} e^{i\delta_{13}} & c_{23} c_{13} \end{pmatrix} \quad (78-2)$$

که $s_{ab} \equiv \sin \theta_{ab}$ و $c_{ab} \equiv \cos \theta_{ab}$ است. مقادیر تجربی آن هم برابر است با

$$s_{12} \equiv 0.2243 \pm 0.0016, \quad s_{23} \equiv 0.413 \pm 0.0015, \quad s_{13} \equiv 0.0037 \pm 0.0005 \quad (79-2)$$

مقدار تجربی فاز δ_{13} هم برابر است با [۹]

$$\delta_{13} = 1.05 \pm 0.24 = 60^\circ \pm 14^\circ \quad (80-2)$$

از آنجا که θ_{12} و θ_{13} بسیار کوچک هستند، مقدار زاویه آمیختگی θ_{12} در عمل با مقدار زاویه کابیبو، معادله (۲۸-۲)، سازگار است. در فرآیندهایی که شامل کوارکهای b و t نمی‌شود، نسخه دو نسلی

ماتریس آمیختگی (۲۷-۲) بسیار مناسب است. با قراردادن در معادله (۷۹-۲)

$$s_{12} = \lambda, \quad s_{13} = A\lambda^*, \quad s_{12}e^{-i\delta_{13}} = A\lambda^*(\rho - i\eta) \quad (81-2)$$

پارامتربندی تقریبی به دست می‌آید که سلسله مراتب $1 < s_{13} < s_{12} < s_{13}$ را نشان می‌دهد

. [۲۲]

با بسط هر درایه ماتریس آمیختگی کوارکی بر حسب توانهای λ و نگهداشت تنها جملات ابتدایی، به پارامتربندی ولفسنستاین^۱ می‌رسیم.

$$V = \begin{pmatrix} 1 - \lambda^*/2 & \lambda & A\lambda^*(\rho - i\eta) \\ -\lambda & 1 - \lambda^*/2 & A\lambda^* \\ A\lambda^*(1 - \rho - i\eta) & -A\lambda^* & 1 \end{pmatrix} + O(\lambda^*) \quad (82-2)$$

که در آن تنها V_{ub} دقیق است. داده‌های تجربی با استفاده از پارامتربندی ولفسنستاین تا مرتبه λ^3 برآش می‌شود [۲۳، ۲۴] :

$$V = \begin{pmatrix} 1 - \frac{\lambda^*}{2} - \frac{\lambda^*}{\lambda} & \lambda + O(\lambda^*) & A\lambda^*(\rho - i\eta) \\ -\lambda + \frac{A^*\lambda^*}{2}[1 - 2(\rho + i\eta)] & 1 - \frac{\lambda^*}{2} - \frac{\lambda^*}{\lambda}(1 + 4A^*) & A\lambda^* + O(\lambda^*) \\ A\lambda^*(1 - \bar{\rho} - i\bar{\eta}) & -A\lambda^* + \frac{A\lambda^*}{2}[1 - 2(\rho + i\eta)] & 1 - \frac{A^*\lambda^*}{2} \end{pmatrix} \quad (83-2)$$

$$\bar{\rho} = \rho \left(1 - \frac{\lambda^*}{2}\right), \quad \bar{\eta} = \eta \left(1 - \frac{\lambda^*}{2}\right) \quad (84-2)$$

^۱ Wolfenstein

۴-۲ جرم تبهگن

اگر کوارکهای بالا گون و پایین گون تبهگن جرمی یکدیگر باشند، ساختار ماتریس آمیختگی ساده‌تر می‌شود. اما همانگونه که می‌دانیم و در جدول (۱-۱) هم آمده جرم کوارکها بسیار متفاوت با یکدیگر است. با این حال در آزمایشها که به جرم کوارک خیلی وابسته نیست مانند آزمایش‌های در انرژی بالا می‌توان جرم کوارکهای d و s را تقریباً تبهگن جرمی هم درنظر گرفت. البته این روند برای بخش لپتونی بسیار سودمند است، زیرا جرم نوترینوها تقریباً تبهگن می‌باشند.

با فرض آنکه کوارکهای d و s تبهگن باشند یعنی تمیزناپذیر باشند، (زیرا همه ویژگیهای آنها یکسان است)، آنگاه همه مشاهده‌پذیرها تحت دوران یکانی دلخواهی در فضای میدان $d - s$ ناوردا می‌باشند.

$$q^D \rightarrow U^{12} q^D \quad (85-2)$$

که U^{12} هم یکانی می‌باشد.

$$U^{12} = \begin{pmatrix} U_{11} & U_{12} & 0 \\ U_{21} & U_{22} & 0 \\ 0 & 0 & 1 \end{pmatrix} \quad (86-2)$$

با نوشتن ماتریس آمیختگی به شکل (۵۶-۲) با گزینش زیر می‌توان فازهای η_{13} و η_{23} را بیرون کشید.

$$\varphi_1 - \varphi_3 = -\eta_{13}, \quad \varphi_2 - \varphi_3 = -\eta_{23} \quad (87-2)$$

که درنتیجه ماتریس آمیختگی به شکل زیر درمی‌آید:

$$V = D^L R^{12} R^{12} W^{12} D^R \quad (88-2)$$

$$D^L \equiv \text{diag} \left(e^{i(\omega_1 + \eta_{13})}, e^{i(\omega_2 + \eta_{23})}, e^{i\omega_3} \right) \quad (89-2)$$

$$D^R \equiv \text{diag} \left(e^{-i\eta_{13}}, e^{-i\eta_{23}}, 1 \right) \quad (90-2)$$

با جایگذاری عبارت (۸۸-۲) در چگالی جریان باردار (۱۶-۲) و انتخاب فازهای دلخواه به صورت زیر (به ازای هر مقداری برای ψ^B) برای میدانهای کوارکی فازهای $\omega_1, \omega_2, \omega_3, \eta_{13}, \eta_{23}$ حذف می‌شوند.

$$\psi_u^U = \psi^B + \omega_1 + \eta_{13} \quad (91-2)$$

$$\psi_c^U = \psi^B + \omega_2 + \eta_{23} \quad (92-2)$$

$$\psi_t^U = \psi^B + \omega_3 \quad (93-2)$$

$$\psi_d^D = \psi^B + \eta_{13} \quad (94-2)$$

$$\psi_s^D = \psi^B + \eta_{23} \quad (95-2)$$

$$\psi_b^D = \psi^B \quad (96-2)$$

و درنتیجه ماتریس آمیختگی به صورت زیر درمی‌آید که فاقد فازهای غیرفیزیکی است.

$$V = R^{13} R^{13} W^{11} \quad (97-2)$$

اگر جرم d و s تبیهگن باشد، با انتخاب $U^{11} = (W^{11})^\dagger$ می‌توان W^{11} را از ماتریس آمیختگی حذف کرد و ماتریس مذکور را تنها بر حسب زوایای آمیختگی θ_{23} و θ_{13} (به ترتیب دوران در صفحه $b-s$ و $d-b$ کوارکهای پایین-گون تمایزپذیر) نوشت. بدین ترتیب هم زاویه آمیختگی سوم و هم فاز حذف

^۱ می‌شود.

$$V = R^{13} R^{13} \quad (98-2)$$

^۱ در بخش ۶-۲ درباره حقیقی بودن ماتریس آمیختگی (پایسته بودن CP) و تبیهگنی جرمی کوارکهای بالاگون یا پایین‌گون بحث خواهیم کرد.

اگر همه کوارکهای بالاگون و یا همه کوارکهای پایین‌گون دارای جرم تبهگن باشند، آمیختگی مشاهده‌پذیر نخواهد بود و به تفاوت جرمی کوارکهای بالاگون یا پایین‌گون بستگی نخواهد داشت.

۵-۲ ماتریس آمیختگی کوارکها با یک عنصر صفر

اگر ماتریس آمیختگی حداقل دارای یک عنصر صفر باشد، با توجه به پارامتریندی ماتریس با جایگشت دلخواه سطراها و ستونها، به‌گونه‌ای که روابط یکانی حفظ شوند، می‌توان پارامتریندیهای دیگری هم به دست آورد.

$$V V^\dagger = \mathbb{1} \Leftrightarrow \sum_{k=1}^r V_{\alpha k} V_{\beta k}^* = \delta_{\alpha \beta} \quad (\alpha, \beta = 1, 2, 3) \quad (99-2)$$

$$V^\dagger V = \mathbb{1} \Leftrightarrow \sum_{\alpha=1}^r V_{\alpha k} V_{\alpha j}^* = \delta_{kj} \quad (k, j = 1, 2, 3) \quad (100-2)$$

با جایگشت مناسب سطراها و ستونها در ماتریس آمیختگی (78-۲) می‌توان $s_{13} e^{-i\delta_{13}}$ را به محل عنصر صفر انتقال داد و در پارامتریندی جدید $\circ = s_{13} e^{i\delta_{13}}$ ناپدید می‌گردد و درنتیجه ماتریس آمیختگی حقیقی به دست می‌آید که نشان‌دهنده تقارن CP می‌باشد.

مثلًا با فرض صفر بودن عنصر V_{22} و سپس تعویض ستون دوم و سوم، ماتریس آمیختگی به صورت

زیر درمی‌آید

$$V = \begin{pmatrix} -s_{12} c_{23} - c_{12} s_{13} e^{i\delta_{13}} & s_{23} c_{13} & c_{12} c_{23} - s_{12} s_{23} s_{13} e^{i\delta_{13}} \\ c_{12} c_{13} & s_{13} e^{-i\delta_{13}} & s_{12} c_{13} \\ s_{12} s_{23} - c_{12} c_{23} s_{13} e^{i\delta_{13}} & c_{23} c_{13} & -c_{12} s_{23} - s_{12} c_{23} s_{13} e^{i\delta_{13}} \end{pmatrix} \quad (101-2)$$

البته پس از این دوران زاویه $\theta_{ab} = \theta_{13}$ دیگر نشان‌دهنده دوران در صفحه $a-b$ نیست. اگر $V_{22} = 0$ و

درنتیجه $s_{13} = 0$ باشد (ماتریس آمیختگی حقیقی باشد)

$$V|_{V_{22}=0} = \begin{pmatrix} -s_{12} c_{23} & s_{23} & c_{12} c_{23} \\ c_{12} c_{13} & 0 & s_{12} \\ s_{12} s_{23} & c_{23} & -c_{12} s_{23} \end{pmatrix} \quad (102-2)$$

اگر هر یک از سه زاویه صفر باشد، فاز ناپدید می‌شود. اگر یکی از سه زاویه آمیختگی صفر شود آنگاه یک عنصر از ماتریس آمیختگی صفر می‌شود: اگر $\theta_{12} = 0$ باشد، $V_{12} = 0$ می‌شود. اگر $\theta_{23} = 0$ باشد، $V_{23} = 0$ می‌شود. در هر یک از این حالتها می‌توان فاز را حذف کرد. می‌توان این کار را حتی بدون جایگشت سطرهای سه‌تایی انجام داد. مثلاً اگر $\theta_{13} = 0$ باشد،

ماتریس آمیختگی معادله (۷۸-۲) می‌شود

$$V|_{\theta_{13}=0} = \begin{pmatrix} c_{13} & 0 & s_{13}e^{-i\delta_{13}} \\ -s_{13}s_{12}e^{i\delta_{13}} & c_{23} & s_{23}c_{13} \\ -c_{13}s_{12}e^{i\delta_{13}} & -s_{23} & c_{23}c_{13} \end{pmatrix} \quad (103-2)$$

$$V|_{\theta_{13}=0} = \begin{pmatrix} c_{13}e^{-i\delta_{13}} & 0 & 0 \\ 0 & 1 & 0 \\ 0 & 0 & 1 \end{pmatrix} \begin{pmatrix} c_{13} & 0 & s_{13} \\ -s_{13}s_{12} & c_{23} & s_{23}c_{13} \\ -c_{13}s_{12} & -s_{23} & c_{23}c_{13} \end{pmatrix} \begin{pmatrix} e^{i\delta_{13}} & 0 & 0 \\ 0 & 1 & 0 \\ 0 & 0 & 1 \end{pmatrix} \quad (104-2)$$

با فازبندی دوباره کوارکهای d, u به صورت $d \rightarrow e^{-i\delta_{13}}d$ و $u \rightarrow e^{-i\delta_{13}}u$ فاز δ_{13} را حذف کرد.

$$\begin{aligned} D^{ab}(\eta)W^{ab}(\theta_{ab} = \pi/2, \eta_{ab}) &= W^{ab}(\theta_{ab} = \pi/2, \eta_{ab} + \eta) \\ &= W^{ab}(\theta_{ab} = \pi/2, \eta_{ab})D^{ab\dagger}(\eta) \end{aligned} \quad (105-2)$$

$$[D^{ab}(\eta)]_{rs}\delta_{rs} + (e^{i\eta} - 1)\delta_{ra}\delta_{sa} + (e^{-i\eta} - 1)\delta_{rb}\delta_{sb} \quad (106-2)$$

$$W^{ab}(\theta_{ab} = \pi/2, \eta_{ab}) = D^{ab}(\eta_{ab})R^{ab}(\theta_{ab} = \pi/2) = R^{ab}(\theta_{ab} = \pi/2)D^{ab\dagger} \quad (107-2)$$

$$\overline{q_L^U} \xrightarrow{\text{CP}} -q_L^U{}^T C^{-1} \gamma^\circ D^\dagger(\vec{\xi}_U) \quad (108-2)$$

$$q_L^D \xrightarrow{\text{CP}} D(\vec{\xi}_D) \gamma^\circ C \overline{q_L^D}{}^T \quad (109-2)$$

$$\begin{aligned} j_{W,Q}^\mu &\xrightarrow{\text{CP}} -\gamma q_L^U{}^T C^{-1} \gamma^\circ \gamma^\mu \gamma^\circ C D^\dagger(\vec{\xi}_U) V D(\vec{\xi}_D) \overline{q_L^D}{}^T \\ &= -\gamma q_L^U{}^T C^{-1} \gamma^\mu D^\dagger(\vec{\xi}_U) V D(\vec{\xi}_D) \overline{q_L^D}{}^T \\ &= \gamma q_L^U{}^T \gamma^\mu D^\dagger(\vec{\xi}_U) V D(\vec{\xi}_D) \overline{q_L^D}{}^T = -\gamma \overline{q_L^D} \gamma^\mu D^\dagger(\vec{\xi}_D) V^T D^\dagger(\vec{\xi}_U) q_L^U \\ &= -\gamma \overline{q_L^D} D(\vec{\xi}_D) V^T D^\dagger(\vec{\xi}_U) \gamma_\mu q_L^U \end{aligned} \quad (110-2)$$

۶-۲ نقض CP

برای درک چگونگی رابطه نقض CP در برهمنکنشهای ضعیف و ماتریس آمیختگی کوارکها به رفتار

جريان باردار کوارکی (۷۵-۲) تحت تبدیلات CP می‌پردازیم. برای تبدیل آرایه‌های $\overline{q_L^U}$, q_L^D , $\psi^C(x_p)$ در (۲-۲)

تحت CP از روابط زیر (۱۰۸-۲) و (۱۰۹-۲) استفاده می‌کنیم و به (۱۱۰-۲) و (۱۱۱-۲) می-

رسیم، ($D(\vec{\xi}_U)$, $D(\vec{\xi}_D)$) ماتریس‌های قطری فاز نامعین CP برای میدانهای کوارکی می‌باشند).

$$\psi(x) \xrightarrow{CP} \psi^C(x_p) = \xi_{CP} \gamma^\circ C \bar{\psi}^T(x) = -\xi_{CP} C \psi^*(x) \quad (108-2)$$

$$\bar{\psi}(x) \xrightarrow{CP} \overline{\psi^C(x_p)} = -\xi_{CP}^* C \psi^T(x) C^\dagger \gamma^\circ \quad (109-2)$$

$$\overline{q_L^U} \xrightarrow{CP} -\overline{q_L^U} C^{-1} \gamma^\circ D^\dagger(\vec{\xi}_U) \quad (110-2)$$

$$q_L^D \xrightarrow{CP} D(\vec{\xi}_U) \gamma^\circ C \overline{q_L^D}^T \quad (111-2)$$

$$\begin{aligned} j_{W,Q}^\mu &\xrightarrow{CP} -\gamma q_L^U{}^T C^{-1} \gamma^\circ \gamma^\mu \gamma^\circ C D^\dagger(\vec{\xi}_U) V D(\vec{\xi}_D) \overline{q_L^D}^T \\ &= -\gamma q_L^U{}^T C^{-1} \gamma^\mu{}^\dagger C D^\dagger(\vec{\xi}_U) V D(\vec{\xi}_D) \overline{q_L^D}^T \\ &= \gamma q_L^U{}^T \gamma^\mu{}^* D^\dagger(\vec{\xi}_U) V D(\vec{\xi}_D) \overline{q_L^D}^T = -\gamma \overline{q_L^D} \gamma^\mu{}^\dagger D(\vec{\xi}_D) V^T D^\dagger(\vec{\xi}_U) q_L^U \\ &= -\gamma \overline{q_L^D} D(\vec{\xi}_D) V^T D^\dagger(\vec{\xi}_U) \gamma_\mu q_L^U \quad (\gamma^\mu)^\dagger = \gamma_\mu \end{aligned} \quad (112-2)$$

$$W_\mu \xrightarrow{CP} e^{i\xi_W} W^\mu{}^\dagger \quad (113-2)$$

رابطه بالا برای بوزونهای W است و به سبب تغییر علامت مؤلفه‌های فضایی آن تحت وارونی فضا، فاز

نامعین W و اندیس لورنتسی بالا می‌رود. با ترکیب دو معادله بالا به (۱۱۴-۲) می‌رسیم. اندیس

لورنتسی بالابرنده و پایین‌آورنده $j_{W,Q}^\mu$ هم را خنثی کرده و ناوردایی لورنتسی برقرار می‌ماند.

$$j_{W,Q}^\mu W_\mu \xrightarrow{CP} -\gamma e^{i\xi_W} \overline{q_L^D} D(\vec{\xi}_D) V^T D^\dagger(\vec{\xi}_U) \gamma_\mu q_L^U W^\mu{}^\dagger \quad (\text{تبديل CP}) \quad (114-2)$$

$$(j_{W,Q}^\mu W_\mu)^\dagger \xrightarrow{CP} 2 \overline{q_L^D} V^\dagger \gamma^\mu q_L^U W_\mu{}^\dagger \quad (\text{همیوغ هرمیتی}) \quad (115-2)$$

بخشی از لاگرانژی جریان باردار کوارکی (۷۶-۱) است و لاگرانژی در صورتی تحت CP ناورداست که

$$\begin{aligned} j_{W,Q}^\mu W_\mu &\xrightarrow{\text{CP}} \left(j_{W,Q}^\mu W_\mu \right)^\dagger \Rightarrow -e^{i\xi_W} D(\vec{\xi}_D) V^T = V^\dagger \\ &\Rightarrow W_\mu \xrightarrow{\text{CP}} -W^\mu{}^\dagger \quad (\xi_W = \pi \text{ اگر}) \end{aligned} \quad (116-2)$$

$$\begin{aligned} j_{W,Q}^\mu W_\mu &\xrightarrow{\text{CP}} \left(j_{W,Q}^\mu W_\mu \right)^\dagger \xrightarrow{\text{transposing}} \\ &\Rightarrow D^{-1}(\vec{\xi}_U) V D(\vec{\xi}_D) = V^* \Leftrightarrow e^{-i\xi_\alpha} V_{\alpha k} e^{i\xi_k} = V_{\alpha k}^* \end{aligned} \quad (117-2)$$

(118-2)

$$\begin{aligned} \Rightarrow V = D^{1/2}(\vec{\xi}_U) \mathcal{O} D^{-1/2}(\vec{\xi}_D) \Leftrightarrow V_{\alpha k} e^{i\xi_\alpha/2} \mathcal{O}_{\alpha k} e^{-i\xi_k/2} \\ \mathcal{O}^T = \mathcal{O}^{-1} \quad \vec{\xi}_U = (\xi_u, \xi_c, \xi_t) \quad \vec{\xi}_D = (\xi_d, \xi_s, \xi_b) \end{aligned}$$

همان‌گونه که در بخش ۳-۲ گفته شد، نمی‌توان از فاز فیزیکی ماتریس آمیختگی V فاکتور گرفت تا ماتریسهای قطری در دو طرف آن بنشینند. پس اگر فاز فیزیکی در ماتریس آمیختگی صفر نباشد، به- ازای هیچ مقداری از فازهای CP، یعنی فازهای $\vec{\xi}_D$ ، معادله (117-2) نمی‌تواند صادق باشد^۱

. [۲۵]

یعنی تقارن CP مستلزم آن است که ماتریس آمیختگی کوارک حقیقی باشد.

$$V = V^* \Leftrightarrow \text{CP} \quad (119-2)$$

اگر فاز فیزیکی ماتریس آمیختگی غیرصفر باشد، لاگرانژی برهمکنش ضعیف جریان باردار کوارکی تقارن لاگرانژی تحت تبدیل CP را می‌شکند. اگر فاز فیزیکی ماتریس برابر با صفر باشد، CP پایسته است و فاز همه میدانهای کوارکی یکسان و طبق قرارداد برابر با صفر اختیار می‌شود.

^۱ این مطلب در کمتر مرجعی ارائه شده. در برخی از کتابها عنوان می‌گردد اگر V مختلط باشد، لاگرانژی حقیقی نیست و نقش T و CP پیش می‌آید. در صورتیکه این موضوع بی‌معناست زیرا اساساً ساختار لاگرانژی به‌گونه‌ای است که هرمیتی باشد، و هر جمله غیر هرمیتی با همیوغ هرمیتی خود همراه است. در فصل ۳ همین بحث را به روشنی دیگر برای نوتربینوهای مازورانا عنوان خواهیم کرد.

$$\xi_u = \xi_c = \xi_t = \xi_d = \xi_s = \xi_b = \circ \quad (120-2)$$

اکنون درپی بررسی ماتریس‌های جرمی کوارکهای بالاگون و پایین‌گون تحت CP هستیم. به این

منظور از معادله (162-1) جمله جرمی لاگرانژی کوارکی را می‌نویسیم:

$$\begin{cases} M'^U = Y'^U v / \sqrt{2}, \quad M'^D = Y'^D v / \sqrt{2} \\ \mathcal{L}_{H,Q} = -\left(\frac{v+H}{\sqrt{2}} \right) \left[\sum_{\alpha,\beta=d,s,b} Y'_{\alpha\beta} \overline{q'^D_\alpha} q'^D_\beta + \sum_{\alpha,\beta=u,c,t} Y'_{\alpha\beta} \overline{q'^U_\alpha} q'^U_\beta \right] + \text{h.c.} \Rightarrow \\ \Rightarrow \mathcal{L}_{q,\text{mass}} = -\overline{q'_L^U} M'^U q'_R^U - \overline{q'_R^U} M'^U \dagger q'_L^U - \overline{q'_L^D} M'^D q'_R^D - \overline{q'_R^D} M'^D \dagger q'_L^D \end{cases} \quad (121-2)$$

دیگر بخش‌های لاگرانژی هم که تحت تبدیل CP ناوردا هستند. ماتریس‌های یکانی $W_L^U, W_R^U, W_L^D, W_R^D$

میدانهای کوارکی را درهم می‌آمیزند.

$$\begin{aligned} q'_L^U &\xrightarrow{\text{CP}} W_L \gamma^\circ C \overline{q'_L^U}^T, & q'_R^U &\xrightarrow{\text{CP}} W_R^U \gamma^\circ C \overline{q'_R^U}^T \\ q'_L^D &\xrightarrow{\text{CP}} W_L \gamma^\circ C \overline{q'_L^D}^T, & q'_R^D &\xrightarrow{\text{CP}} W_R^D \gamma^\circ C \overline{q'_R^D}^T \end{aligned} \quad (122-2)$$

ناوردایی لاگرانژی برهمکنش ضعیف جریان باردار سبب می‌شود که آمیختگی کوارکهای چپگرد بالا و پایین یکسان باشد، در حالیکه کوارکهای راستگرد بالا و پایین می‌توانند مستقل از هم آمیخته شوند.

تبدیل جمله جرمی کوارک در (121-2) به صورت زیر است.

$$\begin{aligned} \mathcal{L}_{q,\text{mass}} &\xrightarrow{\text{CP}} -\overline{q'_L^U} W_R^U M'^{UT} W_L^* q'_L^U - \overline{q'_L^U} W_L^T M'^U W_R^U q'_R^U \\ &- \overline{q'_R^D} W_R^{DT} M'^{DT} W_L^* q'_L^D - \overline{q'_R^D} W_L^T M'^D W_R^D q'_R^D \end{aligned} \quad (123-2)$$

$$(123-2), (121-2) \Rightarrow \begin{cases} W_L^\dagger M'^U W_R^U = M'^U \\ W_L^\dagger M'^D W_R^D = M'^D \end{cases} \quad (124-2)$$

تا جمله جرمی لاگرانژی (122-2) تحت تبدیل CP ناوردا بماند.

$$\begin{cases} W_L^* M'^U W_R^{UT} = M'^U \\ W_L^* M'^D W_R^{DT} = M'^D \end{cases} \Rightarrow \text{متقارن هم} \quad W_L, W_R^U, W_R^D \quad \text{ماتریس‌های یکانی} \quad (125-2)$$

همواره یکی از دو معادله (۱۲۴-۲) برقرار است و اگر W_L در یکی از دو شرط (۱۲۴-۲) صدق کند در دیگری نمی‌تواند صادق باشد. مثلاً فرض کنیم که W_L, W_R^D در معادله دوم (۱۲۴-۲) صادق هستند.

$$\text{برای این کار از معادله قطری‌ساز (۱۶۵-۱) با } M'^D = \frac{Y'^D v}{\sqrt{2}} \text{ بهره می‌بریم.}$$

$$\left\{ \begin{array}{l} V_L^{D^\dagger} Y'^D V_R^D = Y^D, Y_{\alpha\beta}^D = y_\alpha^D \delta_{\alpha\beta} \rightarrow V_L^{D^\dagger} \frac{M'^D \sqrt{2}}{v} V_R^U = m_\alpha^D \delta_{\alpha\beta} \\ (\alpha, \beta = d, s, b) \end{array} \right. \quad (126-2)$$

$$\Rightarrow V_L^{D^\dagger} M'^D V_R^U = M^D, M^D = m_\alpha^D \delta_{\alpha\beta}$$

$$\left. \begin{array}{l} (126-2) \quad (M'^D = V_L^D M^D V_R^{U^*}) \\ (124-2) \quad \text{معادله دوم} \end{array} \right\} \Rightarrow V_L^{D^T} W_L^\dagger V_L^D M^D V_R^{D^\dagger} W_R^D V_R^{D^*} = M^D \quad (127-2)$$

با فرض تبھگن نبودن ویژه‌مقدارهای M^D ، معادله بالا تنها زمانی برقرار خواهد بود که

$$\left\{ \begin{array}{l} V_L^{D^T} W_L^\dagger V_L^D = D^{D^\dagger} \\ V_L^{D^\dagger} W_R^D V_R^{D^*} = D^D \end{array} \right. \quad (128-2)$$

$$\left\{ \begin{array}{l} W_L = V_L^D D^D V_L^{D^T} \\ W_R^D = V_R^D D^D V_R^{D^T} \end{array} \right. \quad \text{یکانی و متقارن هستند} \quad (130-2)$$

اکنون با استفاده از شرط (۱۲۴-۲) W_L^\dagger را در (۱۳۰-۲) وارد می‌کنیم:

$$M'^U = \frac{Y'^U v}{\sqrt{2}}, \quad (166-1) \Rightarrow V_L^{U^\dagger} M'^U V_R^U = M^U \quad (M_{\alpha\beta}^U = m_\alpha^U \delta^{\alpha\beta}, m_\alpha^U \in \mathbb{R}^+) \quad (131-2)$$

$$\left\{ \begin{array}{l} (131-1) \\ V = V_L^{U^\dagger} V_L^D \quad (176-1) \end{array} \right. \Rightarrow V^* D^{D^\dagger} V^\dagger M^U V_R^{U^\dagger} W_R^U V_L^{U^*} = M^U \quad (132-2)$$

با فرض تبھگن نبودن ویژه‌مقدارهای M^U ، معادله بالا تنها زمانی برقرار خواهد بود که

$$\left\{ \begin{array}{l} V^* D^{D^\dagger} V^\dagger = D^{U^\dagger} \\ V_R^{U^\dagger} W_R^U V_R^{U^*} = D^U \end{array} \right. \quad (133-2)$$

و درنتجه رابطه زیر باید برای W_R^U یکانی و متقارن برقرار باشد.

$$W_R^U = V_R^U D^U V_R^{U^T} \quad (134-2)$$

از طرفی چون V ثابت می‌شود معادله اول (133-2) در حالت کلی برقرار نیست. تنها اگر ماتریس‌های آمیختگی V با ماتریس‌های قطری فاز D^D, D^U در (133-2) صدق کنند، تقارن CP وجود دارد. می‌توان معادله اول (133-2) را به گونه‌ای نوشت که با (117-2) منطبق باشد:

$$(134-2) \Rightarrow D^{U^\dagger} V D^D = V^* \quad (135-2)$$

انطباق (117-2) و (133-2) نشان می‌دهد ناوردایی لاغرانژی برهمکنش ضعیف جریان باردار تحت CP با فرض قطری بودن جملات جرمی با ناوردایی جملات جرمی تحت CP با فرض قطری بودن لاغرانژی برهمکنش ضعیف جریان باردار، سازگار است و این دو روش یکی هستند.

اکنون دوباره با استفاده از معادلات (124-2) در پی آنیم که برای ماتریس‌های جرمی M'^D, M'^U شرط‌های بیابیم تا ناوردایی تحت تبدیل CP برقرار بماند. از معادلات (124-2) W_L را حذف می‌کنیم:

$$W_R^{D^\dagger} [M'^{D^\dagger} M'^U] W_R^U = [M'^{D^\dagger} M'^U]^* \quad (136-2)$$

اگر

$$M'^{D^\dagger} M'^U = P^\dagger R Q \quad R = R^* \quad P^\dagger = P^{-1} \quad Q^\dagger = Q^{-1} \quad (137-2)$$

$$\begin{cases} (136-2) \\ (137-2) \end{cases} \Rightarrow W_R^D = P^\dagger P^*, \quad W_R^U = Q \quad R = R^* \quad P^\dagger = P^{-1} \quad Q^\dagger = Q^{-1} \quad (138-2)$$

در این صورت جواب معادله (136-2) به صورت زیر است.

$$W_R^D = P^\dagger P^* \quad , \quad W_R^U = Q^\dagger Q^* \quad (139-2)$$

که یکانی و متقارن می‌باشد. شرط (138-2) و برقرار بودن تقارن CP در دو مورد زیر رخ می‌دهد: ۱- $M'^U = 0$ یا $M'^D = 0$. ۲- چون جرم کوارکها غیر صفر است این مورد برای کوارکها رخ نمی‌دهد. اما در مدل استاندارد جرم نوترینوها صفر در نظر گرفته می‌شود. در دو گانه‌های $SU(2)_L$

نوترینوها همانند کوارکهای بالاگون هستند که مؤلفه سوم ایزواسپین ضعیف آنها $\frac{1}{2}$

است، لپتونهای باردار هم همانند کوارکهای پایین‌گون می‌باشند. از آنجا که در مدل استاندارد نوتروینوها بدون جرم هستند، به ازای هر مقداری از ماتریس جرمی لپتون باردار تقارن CP در بخش لپتونی حفظ می‌شود. اما مشکلی دارد و آن این است که نمی‌تواند توضیحی برای آمیختگی لپتونها ارائه بدهد (این موضوع را در بخش ۱-۵ دیدیم).

۲. $M'^D M'^U$ حقیقی باشد) در این مورد W_R^D, W_R^U برابر با ماتریس همانی با فازی دلخواه هستند. مورد بسیار ساده آن

$$M'^U = {M'}^U{}^*, \quad M'^D = {M'}^D{}^* \quad (140-2)$$

است. که با شرط حقیقی بودن ماتریس آمیختگی، (۱۱۹-۲)، همساز است. اگر هم M'^U و M'^D حقیقی باشند، می‌توان آنها را با ماتریسهای متعامد $V_L^U = \mathcal{O}_L^U$ و $V_R^U = \mathcal{O}_R^U$ مطابق با معادلات (۱۶۵-۱) و (۱۶۶-۱) قطری کرد.

فصل سوم

جرم نوترینو در مدل‌های $SU(2)_L \times U(1)_Y$

۳ جرم نوترینو در مدل‌های $SU(2)_L \times U(1)_Y$

برای توضیح جرم نوترینو باید در فیزیک ماورای مدل استاندارد به جستجو پرداخت. اما این موضوع به این معنی نیست که الزاماً از گروه پیمانه‌ای مدل استاندارد خارج شویم. همانگونه که در فصل نخست توضیح داده شد، این گروه تنها بوزونهای تبادلی را فیکس می‌کند. لپتونها و محتواهی هیگزی تاحد زیادی اختیاری انتخاب می‌شوند. با همین گروه پیمانه‌ای $SU(2)_L \times U(1)_Y$ می‌توان فرمیونها یا بوزونهای هیگز بیشتری را در این مدل حدس زد، به‌گونه‌ای که مدل نوترینوهای جرم‌دار را پیش‌بینی کند.

همانگونه که در فصل نخست توضیح داده شد، مدل استاندارد دربرگیرنده هم تصویر راستگرد و هم چپگرد کایرال برای همه فرمیونها بجر نوترینوها می‌باشد. اگر متناظر با هر لپتون، نوترینوی راستگردی، $(\alpha = e, \mu, \tau)$ ، را به مدل استاندارد بیفزاییم، ناتقارنی ناشی از نبود میدانهای راستگرد نوترینو بین بخش کوارکی و لپتونی مدل استاندارد از بین می‌رود و به مدل استاندارد اندک تعمیم‌یافته^۱ دست می‌یابیم. میدانهای $\tilde{\nu}_{\alpha R}$ یکتایی کل گروه Y با فوقبار $SU(2)_L \times U(1)_Y$ هستند، یعنی هیچ برهمکنشی با بوزونهای پیمانه‌ای ندارند و به‌همین دلیل به آنها نوترینوهای سترون^۲ گویند. نوترینوهای سترون تنها برهمکنش گرانشی دارند [۲۶].

در برابر این نامگذاری، به نوترینوهای چپگرد معمولی که در برهمکنشهای ضعیف شرکت می‌کنند، نوترینوهای فعال^۳ می‌گویند. ویژگی اساسی نوترینوهای سترون راستگرد بودن آنها نیست، چرا که می‌توانستیم با میدانهای کایرال چپگرد $\tilde{\nu}_{\alpha L}^C = \nu_{\alpha L}^C$ هم به‌همان ترتیب کار کنیم، ویژگی مهم آنها یکتایی بودنشان تحت تقارنهای مدل استاندارد است و به‌همین دلیل هم سترون می‌باشند.

در مدل استاندارد اندک تعمیم‌یافته با سه نوترینوی راستگرد، به لاغرانژی یوکاوی هیگز-لپتون (۱۱۳)، جمله‌ای همانند جمله دوم (۱۴۶-۱) اضافه می‌کنیم:

¹ minimally extended standard model

² Sterile

³ active

$$\mathcal{L}_{H,L} = - \sum_{\alpha,\beta=e,\mu,\tau} Y'_{\alpha\beta} \overline{L_{\alpha L}} \Phi l'_{\beta R} + \sum_{\alpha,\beta=e,\mu,\tau} Y'_{\alpha\beta} \overline{L_{\alpha L}} \tilde{\Phi}_{\nu\beta R} + \text{H.C.} \quad (1-3)$$

که Y' ماتریس جدیدی از جفتشدگیهای یوکاواست. در پیمانه یکانی می‌توان لاغرانژی یوکاوای

هیگز لپتون را به صورت

$$\mathcal{L}_{H,L} = - \left(\frac{v+H}{\sqrt{2}} \right) \left[\overline{l'_L} Y'^l l'_R + \overline{v'_L} Y'^\nu v'_R \right] + \text{H.C.} \quad (2-3)$$

$$l'_L \equiv \begin{pmatrix} e'_L \\ \mu'_L \\ \tau'_L \end{pmatrix}, \quad l'_R \equiv \begin{pmatrix} e'_R \\ \mu'_R \\ \tau'_R \end{pmatrix}, \quad v'_L \equiv \begin{pmatrix} v'_{eL} \\ v'_{\mu L} \\ v'_{\tau L} \end{pmatrix}, \quad v'_R \equiv \begin{pmatrix} v'_{eR} \\ v'_{\mu R} \\ v'_{\tau R} \end{pmatrix} \quad (3-3)$$

می‌توان جفتشدگیهای یوکاوای لپتون باردار، Y' و ماتریس جفتشدگی یوکاوای نوترینو، ν ، را همانند معادله (1-16) قطری کرد.

$$V_L^{\nu\dagger} Y'^\nu V_R^\nu = Y^\nu, \quad Y_{k,j}^\nu = y_k^\nu \delta_{k,j} \quad (k,j=1,2,3)$$

$$V_R^{\nu\dagger} = (V_R^\nu)^{-1}, \quad V_L^{\nu\dagger} = (V_L^\nu)^{-1} \quad (4-3)$$

با تعریف آرایه لپتونهای باردار کایرال مطابق (1-17) و آرایه نوترینوهای جرم‌دار کایرال به صورت زیر

$$n_L = V_L^{\nu\dagger} V_L' \equiv \begin{pmatrix} v_{eL} \\ v_{\mu L} \\ v_{\tau L} \end{pmatrix}, \quad n_R = V_R^{\nu\dagger} V_R' \equiv \begin{pmatrix} v_{eR} \\ v_{\mu R} \\ v_{\tau R} \end{pmatrix} \quad (5-3)$$

lagrangian یوکاوای هیگز-لپتون را به صورت زیر در می‌آید

$$\mathcal{L}_{H,L} = - \left(\frac{v+H}{\sqrt{2}} \right) \left[\overline{l_L} Y^l l_R + \overline{n_L} Y^\nu n_R \right] + \text{H.C.} \quad (6-3)$$

$$= - \left(\frac{v+H}{\sqrt{2}} \right) \left[\sum_{\alpha=e,\mu,\tau} y_\alpha^l \overline{l_{\alpha L}} l_{\alpha R} + \sum_k y_k^\nu \overline{v_{k L}} v_{k R} \right] + \text{H.C}$$

با استفاده از میدانهای لپتون دیراکی باردار (همانند آنچه در (1-18) تعریف شده است) و میدانهای

دیراکی نوترینو

$$\begin{aligned} l_\alpha &= l_{\alpha L} + l_{\alpha R} & (\alpha = e, \mu, \tau) \\ v_k &= v_{kL} + v_{kR} & (k = 1, 2, 3) \end{aligned} \quad (7-3)$$

در نهایت به لاغرانژی زیر می‌رسیم

$$\begin{aligned} \mathcal{L}_{H,L} = & - \sum_{\alpha=e,\mu,\tau} \frac{y_\alpha^l v}{\sqrt{2}} \bar{l}_\alpha l_\alpha - \sum_{k=1}^3 \frac{y_k^\nu v}{\sqrt{2}} \bar{v}_k v_k \\ & - \sum_{\alpha=e,\mu,\tau} \frac{y_\alpha^l}{\sqrt{2}} \bar{l}_\alpha l_\alpha H - \sum_{k=1}^3 \frac{y_k^\nu}{\sqrt{2}} \bar{v}_k v_k H \end{aligned} \quad (8-3)$$

که درنتیجه جرم نوترینوهای دیراکی که در جمله آخر با میدان هیگز جفت شده‌اند، به‌دست می‌آید.

$$m_k = \frac{y_k^\nu v}{\sqrt{2}} \quad (k = 1, 2, 3) \quad (9-3)$$

۱-۳ آمیختگی نوترینوهای دیراکی

آمیختگی نوترینوهای دیراکی همانند آمیختگی کوارکهاست که در فصل دوم درباره آن بحث شد. با استفاده از معادلات (۱۱۷-۱) و (۳-۵) جریان باردار ضعیف لپتونی معادله (۶۸-۱) را می‌توان به‌صورت زیر نوشت.

$$j_{W,L}^\rho = \bar{v}_L' \gamma^\rho l'_L = \bar{n}_L V_L^{\nu\dagger} \gamma^\rho V_L^l l_L = \bar{n}_L V_L^{\nu\dagger} V_L^l \gamma^\rho l_L \quad (10-3)$$

جریان باردار ضعیف لپتونی بر حسب ماتریس آمیختگی U بخش لپتونی (همانند ماتریس آمیختگی CKM کوارکها) به‌صورت زیر درمی‌آید

$$U = V_L^{l\dagger} V_L^\nu \quad (11-3)$$

$$j_{W,L}^\rho = \bar{n}_L U^\dagger \gamma^\rho l_L \quad (12-3)$$

$$v_L = U n_L = V_L^{l\dagger} v'_L \quad , \quad v_L = \begin{pmatrix} v_{eL} \\ v_{\mu L} \\ v_{\tau L} \end{pmatrix} \quad (13-3)$$

با تعریف میدانهای نوترینوی چیگرد به‌صورت بالا می‌توان جریان باردار ضعیف لپتونی را در مدل استاندارد، (۱۲۵-۱)، به‌شکل زیر نوشت:

$$j_{W,L}^{\rho} = 2 \overline{v_L} \gamma^{\rho} l_L = 2 \sum_{\alpha=e,\mu,\tau} \overline{v_{\alpha L}} \gamma^{\rho} l_{\alpha L} \quad (14-3)$$

در عمل طعم‌های مختلف نوترینو تنها در محاسباتی سودمندند که در حد مدل استاندارد، یعنی با چشم‌پوشی از جرم آنها، انجام شود. زمانی که جرم نوترینوها به حساب می‌آید، میدانهای نوترینو با طعم‌های مختلف دارای جرم معین و مستقل از هم نیستند، بلکه با جملات جرمی به هم جفت می‌شوند. در این حالت بطور مرسوم با میدانهای نوترینوی جرم‌دار مستقل کار می‌شود.

۱-۱-۳ اعداد لپتونی

پیامد بلافصل آمیختگی نوترینوها آن است که اعداد لپتونی مربوط به هر نسل، L_e, L_{μ}, L_{τ} ، دیگر تقارن جهانی خوبی حتی در سطح کلاسیک نیز نیستند. زیرا ویژه‌حالت جرمی آمیزه‌ای از v_e, v_{μ}, v_{τ} می‌باشد. در حد کلاسیک تنها تقارن جهانی که در بخش لپتونی باقی می‌ماند، عدد لپتونی کل $L_e + L_{\mu} + L_{\tau}$ می‌باشد. این ویژگی منجر به رخدادن فرآیندهایی همچون می‌شود که در آنها پایستگی عدد لپتونی هر طعم نقض می‌گردد. این مباحث درباره هر مدلی که در آن آمیختگی نوترینوها وجود داشته باشد، صادق است.

بخش مربوط به نوترینوی لاگرانژی یوکاوای لپتون-هیگز (۶-۳) را می‌توان به صورت زیر نوشت:

$$\begin{aligned} \mathcal{L}_{H,L} &= -\left(\frac{v+H}{\sqrt{2}}\right) \left[\overline{l_L} Y^l l_R + \overline{v_L} U Y^\nu v_R \right] + \text{H.C} \\ &= -\left(\frac{v+H}{\sqrt{2}}\right) \sum_{\alpha=e,\mu,\tau} \left[y_{\alpha}^l \overline{l_{\alpha L}} l_{\alpha R} + \overline{v_{\alpha L}} \sum_{k=1}^3 U_{\alpha k} y_k^\nu v_{k R} \right] + \text{H.C} \end{aligned} \quad (15-3)$$

درواقع، جریان باردار ضعیف در معادله (۱۴-۳) تحت تبدیلات جهانی پیمانه‌ای (۱)،

$$l_{\alpha L} \rightarrow e^{i\varphi_{\alpha}} l_{\alpha L}, \quad v_{\alpha L} \rightarrow e^{i\varphi_{\alpha}} v_{\alpha L} \quad (\alpha=e,\mu,\tau) \quad (16-3)$$

با فازهای مختلف برای هر طعم، ناورداست. برای آنکه جملات لپتونی باردار معادله (۱۵-۳) ناورد باشند باید مؤلفه‌های کایرال راستگرد میدانهای لپتونی باردار مطابق زیر تغییر فاز بدهنند

$$l_{\alpha R} \rightarrow e^{i\varphi_{\alpha}} l_{\alpha R}, \quad (\alpha=e,\mu,\tau) \quad (17-3)$$

بخش جنبشی لاغرانژی نوترینو به شکل زیر است

$$\begin{aligned} \mathcal{L}_{\text{جنبشی}}^{(\nu)} &= \sum_{k=1}^3 \overline{\nu_k} i \not{\partial} \nu_k = \sum_{k=1}^3 \left(\overline{\nu_{kL}} i \not{\partial} \nu_{kL} + \overline{\nu_{kR}} i \not{\partial} \nu_{kR} \right) \\ &= \sum_{\alpha=e,\mu,\tau} \overline{\nu_{\alpha L}} i \not{\partial} \nu_{\alpha L} + \sum_{k=1}^3 \overline{\nu_{kR}} i \not{\partial} \nu_{kR} \end{aligned} \quad (18-3)$$

تنها راه برای آنکه بخش نوترینوی لاغرانژی یوکاوای هیگز-لپتون تحت تبدیلات (۱۶-۳) ناوردا بماند آن است که ترکیب $e^{i\varphi_\alpha} \sum_{k=1}^3 U_{\alpha k} \nu_k^\nu \nu_{kR}$ به صورت $\sum_{k=1}^3 U_{\alpha k} \nu_k^\nu \nu_{kR}$ تبدیل یابد. اما حتی تحت همین تبدیل هم بخش جنبشی لاغرانژی نوترینو ناوردا باقی نمی‌ماند. علی‌الاصول نمی‌توان تبدیلی برای میدانهای نوترینوی راستگرد یافت که تحت آن بخش نوترینوی لاغرانژی یوکاوای هیگز-لپتون در معادله (۱۵-۳) و بخش جنبشی لاغرانژی نوترینو (۱۷-۳) همزمان ناوردا بماند. ناپایستگی عدد طعم لپتونی منجر به پدیده نوسانات نوترینو می‌شود. اما برای نوترینوهای دیراکی جرم‌دار عدد لپتونی کل پایسته $L = L_e + L_\mu + L_\tau$ می‌ماند. یعنی لاغرانژی تحت تبدیلات پیمانه‌ای (۱) ناوردا می‌ماند.

$$\begin{aligned} \nu_{kL} &\rightarrow e^{i\varphi} \nu_{kL}, \quad \nu_{kR} \rightarrow e^{i\varphi} \nu_{kR} \quad (k=1,2,3) \\ l_{\alpha L} &\rightarrow e^{i\varphi} l_{\alpha L}, \quad l_{\alpha R} \rightarrow e^{i\varphi} l_{\alpha R} \quad (\alpha=e,\mu,\tau) \end{aligned} \quad (19-3)$$

که فاز φ برای نوترینوی کایرال مستقل و میدانهای لپتونی باردار یکسان است. تنها استثنای بر نوسانات نوترینو حالتی است که همه جفت‌شدگی‌های یوکاوا y_k^y برابر باشند، یعنی جرم نوترینوها (۹-۳) با هم برابر باشد، به دیگر سخن آنکه ماتریس آمیختگی U یکانی باشد، یعنی هیچ آمیختگی صورت نمی‌گیرد. در این حالت اعداد لپتونی طعم پایسته هستند و نوسانی رخ نمی‌دهد.

جريان پایسته ($j^\rho = \partial_\rho j^\rho$) با توجه به بخش جنبشی لاغرانژین نوترینو و لپتونهای باردار به صورت

زیر می‌شود:

$$j^\rho = \sum_{k=1}^3 \overline{\nu_k} \gamma^\rho \nu_k + \sum_{\alpha=e,\mu,\tau} \overline{l_\alpha} \gamma^\rho l_\alpha \quad (20-3)$$

و بار پایسته ($\partial_0 Q = 0$) هم برابر با عبارت زیر می‌شود:

$$Q = \int d^3x j^0(x) = \int d^3x \left[\sum_{k=1}^3 v_k^\dagger(x) v_k(x) + \sum_{\alpha=e,\mu,\tau} l_\alpha^\dagger(x) l_\alpha(x) \right] \quad (21-3)$$

میدانهای نوترینوی دیراکی در معادله (۲۱-۳) را می‌توان به روش معمول میدانهای دیراکی کوانتیزه کرد. با استفاده از بسط فوریه لاغرانژی نوترینوی دیراکی و لپتون باردار، بار پایسته همان عدد لپتونی می‌شود (در اینجا آن را با L نشان می‌دهیم):

$$\begin{aligned} :L: &= \sum_{k=1}^3 \int \frac{d^3 p}{(2\pi)^3 2E} \sum_{h=\pm 1} \left[a_{vk}^{(h)\dagger}(p) a_{vk}^{(h)}(p) - b_{vk}^{(h)\dagger}(p) b_{vk}^{(h)}(p) \right] \\ &\quad + \sum_{\alpha=e,\mu,\tau} \int \frac{d^3 p}{(2\pi)^3 2E} \sum_{k=1}^3 \left[a_{l_\alpha}^{(h)\dagger}(p) a_{l_\alpha}^{(h)}(p) - b_{l_\alpha}^{(h)\dagger}(p) b_{l_\alpha}^{(h)}(p) \right] \end{aligned} \quad (22-3)$$

بنا به این معادله، همانند مدل استاندارد (جدول ۱-۴) لپتونها با بار منفی و نوترینوها دارای $L = 1$ و پادنوترینوها و لپتونهای باردار مثبت دارای $-L = 1$ می‌باشد. یعنی در مورد نوترینوهای دیراکی اعداد کوانتمی لپتونی برای نوترینوها و پادنوترینوها با هم متفاوت هستند. این موضوع در تمایز نوترینوهای دیراکی از پادراتشان مهم است اما درمورد لپتونها اهمیت چندانی ندارد زیرا لپتونهای باردار از روی بارشان نیز از هم تمیز داده می‌شوند. نوترینوهای جرم‌دار دیراکی، از پادراتشان متفاوت می‌شوند. این امر به ناوردایی کل لاغرانژی تحت تبدیل پیمانهای جهانی (۱) U در معادلات (۱۹-۳) مربوط می‌گردد. بهسبب ویژگی سترون بودن مؤلفه‌های راستگرد میدانهای نوترینوی دیراکی تعریفی همانند تعریف (۱۳-۳) برای برهمنهی مؤلفه‌های راستگرد بی‌فایده خواهد بود. زیرا آمیختگی میدانهای نوترینوی چپگرد در معادله (۱۳-۳) مستقل از میدانهای نوترینوی راستگرد است. در حضور آمیختگی دیراکی درجات آزادی سترون و فعال جفت شده و نوسان بین حالت‌های سترون و فعال ممکن نیست.

در عمل امکان وجود میدانهای نوترینوی دیراکی سترون، یعنی فرمیونهای خنثی دیراکی که یکتاوی گروه تقارن الکتروضعیف $(U_L \times U_R)$ هستند، درنظر گرفته نمی‌شود. چنین میدانهایی در

^۱ علامت :: به معنای بسامان و بهنجار کردن normal ordering می‌باشد. این کار برای نسبت دادن بار صفر به خلا ضروری می‌باشد.

برهمکنش ضعیف با هردو مؤلفه راستگرد و چپگرد خود شرکت نمی‌کنند، اما می‌توانند از طریق جمله جرمی با نوترینوهای معمولی جفت شوند و ایجاد آمیختگی پیچیده‌ای بین درجات آزادی فعال و سترون کنند. اما تا کنون هیچ گواه با اشاره‌ای بر وجود چنین میدانهای نوترینوی دیراکی سترونی نبوده است.

۲-۱-۳ آمیختگی نوترینوهای دیراک

همانند آمیختگی کوارکها که در فصل ۲ گفته شد، آمیختگی نوترینوهای دیراکی هم به چهار پارامتر فیزیکی بستگی دارد: سه زاویه آمیختگی و یک فاز ناقض CP. همانند مورد کوارکها، پنج فاز از شش فاز موجود در ماتریس آمیختگی یکانی غیرفیزیکی هستند، زیرا می‌توان آنها را با فازبندی دوباره میدانهای لپتونی باردار و نوترینوها حذف کرد. علت امکان چنین امری جدا از بخش جریان باردار ضعیف، ناوردا بودن لاگرانژی تحت تبدیلات فازی جهانی با سه فاز مستقل φ_k برای میدانهای نوترینوی جرمدار و سه فاز مستقل φ_α برای میدانهای لپتون باردار جرمدار می‌باشد:

$$\begin{aligned} v_{kL} &\rightarrow e^{i\varphi_k} v_{kL}, & v_{kR} &\rightarrow e^{i\varphi_k} v_{kR} \quad (k=1,2,3) \\ l_{\alpha L} &\rightarrow e^{i\varphi_\alpha} l_{\alpha L}, & l_{\alpha R} &\rightarrow e^{i\varphi_\alpha} l_{\alpha R} \quad (\alpha=e,\mu,\tau) \end{aligned} \quad (23-3)$$

ویژگیهای ماتریس آمیختگی برای سه نسل نوترینوی دیراکی همانند ویژگیهای ماتریس آمیختگی کوارکهاست که در فصل ۲ درباره آن توضیح داده شد. نقض CP را می‌توان با استفاده از ناوردایی تحت فازبندی دوباره بر حسب ناوردهای یارلسکوگ توضیح داد [۲۷-۳۰].

$$J = \text{Im} \left[U_{\mu 3} U_{e 2} U_{\mu 2}^* U_{e 3}^* \right] \quad (24-3)$$

که ناتقارنی CP و T در نوسانات نوترینو به J بستگی دارد.

در آمیختگی سه نسل نوترینوی دیراکی (همانند آمیختگی کوارکها) علامت همه بخش‌های موهومی حاصل‌ضربهای ناوردا تحت فازبندی دوباره $U_{\alpha k}^* U_{\beta k} U_{\alpha j} U_{\beta j}^*$ برابر با

$$\text{Im} \left[U_{\alpha k}^* U_{\beta k} U_{\alpha j} U_{\beta j}^* \right] = s_{\alpha \beta; k j} J \quad (25-3)$$

است. زیرا روابط یکانی برقرار است

$$\begin{aligned} \sum_{k \neq j} \operatorname{Im} \left[U_{\alpha k}^* U_{\beta k} U_{\alpha j} U_{\beta j}^* \right] &= 0 \quad (\alpha \neq \beta) \\ \sum_{\alpha \neq \beta} \operatorname{Im} \left[U_{\alpha k}^* U_{\beta k} U_{\alpha j} U_{\beta j}^* \right] &= 0 \quad (k \neq j) \end{aligned} \quad (26-3)$$

ضرایب $s_{\alpha \beta; k j}$ بر حسب زیروندهای α, β و k, j پادمتریک هستند.

$$s_{\alpha \beta; k j} = -s_{\beta \alpha; k j} = s_{\beta \alpha; j k} \quad (27-3)$$

این مقادیر در جدول ۱-۳ آمده است. پارامتریندی معمول برای ماتریس آمیختگی نوترینوهای دیراکی همانند ماتریس (۷۸-۲) است.

$$U = \begin{pmatrix} c_{12}c_{13} & s_{12}c_{13} & s_{13}e^{-i\delta_{13}} \\ -s_{12}c_{23} - c_{12}s_{23}s_{13}e^{i\delta_{13}} & c_{12}c_{23} - s_{12}s_{23}s_{13}e^{i\delta_{13}} & s_{23}c_{13} \\ s_{12}s_{23} - c_{12}c_{23}s_{13}e^{i\delta_{13}} & -c_{12}s_{23} - s_{12}c_{23}s_{13}e^{i\delta_{13}} & c_{23}c_{13} \end{pmatrix} \quad (28-3)$$

که همانند مورد پیشین سه زاویه آمیختگی $\theta_{23}, \theta_{13}, \theta_{12}$ در گستره $0^\circ \leq \theta_{ab} \leq \pi/2$ و $0^\circ \leq \delta_{13} \leq 2\pi$ است که مقدار آن در

گستره $0^\circ \leq \delta_{13} \leq 2\pi$ میباشد. در این پارامتریندی ناوردای یارلسکوگ برابر با

$$J = c_{12}s_{12}c_{23}s_{23}c_{13}s_{13}\sin\delta_{13} = \frac{1}{8}\sin 2\theta_{12}\sin 2\theta_{23}\cos\theta_{13}\sin 2\theta_{13}\sin\delta_{13} \quad (29-3)$$

همانند مدل استاندارد، یکانی بودن ماتریس آمیختگی نوترینو و لپتون باردار $V_L^l, V_R^l, V_L^v, V_R^v$ به وجود سازوکار GIM اشاره دارد. عبارت جریان ضعیف باردار بر حسب میدانهای لپتونی با جرم معین همانند همین عبارت بر حسب میدانهای لپتونی پریمدادار میباشد.

$$\begin{aligned} j_{Z,L}^\rho &= 2g_L^v \overline{V_L^v} \gamma^\rho V_L' + 2g_L^l \overline{l_L^l} \gamma^\rho l_L' + 2g_R^l \overline{l_R^l} \gamma^\rho l_R' \\ &= 2g_L^v \overline{n_L} V_L^{v\dagger} \gamma^\rho V_L^v n_L + 2g_L^l \overline{l_L} V_L^{l\dagger} \gamma^\rho V_L^l l_L + 2g_R^l \overline{l_R} V_R^{l\dagger} \gamma^\rho V_R^l l_R \\ &= 2g_L^v \overline{n_L} \gamma^\rho n_L + 2g_L^l \overline{l_L} \gamma^\rho l_L + 2g_R^l \overline{l_R} \gamma^\rho l_R \end{aligned} \quad (30-3)$$

تنها ویژگی برای تمایز سه نسل لپتون باردار جرم آنها و طعم لپتون باردار است که از اندازه‌گیری جرم آنها به دست میآید. جرم آنها ویژگیهای سینماتیک و مدهای واپاشی آنها را تعیین میکند. لپتونهای باردار با جرم معین بنا به تعریف ذراتی با طعم معین هستند. از طرفی نوترینوها را تنها میتوان به-

طریق غیرمستقیم با تعیین هویت ذرات باردار تولید شده در برهمکنشهای ضعیف آشکارسازی کرد. از سوی دیگر بنا به تعریف طعم نوترینوهای آفریده یا نابود شده در فرآیندهای برهمکنش ضعیف جریان باردار، طعم لپتون باردار همراه آنهاست. بنابراین نیازی نیست که نوترینوهای دارای طعمهای مختلف، جرم معینی داشته باشند. وجود آمیختگی حاکی از آن است که نوترینوهای طعمدار برهمنهی نوترینوهایی با جرم‌های معین هستند. بنا بر همین دلایل همواره آمیختگی زمانی بکار می‌رود که با لپتونهای باردار به مثابه ذراتی با جرم معین رفتار شود.

садگی مدل نوترینوهای دیراکی در این است که نوترینوها ذراتی دیراکی همانند دیگر فرمیونها فرض می‌شوند و جرم آنها همانگونه که دیدیم همانند جرم لپتونهای باردار و کوارکها متناسب با ${}^1\text{VEV}$ هیگز می‌باشد. اما دارای کاستی نیز می‌باشد. هیچ توضیحی برای کوچک بودن بسیار زیاد مقادیر ویژه مقدار τ_k ماتریس جفت‌شدگی یوکاوای هیگز-لپتون و درنتیجه کوچکی بیش از حد معمول جرم نوترینوها وجود ندارد. در واقع سازوکار هیگز در مدل استاندارد (که در فصل ۱ توضیح داده شد) پاسخی درباره مقدار جفت‌شدگی یوکاوای ذرات با هیگز ارائه نمی‌دهد. یعنی منشاء جرم لپتونها و کوارکها در چارچوب مدل استاندارد نامعلوم است.

¹ VEV: vacuum expectation value

جدول ١-٣

$\alpha\beta kj$	$\Re[U_{\alpha k}^* U_{\beta k} U_{\alpha j} U_{\beta j}^*]$	$s_{\alpha\beta;kj}$
21	$-\frac{1}{4} \sin 2\vartheta_{12} c_{13}^2 [\sin 2\vartheta_{12} (c_{23}^2 - s_{23}^2 s_{13}^2) + \cos 2\vartheta_{12} \sin 2\vartheta_{23} s_{13} \cos \delta_{13}]$	+1
$e\mu$ 32	$-s_{12} s_{23} c_{13}^2 s_{13} (s_{12} s_{23} s_{13} - c_{12} c_{23} \cos \delta_{13})$	+1
31	$-c_{12} s_{23} c_{13}^2 s_{13} (c_{12} s_{23} s_{13} + s_{12} c_{23} \cos \delta_{13})$	-1
21	$\frac{1}{16} \sin^2 2\vartheta_{12} \sin^2 2\vartheta_{23} (1 + s_{13}^2)^2 - \frac{1}{4} (\sin^2 2\vartheta_{12} + \sin^2 2\vartheta_{23}) s_{13}^2$ $-\frac{1}{16} \sin 4\vartheta_{12} \sin 4\vartheta_{23} (1 + s_{13}^2) s_{13} \cos \delta_{13}$ $+\frac{1}{4} \sin^2 2\vartheta_{12} \sin^2 2\vartheta_{23} s_{13}^2 \cos^2 \delta_{13}$	+1
$\mu\tau$ 32	$-\frac{1}{4} \sin 2\vartheta_{23} c_{13}^2 [\sin 2\vartheta_{23} (c_{12}^2 - s_{12}^2 s_{13}^2) + \sin 2\vartheta_{12} \cos 2\vartheta_{23} s_{13} \cos \delta_{13}]$	+1
31	$\frac{1}{4} \sin 2\vartheta_{23} c_{13}^2 [\sin 2\vartheta_{23} (c_{12}^2 s_{13}^2 - s_{12}^2) + \sin 2\vartheta_{12} \cos 2\vartheta_{23} s_{13} \cos \delta_{13}]$	-1
21	$\frac{1}{4} \sin 2\vartheta_{12} c_{13}^2 [\sin 2\vartheta_{12} (c_{23}^2 s_{13}^2 - s_{23}^2) + \cos 2\vartheta_{12} \sin 2\vartheta_{23} s_{13} \cos \delta_{13}]$	+1
τe 32	$-s_{12} c_{23} c_{13}^2 s_{13} (s_{12} c_{23} s_{13} + c_{12} s_{23} \cos \delta_{13})$	+1
31	$-c_{12} c_{23} c_{13}^2 s_{13} (c_{12} c_{23} s_{13} - s_{12} s_{23} \cos \delta_{13})$	-1
21	$\frac{1}{4} \sin^2 2\vartheta_{12} c_{13}^4$	0
ee 32	$\frac{1}{4} s_{12}^2 \sin^2 2\vartheta_{13}$	0
31	$\frac{1}{4} c_{12}^2 \sin^2 2\vartheta_{13}$	0
21	$\frac{1}{4} \sin^2 2\vartheta_{12} (c_{23}^4 + s_{23}^4 s_{13}^2) + \frac{1}{4} (1 - \frac{1}{2} \sin^2 2\vartheta_{12}) \sin^2 2\vartheta_{23} s_{13}^2$ $+\frac{1}{4} \sin 4\vartheta_{12} \sin 2\vartheta_{23} (c_{23}^2 - s_{23}^2 s_{13}^2) s_{13} \cos \delta_{13}$ $-\frac{1}{4} \sin^2 2\vartheta_{12} \sin^2 2\vartheta_{23} s_{13}^2 \cos^2 \delta_{13}$	0
$\mu\mu$ 32	$s_{23}^2 c_{13}^2 (c_{12}^2 c_{23}^2 + s_{12}^2 s_{23}^2 s_{13}^2 - \frac{1}{2} \sin 2\vartheta_{12} \sin 2\vartheta_{23} s_{13}^2 \cos^2 \delta_{13})$	0
31	$s_{23}^2 c_{13}^2 (s_{12}^2 c_{23}^2 + c_{12}^2 s_{23}^2 s_{13}^2 + \frac{1}{2} \sin 2\vartheta_{12} \sin 2\vartheta_{23} s_{13}^2 \cos^2 \delta_{13})$	0
21	$\frac{1}{4} \sin^2 2\vartheta_{12} (s_{23}^4 + c_{23}^4 s_{13}^2) + \frac{1}{4} (1 - \frac{1}{2} \sin^2 2\vartheta_{12}) \sin^2 2\vartheta_{23} s_{13}^2$ $+\frac{1}{4} \sin 4\vartheta_{12} \sin 2\vartheta_{23} (s_{23}^2 - c_{23}^2 s_{13}^2) s_{13} \cos \delta_{13}$ $-\frac{1}{4} \sin^2 2\vartheta_{12} \sin^2 2\vartheta_{23} s_{13}^2 \cos^2 \delta_{13}$	0
$\tau\tau$ 32	$c_{23}^2 c_{13}^2 (c_{12}^2 s_{23}^2 + s_{12}^2 c_{23}^2 s_{13}^2 + \frac{1}{2} \sin 2\vartheta_{12} \sin 2\vartheta_{23} s_{13}^2 \cos^2 \delta_{13})$	0
31	$c_{23}^2 c_{13}^2 (s_{12}^2 s_{23}^2 + c_{12}^2 c_{23}^2 s_{13}^2 - \frac{1}{2} \sin 2\vartheta_{12} \sin 2\vartheta_{23} s_{13}^2 \cos^2 \delta_{13})$	0

۲-۳ نوتروینوهای ماژورانا

اسپینورهای کایرال کوچکترین نمایشگاهی کاوش ناپذیر گروه لورنتس هستند، که همه نمایشها را می‌توان از آنها ساخت، بهمین دلیل است که میدانهای فرمیونی کایرال سنگ بنای مدل استاندارد و نظریه‌های پیمانه‌ای هستند.

$$\text{معادله دیراک}^{\circ} \quad (i \gamma^{\mu} \partial_{\mu} - m) \psi = \psi_L + \psi_R \quad \text{همارز دو معادله زیر است}$$

$$i \gamma^{\mu} \partial_{\mu} \psi_L = m \psi_R \quad (31-3)$$

$$i \gamma^{\mu} \partial_{\mu} \psi_R = m \psi_L$$

معادلات ویل^۱ برای فرمیونهای بدون جرم عبارتند از:

$$i \gamma^{\mu} \partial_{\mu} \psi_L = 0 \quad (32-3)$$

$$i \gamma^{\mu} \partial_{\mu} \psi_R = 0$$

هرچند در آغاز پائولی این معادلات را به دلیل نقض پاریتی رد کرد، اما پس از کشف نقض پاریتی در سال ۱۹۵۶-۵۷ و با توجه به نبود هیچ گواهی در آن دوران مبنی بر جرم‌دار بودن نوتروینو و همچنین تصور اینکه نوتروینو از طریق مؤلفه‌های چپگرد خود در برهمکنشهای ضعیف شرکت می‌کند، لانداو [۳۱]، لی و یانگ [۳۲]، سلام [۳۳] نشان دادند که می‌توان نوتروینوها بدون جرم را با اسپینورهای چپگرد ویل_L توصیف کرد. این موضوع در مدل استاندارد جا داده شده است.

اتوره ماژورانا در سال ۱۹۳۷ کشف کرد که با توجه به فرض مستقل نبودن ψ_L ، ψ_R رابطه بین آن دو باید با معادلات (۳۱-۳) سازگار باشد [۳۴]. یعنی این دو معادله باید دو روش برای نوشتن معادله-ای یکسان برای یک میدان مستقل مثلاً ψ_L باشد. بنابراین هرچند اسپینور دومؤلفه‌ای برای توصیف فرمیون بدون جرم کافیست، لزومی به وجود اسپینور چهار مؤلفه‌ای برای توصیف ذره جرم‌دار نمی‌باشد. برای به دست آوردن معادله نخست (۳۱-۳) از معادله دوم آن:

^۱ Weyl

$$\begin{aligned} (i \gamma^\mu \partial_\mu \psi_R)^\dagger &= (m \psi_L)^\dagger \Rightarrow -i \partial_\mu \psi_R^\dagger \gamma^\mu = m \psi_L^\dagger \\ \Rightarrow (-i \partial_\mu \psi_R^\dagger \gamma^\mu \gamma^\mu) &= m \psi_L^\dagger \xrightarrow{\psi^\dagger \gamma^\mu = \bar{\psi}} -i \partial_\mu \bar{\psi}_R \gamma^\mu = m \bar{\psi}_L \end{aligned} \quad (33-3)$$

$$\begin{cases} C(-i \partial_\mu \bar{\psi}_R \gamma^\mu = m \bar{\psi}_L)^T \\ C \gamma_\mu^T C^{-1} = -\gamma_\mu, \quad C(\gamma^\delta)^T C^{-1} = \gamma^\delta \end{cases} \Rightarrow i \gamma^\mu \partial_\mu C \bar{\psi}_R^T = m C \bar{\psi}_L^T \quad (34-3)$$

که با توجه به

$$\psi_R = \xi C \bar{\psi}_L^T, \quad |\xi|^4 = 1 \quad (35-3)$$

که رابطه مژورانا بین ψ_R , ψ_L است (با توجه به راستگرد بودن $C \bar{\psi}_L^T$).

با استفاده از $C P_L^T C^{-1} = \gamma^\delta$ و رابطه

$$P_L \left(C \bar{\psi}_L^T \right) = C \left(\bar{\psi}_L P_L \right)^T = C \left[\left(P_R \psi_L \right)^\dagger \gamma^\circ \right]^T = 0 \quad (36-3)$$

برقرار است. با استفاده از معادله نخست (31-3) و (35-3) معادله مژورانا را برای میدان کایرال ψ_L

به دست می‌آوریم:

$$i \gamma^\mu \partial_\mu \psi_L = m \xi C \bar{\psi}_L^T \quad (37-3)$$

با فازبندی دوبار این میدان به صورت $\psi_L \rightarrow \psi_L^{1/2} \xi$, ضریب فاز ξ نیز حذف می‌شود و معادله مژورانا به صورت زیر در می‌آید

$$i \gamma^\mu \partial_\mu \psi_L = m C \bar{\psi}_L^T \quad (38-3)$$

شرط مژورانا

$$\begin{aligned} \psi &= \psi_L + \psi_R = \psi_L + C \bar{\psi}_L^T \\ \psi &= C \bar{\psi}^T \end{aligned} \quad (39-3)$$

$C \bar{\psi}_L^T$ (بغیر از فاز) با میدان همیوغ مختلط ψ_L^C یکسان است. برهمکنشهای ضعیف جریان باردار

$V - A$ تقارن تحت همیوغی بار را نقض می‌کنند. از آنجا که نوتريونها تنها از طریق برهمکنشهای

ضعیف برهمنکنیش دارند، پاریتی باری میدانهای نوترینو هیچ معنی فیزیکی ندارد و می‌توانیم آنها را دلخواه انتخاب کیم، که برای سادگی آن را برابر با یک برگزیده‌ایم.

$$\psi_L^C = C \overline{\psi_L}^T \quad (40-3)$$

و درنتیجه میدان و شرط مازورنا در معادله (۳۹-۳) به صورت زیر درمی‌آید

$$\begin{aligned} \psi &= \psi_L + \psi_L^C \\ \psi &= \psi^C \quad (\text{شرط مازورنا}) \end{aligned} \quad (41-3)$$

شرط مازورنای بالا حکایت از یکسانی ذره و پادذره دارد. بنابراین تنها فرمیونها خنثی را می‌توان با آن توصیف کرد.

جريان الکترومغناطیسی برای میدانهای مازورانا صفر می‌شود.

$$\begin{aligned} j^\mu &= q \overline{\psi} \gamma^\mu \psi \\ \overline{\psi} \gamma^\mu \psi &= \overline{\psi^C} \gamma^\mu \psi^C = -\psi^T C^\dagger \gamma^\mu C \overline{\psi}^T = \overline{\psi} C \gamma^\mu T C^\dagger \psi = -\overline{\psi} \gamma^\mu \psi = 0 \end{aligned} \quad (42-3)$$

همان‌گونه که خود مازورانا نیز بیان کرده، در میان همهٔ ذرات بنیادی شناخته شده، تنها نوترینوها ذرات خنثی هستند که می‌توان آنها را ذرات مازورانا دانست [۳۴]. چون اسپینور مازورانا دارای دو مؤلفهٔ مستقل است، کار کردن با آن به مراتب راحت‌تر از کار کردن با اسپینورهای چهار مؤلفه‌ای دیراکی می‌باشد. در بیشتر نظریه‌های ماورای مدل استاندارد نوترینوها ذرات مازورانا می‌باشند.

تنها در صورت جرم‌دار بودن نوترینوهاست که پیامدهای پدیدارشناختی دیراکی بودن یا مازورانا بودن نوترینوها با هم متفاوت است. اگر نوترینوها را بدون جرم درنظر بگیریم توصیف نوترینو چه با معادلهٔ مازورانا و چه با معادلهٔ دیراک از نظر فیزیکی یکسان می‌باشد.

بی‌بردن به اینکه آیا نوترینوها واقعاً ذرات مازورنا هستند یا خیر تنها با اندازه‌گیری مستقیم پدیده‌های مربوط به جرم نوترینو مستقیماً درک می‌شود. پدیده‌های مانند واپاشی بتازای دوگانه بدون نوترینو.

۱-۲-۳ جمله جرمی مازورانا

ابتدا جمله جرمی دیراکی را برای $\nu = \nu_L + \nu_R$ در نظر می‌گیریم.

$$\mathcal{L}_{\text{mass}}^D = -m \bar{\nu} \nu = -m \left(\overline{\nu_R} \nu_L + \overline{\nu_L} \nu_R \right) = -m \overline{\nu_R} \nu_L + \text{H.c.} \quad (42-3)$$

توجه آنکه تنها جفت‌شدگی‌های باقی می‌ماند، زیرا باتوجه $\overline{\nu_L} \nu_L$ ، $\overline{\nu_R} \nu_R$ توجه آنکه تنها جفت‌شدگی‌های باقی می‌ماند، زیرا باتوجه $\overline{\nu_L} \nu_L$ ، $\overline{\nu_R} \nu_R$

$$\overline{\nu_L} \nu_L = \nu_L^\dagger \gamma^\circ \nu_L = \nu_L^\dagger \gamma^\circ P_L \nu_L = \nu_L^\dagger P_R \gamma^\circ \nu_L = (P_R \nu_L)^\dagger \gamma^\circ \nu_L = 0 \quad (43-3)$$

و مشابه‌اً برای $\overline{\nu_R} \nu_R = 0$ برقرار است. جمله جرمی دیراکی در لاغرانژی (42-3) همانند بقیه جملات آن باید اسکالر لورنتسی باشد. زیرا میدان‌های کایرال $\nu_L(x), \nu_R(x)$ همانند میدان دیراکی و میدان‌های کایرال الحاقی $\overline{\nu_L}(x), \overline{\nu_R}(x)$ نیز مانند میدان الحاقی دیراکی تحت تبدیل لورنتس تبدیل می‌یابند.

$$\begin{aligned} \nu_L &\rightarrow \nu'_L(x') = S \nu_L(x) & \nu_R &\rightarrow \nu'_R(x') = S \nu_R \\ \overline{\nu_L}(x) &\rightarrow \overline{\nu'_L}(x') = \overline{\nu_L}(x) S^{-1}, & \overline{\nu_R}(x) &\rightarrow \overline{\nu'_R}(x') = \overline{\nu_R}(x) S^{-1} \\ S(1+\varepsilon\omega) &= 1 - \frac{i}{4}\varepsilon\omega_{\mu\nu}\sigma^{\mu\nu} & [\gamma^\delta, \sigma^{\mu\nu}] &= 0 \end{aligned} \quad (44-3)$$

درنتیجه

$$\nu'_L(x') = P_L \nu'(x') = P_L S \nu(x) = S P_L \nu(x) = S \nu_L(x) \quad (45-3)$$

برای آنکه جمله جرمی مازورانا را تنها با استفاده از ν_L بنویسیم، باید تابعی راستگرد از ν_L به دست آوریم که همانند ν تحت تبدیلات لورنتس، تبدیل یابد و بتوان آن را بجای ν_R در معادله (42-3) جایگزین کرد. این تابع از ν_L همان میدان همیوغ باری می‌باشد.

$$\nu_L^C = C \overline{\nu_L}^T \quad (46-3)$$

که پاریتی باری ذاتی آن را برابر با یک اختیار کردیم. دلیل آن در توضیح برای معادله (40-3) گفته شده است. همانگونه که در (36-3) نشان داده شد، ν_L^C راستگرد است. جفت‌شدگی صفر نمی-شود. تحت تبدیل لورنتس میدان همیوغ باری $\nu_L^C(x)$ به صورت زیر تبدیل می‌یابد

$$\nu_L^C(x) = C \left(\nu_L^\dagger(x) \gamma^\circ \right)^T \rightarrow C \left(\nu_L'^\dagger(x') \gamma^\circ \right)^T = C(S^{-1})^T C^{-1} \nu_L^C(x) \quad (47-3)$$

$\nu_L^C(x)$ با استفاده از $C(S^{-1})^T C^{-1} = S$ ، رابطه درنتیجه $C(\sigma^{\mu\nu})^T C^{-1} = -\sigma^{\mu\nu}$ به دست می‌آید.

همانند (x, ν_L) و $\nu_L^C(x)$ تبدیل می‌یابد. بنابراین ν_L^C دارای ویژگیهای مناسبی است تا

بجای ν_R در لاغرانژی (۴۲-۳) بنشیند و منجر به جمله جرمی مأمورانا شود.

$$\mathcal{L}_{\text{mass}}^M = -\frac{1}{4} m \overline{\nu_L^C} \nu_L + \text{H.c.} \quad (48-3)$$

کل لاغرانژی مأمورانا شامل جمله جرمی، جملات جرمی برای ν_L و ν_L^C به صورت زیر می‌باشد:

$$\mathcal{L}^M = \frac{1}{4} \left[\overline{\nu_L} i \tilde{\not{\partial}} \nu_L + \overline{\nu_L^C} i \tilde{\not{\partial}} \nu_L^C - m \left(\overline{\nu_L^C} \nu_L + \overline{\nu_L} \nu_L^C \right) \right] \quad (49-3)$$

در همه این روابط ضریب $\frac{1}{4}$ برای دوری گزیدن از احتساب دوباره میدان آورده شده است. زیرا

$$\nu_L^C = C \overline{\nu_L}^T \quad \text{و درنتیجه } \overline{\nu_L} \text{ از هم مستقل نیستند. با درنظر گرفتن (۴۶-۳) و همچنین } \nu_L^C = C \overline{\nu_L}^T$$

$$\overline{\nu_L^C} = C \left(\overline{\nu_L}^T \right)^{\dagger} \gamma^{\circ} = C \left((\nu_L^{\dagger} \gamma^{\circ})^T \right)^{\dagger} \gamma^{\circ} = \nu_L^T (\gamma^{\circ})^T C^{\dagger} \gamma^{\circ} = -\nu_L^T C^{\dagger} \quad (50-3)$$

лагرانژی مأمورنا (۴۹-۳) را می‌توان به صورت زیر نوشت:

$$\mathcal{L}^M = \frac{1}{4} \left[\overline{\nu_L} i \tilde{\not{\partial}} \nu_L + \nu_L^T i \tilde{\not{\partial}}^T \overline{\nu_L}^T - m \left(-\nu_L^T C^{\dagger} \nu_L + \overline{\nu_L} C \overline{\nu_L}^T \right) \right] \quad (51-3)$$

اکنون با استفاده از معادلات اول لاغرانژ، معادله مأمورانا را می‌یابیم

$$\partial_{\mu} \frac{\partial \mathcal{L}^M}{\partial (\partial_{\mu} \overline{\nu_L})} - \frac{\partial \mathcal{L}^M}{\partial \overline{\nu_L}} = 0$$

$$\frac{\partial \mathcal{L}^M}{\partial (\partial_{\mu} \overline{\nu_L})} = -\frac{1}{4} i \gamma^{\mu} \nu_L \quad (52-3)$$

$$\frac{\partial \mathcal{L}^M}{\partial \overline{\nu_L}} = \frac{1}{4} i \gamma^{\mu} \nu_L - m C \overline{\nu_L}^T$$

$$i \tilde{\not{\partial}} \nu_L = m C \overline{\nu_L}^T \quad (53-3)$$

توجه به ویژگی پادجایی میدانها در مشتق‌گیری \mathcal{L}^M نسبت به $\partial_{\mu} \overline{\nu_L}$ و $\overline{\nu_L}$ ضروری است. این کار

را با اضافه کردن علامت منفی زمانی که $\overline{\nu_L}$ سمت راست انجام می‌دهیم، یعنی مثلًاً

$$\frac{\partial}{\partial(\partial_\mu \bar{v}_L)} \bar{v}_L^T i \overleftrightarrow{\not{\partial}}^T \bar{v}_L^T = -\frac{1}{4} i \gamma^\mu v_L \quad (54-3)$$

این امر را می‌توان با تغییر جزئی $\delta_V(\partial_\mu \bar{v}_L) \bar{v}_L^T i \overleftrightarrow{\not{\partial}}^T \bar{v}_L^T$ تحت بررسی کرد، که علامت منفی ناشی از پادجابجایی میدانهای تحت انتقال می‌باشد.

$$\delta_V(\bar{v}_L^T i \overleftrightarrow{\not{\partial}}^T \bar{v}_L^T) = \frac{1}{4} \bar{v}_L^T i \gamma^{\mu T} \delta_V(\partial_\mu \bar{v}_L^T) = \delta_V(\partial_\mu \bar{v}_L) \left(-\frac{1}{4} i \gamma^\mu v_L \right) \quad (55-3)$$

این مشکل در روند به دست آوردن معادله دیراک $(i \not{\partial} - m) \psi(x) = 0$ از لاغرانژی دیراک پیش نمی‌آید، زیرا $\bar{\psi}(x)(i \not{\partial} - m) \psi(x)$ همواره در سمت چپ می‌باشد.

مرسوم است که میدان مازورانا را به صورت

$$v = v_L + v_L^C \quad (56-3)$$

نوشته شود، که در شرط مازورانا

$$v = v^C \quad (57-3)$$

صدق می‌کند. بدین ترتیب لاغرانژی مازورانا با لاغرانژی دیراک در ضریب $\frac{1}{4}$ فرق می‌کند.

$$\mathcal{L}^M = \frac{1}{4} \bar{v}(i \not{\partial} - m) v \quad (58-3)$$

ویژگی پادجابجایی میدانهای فرمیونی در روند به دست آوردن لاغرانژی مازورانا بسیار اساسی است.

زیرا برای میدانها جابجا شونده

$$v_L^T = C^\dagger v_L = v_L^T (C^{\dagger T}) v_L = -v_L^T C^\dagger v_L \quad (59-3)$$

و در این صورت جمله جرمی و جمله جنبشی هر دو صفر می‌شوند. از طرفی با توجه به ویژگی پادجابجایی میدانهای فرمیونی

$$\begin{aligned} \left\{ \psi_\alpha(x), \overline{\psi}_\beta(y) \right\} &= (i \not{\partial}^{(x)} + m)_{\alpha\beta} \Delta(x - y) \\ \Delta(x - y) &= \int \frac{d^4 p}{(4\pi)^4 \not{E}} \left(e^{-ip \cdot (x-y)} - e^{ip \cdot (x-y)} \right) \\ &= -i \int \frac{d^4 p}{(4\pi)^4 \not{E}} \sin[p \cdot (x - y)] \end{aligned} \quad (60-3)$$

$$\begin{aligned} v_L^T(x) i \overrightarrow{\not{\partial}}^T \overline{v_L}^T(x) &= \\ = \lim_{y \rightarrow x} \partial_\mu^{(x)} \left[v_L^T(y) i \gamma^\mu \overline{v_L}^T(x) - v_L^T(x) i \gamma^\mu \overline{v_L}^T(y) \right] & \\ = \overline{v_L}(x) i \overrightarrow{\not{\partial}} v_L(x) + \delta & \end{aligned} \quad (61-3)$$

$$\begin{aligned} \delta &= -\lim_{y \rightarrow x} \partial_\mu^{(x)} \left\{ \text{Tr} \left[(1 - \gamma^\mu) \not{\partial}^{(y)} \gamma^\mu \right] \Delta(y - x) - \text{Tr} \left[(1 - \gamma^\mu) \not{\partial}^{(x)} \gamma^\mu \right] \Delta(x - y) \right\} \\ &= -\lim_{y \rightarrow x} \partial_\mu^{(x)} \left[\partial_{(y)}^\mu \Delta(y - x) - \partial_{(x)}^\mu \Delta(x - y) \right] \\ \partial_{(x)}^\mu &= \partial / \partial x_\mu, \quad \partial_{(y)}^\mu \Delta(y - x) = -\partial_{(x)}^\mu \Delta(x - y) \\ \Delta(y - x) &= -\Delta(x - y) \end{aligned} \quad (62-3)$$

و درنتیجه

$$\delta = 0 \quad (63-3)$$

که با استفاده از آن بخش دوم جمله جنبشی در معادله (49-3) برای میدانهای جابجا شونده را می‌توان به صورت زیر نوشت.

$$v_L^T i \overrightarrow{\not{\partial}}^T \overline{v_L}^T = \overline{v_L} i \overrightarrow{\not{\partial}} v_L \quad (64-3)$$

بنابراین می‌توان لاغرانژی مازورانا (51-3) را به صورت زیر نوشت که جمله جرمی آن همانند جمله جنبشی نوترینوی بدون جرم در مدل استاندارد باشد. در شکل زیر برای لاغرانژی مازورانا جمله جرمی اثر فیزیکی ماورای مدل استاندارد را نمایش می‌دهد.

$$\mathcal{L}^M = \overline{v_L} i \overrightarrow{\not{\partial}} v_L - \frac{m}{4} \left(-v_L^T C^\dagger v_L + \overline{v_L} C \overline{v_L}^T \right) \quad (65-3)$$

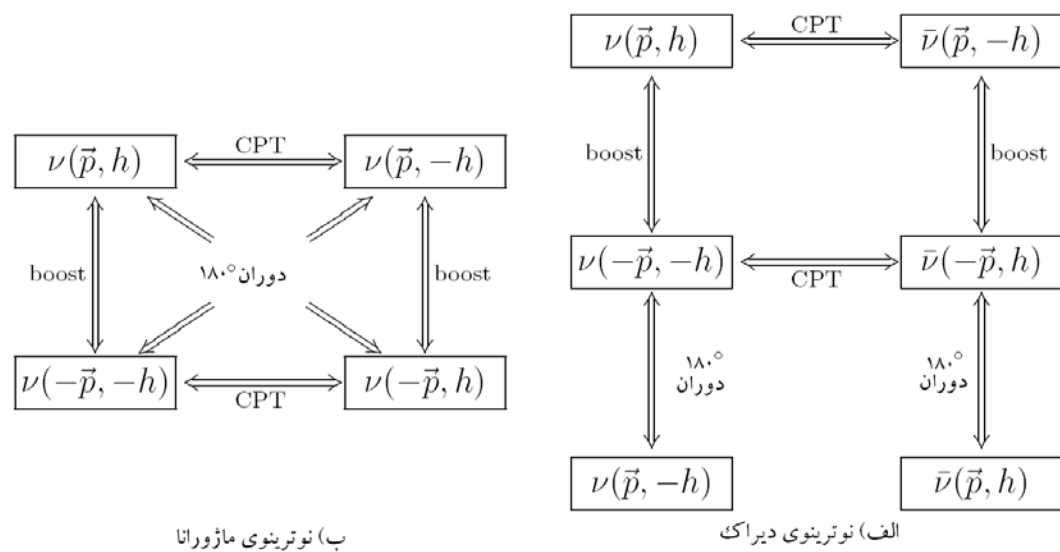
۲-۲-۳ درجه‌های آزادی

با توجه به ناوردایی لاغرانژی تحت CPT و تبدیلات لورنتس می‌توان با استفاده از تکانه معلوم، تفاوت در شمار درجه‌های آزادی را برای نوترینو دیراک و مازورانا درک کرد. نوترینوی دیراک و مازورانایی را

با تکانه \vec{p} و هلیسیتی h درنظر می‌گیریم و آن را تحت تبدیلات CPT و تبدیلات لورنتس قرار می‌دهیم. به ازای هر مقدار \vec{p} شمار حالت‌هایی که پس از اعمال این تبدیلات دارای تکانه \vec{p} باشند، برابر با شمار درجه‌های آزادی است.

برای درک ساده‌تر این موضوع، همه این تبدیلات را در ریخت دو جدول زیر نشان می‌دهیم.

جدول ۲-۳ درجه‌های آزادی نوترینوی دیراک و مازورانا



با توجه به جدول درمی‌یابیم که به ازای هر مقدار از تکانه \vec{p} چهار حالت ممکن برای نوترینو دیراک

$$\nu(\vec{p}, h), \nu(\vec{p}, -h), \bar{\nu}(\vec{p}, h), \bar{\nu}(\vec{p}, -h) \quad (64-3)$$

وجود دارد که عبارتند از نوترینو و پادنوترینو دیراک با هلیسیتی مثبت و منفی. همچنین به ازای هر مقدار از تکانه \vec{p} تنها دو حالت ممکن برای نوترینو مازورانا وجود دارد.

$$\nu(\vec{p}, h), \nu(\vec{p}, -h) \quad (65-3)$$

یعنی تعداد درجات آزادی نوترینوی مازورانا نصف تعداد درجات آزادی نوترینوی دیراک است. این امر به سبب وجود قید (۵۷-۳) است که بیان از یکسانی ذره و پادذره مازورانا دارد.

۳-۲-۳ میدان مازورانای کوانتیزه

میدان مازورانا علاوه بر آنکه همه ویژگیهای میدان دیراک را دارد دارای شرط $\nu = \nu^C$ ، نیز می‌باشد. با توجه به ویژگی

$$u^{(h)}(p) = C \overline{v^{(h)}}^T(p) \quad (66-3)$$

برای اسپینورهای دیراکی $v^{(h)}(p)$ ، شرط $\nu^{(h)}(p)$ برای میدانهای مازورانا بیان می‌دارد که ضرایب بسط فوریه در جواب معادله دیراک

$$\psi(x) = \int \frac{d^3 p}{(2\pi)^3 2E} \sum_{h=\pm 1} \left[a^{(h)}(p) u^{(h)}(p) e^{-ip \cdot x} + b^{(h)\dagger}(p) v^{(h)}(p) e^{ip \cdot x} \right] \quad (67-3)$$

برای میدان مازورانا به صورت شرط

$$b^{(h)}(p) = a^{(h)}(p) \quad (68-3)$$

در می‌آید و درنتیجه بسط فوریه میدان نوترینوی مازورانا $\psi(x)$ به شکل زیر می‌باشد.

$$\psi(x) = \int \frac{d^3 p}{(2\pi)^3 2E} \sum_{h=\pm 1} \left[a^{(h)}(p) u^{(h)}(p) e^{-ip \cdot x} + a^{(h)\dagger}(p) v^{(h)}(p) e^{ip \cdot x} \right] \quad (69-3)$$

با توجه به کوانتیزه بودن میدانهای مازورانا، ضرایب $a^{(h)}(p)$ در روابط پادجایی کانونی صدق می‌کنند.

$$\begin{aligned} \left\{ a^{(h)}(p), a^{(h')\dagger}(p') \right\} &= (2\pi)^3 2E \delta^3(\vec{p} - \vec{p}') \delta_{hh'}, \\ \left\{ a^{(h)}(p), a^{(h')}(p') \right\} &= \left\{ a^{(h)\dagger}(p), a^{(h)\dagger}(p) \right\} = 0 \end{aligned} \quad (70-3)$$

از آنجا که تنها یک عملگر وجود دارد هیچ تمایزی بین ذره مازورانا و پادذره مازورانا وجود ندارد.

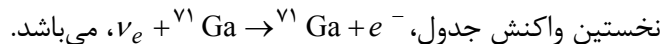
جرم نوترینوها کمتر از 1 eV است، از طرفی تنها نوترینوهای آشکار می‌شوند که انرژی آنها بیشتر

از 100 keV باشد. نوترینوها به دو روش زیر آشکار می‌شوند:

۱. در فرآیندهای پراکندگی ضعیف جریان خنثی یا جریان باردار که آستانه انرژی آنها در

جدول ۳-۳ آمده است. همانگونه که از جدول برمی‌آید، آستانه‌های تجربی کنونی همواره

اندکی بیش از کسری از MeV هستند. کمترین آستانه‌ای که تاکنون به دست آمده مربوط به



۲. فرآیند پراکندگی کشسان، $\nu + e^- \rightarrow \nu + e^-$ ، که سطح مقطع آن متناسب با انرژی نوترینو،

$$\sigma(E_\nu) \sim \sigma_0 E_\nu / m_e \quad (\sigma_0 \sim 10^{-44} \text{ cm}^2)$$

چند MeV نیاز است تا سیگنالی بالای سیگنال زمینه به دست آید.

از این مباحث روشن است که در آشکارسازیهای کنونی از نوسانات نوترینو تنها نوترینوهای فوق-

نسبیتی آشکار می‌شوند. بهمین دلیل مرسوم است که در عمل از نوترینو و پادنوترینوی ماژورانا

صحبت می‌شود.

جدول ۳-۳: انرژی آستانه نوترینو برای برهمکشهای جریان باردار مورد استفاده در آشکارسازی آن

Reaction	Masses	E_ν^{th}
$\nu_e + {}^{71}\text{Ga} \rightarrow {}^{71}\text{Ge} + e^-$	$m({}^{71}\text{Ga}) = 66050.093 \text{ MeV}$ $m({}^{71}\text{Ge}) = 66049.814 \text{ MeV}$	0.23 MeV
$\nu_e + {}^{37}\text{Cl} \rightarrow {}^{37}\text{Ar} + e^-$	$m({}^{37}\text{Cl}) = 34424.829 \text{ MeV}$ $m({}^{37}\text{Ar}) = 34425.132 \text{ MeV}$	0.82 MeV
$\bar{\nu}_e + p \rightarrow n + e^+$	$m_p = 938.272 \text{ MeV}$ $m_n = 939.565 \text{ MeV}$	1.81 MeV
$\nu + d \rightarrow p + n + \nu$	$m_d = 1875.613 \text{ MeV}$	2.23 MeV
$\nu_\mu + n \rightarrow p + \mu^-$	$m_\mu = 105.658 \text{ MeV}$	110.16 MeV
$\nu_\tau + n \rightarrow p + \tau^-$	$m_\tau = 1777.03 \text{ MeV}$	3.45 GeV
$\nu_\mu + e^- \rightarrow \mu^- + \nu_e$	$m_e = 0.511 \text{ MeV}$	10.92 GeV

۴-۲-۳ عدد لپتونی برای نوترینوهای ماژورانا

در ابتدای همین فصل دیدیم که اگر نوترینوهای جرم‌دار ذرات دیراکی باشند، عدد لپتونی

کل τ پایسته است. همچنین دیدیم که عدد لپتونی کل از طریق قضیه نوثر به

تبديلات پیمانه‌ای (U) مربوط می‌باشد (۳-۱۹). این امر در مورد نوترینوهای ماژورانا، برقرار نیست.

زیرا جمله جرمی ماژورانا در معادله (۳-۴۸) تحت تبدیلات پیمانه‌ای جهانی (U) ناوردا نیست.

$$\nu_L \rightarrow e^{i\varphi} \nu_L \quad (71-3)$$

جمله جرمی ماثورانا در معادله (۴۸-۳) را به صورت زیر در نظر می‌گیریم.

$$\mathcal{L}_{\text{mass}}^M = \frac{1}{\gamma} m \left(\nu_L^T C^\dagger \nu_L + \nu_L^\dagger C \nu_L^* \right) \quad (72-3)$$

جمله بالا تحت تبدیلات (۷۱-۳) به صورت زیر تبدیل می‌یابد

$$\mathcal{L}_{\text{mass}}^M \rightarrow \frac{1}{\gamma} m \left(e^{\gamma i \varphi} \nu_L^T C^\dagger \nu_L + e^{-\gamma i \varphi} \nu_L^\dagger C \nu_L^* \right) \quad (73-3)$$

شايان توجه است که نمي‌توان به جاي تبديل (۷۱-۳) برای ميدان کايرال چپگردد، ميدان ماثورانا (۳-۳)

را به صورت (۵۶)

$$\nu \rightarrow e^{i \varphi} \nu \quad (74-3)$$

تبدیل داد و انتظار داشت که لاگرانژی ماثورانا در معادله (۵۸-۳) بدون تغيير باقی بماند. زира

$$\nu^C \rightarrow e^{-i \varphi} \nu^C \quad (75-3)$$

مي‌باشد و در نتيجه تبدیلي به مانند (۷۴-۳) با شرط ماثورانا (۵۷-۳) سازگار نيست. همچنین تبدیل

(۷۴-۳) با تعريف ميدان ماثورانا (۵۶-۳) ناسازگار است، زира اگر $\nu_L \rightarrow e^{i \varphi} \nu_L$ تبدیل يابد، آنگاه

$$\nu_L^C \rightarrow e^{-i \varphi} \nu_L^C$$

نبوت پايسنگي عدد لپتوني را مي‌توان اين‌گونه هم توضيح داد که در مورد نوتريينوی ديراك، $L=1$ و

پادنوترینوی ديراك $-L=1$ است. اما از آنجا که نوتريينوها و پادنوترینوهای ماثورانا يك ذره هستند،

مشخص است که عدد لپتوني نمي‌تواند پايسنگي باشد. در واقع بخش لپتوني عملگر عدد لپتوني ديراك

$$\text{در معادله (۲۲-۳) تحت قيد ماثورانا } b_{\nu_k}^{(h)}(p) = a_{\nu_k}^{(h)}(p) \text{ صفر مي‌شود.}$$

با اين حال از آنجا که جرم نوتريينوها بسيار کوچک است و تنها جمله جرمی نوتريينوهای ماثورانا در

لاگرانژی تحت تبدیلات پيمانه‌اي (۱)، (۱۹-۳)، ناوردا نمي‌باشد. مي‌توان به نوتريينوها و لپتونها

باردار، عدد لپتوني کل مؤثری نسبت داد که در همه فرآيندهای غيرحساس به جرم نوتريينوها

ماژورانای، پايسنگي بماند. در چنین فرآيندهایي نوتريينوها را مي‌توان بدون جرم در نظر گرفت. اين

عملگر عدد لپتوني از ناوردايی لاگرانژی مؤثر زير

$$\mathcal{L}_{\text{eff}} = \overline{\nu_L^{\text{eff}}} i \not{\partial} \nu_L^{\text{eff}} + \overline{l} \left(i \not{\partial} - m_l \right) l - \frac{g}{\sqrt{4}} \left(\overline{\nu_L^{\text{eff}}} \gamma^\mu l_L W_\mu + \overline{l_L} \gamma^\mu \nu_L^{\text{eff}} W_\mu^\dagger \right) \quad (76-3)$$

تحت تبدیلات پیمانه‌ای $U(1)$

$$\nu_L^{\text{eff}} \rightarrow e^{i\varphi} \nu_L^{\text{eff}}, \quad l_L \rightarrow e^{i\varphi} l_L, \quad l_R \rightarrow e^{i\varphi} l_R \quad (77-3)$$

به دست می‌آید. ν_L^{eff} میدان نوترینو ویل بدون جرم مؤثر است. با توجه به رابطه (ب-) جریان پایسته

مؤثر، $\partial_\mu j_{\text{eff}}^\mu$ برابر می‌شود با

$$j_{\text{eff}}^\mu = \overline{\nu_L^{\text{eff}}} \gamma^\mu \nu_L^{\text{eff}} + \overline{l_\alpha} \gamma^\mu l_\alpha \quad (78-3)$$

و بار مؤثر پایسته $(\partial_\mu L = 0)$ هم برابر با عبارت زیر می‌شود:

$$L_{\text{eff}} = \int d^4x j_{\text{eff}}^\mu(x) \quad (79-3)$$

در این حالت میدان کایرال نوترینوی بدون جرم ν_L^{eff} کوانتیزه می‌شود:

$$\nu_L^{\text{eff}}(x) = \int \frac{d^4p}{(2\pi)^4 2E} \sum_{h=\pm 1} \left[a^{(-)}(p) u^{(-)}(p) e^{-ip \cdot x} + a^{(+)\dagger}(p) v^{(+)}(p) e^{ip \cdot x} \right] \quad (80-3)$$

که (80-3) انجام داده‌ایم تا ارتباط با میدان ماثورانای جرمدار در معادله (69-3) را

نشان دهیم. با استفاده از روابط

$$(\gamma^\circ)^\dagger = \gamma^\circ, \quad (\gamma^k)^\dagger = -\gamma^k \Leftrightarrow (\gamma^\mu)^\dagger = \gamma_\mu \quad (81-3)$$

برای اسپینورهای v, u می‌بینیم که حد بی‌جرمی بخش چپگرد میدان ماثورانای جرمدار در معادله

$$(81-3) \text{ به } \nu_L^{\text{eff}}(x) \text{ تبدیل می‌یابد.} \quad (82-3)$$

با استفاده از (80-3) و بسط فوریه برای میدان لپتون باردار دیراکی (l, x) , می‌توان عملگر عدد

لپتونی مؤثر بسامان و بهنجار را به دست آورد.

$$\begin{aligned} L_{\text{eff}} &= \int \frac{d^4p}{(2\pi)^4 2E} \left[a^{(-)\dagger}(p) a_{r\alpha}^{(-)}(p) e^{-ip \cdot x} + a^{(+)\dagger}(p) a_{r\alpha}^{(+)}(p) e^{ip \cdot x} \right] \\ &+ \int \frac{d^4p}{(2\pi)^4 2E} \sum_{h=\pm 1} \left[a_{l\alpha}^{(h)\dagger}(p) a_{l\alpha}^{(h)}(p) - b_{l\alpha}^{(h)\dagger}(p) b_{l\alpha}^{(h)}(p) \right] \end{aligned} \quad (82-3)$$

می‌بینیم که نوترینوهایی با هلیسیتی منفی دارای $L_{\text{eff}} = +1$ و نوترینوهایی با هلیسیتی مثبت دارای $L_{\text{eff}} = -1$ هستند. همانگونه که گفته شد، همه این موارد تنها در فرآیندهای غیرحساس به جرم نوترینوهای ماژورانا برقرار است. زیرا در چنین فرآیندهایی لپتون باردار با $L_{\text{eff}} = +1$ تنها می‌تواند نوترینو با هلیسیتی منفی و پادلپتون باردار با $L_{\text{eff}} = -1$ تنها می‌تواند نوترینو با هلیسیتی مثبت تولید کند.

اگر جرم ماژورانا را در معادله (۷۲-۳) به صورت اختلالی در لاگرانژی بدون جرم درنظر بگیریم، گذارهایی با

$$\Delta L_{\text{eff}} = \pm 2 \quad (83-3)$$

رخ می‌دهد. محتملترین فرآیندهایی که کشف چنین گذارهایی را ممکن می‌دارند واپاشی‌های بتازای دوگانه بدون نوترینو می‌باشد.

۳-۲-۵ تقارن CP برای نوترینوهای ماژورانا

از آنجا که تنها برهمکنش نوترینوها برهمکنشهای ضعیف می‌باشد که نقض کننده بیشینه تقارنهای پاریتی و همیوغی بار هستند، ویژگیهای نوترینوها تنها این تبدیلات منجر به هیچ قید فیزیکی نمی‌شود. از طرفی برهمکنشهای ضعیف لزوماً تقارن تحت تبدیلات CP را نقض نمی‌کنند. نقض تقارن CP در برهمکنشهای ضعیف ممکن است پیامد ساختار بنیادی برهمکنشهای ضعیف باشد، اما اکنون فرض بر آن است که این امر به مقدار ماتریسهای جرمی فرمیون و ماتریس آمیختگی حاصل از آن بستگی دارد. می‌توان همانند بحث ۲-۶ برای کوارکها، برای نوترینوهای دیراک نیز بحث کرد.

در ساده‌ترین حالت، برای یک نوترینوی ماژورانا امکان نقض CP وجود ندارد.

لاگرانژی ماژورانا در معادله (۴۹-۳) را درنظر می‌گیریم. تحت تبدیل CP، میدان کایرال ν_L به صورت

زیر تبدیل می‌یابد:

$$U_{CP} \nu_L(x) U_{CP}^{-1} = \xi^{\text{CP}}_\nu \gamma^\circ \nu_L^{\text{CP}}(x_p) \quad (84-3)$$

که مقدار $x_p^\mu = (x^\circ, -\bar{x})$ می‌باشد. نظریه درصورتی تحت CP متقارن است که فاز ξ_ν^{CP} فاز CP و $\xi_\nu^{\text{CP}^*}$ آن به‌گونه‌ای باشد تا لاغرانژی به شکل زیر تبدیل شود:

$$U_{\text{CP}} \mathcal{L}(x) U_{\text{CP}}^{-1} = \mathcal{L}(x_p) \quad (85-3)$$

با استفاده از معادله (84-3)، تبدیل CP برای

$$\nu_L^C(x) = C \bar{\nu}_L^T = C(\gamma^\circ)^T \nu_L^*(x) \quad (86-3)$$

به صورت زیر در می‌آید:

$$U_{\text{CP}} \nu_L^{\text{CP}} U_{\text{CP}}^{-1} = -\xi_\nu^{\text{CP}*} C(\gamma^\circ)^T C^* \nu_L(x_p) = -\xi_\nu^{\text{CP}*} \gamma^\circ \nu_L(x_p) \quad (87-3)$$

در رابطه بالا از ویژگی $C^* = -C^{-1}$ استفاده شده است. بنابراین $\bar{\nu}_L^C(x), \bar{\nu}_L^*$ به صورت زیر تبدیل می‌باشد

$$\begin{aligned} U_{\text{CP}} \bar{\nu}_L^C(x) U_{\text{CP}}^{-1} &= \xi_\nu^{\text{CP}*} \bar{\nu}_L^C(x_p) \gamma^\circ \\ U_{\text{CP}} \bar{\nu}_L^*(x) U_{\text{CP}}^{-1} &= -\xi_\nu^{\text{CP}}(x_p) \gamma^\circ \end{aligned} \quad (88-3)$$

جمله جنبشی

$$\mathcal{L}_{\text{kin}}^M(x) = \frac{1}{\gamma} \bar{\nu}_L^C(x) i \vec{\partial} \nu_L(x) + \bar{\nu}_L^*(x) i \vec{\partial} \nu_L^C(x) \quad (89-3)$$

به ازای هر مقداری از فاز ξ_ν^{CP} ناوردای CP می‌باشد:

$$\begin{aligned} U_{\text{CP}} \mathcal{L}_{\text{kin}}^M(x) U_{\text{CP}}^{-1} &= \frac{1}{\gamma} \left(\bar{\nu}_L^C(x_p) \gamma^\circ i \vec{\partial} \gamma^\circ \nu_L^C(x_p) + \bar{\nu}_L^*(x_p) \gamma^\circ i \vec{\partial} \gamma^\circ \nu_L(x_p) \right) \\ &= \frac{1}{\gamma} \left(\bar{\nu}_L^C(x_p) i \vec{\partial}^P \nu_L^C(x_p) + \bar{\nu}_L^*(x_p) i \vec{\partial}^P \nu_L(x_p) \right) = \mathcal{L}_{\text{kin}}^M(x_p) \quad (90-3) \end{aligned}$$

$$\vec{\partial}^P = \partial / \partial x_p^\mu$$

از طرفی جمله جرمی مأذوراندا در معادله (48-3)،

$$\mathcal{L}_{\text{mass}}^M = -\frac{1}{\gamma} m \left[\bar{\nu}_L^C(x) \nu_L(x) + \bar{\nu}_L^*(x) \nu_L^C(x) \right] \quad (91-3)$$

به صورت زیر تبدیل می‌یابد.

$$U_{\text{CP}} \mathcal{L}_{\text{kin}}^M(x) U_{\text{CP}}^{-1} = -\frac{1}{\gamma} m \left[-(\xi_\nu^{\text{CP}})^\gamma \bar{\nu}_L^*(x_p) \nu_L^C(x_p) - (\xi_\nu^{\text{CP}*})^\gamma \bar{\nu}_L^C(x_p) \nu_L(x_p) \right] \quad (92-3)$$

بنابراین با توجه به شرط (۳-۸۵)، مقدار فاز برابر می‌شود با

$$\xi_{\nu}^{\text{CP}} = \pm i \quad (93-3)$$

در اینجا بین ذره ماثورانای آزاد و ذره دیراکی آزاد تفاوت است. در مورد ذره دیراکی، فاز ξ_l^{CP} دلخواه است.

موهومی بودن پاریتی CP نوترینوی ماثورانا هیچ مشکلی برای ناوردایی لاغرانژی برهمکنش ضعیف جریان باردار تحت CP به وجود نمی‌آورد. از تبدیل CP برای میدان لپتونی باردار l

$$U_{\text{CP}} l U_{\text{CP}}^{-1} = \xi_l^{\text{CP}} \gamma^{\circ} C \bar{l}^T \quad (94-3)$$

و تبدیل CP در معادله (۲-۱۶) برای میدان بوزونی پیمانهای W_{μ} ،

$$U_{\text{CP}} W_{\mu} U_{\text{CP}}^{-1} = -W^{\mu\dagger} \quad (95-3)$$

تبدیل CP را برای لاغرانژی برهمکنش ضعیف جریان باردار به دست می‌آوریم.

$$U_{\text{CP}} \mathcal{L}_{I,L}^{\text{CC}}(x) U_{\text{CP}}^{-1} = -\frac{g}{\sqrt{2}} \left(\xi_{\nu}^{\text{CP}*} \xi_l^{\text{CP}} \bar{l}_L \gamma^{\mu\dagger} v_L W^{\mu\dagger} - \xi_{\nu}^{\text{CP}} \xi_l^{\text{CP}*} \bar{v}_L \gamma^{\mu\dagger} l_L W^{\mu} \right) \quad (96-3)$$

$$\gamma^{\mu\dagger} = (\gamma^{\circ\dagger}, \vec{\gamma}^{\dagger}) = (\gamma^{\circ}, -\vec{\gamma}) = \gamma_{\mu} \quad (97-3)$$

lagrangian برهمکنش ضعیف جریان باردار با شرط زیر تحت CP ناورداست.

$$\xi_{\nu}^{\text{CP}*} \xi_l^{\text{CP}} = 1 \quad (98-3)$$

بنابراین پاریتی موهومی محض CP برای نوترینوی ماثورانا بیانگر وجود پاریتی موهومی محض CP برای لپتون باردار می‌باشد:

$$\xi_{\nu}^{\text{CP}} = \pm i \Rightarrow \xi_l^{\text{CP}} = \pm i \quad (99-3)$$

با چنین گزینشی از پاریتی‌های CP، پایستگی CP برقرار می‌ماند.

۶-۲-۳ جرم مؤثر مژورانا

جمله جرمی مژورانا در معادله (۴۸-۳) تنها شامل میدان کایرال چپگرد نوترینو ν_L می‌باشد که در مدل استاندارد هم (بهازی هر نسل لپتون، یکی) وجود دارد. درنتیجه این پرسش پیش می‌آید که نوترینوهای مدل استاندارد هم دارای جرم مژورانا هستند یا خیر؟ برای پاسخ به این پرسش با مراجعه به (جدول ۱-۱) درمی‌یابیم مؤلفه سوم ایزواسپین ضعیف و فوق‌بار برای میدان کایرال چپگرد

$$\text{نوترینو } \nu_L, \text{ برابر با } Y = -1, I_3 = \frac{1}{2} \text{ است. اما با توجه به}$$

$$\overline{\nu_L^C} \nu_L = -\nu_L^T C^\dagger \nu_L \quad (100-3)$$

$I_3 = 1, Y = -2$ می‌باشد. بنابراین پاسخ پرسش مطرح شده منفی است. زیرا در مدل استاندارد هیچ سه‌گانه ایزواسپین ضعیف با $Y = 2$ وجود ندارد و امکان وجود جمله لاگرانژی بازبهنجارپذیری که بتواند جرم نوترینوی مژورانا ایجاد کند، منتفی است. بنا به محاسبات توانی نمودارهای توانی، جملات لاگرانژی شامل حاصلضرب میدانها با بعد انرژی بیشتر از چهار، بازبهنجارپذیر نیستند [۱۳]. از لاگرانژی دیراک

$$\mathcal{L} = \bar{\psi}(x) \left(i \vec{\partial} - m \right) \psi(x) \quad (101-3)$$

با توجه به این امر که کنش $(\mathcal{L}(x) dx)^4 \int [E] \sim [E]^{3/2}$ بدون بعد است و درنتیجه درک می‌شود که میدانهای فرمیونی با اسپین $\frac{1}{2}$ دارای بعد انرژی $\frac{1}{2}$ هستند. از طرفی میدانهای بوزونی دارای بعد انرژی هستند.

با درنظر گرفتن یک نسل (برای سادگی) جمله‌ای با کمترین بعد که بتواند جرم نوترینوی مژورانا تولید کند و بتوان آن را با میدانهای مدل استاندارد موجود در جدولهای (۱-۱) و (۱-۳) ساخت و تقارنهای مدل استاندارد را هم نمایش دهد، جمله نقض کننده عدد لپتونی است

$$\mathcal{L}_5 = \frac{g}{M} (L_L^T \tau_\gamma \Phi) C^\dagger (\Phi^T \tau_\gamma L_L) + \text{H.c.} \quad (102-3)$$

ضریب بدون بعد جفت‌شده \mathcal{M} ثابتی با بعد جرم است. در معادله (۱۰۲-۳)، L دوگانه لپتونی مدل استاندارد در یک نسل در (۶-۱) و Φ دوگانه هیگز در معادله (۱-۹۱) می‌باشد. $\mathcal{L}_\text{۵}$ را می‌توان به-

صورت زیر نیز نوشت

$$\mathcal{L}_\text{۵} = \frac{1}{2} \frac{g}{\mathcal{M}} (L_L^T C^\dagger \tau_\gamma \vec{\tau} L_L) \cdot (\Phi^T \tau_\gamma \vec{\tau} \Phi) + \text{H.c.} \quad (103-3)$$

پیامد شکست تقارن الکترووضعیف (ر.ک. بخش ۴-۱)

$$\Phi = \begin{pmatrix} \phi^+ \\ \phi^0 \end{pmatrix} \xrightarrow{\text{شکست تقارن}} \frac{1}{\sqrt{2}} \begin{pmatrix} 0 \\ v + H \end{pmatrix} \quad (104-3)$$

می‌باشد. $\mathcal{L}_\text{۵}$ جمله حرمی مازورانا را برای L ایجاد می‌کند.

$$\mathcal{L}_{\text{mas}}^M = \frac{1}{2} \frac{gv}{\mathcal{M}} v_L^T C^\dagger v_L + \text{H.c.} \quad (105-3)$$

که در مقایسه با (۳-۷۲)، متناظر با جرم مازورانا زیر می‌باشد.

$$m = \frac{gv}{\mathcal{M}} \quad (106-3)$$

جمله لاغرانژی \mathcal{L} در چارچوب مدل استاندارد قابل قبول نیست، زیرا شامل حاصلضرب میدانهایی با بعد انرژی پنج می‌باشد که بازبهنجارپذیر نیستند. مدل استاندارد نظریه نهایی نیست، بلکه نظریه انرژی پایین مؤثری است که حاصل شکست تقارن نظریه متحده انرژی بالا می‌باشد [۳۵، ۳۶].

بنابراین پذیرفتنی است که جملات لاغرانژی انرژی پایین مؤثری وجود داشته باشند که تقارن مدل استاندارد را نشان می‌دهند اما بازبهنجارپذیر نیستند [۳۷-۴۱].

این جملات لاغرانژی مؤثر باید تقارن مدل استاندارد را در بالای مقیاس انرژی الکترووضعیف نشان دهند، زیرا از نظریه انرژی بالایی ایجاد می‌شوند که باید شامل تقارنهای پیمانه‌ای مدل استاندارد باشد تا در انرژیهای پایین به مدل استاندارد کاهش یابد. این رویه همانند آن چیزی است که در مطالعه برهمکنشهای ضعیف در انرژیهای زیر مقیاس انرژی الکترووضعیف از طریق نظریه بازبهنجارپذیر فرمی برای برهمکنشهای ضعیف پذیرفته شده است، که نظاهری از مدل استاندارد در انرژیهای پایین است.

جمله لاغرانژی را که شامل حاصلضرب میدانها با بعد انرژی d باشد، عملگر بعد d خوانند، زیرا میدانها در نظریه کوانتمی میدان، عملگر هستند.

از آنجا که بعد کل انرژی هر جمله لاغرانژی باید از مرتبه $[E]$ باشد، ثابت جفت‌شدنی عملگر بعد d با \mathcal{M}^{4-d} متناسب با \mathcal{M}^4 باشد. مشخصه جرمی سنگین از مقیاس شکست تقارن در نظریه متحده انرژی بالاست.

تناسب ثابت جفت‌شدنی عملگر بعد d با \mathcal{M}^{4-d} در عمل ضریب کاهنده بسیار قوی را نشان می‌دهد که مشاهده‌پذیری آثار انرژی پایین فیزیک ماورای مدل استاندارد را محدود می‌سازد. واضح است که مشکل مشاهده آثار عملگرهای بازبهنجارناپذیر انرژی پایین مؤثر با بعد به سرعت افزایش می‌یابد. عملگر بازبهنجارناپذیر انرژی پایین مؤثر با پایین‌ترین بعد، که با تقارنهای مدل استاندارد سازگار باشد، عملگر مؤثر بعد پنج \mathcal{L} در معادله (۱۰۲-۳) می‌باشد، که جرم نوترینوی ماژورانا را در (۱۰۶) متناسب با \mathcal{M}^1 تولید می‌کند. با این ملاحظات چشم آن می‌رود که پژوهش درباره جرم نوترینو دسترس‌پذیرترین دریچه بر دنیای فیزیک ماورای مدل استاندارد باشد.

عملگر مؤثر بعد پنج را نمی‌توان برای کوارکها نوشت زیرا جمله جرمی ماژورانا برای کوارکها ایجاد می‌کند که بنا بر باردار بودن کوارکها ممنوع است. یعنی جایگذاری Q_L به جای L_L در معادله (۱۰۲) جمله لاغرانژی ایجاد می‌کند که تحت تبدیلات پیمانه‌ای $y(1)U$ ناوردا نمی‌باشد، زیرا $Y(Q_L) = 1/3$ ، $Y(\Phi) = 1$ می‌شود عملگرهای بعد شش نقض‌کننده عدد باریونی و لپتونی هستند.

$$(q_R^D)^T q_R^U)(Q_L^T Q_L) , \quad (Q_L^T Q_L)(q_R^U)^T L_R) , \quad (Q_L^T Q_L)(Q_L^T L_L) \\ (q_R^D)^T q_R^U)(q_R^U)^T l_R) , \quad (q_R^U)^T q_R^U)(q_R^D)^T l_R) \quad (107-3)$$

ضرایب متناسب با \mathcal{M}^2 جملات لاغرانژی شامل این عملگرها را ضعیف می‌کند. با این حال این جملات بسیار جذاب هستند و بالقوه مشاهده‌پذیر هستند زیرا واپاشی پروتون $e^+ \pi^\circ \rightarrow p$ را سبب می‌شوند.

اهمیت عملگر بعد پنجم \mathcal{L} در آن است که جرم نوتريینو را در معادله (۱۰۶-۳) متناسب با v^2/\mathcal{M} ایجاد می‌کند. از آنجا که v مقیاس شکست تقارن الکترووضعیف است، مقیاس جرم فرمیون دیراکی ایجاد شده از طریق سازوکار هیگز را تنظیم می‌سازد. پس می‌توان معادله (۱۰۶-۳) را به صورت زیر نوشت.

$$m \propto \frac{m_D}{\mathcal{M}} \quad (108-3)$$

که m_D جرم دیراک نوعی است که می‌تواند از همان مرتبه جرم لپتون باردار یا از مرتبه جرم کوارک در همان نسل باشد. رابطه (۱۰۸-۳) همان ساختاری را دارد که با سازوکار الکلنجی^۱ به دست می‌آید. نیک بهانگی این نامگذاری در آن است که هرچه جرم \mathcal{M} بیشتر باشد، جرم نوتريینو m سبکتر است. با استفاده از رابطه (۱۰۸-۳) می‌توان کوچک بودن جرم‌های مشاهده شده برای نوتريینو را توضیح داد. مثلاً اگر $\text{GeV} \sim v \sim \mathcal{M} \sim 10^5$ GeV، $m_D \sim 10^{-2}$ eV مقدار m به دست می‌آوریم که مطابق با داده‌های تجربی مقیاسی بزرگ است [۴۲]، مقدار $m \sim 10^{-2}$ eV به دست می‌آوریم که مطابق با داده‌های تجربی مقیاسی پذیرفتی برای جرم نوتريینو می‌باشد.

۳-۳ آمیختگی سه نسل نوتريینو ماژورانا

برای آمیختگی سه نسل نوتريینو ماژورانا، ابتدا میدانهای نوتريینوی طعم‌دار چپگرد در معادله (۱۱۰-۳) را در نظر می‌گیریم.

$$\nu'_L \equiv \begin{pmatrix} \nu'_{eL} \\ \nu'_{\mu L} \\ \nu'_{\tau L} \end{pmatrix} \quad (109-3)$$

می‌توانیم جمله جرمی ماژورانا را بسازیم

$$\mathcal{L}_{\text{mass}}^M(x) = \frac{1}{\sqrt{2}} \nu_L'^T C^\dagger M^L \nu_L' + \text{H.c.} = \frac{1}{\sqrt{2}} \sum_{\alpha, \beta = e, \mu, \tau} \nu_{\alpha L}'^T C^\dagger M_{\alpha \beta}^L \nu_{\beta L}' + \text{H.c.} \quad (110-3)$$

^۱ see-saw mechanism

در حالت کلی، ماتریس M^L ماتریس متقارن مختلط است.

$$\sum_{\alpha, \beta=e, \mu, \tau} v'_{\alpha L} C^\dagger M_{\alpha \beta}^L v'_{\beta L} = - \sum_{\alpha, \beta} v'_{\beta L} M_{\alpha \beta}^L (C^\dagger)^T v'_{\alpha L} \quad (111-3)$$

برای به دست آوردن عبارت آخر، ترانهاده گرفتیم و به سبب ویژگی پاد جا بجا یی میدانهای فرمیونی

$$\text{تغییر علامت دادیم. از آنجا که } C^T = -C \text{ می باشد،}$$

$$\sum_{\alpha, \beta} v'_{\alpha L} C^\dagger M_{\alpha \beta}^L v'_{\beta L} = \sum_{\alpha, \beta} v'_{\beta L} C^\dagger M_{\alpha \beta}^L v'_{\alpha L} = \sum_{\alpha, \beta} v'_{\alpha L} C^\dagger M_{\beta \alpha}^L v'_{\beta L} \quad (112-3)$$

به دست می آید. در آخرین عبارت $\beta \leftrightarrow \alpha$ کردیم. با مقایسه سمت چپ و راست معادله (112-3)،

در می باییم که M^L متقارن است.

$$M_{\alpha \beta}^L = M_{\beta \alpha}^L \quad (113-3)$$

همانگونه که درباره نوتربینوهای دیراک بحث شد، میدان نوتربینوهای جرمی دار با قطعی کردن جمله

جرمی مژورانا در معادله (110-3) به دست می آید. ماتریس متقارن جرمی M^L را می توان با تبدیلات

زیر

$$(V_L^V)^T M^L V_L^V = M \\ M_{k j} = m_k \delta_{k j} \quad (k, j = 1, 2, 3) \quad (114-3)$$

قطعی کرد (V_L^V ماتریس یکانی با جرمها حقیقی و مثبت m_k). قطعی کردن با بیان میدانهای

طعمدار چیگرد به صورت ترکیبیهای خطی از مؤلفه های چیگرد میدانهای با جرم معین، به دست می آید.

$$v'_L = V_L^V n_L, \quad n_L = \begin{pmatrix} v_{1L} \\ v_{2L} \\ v_{3L} \end{pmatrix} \quad (115-3)$$

با استفاده از رابطه بالا می توان جمله جرمی مژورانا (110-3) را به شکل قطعی نوشت:

$$\mathcal{L}_{\text{mass}}^M(x) = \frac{1}{4} n_L^T C^\dagger M n_L + \text{H.c.} = \frac{1}{4} \sum_{k=1}^3 m_k v_{kL}^T C^\dagger v_{kL} + \text{H.c.} \Rightarrow \\ \mathcal{L}_{\text{mass}}^M(x) = -\frac{1}{4} \overline{n_L^C} M n_L + \text{H.c.} = -\frac{1}{4} \sum_{k=1}^3 m_k \overline{v_{kL}^C} v_{kL} + \text{H.c.} \quad (116-3)$$

میدان مازورانا نوترینوهای جرمدار

$$\nu_k = \nu_{kL} \nu_{kL}^C \quad (117-3)$$

در شرط مازورانا صدق می‌کند

$$\nu_k^C = \nu_k \quad (118-3)$$

پس می‌توان لاغرانژی مازورانا را برای سه نسل به صورت زیر نوشت

$$\begin{aligned} \mathcal{L}^M &= \frac{1}{4} \sum_{k=1}^3 \overline{\nu_k} (i \vec{\partial} - m_k) \nu_k = \frac{1}{4} \bar{n} (i \vec{\partial} - m_k) n \\ n &= \begin{pmatrix} \nu_1 \\ \nu_2 \\ \nu_3 \end{pmatrix} \quad (\text{میدانهای نوترینوی مازورانا جرم دار}) \end{aligned} \quad (119-3)$$

جمله جرمی مازورانا در معادله نخست (116-3) تحت تبدیلات پیمانهای جهانی (۱)

$$\nu_{kL} \rightarrow e^{i\varphi} \nu_{kL} \quad k = 1, 2, 3 \quad (120-3)$$

ناوردا نیست (فاز φ برای همه نوترینوهای جرمدار یکسان است). همان‌گونه که پیش از این گفته شد، این موضوع بیانگر نقض پایستگی عدد لپتونی است، که منجر به پدیده‌های جالبی مانند واپاشی بتازای دوگانه بدون نوترینو می‌شود.

۱-۳-۳ برهمنکنشهای ضعیف در آمیختگی سه نسل نوترینوی مازورانا

اثر روابط آمیختگی (115-3) را بر جریان باردار ضعیف (۶۸-۱) می‌آزماییم. همانند مورد نوترینو دیراک

$$\begin{aligned} j_{W,L}^\rho &= \overline{n_L} U^\dagger \gamma^\rho l_L \\ U &= V_L^{l\dagger} V_L^v \end{aligned} \quad (121-3)$$

$$\nu_L = U n_L = V_L^{l\dagger} \nu'_L \quad , \quad \nu_L = \begin{pmatrix} \nu_{eL} \\ \nu_{\mu L} \\ \nu_{\tau L} \end{pmatrix} \quad (122-3)$$

تا بتوانیم جریان باردار ضعیف لپتونی را همانند معادله مدل استاندارد (۱۲۵-۱) بنویسیم

$$j_{W,L}^{\rho} = \overline{v_L} \gamma^{\rho} l_L = 2 \sum_{\alpha=e,\mu,\tau} \overline{v_{\alpha L}} \gamma^{\rho} l_{\alpha L} \quad (123-3)$$

تفاوت مهم با آمیختگی نوترینوهای دیراک آن است که ماتریس آمیختگی مژورانا سه فاز ناقض CP دارد نه یکی. زیرا جمله جرمی مژورانا در معادله (116-۳) تحت تبدیلات پیمانهای (۱) U ناوردا نیست.

$$v_{kL} = e^{i\varphi_k} v_{kL} \quad (124-3)$$

در فصل ۲ توضیح داده شد که چرا پنج فاز از شش فاز ماتریس آمیختگی CKM حذف می‌شود. برای نوترینوهای دیراک هم به همان صورت است زیرا بجز بخش CC ضعیف لاغرانژی تحت تبدیلات فاز (۲۳-۳) میدانهای لپتون باردار و نوترینو ناورداست. اما جمله جرمی مژورانا تحت تبدیلات فاز (۱۲۴) ناوردا نیست، و نمی‌توان میدانهای نوترینو جرم‌دار چیگرد را فازبندی دوباره کرد تا دو فاز (که می‌توان در سمت راست ماتریس آمیختگی از آنها فاکتور گرفت) حذف شود. بنابراین ماتریس آمیختگی یکانی نوترینوهای مژورانا به سه زاویه آمیختگی و سه فاز فیزیکی ناقض CP بستگی دارد.

می‌توان آن را به صورت حاصلضرب ماتریس یکانی U^D با سه زاویه آمیختگی و یک فاز (همانند مورد دیراکی) در ماتریس یکانی قطری D^M با دو فاز مستقل نوشت:

$$U = U^D D^M \quad (125-3)$$

به فاز U^D فاز دیراکی و به دو فاز D^M فازهای مژورانا گویند. ویژگی‌های U^D همانند ماتریس آمیختگی کوراکه است. نقض CP ناشی از فاز دیراکی را می‌توان به روش ناوردایی تحت فازبندی دوباره بر حسب ناوردهای یارلسکوگ حذف کرد [۳۰-۲۷].

$$\text{Im} \left[U_{\mu 3} U_{e 2} U_{\mu 2}^* U_{e 3}^* \right] = \text{Im} \left[U_{\mu 3}^D U_{e 2}^D U_{\mu 2}^{D*} U_{e 3}^{D*} \right] \quad (126-3)$$

تساوی دوم ناشی از ناوردایی J تحت فازبندی دوباره است که بیانگر عدم شرکت فازهای مژورانا است. همه تقارنهای CP و T ناشی از فاز دیراکی به J بستگی دارد. پارامتربندی U^D با (۲۸-۳) یکسان است.

ماتریس یکانی قطری D^M را می‌توان به صورت زیر نوشت:

$$D^M = \text{diag}(e^{i\lambda_1}, e^{i\lambda_2}, e^{i\lambda_3}) , \quad \lambda_1 = 0 \quad (127-3)$$

فازهای $\lambda_3, \lambda_2, \lambda_1$ دو فاز فیزیکی مژورانی ناقض CP است. از آنجا که همه کمیتهای قابل اندازه‌گیری به تفاوت سه فاز $\lambda_3, \lambda_2, \lambda_1$ بستگی دارد، از دید فیزیکی، گزینش $\lambda_1 = 0$ با هر گزینش دیگری یکسان است. بر اثر فازبندی دوباره همه میدانهای لپتونی باردار با $e^{i\varphi}$ ، تغییر $e^{i\lambda_k} \rightarrow e^{i(\lambda_k - \varphi)}$ رخ می-دهد، در حالیکه $e^{i\lambda_k} \rightarrow e^{i(\lambda_k - \lambda_j)}$ ثابت می‌ماند.

۲-۳-۳ ناوردایی CP در آمیختگی سه نسل نوترینوی مژورانا

اکنون می‌خواهیم شرایط حاکم بر عناصر ماتریس آمیختگی را برای ناوردایی CP بررسی کنیم. پیش از این در بخش ۲-۳-۶ دیدیم برای آنکه جمله جرمی مژورانا تحت CP ناوردا باشد، میدان نوترینوی جرمدار چپگرد باید به شکل زیر تبدیل یابد.

$$U_{CP} v_{kL}(x) U_{CP}^{-1} = \eta_k i \gamma^\mu C \overline{v_{kL}}^T(x_p) , \quad \eta_k = \pm 1 \quad (128-3)$$

در آغاز شرایط ناوردایی CP را برای لاغرانژی برهمکنش ضعیف جریان باردار لپتونی بررسی می‌کنیم.

$$\mathcal{L}_{I,L}^{CC}(x) = -\frac{g}{\sqrt{2}} \sum_{\alpha=e,\mu,\tau} \sum_{k=1}^3 \left(U_{\alpha k}^* \overline{v_{kL}} \gamma^\rho l_{\alpha L} W_\rho + U_{\alpha k} \overline{l_{\alpha L}} \gamma^\rho v_{kL} W_\rho^\dagger \right) \quad (129-3)$$

$$\Rightarrow U_{CP} l_\alpha U_{CP}^{-1} = \xi_{l_\alpha}^{CP} \gamma^\mu C \overline{l_\alpha}^T \quad (\text{میدان لپتون باردار دیراکی: } l) \quad (130-3)$$

با توجه به تبدیل W_μ در معادله (۱۱۶-۲)،

$$U_{CP} W_\mu U_{CP}^{-1} = -W^{\mu\dagger} \quad (131-3)$$

و با استفاده از رابطه (۹۶-۳)

$$\begin{aligned} U_{CP} \mathcal{L}_{I,L}^{(CC)} U_{CP}^{-1} &= -\frac{g}{\sqrt{2}} \sum_{\alpha=e,\mu,\tau} \sum_{k=1}^3 \left(-U_{\alpha k}^* \eta_k i \xi_{l_\alpha}^{CP} \overline{l_{\alpha L}} \gamma^\rho v_{kL} W_\rho^\dagger \right. \\ &\quad \left. + U_{\alpha k} \eta_k i \xi_{l_\alpha}^{CP*} \overline{v_{kL}} \gamma^\rho l_{\alpha L} W_\rho \right) \end{aligned} \quad (132-3)$$

$$\begin{cases} (129-3) \\ (132-3) \end{cases} \Rightarrow U_{\alpha k} \eta_k i \xi_{l_\alpha}^{CP*} U_{\alpha k}^* \quad (133-3)$$

همان‌گونه که پیش از این نشان داده شد، می‌توان همواره ماتریس آمیختگی را به صورت حاصلضرب ماتریس یکانی دیراک و ماتریس قطری فاز نوشت

$$\begin{cases} U_{\alpha k} = U_{\alpha k}^D e^{i \lambda_k} \\ (133-3) \end{cases} \Rightarrow U_{\alpha k}^D e^{-i \lambda_k} \eta_k i \xi_{l_\alpha}^{CP*} = U_{\alpha k}^{D*} \quad (134-3)$$

ماتریس یکانی دیراک U^D را می‌توان برحسب سه زاویه آمیختگی و یک فاز حذف ناشدنی پارامترنندی

کرد. پس شرط لازم برای ناوردايی CP حقیقی بودن U^D می‌باشد، درست همانند نوترینوهای دیراک:

$$U^D = U^{D*} = \mathcal{O}, \quad (\mathcal{O}^T = \mathcal{O}^{-1}) \quad (135-3)$$

پس شرط ناوردايی CP در پارامترنندی (28-3)، آن است که

$$\delta_{13} = 0 \text{ یا } \pi \quad (136-3)$$

به‌سبب وجود فازهای ماثورانای λ_k حقیقی بودن U^D برای ناوردايی CP کافی نیست. برقراری (3-3)

(135) سبب می‌شود که معادله (134-3) به صورت زیر درآید.

$$\begin{aligned} \eta_k &= -i \xi_{l_\alpha}^{CP} e^{-i \lambda_k}, \quad \eta_k = \pm 1 \\ \xi_{l_\alpha}^{CP} &= i \Rightarrow \eta_k = e^{-i \lambda_k}, \quad 0 \leq \lambda_k \leq 2\pi \end{aligned} \quad (137-3)$$

جدول ۳-۱ تناظر بین پاریتی CP، η_k ، فاز ماثورانای λ_k ، و ضریب $e^{i \lambda_k}$ در ماتریس قطری (127-3)

η_k	λ_k	$e^{i \lambda_k}$
+1	$0, \pi$	± 1
-1	$\pi/2$	$\pm i$

از آنجا که ماتریس قطری در معادله (127-3) دارای ضرایب $e^{i \lambda_k}$ درست راست ماتریس آمیختگی

می‌باشد، لاغرانژی در صورتی تحت تبدیل CP ناورداست که همه عناصر هر ستون از ماتریس

آمیختگی یا حقیقی و یا موهومی محض باشند. اگر یک ستون دارای مقادیر حقیقی و ستون دیگر

دارای مقادیر موهومی محض باشد، نوترینوهای جرم‌دار دارای مقادیر η_k با علامت مختلف می‌شوند

یعنی پاریتی CP آنها مخالف یکدیگر می‌شود. مقدار η_k و پاریتی CP مربوط به آن به خودی خود و فی

نفسه معنای فیزیکی ندارد، بلکه به گزینش اختیاری فازهای CP لپتون باردار $\eta_{l_\alpha}^{\text{CP}}$ ها بستگی دارد.^۱

تنها تفاوت پاریتی‌های CP است که برای نوترینوهای جرمدار مختلف معنای فیزیکی دربر دارد.

اختیاری بودن مقدار η_k در اختیاری بودن فاز $k(\lambda_k - \lambda_j)$ ، و معنادار بودن فازهای CP از

لحاظ فیزیکی، در معنادار بودن تفاوت فازهای ماثورانه در ماتریس آمیختگی بازنمایانده می‌شود. از (۳-۳)،

$$\frac{\eta_k}{\eta_j} = e^{-\lambda_i(\lambda_k - \lambda_j)} \quad (138-3)$$

که مستقل از $\eta_{l_\alpha}^{\text{CP}}$ است و تحت فازبندی دوباره میدانهای لپتونی باردار ناورداست (۱۲۷-۳). البته

می‌توان رویه‌ای همانند آنچه در بخش ۶-۲ ارائه شد، نیز در پیش گرفت. در آن صورت به طور خلاصه

نتایج به صورت زیر درمی‌آید.

۳. $M^L = 0$ که اساساً در مدل استاندارد بی معنای است زیرا به معنای ناامیختگی در بخش لپتونی

می‌باشد. $M'^l = 0$ نیز بی معنا می‌شود زیرا به معنای آن است که جرم لپتونها برابر با صفر

است.

۴. $P = \pm \mathbf{1}, W_R = \pm i \mathbf{1}$ حقيقی باشد. در اين مورد M'^{lT}, M^L, M'^l قدرت

V_L^l در این مورد می‌توان $M'^l = M'^{l*}, M^L = M^{L*}$ با ماتریسهای متعامد

قطری کرد.

۳-۳-۳ آمیختگی مؤثر سه نسل نوترینو

همانگونه که توضیح داده شد، مدل استاندارد نظریه مؤثر در گستره انرژی پایین است که ناشی از

شکست تقارن نظریه اتحاد بزرگ در انرژی بالا می‌باشد. نحوه پدیدار شدن آثار نظریه اتحاد از طریق

جملات لاگرانژی مؤثر بازبهنجارناپذیر نیز توضیح داده شد. برای یک نوترینو، جمله لاگرانژی مؤثر با

^۱ مثلاً اگر i بگزینیم، $\eta_k \rightarrow -\eta_k$ تبدیل می‌شود.

کمترین بعد ممکن، جمله بعد پنج ناقص عدد لپتونی در معادله (۱۰۲-۳) می‌باشد. می‌توان آن لاگرانژی را به سادگی برای سه نوترینو تعمیم داد:

$$\mathcal{L}_5 = \frac{1}{\mathcal{M}_{\alpha\beta}} \sum g_{\alpha\beta} (L'_{\alpha L}^T \tau_\gamma \Phi) C^\dagger (\Phi^T \tau_\gamma L'_{\beta L}) + \text{H.c.} \quad (139-3)$$

که g ماتریس متقارن 3×3 از ثوابت جفت‌شده است. VEV شکننده تقارن الکتروضعیف برای میدان هیگر (بخش ۱-۵) منجر به جمله جرمی مازورانا برای نوترینو می‌شود

$$\mathcal{L}_{\text{mass}}^M = \frac{1}{\mathcal{M}} \sum g_{\alpha\beta} V'_{\alpha L}^T C^\dagger V'_{\beta L} + \text{H.c.} \quad (140-3)$$

پس عناصر ماتریس جرمی مازورانا (۱۰-۳) هم به صورت زیر در می‌آیند

$$M_{\alpha\beta}^L = \frac{\nu}{\mathcal{M}} g_{\alpha\beta} \quad (141-3)$$

بنابراین مقیاس جرمی کوچک نوترینوهای مازورانا با کسر کوچک ν/\mathcal{M} تعیین می‌شود که توضیحی طبیعی برای کوچک بودن جرم نوترینوها در مقایسه با مقیاس الکتروضعیف می‌باشد.

۴-۳ جمله جرمی دیراک- مازورانا برای یک نسل

در بحثهای پیشین دیدیم که میدانهای کایرال v_L و سنگ بنای لاگرانژی نوترینو بودند. با توجه به مدل استاندارد و لاگرانژی برهمکنش ضعیف جریان باردار، شکی در وجود v_L نیست. از طرفی تقارنهای مدل استاندارد وجود v_R را مجاز می‌دارد. اگر تنها v_L وجود داشته باشد، لاگرانژی نوترینو تنها می‌تواند در بردارنده جمله جرمی مازورانا باشد، و نوترینو ذره مازورانا خواهد بود.

$$\mathcal{L}_{\text{mass}}^L = \frac{1}{\mathcal{M}} m_L v_L^T C^\dagger v_L + \text{H.c.} \quad (142-3)$$

اگر v_R هم وجود داشته باشد، لاگرانژی نوترینو می‌تواند جمله جرمی دیراک را در برگیرد.

$$\mathcal{L}_{\text{mass}}^D = -m_D \overline{v_R} v_L + \text{H.c.} \quad (143-3)$$

که بیانگر دیراکی بودن نوترینو است. لاگرانژی نوترینو علاوه بر دارا بودن جمله جرمی دیراک (۳-۱۴۲) می‌تواند به ازای v_L شامل جمله جرمی مازورانا (۱۴۱-۳) و به ازای v_R شامل جمله جرمی مازورانا

$$\mathcal{L}_{\text{mass}}^{\text{R}} = \frac{1}{\gamma} m_R \nu_R^T C^\dagger \nu_R + \text{H.c.} \quad (144-3)$$

باید. یعنی امکان وجود جملهٔ جرمی دیراک مازورانا برای نوترینو می‌باشد.

$$\mathcal{L}_{\text{mass}}^{\text{D+M}} = \mathcal{L}_{\text{mass}}^{\text{D}} + \mathcal{L}_{\text{mass}}^{\text{L}} + \mathcal{L}_{\text{mass}}^{\text{R}} \quad (145-3)$$

بین همهٔ ذرات بنیادی با دو مؤلفهٔ میدان کایرال راستگرد و چپگرد تنها نوترینو می‌تواند هم جرم دیراک و هم جرم مازورانا داشته باشد. این امر چراغ راهی برای فیزیکی جدید ماورای مدل استاندارد باشد. در مدل استاندارد جملهٔ جرمی مازورانا در (141-3) برای ν_L مجاز نیست زیرا تحت تبدیلهای $SU(2)_L \times U(1)_Y$ ناوردان نیست، اما همانگونه که در بخش (7-2-3) [جرم مؤثر مازورانا] گفته شد، در فیزیک ماورای مدل استاندارد مجاز می‌باشد. ν_R یکتایی است، پس جملهٔ جرمی مازورانا در (144-3) در مدل استاندارد مجاز است. بنابراین با افزودن ν_R ، (145-3) با در چارچوب مدل استاندارد مجاز است. در (144-3)، با فازبندی دوباره و مناسب $m_L = 0$ توان $m_R \in \mathbb{R}^+$ برگزید. فاز ν_R که ثابت شد، می‌توان با فازبندی دوباره و مناسب ν_L در (3-3) توان $m_D \in \mathbb{R}^+$ برگزید. همینکه فاز ν_L و ν_R ثابت شد، امکان ازبین بردن فاز m_L مازورانا در (3-3) وجود ندارد. از این پس $m_L \in \mathbb{C}$ و $m_R, m_D \in \mathbb{R}^+$ برمی‌گزینیم. از دید فیزیکی، دیگر گزینش‌های ممکن همه با این گزینش همارزند.

ماتریس ستونی از میدانهای کایرال چپگرد درنظر می‌گیریم:

$$N_L = \begin{pmatrix} \nu_L \\ \nu_R^C \end{pmatrix} = \begin{pmatrix} \nu_L \\ C \bar{\nu}_R^T \end{pmatrix} \quad (146-3)$$

$$(50-3), (146-3) \xrightarrow{(145-3)} \mathcal{L}_{\text{mass}}^{\text{D+M}} = \frac{1}{\gamma} N_L^T C^\dagger M N_L + \text{H.c.} \quad (147-3)$$

$$M = \begin{pmatrix} m_L & m_D \\ m_D & m_R \end{pmatrix}$$

از معادله بالا معلوم است که میدانهای کایرال v_L, v_R جرم معینی ندارند.^۱ برای یافتن میدانهای نوترینو جرمدار، ماتریس بالا را با تبدیل یکانی میدانهای کایرال قطری می‌کنیم.

$$N_L = U n_L, n_L = \begin{pmatrix} v_{1L} \\ v_{2L} \end{pmatrix}, U^T M U = \begin{pmatrix} m_1 & \circ \\ \circ & m_2 \end{pmatrix}, m_k \geq 0 \quad (148-3)$$

با تبدیل (۱۴۸-۳)، جمله جرمی دیراک-ماژورانا در (۱۴۵-۳) به صورت زیر در می‌آید

$$\mathcal{L}_{\text{mass}}^{\text{D+M}} = \frac{1}{2} \sum_{k=1,2} m_k v_{kL}^T C^\dagger v_{kL} + \text{H.c.} = -\frac{1}{2} \sum_{k=1,2} m_k \overline{v_k} v_k \quad (149-3)$$

$$v_k = v_{kL} + v_{kL}^C = v_{kL} + C \overline{v_{kL}}^T$$

این جمله جرمی دیراک-ماژورانا بیانگر آن است که نوترینوهای جرمدار ذرات ماژورانا هستند. زیرا

در (۱۴۷-۳) دارای ساختار جمله جرمی ماژورانا برای هر دو میدان کایرال v_L و v_R می‌باشد.

برگزیدیم، m_1, m_2 دو ویژه‌مقدار مثبت برای ماتریس زیر هستند

$$\mathbf{m} = \begin{pmatrix} \text{Re}[m_L] & m_D & -\text{Im}[m_L] & \circ \\ m_D & m_R & \circ & \circ \\ -\text{Im}[m_L] & \circ & -\text{Re}[m_L] & -m_D \\ \circ & \circ & -m_D & -m_R \end{pmatrix} \quad (150-3)$$

$$m_{1,1} = \frac{1}{2} \left[|m_L|^2 + m_R^2 + 2m_D^2 \pm \left((\text{Re}[m_L] + m_R)^2 - (m_L - m_R)^2 + 4m_D^2 \right. \right. \quad (151-3)$$

$$\left. \left. + (\text{Im}[m_L])^2 + 2(\text{Im}[m_L])^2 \left((\text{Re}[m_L])^2 - m_R^2 + 2m_D^2 \right)^{1/2} \right) \right]^{1/2}$$

$$U = \begin{pmatrix} \cos \theta & \sin \theta \\ -\sin \theta & \cos \theta \end{pmatrix} \begin{pmatrix} e^{i\lambda} & \circ \\ \circ & 1 \end{pmatrix} = \begin{pmatrix} \cos \theta e^{i\lambda} & \sin \theta \\ -\sin \theta e^{i\lambda} & \cos \theta \end{pmatrix}, 0 \leq \theta \leq \frac{\pi}{2}, 0 \leq \lambda \leq \pi \quad (152-3)$$

$$\begin{pmatrix} \text{Re}[m_L] & m_D & -\text{Im}[m_L] & \circ \\ m_D & m_R & \circ & \circ \\ -\text{Im}[m_L] & \circ & -\text{Re}[m_L] & -m_D \\ \circ & \circ & -m_D & -m_R \end{pmatrix} \begin{pmatrix} \sin \theta \\ \cos \theta \\ \circ \\ \circ \end{pmatrix} = m_1 \begin{pmatrix} \sin \theta \\ \cos \theta \\ \circ \\ \circ \end{pmatrix} \quad (153-3)$$

^۱ به سبب عناصر غیر قطری جرم دیراکی

$$\Rightarrow \tan \vartheta = \frac{\sqrt{m_D}}{m_R - \operatorname{Re}[m_L]} \quad (154-3)$$

$$\begin{pmatrix} \operatorname{Re}[m_L] & m_D & -\operatorname{Im}[m_L] & \circ \\ m_D & m_R & \circ & \circ \\ -\operatorname{Im}[m_L] & \circ & -\operatorname{Re}[m_L] & -m_D \\ \circ & \circ & -m_D & -m_R \end{pmatrix} \begin{pmatrix} \cos \theta \cos \lambda \\ -\sin \theta \cos \lambda \\ \cos \theta \sin \lambda \\ -\sin \theta \sin \lambda \end{pmatrix} = m \begin{pmatrix} \cos \theta \cos \lambda \\ -\sin \theta \cos \lambda \\ \cos \theta \sin \lambda \\ -\sin \theta \sin \lambda \end{pmatrix} \quad (155-3)$$

$$\Rightarrow \tan \vartheta \lambda = -\frac{\sqrt{\operatorname{Im}[m_L]}}{\operatorname{Re}[m_L] + m_R - \sqrt{(\operatorname{Re}[m_L] - m_R)^2 + 4m_D^2}}, \quad 0 \leq \vartheta \lambda \leq 4\pi \quad (156-3)$$

با توجه به مطالبی که تاکنون گفته شد و همچنین سترون بودن ν_L و فعال بودن ν_R ، نوسان بین ν_L و ν_R^C به تفاوت مجدور جرمی آنها بستگی دارد.

$$\Delta m^2 = \left[(\operatorname{Re}[m_L] + m_R)^2 [(\operatorname{Re}[m_L] - m_R)^2 + 4m_D^2] + (\operatorname{Im}[m_L])^2 + 2(\operatorname{Im}[m_L])^2 + ((\operatorname{Re}[m_L])^2 - m_R^2 + 2m_D^2) \right]^{1/2} \quad (157-3)$$

۱-۴-۳ احتمال نوسان نوترینو

فرآیندهای برهمکنش ضعیف جریان باردار سبب می‌شوند نوترینو با طعم‌های مختلف ν_α ($\alpha = e, \mu, \tau$) از لپتونی باردار l^-_α تولید (گذارهای $\nu_\alpha \rightarrow l^-_\alpha$) و یا همراه با پادلپتونی باردار تولید شود (جفت $\nu_\alpha^+ \nu_\alpha^-$). (ر.ک. (۶۶-۱) و (۶۷-۱)).

همچنین نوترینوها ممکن است در فرآیندهای ضعیف جریان خنثی ناشی از لاغرانژین ضعیف $(1-1)$ به شکل $Z \rightarrow \nu \bar{\nu}$ بوجود آیند. ذره Z ممکن است حقیقی (واپاشی Z) یا مجازی (مثال (۷۳) هم در این حال نوترینوها دارای جرم معینی نیستند. با این حال نوترینوهای به $e^- e^- \rightarrow \bar{\nu} \nu$ باشد. در صورت وجود نوترینوهای سترون سبک می‌توانند به آنها نوسان کنند. در وجود آمده فعال هستند و در این پایان نامه به بررسی این نوسانات نمی‌پردازیم اما به سادگی با تعمیم نظریه نوسانات طعم نوترینو این پایان نامه به آن دست یافت.

(۱-۱) و (۶۷-۱) را بازنویسی می‌کنیم.

$$L_I^{(CC)} = -\frac{g}{2\sqrt{2}} \left(j_{W,L}^{\rho} W_{\rho} + j_{W,L}^{\rho\dagger} W_{\rho}^{\dagger} \right) \quad (158-3)$$

$$j_{W,L}^{\rho} = 2 \sum_{\alpha=e,\mu,\tau} \overline{v_{\alpha L}} \gamma^{\rho} l_{\alpha L} = 2 \sum_{\alpha=e,\mu,\tau} \sum_k U_{\alpha k}^* \overline{v_{k L}} \gamma^{\rho} l_{\alpha L}$$

که هر دو برای نوترینوهای دیراکی (۱۴-۳) و (۱۲۳-۳) یا نوترینوهای جرمدار مژورانا (۱۲۱-۳)

برقرارند. بسط فوریه برای عملگرهای میدان نوترینوی دیراکی $\overline{v_k}$ به صورت زیر است:

$$\overline{v_{k L}(x)} = \int \frac{d^4 p}{(2\pi)^4 2E} \sum_{h=\pm 1} [a_{vk}^{(h)\dagger}(p) \overline{u_{vk L}^{(h)}}(p) e^{-ip \cdot x} + b_{vk}^{(h)}(p) \overline{v_{vk L}^{(h)}}(p) e^{ip \cdot x}] \quad (159-3)$$

بنابراین جریان باردار لپتونی در معادله (۱۵۸-۳) دربردارنده عملگر آفرینش $a_{vk}^{(h)\dagger}(p)$ نوترینوها با

جرم m_k و همچنین از طریق میدان لپتونی باردار l_{α} دربردارنده عملگرهای نابودی l_{α}^- و آفرینش

l_{α}^+ است، که منجر به گذارهای $l_{\alpha}^- \rightarrow v_k$ یا آفرینش زوجهای $l_{\alpha}^+ v_k$ شود. برای نوترینوهای مژورانا

که $a_{vk}^{(h)\dagger}(p) = b_{vk}^{(h)}(p)$ است (۶۹-۳) عملگرهای آفرینش نوترینو با

جرم m_k در هر دو جریان $l_{\alpha}^- \rightarrow v_k$ و $j_{W,L}^{\rho\dagger} j_{W,L}^{\rho}$ وجود دارند.

در گذارهای $l_{\alpha}^- \rightarrow v_k$ تولید زوج

$l_{\alpha}^+ v_k$ اشترکت نمی‌کند، زیرا دربردارنده میدان لپتونی بارداری در شکل الحاقی آن $\overline{l_{\alpha}}$ است و

دربردارنده عملگرهای نابودی l_{α}^- و آفرینش l_{α}^+ نیست. جریان باردار لپتونی (۱۵۸-۳) برهمنهی از

نوترینوهای جرمدار ایجاد می‌کند. در نوسانات نوترینو v_{α} برهمنهی از نوترینوهای جرمدار v_k با وزن

متناسب با $U_{\alpha k}^*$ می‌باشد.

فرض کنیم نوترینویی با طعم α و تکانه خطی \vec{p} در فرآیند برهمکنش جریان باردار ضعیف از

لپتون باردار l_{α}^- یا به همراه پادلپتون باردار l_{α}^+ تولید شود و به صورت زیر آن را توصیف می‌کنیم.

$$|v_{\alpha}\rangle = \sum_k U_{\alpha k}^* |v_k\rangle \quad (\alpha = e, \mu, \tau) \quad (160-3)$$

وزن $U_{\alpha k}^*$ برای $|v_k\rangle$ در حالت طعم $|v_{\alpha}\rangle$ ناشی از تجزیه معادله (۱۵۸-۳) در جریان باردار لپتونی

بر حسب نوترینوهای جرمدار $j_{W,L}^{\rho}$ می‌باشد.

برای سادگی فرض می‌کنیم در حجم بهنجارش V حالت‌های نوترینوی جرمدار متعامد

$$\langle \nu_k | \nu_j \rangle = \delta_{kj} \quad \text{یکانی بودن ماتریس آمیختگی} \quad \langle \nu_\alpha | \nu_\beta \rangle = \delta_{\alpha\beta} \quad (161-3)$$

در معادله (۱۶۰-۳) تعداد نوترینوها را محدود نکردیم. اما از آنجا که سه طعم نوترینوی فعال وجود دارد، تعداد نوترینوهای جرم‌دار باید برابر یا بزرگتر از سه باشد. اگر تعداد نوترینوهای جرم‌دار بیشتر از سه باشد، نوترینوهای اضافی در پایه طعم سترون هستند.^۱

حالتهای نوترینوی جرم‌دار $\left| \nu_k \right\rangle$ و پیش‌حالتهای همیلتونی \mathcal{H} با ویژه‌مقادیر E_k هستند که منجر به معادله شرویدینگر می‌شود. معنای آن این است که حالتهای نوترینو در زمان به صورت امواج تخت تحول می‌یابند.

$$\begin{cases} \mathcal{H} | \nu_k \rangle = E_k | \nu_k \rangle \\ E_k = \sqrt{\vec{p}^2 + m_k^2} \end{cases} \Rightarrow i \frac{d}{dt} | \nu_k(t) \rangle = \mathcal{H} | \nu_k(t) \rangle \quad (162-3)$$

$$\Rightarrow | \nu_k(t) \rangle = e^{-i E_k t} | \nu_k \rangle \quad (\text{نوترینو با طعم } \alpha \text{ در زمان صفر})$$

با استفاده از معادلات (۱۶۰-۳) و (۱۶۲-۳)، در می‌یابیم تحول زمانی حالت نوترینو از رابطه زیر به دست می‌آید:

$$\begin{cases} | \nu_\alpha(t) \rangle = \sum_k U_{\alpha k}^* e^{-i E_k t} | \nu_k \rangle, & | \nu_\alpha(t=0) \rangle = | \nu_\alpha \rangle \\ U^\dagger U = 1 \Leftrightarrow \sum_\alpha U_{\alpha k}^* U_{\alpha j} = \delta_{jk} \end{cases} \Rightarrow | \nu_k \rangle = \sum_\alpha U_{\alpha k} | \nu_\alpha \rangle \quad (163-3)$$

با جایگذاری نتیجه (۱۶۳-۳) در نخستین معادله (۱۶۳-۳)، به رابطه زیر می‌رسیم:

$$| \nu_\alpha(t) \rangle = \sum_{\beta=e,\mu,\tau} (U_{\alpha k}^* e^{-i E_k t} U_{\beta k}) | \nu_\beta \rangle \quad (164-3)$$

برهم‌نهی حالتهای نوترینوی جرم‌دار $\left| \nu_\alpha(t) \right\rangle$ که در زمان صفر و معادله (۱۶۰-۳) حالت طعم‌دار خالص بود، به صورت برهم‌نهی از حالتهای طعم‌دار در زمان $t > 0$ می‌باشد (به شرط آنکه ماتریس

^۱ گذار نوترینوهای طعم دار فعال را به نوترینوهای سترون تنها از طریق ناپدیداری نوترینوهای فعال می‌توان مشاهده کرد.

آمیختگی U قطری نباشد، یعنی نوترینوها آمیخته باشند). ضریب $\nu_\alpha \rightarrow \nu_\beta$ به -4 صورت تابعی از زمان می‌باشد.

$$A_{\nu_\alpha \rightarrow \nu_\beta} = \left\langle \nu_\beta \left| \nu_\alpha(t) \right. \right\rangle = \sum_k U_{\alpha k}^* U_{\beta k} e^{-i E_k t} \quad (165-3)$$

احتمال گذار

$$P_{\nu_\alpha \rightarrow \nu_\beta}(t) = \left| A_{\nu_\alpha \rightarrow \nu_\beta} \right|^2 = \sum_k U_{\alpha k}^* U_{\beta k} U_{\alpha j} U_{\beta j}^* e^{-i(E_k - E_j)t} \quad (166-3)$$

برای نوترینوهای فوق نسبیتی $E_k - E_j \approx \frac{\Delta m_{kj}}{2E}$, $\Delta m_{kj} = m_k - m_j$, $E = |\vec{p}|$

بنابراین احتمال گذار در معادله (166-3) به صورت زیر تقریب می‌خورد

$$\begin{cases} P_{\nu_\alpha \rightarrow \nu_\beta}(t) = \sum_{k,j} U_{\alpha k}^* U_{\beta k} U_{\alpha j} U_{\beta j}^* \exp\left(-i \frac{\Delta m_{kj}}{2E} t\right) \\ P_{\nu_\alpha \rightarrow \nu_\beta}(L, E) = \sum_{k,j} U_{kj}^* U_{\beta k} U_{\alpha j} U_{\beta j}^* \exp\left(-i \frac{\Delta m_{kj}}{2E} L\right) \end{cases} \quad (167-3)$$

فاصله بین چشمها تا آشکارساز L و انرژی E کمیتهای وابسته به آزمایش هستند که مقادیر فاز Φ_{kj} نوسان نوترینو را مشخص می‌کنند.

$$\Phi_{kj} = -i \frac{\Delta m_{kj}}{2E} L \quad (168-3)$$

این فازها از روی اختلاف مجدور جرمی هم که کمیتی فیزیکی است مشخص می‌شوند. دامنه نوسانات تنها با عناصر ماتریس آمیختگی U که ثابت‌های طبیعتند معین می‌شوند. پس با اندازه‌گیری نوسانات نوترینو، می‌توان مقادیر اختلاف مجدور جرمی Δm_{kj} و عناصر ماتریس آمیختگی U را تا حدودی درک کرد. اندازه مثبت نوسانات نوترینو حاکی از جرمدار بودن نوترینو است، اما نمی‌توان با آن مقدار مطلق جرم نوترینو را به دست اورد. تنها می‌توان پی برد که m_k و m_j باید بزرگ‌تر از $|\Delta m_{kj}|$ باشد.

¹ در آزمایش نمی‌توان t را اندازه گرفت. با احتساب $c = 1$ ، به جای آن L اندازه گرفته می‌شود.

بستگی احتمال نوسانات به عناصر ماتریس آمیختگی U در معادله (۱۶۷-۳) از طریق حاصل ضرب

$$U_{\alpha k}^* U_{\beta k} U_{\alpha j} U_{\beta j}^* \quad (169-3)$$

است، که به پارامترنندی خاصی از ماتریس آمیختگی و گزینش خاصی از فازها^۱ (متناظر با فازبندی دوباره میدانهای لپتونی باردار و نوترینوها) بستگی ندارد و تحت تبدیلات فازبندی دوباره زیر ناوردادست.

$$U_{\alpha k} \rightarrow e^{i \psi_a} U_{\alpha k} e^{i \psi_k} \quad (170-3)$$

همانگونه که در بخش ۳-۳ بحث شد، ماتریس آمیختگی سه نسل نوترینوی مژورانا علاوه بر فاز دیراکی (همانند ماتریس آمیختگی CKM کوارکها) دو فاز مژورانا هم دارد که در ماتریس قطری در سمت راست ماتریس آمیختگی پدیدار می‌شود. یعنی همانند (۱۲۵-۳) می‌توانیم بنویسیم

$$U_{\alpha k} = U_{\alpha k}^D e^{i \lambda_k} \quad (171-3)$$

در ناورداهای فازبندی دوباره معادله (۱۶۹-۳) فازهای مژورانا وجود ندارد. نوسانهای نوترینو مستقل از فازهای مژورانا هستند. نقض CP و T در نوسانهای نوترینو تنها به فازهای دیراکی مربوط می‌شود. گذار بین طعمهای مختلف به ازای $L = 0$ رخ می‌دهد، زیرا بنا به رابطه یکانی بودن

$$U U^\dagger = \mathbf{1} \Leftrightarrow \sum_k U_{\alpha k} U_{\alpha k}^* = \delta_{\alpha \beta} \rightarrow P_{\nu_\alpha \rightarrow \nu_\beta} (L = 0, E) = \delta_{\alpha \beta} \quad (172-3)$$

احتمال (۱۶۷-۳) را می‌توان به صورت زیر نوشت:

$$\begin{aligned} P_{\nu_\alpha \rightarrow \nu_\beta} (L, E) &= \\ &= \sum_k \left| U_{\alpha k} \right|^2 \left| U_{\beta k} \right|^2 + 2 \operatorname{Re} \sum_{k > j} U_{\alpha k}^* U_{\beta k} U_{\alpha j} U_{\beta j}^* \exp(-2\pi i \frac{L}{L_{kj}^{\text{osc}}}) \end{aligned} \quad (173-3)$$

$$L_{kj}^{\text{osc}} = \frac{4\pi E}{\Delta m_{kj}}$$

^۱ که در سمت چپ یا راست ماتریس آمیختگی از آنها فاکتور گرفته شود.

^۲ دو قاعدة پایستگی احتمال از آن بدست می‌آید: ۱) مجموع احتمالهای گذار از یک طعم به همه طعمها $= 1$ و $\sum_{\beta (\beta = \alpha)} P_{\nu_\alpha \rightarrow \nu_\beta} (L, E) = 1$.

^۳ مجموع احتمالهای گذار از هر طعم به یک طعم $= 1$. $\sum_{\alpha} P_{\nu_{\alpha(\alpha=\beta)} \rightarrow \nu_\beta} (L, E) = 1$ می‌باشد.

طول نوسان فاصله‌ای است که فاز ایجاد شده با $\Delta m_{k_j}^{\nu}$ برابر با 2π شود. می‌توان احتمال نوسان در معادله دوم (۱۶۷-۳) را به صورت بخش‌های حقیقی و موهومی نوشت. از مجدور رابطه یکانی بودن (۱۷۲-۳) در می‌یابیم که

$$\sum_k \left| U_{\alpha k} \right|^2 \left| U_{\beta k} \right|^2 = \delta_{\alpha \beta} - 2 \sum_{k > j} \operatorname{Re} \left[U_{\alpha k}^* U_{\beta k} U_{\alpha j} U_{\beta j}^* \right] \quad (174-3)$$

که درنتیجه می‌توان احتمال نوسان را به صورت زیر نوشت:

$$P_{\nu_\alpha \rightarrow \nu_\beta}(L, E) = \delta_{\alpha \beta} - 2 \sum_{k > j} \operatorname{Re} \left[U_{\alpha k}^* U_{\beta k} U_{\alpha j} U_{\beta j}^* \right] \left[1 - \cos \left(\frac{\Delta m_{k_j}^{\nu} L}{E} \right) \right] \\ + 2 \sum_{k > j} \operatorname{Im} \left[U_{\alpha k}^* U_{\beta k} U_{\alpha j} U_{\beta j}^* \right] \sin \left(\frac{\Delta m_{k_j}^{\nu} L}{E} \right) \quad (175-3)$$

$$P_{\nu_\alpha \rightarrow \nu_\beta}(L, E) = \delta_{\alpha \beta} - 4 \sum_{k > j} \operatorname{Re} \left[U_{\alpha k}^* U_{\beta k} U_{\alpha j} U_{\beta j}^* \right] \left[\sin \left(\frac{\Delta m_{k_j}^{\nu} L}{E} \right) \right] \\ + 2 \sum_{k > j} \operatorname{Im} \left[U_{\alpha k}^* U_{\beta k} U_{\alpha j} U_{\beta j}^* \right] \sin \left(\frac{\Delta m_{k_j}^{\nu} L}{E} \right)$$

احتمال نوسان کانالهایی با $\beta \neq \alpha$ را / احتمال گذار می‌گویند، در حالی که احتمال نوسان کانالهایی با $\alpha = \beta$ را / احتمال ابقا^۱ می‌گویند.

همانگونه که در بخش ۳-۱ گفته شد، در آمیختگی سه نوترینو همه بخش‌های موهومی حاصلضرب

ناوردا تحت فازبندی دوباره در معادله (۱۶۹-۳) با ضرایب $s_{\alpha \beta; k_j} = \pm 1$ (جدول ۳-۱) برابرند با

$$\operatorname{Im} \left[U_{\alpha k}^* U_{\beta k} U_{\alpha j} U_{\beta j}^* \right] = s_{\alpha \beta; k_j} J \quad (176-3)$$

که ناوردای یارلسکوگ J در معادله (۲۴-۳) آمده است. با استفاده از رابطه بالا، احتمال نوسان نوترینو، معادله دوم (۱۷۵-۳) به صورت زیر در می‌آید:

^۱ Survival probability

$$P_{\nu_\alpha \rightarrow \nu_\beta}(L, E) = \delta_{\alpha\beta} - \frac{4}{\pi} \sum_{k>j} \operatorname{Re} \left[U_{\alpha k}^* U_{\beta k} U_{\alpha j} U_{\beta j}^* \right] \sin \left(\frac{\Delta m_{kj}^2 L}{4E} \right) + 4J \sum_{k>j} s_{\alpha\beta;kj} \sin \left(\frac{\Delta m_{kj}^2 L}{4E} \right) \quad (177-3)$$

ضرایب $s_{\alpha\beta;kj}$ در جدول ۱-۳ آمده است.

۲-۴-۳ برهمنکنی‌های ضعیف در جمله جرمی دیراک-ماژورانا

روابط آمیختگی در معادله (۱۴۸-۳)، عبارتند از

$$\begin{aligned} \nu_L &= U_{11} \nu_{1L} + U_{12} \nu_{2L}, \\ \nu_R^C &= U_{21} \nu_{1L} + U_{22} \nu_{2L} \end{aligned} \quad (178-3)$$

یعنی میدان نوترینوی ν_L و میدان نوترینوی سترون ν_R ترکیب‌های خطی از میدانهای نوترینوی جرم-دار ν_{1L}, ν_{2L} می‌باشند. در این حال نوسان بین نوترینوهای سترون و فعال ممکن است. برهمنکنی‌های ضعیف جریان باردار سبب ایجاد برهمنهی دو نوترینوی جرم‌دار می‌شوند. از آنجا که گسترش فاز آنها در فضا-زمان به جرم آنها بستگی دارد، می‌توان این برهمنهی را به صورت ترکیب خطی از نوترینوهای فعال و سترون با احتمال نوسانی برای آشکارسازی مؤلفه فعال در نظر گرفت. تظاهر مؤلفه سترون از راه ناپیدایی نوترینوهای فعال است که متناظر با احتمال کمتر از یک برای بازماندن نوترینوها می‌باشد.

بخش نوترینوی لاغرانژی ضعیف جریان خنثی را برای یک نسل (۴۴-۱) در نظر می‌گیریم

$$\mathcal{L}_{I,\nu}^{(NC)} = -\frac{g}{4 \cos \theta_W} \bar{\nu}_L \gamma^\mu \nu_L Z_\mu \xrightarrow{(157-3)} \mathcal{L}_{I,\nu}^{(NC)} = \sum_{k,j=1,2} U_{1k}^* U_{1j} \bar{\nu}_{kL} \gamma^\mu \nu_{jL} Z_\mu \quad (179-3)$$

یعنی امکان گذارهای جریان خنثی بین نوترینوهای جرم‌دار مختلف وجود دارد.

۳-۴-۳ ناوردایی CP در جمله جرمی دیراک-ماژورانا

حقیقی بودن ماتریس جرمی به معنای ناوردایی CP می‌باشد. یعنی در کنار $m_L, m_R, m_D \in \mathbb{R}^+$ ، مقدار $m_L + m_R + \sqrt{(m_L - m_R)^2 + 4m_D^2}$ را هم حقیقی (مثبت یا منفی) در نظر گرفتیم. در این حالت ماتریس جرمی M در (۱۴۷-۳) حقیقی و متقارن است و می‌توان آن را با تبدیلات (۱۴۸-۳) و ماتریس یکانی U در زیر قطری کرد.

$$U = \mathcal{O} \rho \quad , \quad \mathcal{O} = \begin{pmatrix} \cos \theta & \sin \theta \\ -\sin \theta & \cos \theta \end{pmatrix}, \quad \rho = \begin{pmatrix} \rho_1 & 0 \\ 0 & \rho_2 \end{pmatrix}, \quad \rho_1, \rho_2 = \pm 1 \quad (180-3)$$

ماتریس متعامد \mathcal{O} باید به گونه‌ای برگزیده شود که ماتریس جرمی (۱۴۷-۳) را قطری کند.

$$\mathcal{O}^T M \mathcal{O} = \begin{pmatrix} m'_1 & 0 \\ 0 & m'_2 \end{pmatrix} \quad (181-3)$$

که m'_1, m'_2 ویژه‌مقدار ماتریس جرمی هستند.

$$m'_{1,2} = \frac{1}{\sqrt{2}} \left[m_L + m_R \pm \sqrt{(m_L - m_R)^2 + 4m_D^2} \right], \quad \tan 2\theta = \frac{\sqrt{2}m_D}{m_R - m_L} \quad (182-3)$$

$$\text{If } m_L m_R < m_D^2 \Rightarrow m'_1 < 0$$

اهمیت ماتریس ρ آن است که اگر $m'_1 < 0$ باشد، علامت نخستین ویژه‌مقدار جرمی را تغییر می‌دهد.

$$U^T M U = \rho^T \mathcal{O}^T M \mathcal{O} \rho = \begin{pmatrix} \rho_1 & 0 \\ 0 & \rho_2 \end{pmatrix} \begin{pmatrix} m'_1 & 0 \\ 0 & m'_2 \end{pmatrix} \begin{pmatrix} \rho_1 & 0 \\ 0 & \rho_2 \end{pmatrix} = \begin{pmatrix} \rho_1 m'_1 & 0 \\ 0 & \rho_2 m'_2 \end{pmatrix} \quad (183-3)$$

بنابراین دو مقدار حقیقی و مثبت جرم نوتريینو عبارتند از:

$$m_k = \rho_k m'_k, \quad \rho_1 = 1 \rightarrow \begin{cases} \rho_1 = -1 \\ m'_1 < 0 \end{cases}, \quad \begin{cases} \rho_2 = +1 \\ m'_2 > 0 \end{cases} \quad (184-3)$$

که با عبارت کلی (۱۵۱-۳) در حالت $\text{Im}[m_k] = 0$ سازگار است. درنتیجه همواره $m'_2 > 0$ و داریم

$$m_2 = \frac{1}{\sqrt{2}} \left[m_L + m_R + \sqrt{(m_L - m_R)^2 + 4m_D^2} \right] \quad (185-3)$$

$$\begin{cases} (185-3) \\ m_L m_R \geq m_D^2 \end{cases} \Rightarrow \begin{cases} m'_1 \geq 0 \\ \rho_1 = 1 \end{cases} \Rightarrow m_1 = \frac{1}{\sqrt{2}} \left[m_L + m_R - \sqrt{(m_L - m_R)^2 + 4m_D^2} \right] \quad (186-3)$$

$$\rho_1 = 1, \rho_2 = 1 \Rightarrow U = \begin{pmatrix} \cos \theta & \sin \theta \\ -\sin \theta & \cos \theta \end{pmatrix}$$

$$\begin{cases} (185-3) \\ m_L m_R \leq m_D^2 \end{cases} \Rightarrow \begin{cases} m'_1 < 0 \\ \rho_1^2 = -1 \end{cases} \Rightarrow m_1 = \frac{1}{\sqrt{2}} \left[\sqrt{(m_L - m_R)^2 + 4m_D^2} - (m_L + m_R) \right] \quad (187-3)$$

$$\rho_1 = i, \rho_2 = 1 \Rightarrow U = \begin{pmatrix} i \cos \theta & \sin \theta \\ -i \sin \theta & \cos \theta \end{pmatrix}$$

نوسان بین نوترینوی فعال ν_L و نوترینوی سترون ν_R^C به زاویه آمیختگی θ در (183-3) و تفاوت

مجذور جرمی زیر بستگی دارد

$$\Delta m^2 = m_1^2 - m_2^2 = (m_L + m_R) \sqrt{(m_L - m_R)^2 + 4m_D^2} \quad (188-3)$$

If $m_L < -m_R \Rightarrow \Delta m^2$ منفی شود ممکن است

هرچند عناصر U می‌توانند موهومی شوند، لاگرانژی تحت تبدیلات CP ناورداست و فاز

$$\xi_k^{CP} = i \rho_k^2 \quad (189-3)$$

پاریتی CP برای ν_k می‌باشد. تبدیل CP ماتریس N_L در معادله (146-3) از ناوردایی جمله جرمی

دیراک-ماژورانا (146-3) تحت CP تعیین می‌شود که در نتیجه $i = \frac{\xi}{\rho}$ به دست می‌آید.

۴-۴-۳ آمیختگی بیشینه

با توجه به زاویه آمیختگی (182-3)، آمیختگی زمانی بیشینه می‌شود که

$$m_L = m_R \xrightarrow{(182-3)} m'_{2,1} = m_L \pm m_D \quad (190-3)$$

اگر $m_D < m_L, m'_1 > 0, \rho_1^2 = 1$ باشد، آمیختگی از گونه (186-3) و $\theta = \pi/4$ می‌باشد. اگر

$m_D > m_L, m'_1 < 0, \rho_1^2 = -1$ باشد، آنگاه آمیختگی از گونه (187-3) و $\theta = \pi/4$ می‌باشد که منجر

به نتایج زیر می‌شود.

$$\begin{cases} \nu_{1L} = \frac{-i}{\sqrt{2}} (\nu_L - \nu_R^C) \\ \nu_{2L} = \frac{1}{\sqrt{2}} (\nu_L + \nu_R^C) \end{cases} \Rightarrow \begin{cases} \nu_{1L} = \nu_{1L} + \nu_{1L}^C = \frac{-i}{\sqrt{2}} [(\nu_L + \nu_R) - (\nu_L^C + \nu_R^C)] \\ \nu_{2L} = \nu_{2L} + \nu_{2L}^C = \frac{1}{\sqrt{2}} [(\nu_L + \nu_R) - (\nu_L^C + \nu_R^C)] \end{cases} \quad (191-3)$$

و در نتیجه مقادیر جرمی و تفاوت مجذور جرمی برابر با مقادیر زیر می‌شود.

$$\begin{cases} m_1 = m_D - m_L \\ m_2 = m_D + m_L \end{cases} \Rightarrow \Delta m^2 = m_2^2 - m_1^2 = 4 m_L m_D \quad (192-3)$$

۵-۴-۳ حد دیراک

اگر $m_L = m_R = 0$ باشد، از آنجا که جمله جرمی دیراک-ماژورانا در معادله (۱۴۵-۳) به جمله جرمی دیراک (۱۴۲-۳) منجر می‌شود، باید نوترینوی جرم‌دار دیراک را در این حالت به دست آوریم.

$$(190-3) \Rightarrow m'_{\nu_1} = \pm m_D \Rightarrow \begin{cases} \rho_1^* = -1, & m_1 = m_D \\ \rho_2^* = +1, & m_2 = m_D \end{cases} \quad (193-3)$$

یعنی دو نوترینوی ماژورانا باید جرم یکسان و پاریتی‌های CP متضاد هم داشته باشد. در این حالت دو میدان ماژورانا ν_1, ν_2 می‌توانند با هم ترکیب شوند و یک میدان دیراک ν به دست دهند.

$$\nu = \frac{1}{\sqrt{2}}(i\nu_1 + \nu_2) = \nu_L + \nu_R \quad (194-3)$$

همچنین می‌توان همواره میدان دیراک را به دو میدان ماژورانا تجزیه کرد:

$$\nu = \frac{1}{\sqrt{2}}[(\nu - \nu^C) + (\nu + \nu^C)] = \frac{i}{\sqrt{2}}\left(-i\frac{\nu - \nu^C}{\sqrt{2}}\right) + \frac{1}{\sqrt{2}}\left(\frac{\nu + \nu^C}{\sqrt{2}}\right) = \frac{i\nu_1 + \nu_2}{\sqrt{2}} \quad (195-3)$$

$$\nu_1 = \frac{-i}{\sqrt{2}}(\nu - \nu^C), \quad \nu_2 = \frac{1}{\sqrt{2}}(\nu + \nu^C); \quad (\nu_1 = \nu_1^C, \quad \nu_2 = \nu_2^C) \quad (196-3)$$

(میدانهای ماژورانا با جرم‌های یکسان و پاریتی‌های CP)

بنابراین در حالت کلی، میدان دیراکی هم‌رز دو میدان ماژورانا با جرم‌های یکسان و پاریتی‌های CP

متضاد است. از آنجا که $\rho_1^* = -1, \rho_2^* = 1 \Rightarrow \xi_1^{CP} = -i, \xi_2^{CP} = i$ است، پس

$$\begin{cases} \nu_1 \xrightarrow{CP} i \gamma^\nu \nu_1 \\ \nu_2 \xrightarrow{CP} i \gamma^\nu \nu_2 \end{cases} \xrightarrow{(196-3)} \nu = (i\nu_1 + \nu_2) \xrightarrow{CP} i \gamma^\nu \frac{1}{\sqrt{2}}(-i\nu_1 + \nu_2) = i \gamma^\nu \nu^C \quad (197-3)$$

نتیجه می‌گیریم که میدان دیراکی ν دارای پاریتی CP معین برابر با $i \gamma^\nu$ می‌باشد.

۶-۴-۳ نوترینوهای شبهدیراکی

اگر $|m_L|, m_R \ll m_D$ باشد، با توجه به معادله (۱۸۲-۳)

$$m'_{\nu_1} \simeq \frac{m_L + m_R}{2} \pm m_D \xrightarrow[\rho_1^* = -1]{m'_1 < 0} m'_{\nu_1} \simeq m_D \pm \frac{m_L + m_R}{2} \quad (198-3)$$

این دو نوترینوی مژورانا تقریباً تبھگن جرمی هستند و جرم بین آنها به صورت^۱ $m_L + m_R \ll m_{\nu_1} + m_{\nu_2}$ بخش شده است. به آنها نوترینوهای شبهدیراکی گویند. زیرا تمایز آنها از نوترینوهای دیراکی، که متناظر با یک جفت نوترینوی مژورانا تبھگن هستند، بسیار مشکل است. بهترین راه برای معلوم ساختن نوترینوهای شبهدیراکی نوسانات نوترینوی فعال-سترون است، که ناشی از تفاوت مجدور جرمی هستند.

$$\Delta m^2 \simeq m_D (m_L + m_R) , \tan 2\theta = \frac{m_D}{m_R - m_L} \gg 1 \Rightarrow \theta \simeq \pi / 4 \quad (199-3)$$

۷-۴-۳ سازوکار الاکلنگی^۱

اگر $m_D \ll m_R$ ، $m_L = 0$ باشد، با توجه به معادله (۱۸۲-۳)

$$m'_1 \simeq -\frac{m_D}{m_R} , m'_2 \simeq m_R \xrightarrow[\rho_1 = -1]{m'_1 < 0} m_1 \simeq \frac{m_D}{m_R} , m_2 \simeq m_R \quad (200-3)$$

بنابراین ν_2 به سنگینی m_R و ν_1 بسیار سبک است، زیرا نسبت m_D / m_R بسیار کوچک است. این سازوکار موسوم به سازوکار الاکلنگی است. جرم سنگین ν_2 ، $m_2 \simeq m_R$ سبب سبک بودن ν_1 می‌باشد

[۴۸-۴۵]

زاویه آمیختگی بسیار کوچک θ بیانگر آن است که ν_1 بیشتر از ν_L فعال و ν_2 بیشتر از ν_R سترون تشکیل شده است.

$$\nu_{1L} \simeq -i\nu_L , \nu_{2L} \simeq \nu_R^C \quad (201-3)$$

اهمیت بسیار زیاد سازوکار الاکلنگی در آن است که توضیح بسیار خوبی درباره کوچک بودن جرم نوترینو در مقایسه با جرم دیگر فرمیونها در مدل استاندارد ارائه می‌دهد. فرض $m_L = 0$ طبیعی است، زیرا جمله جرمی مژورانا برای ν_L در مدل استاندارد ممنوع است. چشم آن می‌رود که جرم دیراکی m_D ، که در مدل استاندارد از طریق سازوکار هیگز تولید می‌شود، از مرتبه جرم یکی از فرمیونهای

^۱ با توجه به مدنظر بودن اصطلاح عامیانه see-saw در اینجا هم به عمد لفظ عامیانه الاکلنگی و نه الله‌کلنگی استفاده شده است.

باردار همان نسل خودش باشد. اما مرتبه بزرگی m_D نمی‌تواند از مقیاس الکتروضعیف، مرتبه 10^{10} GeV^۱، بسیار بیشتر باشد. زیرا جمله جرمی دیراکی در تقارنهای ناشکسته مدل استاندارد ممنوع است و همانند دیگر ویژگیهای مدل استاندارد تنها می‌تواند پیامد شکست تقارن باشد. پس m_D متناسب با مقیاس شکست تقارن است^۱. جرم ماثورانای m_R در فیزیک ماورای مدل استاندارد تولید می‌شود. میدان ν_R متعلق به چندگانه تقارنهای نظریه انرژی بالا است و مرتبه بزرگی m_R متناظر با مقیاس شکستن این تقارنهاست، که در مقیاس تقارن بزرگ از مرتبه 10^{14} – 10^{16} GeV می‌باشد.

بنابراین می‌توان از عبارت الکلنگی در (۳-۱۹۵) جرم m_1 را با نسبت کوچک $\sim 10^{-12}$ – 10^{-14} می‌دان m_R/m_D از عبارت آورده در (۳-۱۰۸) برای جرم ماثورانای سبک m_1 در سازوکار الکلنگی، همان ویژگیهای جرم ماثورانا در معادله (۳-۱۰۸) را دارند. این امر تصادفی نیست زیرا سازوکار الکلنگی متناظر با مورد ویژه‌ای از عملگر مؤثر بعد پنج \mathcal{L}_M می‌باشد. این امر با روش دیگری برای به دست آوردن سازوکار الکلنگی نشان داده می‌شود [۵۰].

۳-۵ آمیختگی دیراک-ماثورانا در سه نسل

علاوه بر سه میدان نوترینوی چپگرد فعال، $\nu'_e L$, $\nu'_\mu L$, $\nu'_\tau L$, امکان وجود تعداد N میدان نوترینوی راستگرد سترون (۳-۱۰۸) نیز فراهم است. می‌توان با این میدانهای کلی ترین جمله جرمی در جمله جرمی دیراک-ماثورانا را نوشت

$$\mathcal{L}_{\text{mass}}^{\text{D+M}} = \underbrace{\mathcal{L}_{\text{mass}}^L + \mathcal{L}_{\text{mass}}^R}_{\substack{\text{جملات جرمی دیراک} \\ \text{جمله جرمی ماثورانا}}} + \underbrace{\mathcal{L}_{\text{mass}}^D}_{\substack{\text{جملات جرمی دیراک} \\ \text{جمله جرمی ماثورانا}}} \quad (3-12)$$

^۱ اغلب این گونه بیان می‌شود که تقارنهای مدل استاندارد m_D را حفظ می‌کنند. در حالیکه برای m_R این گونه نیست.

$$\begin{aligned} \mathcal{L}_{\text{mass}}^L &= \frac{1}{\gamma} \sum_{\alpha, \beta=e, \mu, \tau} \nu'_{\alpha L} C^\dagger M_{\alpha \beta}^L \nu'_{\beta L} + \text{H.c.}, \quad \mathcal{L}_{\text{mass}}^R = \frac{1}{\gamma} \sum_{s, s'=s_1}^{s N_s} \nu_{s L}^T C^\dagger M_{s s'}^R \nu_{s' R} + \text{H.c.} \\ \mathcal{L}_{\text{mass}}^D &= - \sum_{s, s'=s_1}^{s N_s} \sum_{\alpha, \beta=e, \mu, \tau} \overline{\nu_{s R}} M_{s \alpha}^D \nu'_{\alpha L} + \text{H.c.} \end{aligned} \quad (203-3)$$

سه ماتریس M^L, M^R, M^D مختلط هستند. ماتریس‌های جرمی مازورانی M^L, M^R, M^D متقارنند (۲۰۳-۳).

(۱۱۰) M^L ماتریسی 3×3 ، M^R ماتریس مربعی $N_s \times N_s$ ، و ماتریس جرمی دیراک M^D ماتریسی

مستطیلی به ابعاد $3 \times N_s$ است. میدانهای نوتريینو با جرم معین حاصل قطری کردن جمله جرمی دیراک-مازورانا در معادله (۲۰۲-۳) است. مرسوم است که برای میدانهای چپگرد، ماتریسی ستونی از

مرتبه $N = 3 + N_s$ تعریف شود

$$\begin{aligned} \mathbf{N}'_L &\equiv \begin{pmatrix} \nu'_L \\ \vdots \\ \nu'_{s N_s R} \end{pmatrix}, \quad \nu'_R \equiv \begin{pmatrix} \nu_{s R}^C \\ \vdots \\ \nu_{s N_s R}^C \end{pmatrix}, \quad \nu'_L : (103-6) \xrightarrow{(203-3)} \mathcal{L}_{\text{mass}}^{\text{D+M}} = \frac{1}{\gamma} \mathbf{N}'_L^T C^\dagger M^{\text{D+M}} \mathbf{N}'_L + \text{H.c.} \\ M^{\text{D+M}} &\equiv \begin{pmatrix} M^L & M^{\text{D}^T} \\ M^D & M^R \end{pmatrix} \end{aligned} \quad (204-3)$$

همانند قطری کردن جمله جرمی مازورانا در بخش ۳-۳، اینجا هم ماتریس جرمی دیراک-مازورانا را قطری می‌کنیم. میدانهای طعم چپگرد را به صورت ترکیب خطی یکانی از مؤلفه‌های چپگرد N میدان

با جرم معین می‌نویسیم:

$$\mathbf{N}'_L = V_L^V n_L, \quad n_L = \begin{pmatrix} \nu_{1 L} \\ \vdots \\ \nu_{N L} \end{pmatrix} \quad (205-3)$$

$$(V_L^V)^T M^{\text{D+M}} V_L^V = M, \quad M_{k j} = m_k \delta_{k j} \quad (k, j = 1, \dots, N), \quad m_k \in \mathbb{R}^+$$

$$(204-3), (205-3) \Rightarrow \mathcal{L}_{\text{mass}}^{\text{D+M}} = \frac{1}{\gamma} n_L^T C^\dagger M n_L + \text{H.c.} = \frac{1}{\gamma} \sum_{k=1}^N m_k \nu_{k L}^T C^\dagger \nu_{k L} + \text{H.c.} \quad (206-3)$$

$$\mathcal{L}_{\text{mass}}^{\text{D+M}} = -\frac{1}{\gamma} \overline{n_L^C} M n_L + \text{H.c.} = -\frac{1}{\gamma} \sum_{k=1}^N m_k \overline{\nu_{k L}^C} \nu_{k L} + \text{H.c.} \quad (\text{با استفاده از میدانهای همیوغ باری})$$

ماتریس ستونی میدانهای نوتريینوی مازورانا عبارتست از

$$n = \begin{pmatrix} v_1 \\ \vdots \\ v_N \end{pmatrix}, \quad v_k = v_{kL} + v_{kL}^C, \quad (v_k^C = v_k) \quad (207-3)$$

با استفاده از این میدانهای ماژورانا، می‌توانیم لاغرانژی نوترینوی آزاد را بنویسیم:

$$\mathcal{L}_{\text{mass}}^{\text{D+M}} = \frac{1}{4} \sum_{k=1}^N \overline{v_k} (i \vec{\partial} - m_k) v_k = \bar{n} (i \vec{\partial} - M) n \quad (208-3)$$

نتیجه کلی قطری کردن جمله جرمی دیراک-ماژورانا آن است که نوترینوها ذرات ماژورانا هستند.

۳-۵-۱ برهمنشتهای ضعیف برای آمیختگی دیراک-ماژورانا در سه نسل

در اینجا پیامد آمیختگی نوترینوهای سترون وفعال را بر برهمنشتهای ضعیف بررسی می‌کنیم. بخش

لپتونی لاغرانژی برهمنش جریان باردار (۶۸-۱) را درنظر می‌گیریم.

$$j_{W,L}^\rho = 2 \overline{V_L'} \gamma^\rho l'_L \xrightarrow[(184-3)]{(118-1)} j_{W,L}^\rho = 2 \overline{n_L} U^\dagger \gamma^\rho l_L, \quad U_{\alpha k} = \sum_{\beta=e,\mu,\tau} (V_L^l)_{\alpha\beta} (V_L^v)_{\beta k} \quad (209-3)$$

ماتریس یکانی V_L^l که ماتریس جرمی لپتون باردار را قطری می‌کند 3×3 و ماتریس یکانی V_L^v که ماتریس جرمی دیراک-ماژورانا را قطری می‌کند $N \times N$ است. پس ماتریس U در بالا باید ماتریسی مستطیلی $N \times 3$ باشد. این ماتریس یکانی نیست، زیرا $\mathbf{1} \neq U^\dagger U$ است. هرچند عبارت (۲۰۹-۳) برای مورد دیراک با (۱۲-۳) و برای سه نسل نوترینوی ماژورانا با (۱۲۱-۳) یکی است، مورد دیراک-ماژورانا که در اینجا بررسی می‌کنیم بسیار متفاوت با آن دو می‌باشد. زیرا این ماتریسی $N \times 3$ است که سه نوترینوی طعمدار فعل را به N نوترینوی جرمدار مربوط می‌سازد. یادآوری این امر بسیار مهم است که میدانهای نوترینو طعمدار چپگرد همانند معادلات (۱۲-۳) و (۱۱۲-۳) تعریف می‌شوند.

$$v_L = U n_L = V_L^l V_L' , \quad v_L = \begin{pmatrix} v_{eL} \\ v_{\mu L} \\ v_{\tau L} \end{pmatrix} \quad (210-3)$$

به این ترتیب می‌توان جریان باردار ضعیف را همانند مدل استاندارد نوشت:

$$j_{W,L}^\rho = 2 \overline{V_L} \gamma^\rho l_L = 2 \sum_{\alpha=e,\mu,\tau} \overline{v_{\alpha L}} \gamma^\rho l_{\alpha L} \quad (211-3)$$

پارامتریندی این ماتریس آمیختگی بر حسب $N_s^3 + 3N_s^2$ زاویه آمیختگی و $3 + 3N_s$ فاز می‌باشد. فازها به $1 + 2N_s$ فاز دیراک و $2 + N_s$ فاز ماژورانا تقسیم می‌شوند. آمیختگی نوترینوهای فعال و سترون به صورت زیر می‌باشد.

$$\begin{cases} \nu_{\alpha L} = \sum_{k=1}^N U_{\alpha k} \nu_{kL} (\alpha = e, \mu, \tau) \\ \nu_{sR}^C = \sum_{k=1}^N (V_L^\nu)_{sk} \nu_{kL} (s = s_1, \dots, s_{N_s}) \end{cases} \Rightarrow \begin{cases} N_L = u n_L \\ N_L \equiv \begin{pmatrix} \nu_L \\ \nu_R^C \end{pmatrix}, u \equiv \begin{pmatrix} U & \\ V_L^\nu & \Big|_{N_s \times N} \end{pmatrix} = \begin{pmatrix} V_L^{l\dagger} & V_L^\nu & \\ & \Big|_{r \times N} & \end{pmatrix} \end{cases} \quad (212-3)$$

بحثی که درباره امکان نوسان بین نوترینوهای سترون و فعال در بخش ۲-۴-۳ برای یک نسل شد، اکنون با توجه به نایکانی بودن ماتریس آمیختگی U که بیانگر ناپایستگی احتمال کل طعمهای فعال است، مشاهده می‌شود. اگر بخش نوترینوی لاغرانژی برهمکنش جریان خنثی را درنظر بگیریم.

$$(73-1), (201-3) \Rightarrow j_{Z,\nu}^\rho = \overline{\nu'_L} \gamma^\rho \nu'_L = \overline{\nu_L} \gamma^\rho \nu_L \quad (213-3)$$

V_L^l یکانی است. نایکانی بودن U بیانگر آن است که سازوکار GIM کار نمی‌کند. یعنی جریان خنثی نوترینو بر حسب میدانهای جرمدار قطری نیست.

$$j_{Z,\nu}^\rho = \overline{n_L} \gamma^\rho U^\dagger U n_L \quad (214-3)$$

یعنی درمورد نوترینوی دیراک-ماژورانا گذارهای جریان خنثی می‌تواند بین نوترینوهای جرمدار مختلف برقرار باشد.

۲-۵-۳ سازوکار الکلنگی برای سه نسل نوترینو

سازوکار الکلنگی بخش ۳-۴-۶ را به سه نسل تعمیم می‌دهیم. در (۲۰۴-۳) قرار می‌دهیم.

$$M^{D+M} \equiv \begin{pmatrix} \circ & M^{D^T} \\ M^D & M^R \end{pmatrix} \quad (215-3)$$

عناصر ماتریس جرمی ماژورانا راستگرد M^R بزرگتر از عناصر ماتریس جرمی دیراک M^D هستند. مباحث فیزیکی اینجا هم همانند مورد یک نسل است. اگر همه عناصر M^R بسیار بزرگتر از همه

عناصر M^D باشند، این ماتریس جرمی را می‌توان تا تصحیح مرتبه $(M^R)^{-1} M^D$ با بلوکها قطری کرد
.[۵۱،۵۲]

$$W^T M^{D+M} W \approx \begin{pmatrix} M_{سبک} & & \circ \\ & \circ & M_{سنگین} \end{pmatrix}$$

$$W \approx \begin{pmatrix} 1 - \frac{1}{\sqrt{2}} M^{D^\dagger} (M^R M^{R^\dagger})^{-1} & [(M^R)^{-1} M^D]^\dagger \\ -(M^R)^{-1} M^D & 1 - \frac{1}{\sqrt{2}} (M^R)^{-1} M^D M^{D^\dagger} (M^{R^\dagger})^{-1} \end{pmatrix} \quad (216-3)$$

$$M_{سبک} \approx -M^{D^T} (M^R)^{-1} M^D \quad (3 \times 3) \text{ ماتریس جرمی}$$

$$M_{سنگین} \approx M^R \quad (N_s \times N_s) \text{ ماتریس جرمی}$$

جرمهای سنگین ویژه مقادیر M^R ، و جرمهای سبک ویژه مقادیر M هستند. مقادیر جرمهای سبک نوترینو و اندازه تقریبی آنها بسته به مقادیر ویژه عناصر M^D و M^R در گسترهای بزرگی تغییر می-کنند [۵۳].

۶-۳ آمیختگی سه‌بیشینه برای سه نسل نوترینو

منظور از آمیختگی سه‌بیشینه آن است که مقدار مطلق هر سه عنصر ماتریس آمیختگی با هم برابر باشد. با توجه به روابط یکانی بودن

$$\sum_k |U_{\alpha k}|^2 = 1, \sum_\alpha |U_{\alpha k}|^2 = 1 \Rightarrow |U_{\alpha k}| = \frac{1}{\sqrt{3}} \quad (217-3)$$

اما امکان ساخت ماتریسهای آمیختگی حقیقی با این شرط وجود ندارد [۵۴، ۵۵].

یعنی نقض CP برای برقراری آمیختگی سه‌بیشینه لازم است. با استفاده از پارامتربرندی U^D (۲۸-۳) برای بخش دیراک ماتریس آمیختگی، آمیختگی سه‌بیشینه به ازای $\theta_{13} = \pi/\sqrt{3}$ و $\theta_{23} = \pi/4$ و $\theta_{12} = \delta_{13} = \pm 1$ به دست می‌آید.

$$U^D = \begin{pmatrix} \frac{1}{\sqrt{3}} & \frac{1}{\sqrt{3}} & \pm \frac{i}{\sqrt{3}} \\ -\frac{1}{2} \mp \frac{i}{2\sqrt{3}} & \frac{1}{2} \mp \frac{i}{2\sqrt{3}} & \frac{1}{\sqrt{3}} \\ \frac{1}{2} \mp \frac{i}{2\sqrt{3}} & -\frac{1}{2} \mp \frac{i}{2\sqrt{3}} & \frac{1}{\sqrt{3}} \end{pmatrix} = \frac{1}{\sqrt{3}} \begin{pmatrix} 1 & 1 & \mp i \\ e^{\mp i 5\pi/6} & e^{\mp i \pi/6} & 1 \\ e^{\mp i \pi/6} & e^{\mp i 5\pi/6} & 1 \end{pmatrix} \quad (218-3)$$

و ناوردای یارلسکوگ در معادله (۱۲۶-۳) دارای بیشترین مقدار مطلق خود می‌شوند.

$$J = \pm \frac{1}{\sqrt{3}} \Rightarrow |J| = \frac{1}{\sqrt{3}} = |J|_{\max} \quad (219-3)$$

بنابراین در آمیختگی سه‌بیشینه نقض CP بیشینه است [۵۶].

می‌توان با فازبندی دوباره و مناسب، U^D را در (۲۰۹-۳) را به شکل مناسب‌تری نوشت. به‌گونه‌ای

که هر عنصر آن $1/\sqrt{3}$ برابر یکی از سه‌ریشه‌های معادله $z^3 = 1$ ، یعنی $(e^{\pm i 2\pi/3}, 1)$ باشد. با ضرب سطر دوم و سوم در i و ستون سوم در i (یعنی از میدانهای e, μ, τ, ν_3 فاز i را بیرون می‌کشیم)،

می‌رسیم به

$$U^D = \frac{1}{\sqrt{3}} \begin{pmatrix} 1 & 1 & 1 \\ e^{\pm i 2\pi/3} & e^{\mp i 2\pi/3} & 1 \\ e^{\mp i 2\pi/3} & e^{\pm i 2\pi/3} & 1 \end{pmatrix} \quad (220-3)$$

اگر ν_3 ذره مازورانا باشد، می‌توان فاز i را از فاز مازورانا $e^{i\lambda_3}$ بیرون کشید. همچنین با بیرون کشیدن

فاز $e^{\pm i 2\pi/3}$ از میدانهای e, μ, τ, ν_3 و فاز $e^{\mp i 2\pi/3}$ از میدان ν_2 به عبارت زیر می‌رسیم

$$U^D = \frac{1}{\sqrt{3}} \begin{pmatrix} e^{\mp i 2\pi/3} & e^{\pm i 2\pi/3} & 1 \\ 1 & 1 & 1 \\ e^{\pm i 2\pi/3} & e^{\mp i 2\pi/3} & 1 \end{pmatrix} \quad (221-3)$$

این دو ماتریس آمیختگی از دید فیزیکی همارزند و می‌توان با جایگشت دوره‌ای سطرهای ماتریس

آمیختگی آنها را به دست آورد. این جایگشت دوره‌ای همارز جایگشت دوره‌ای طعم‌ها می‌باشد

$e, \mu, \tau \rightarrow \mu, \tau, e$). همچنین جایگشت دوره‌ای $\mu, \tau, e \rightarrow e, \mu, \tau$ منجر به ماتریس آمیختگی هم-

ارزی می‌شود.

$$U^D = \frac{1}{\sqrt{3}} \begin{pmatrix} e^{\pm i 2\pi/3} & e^{\mp i 2\pi/3} & 1 \\ e^{\mp i 2\pi/3} & e^{\pm i 2\pi/3} & 1 \\ 1 & 1 & 1 \end{pmatrix} \quad (222-3)$$

می‌توان ماتریس‌های آمیختگی همارز را با جایگشت دوره‌ای ستونها، که همان جایگشت دوره‌ای نوترینوهای جرم‌دار ν_1, ν_2, ν_3 باشد، نیز به دست آورد. با استفاده از این ویژگیها در می‌یابیم که جایگشت دو سطر همارز با همیوغ هرمیتی گرفتن است که همه فازهای ماتریس آمیختگی سه‌بیشینه را متضاد هم می‌کند. بنابراین دو ماتریس آمیختگی ناهماز را ناوردای یارلسکوگ متضاد در (۲۱۹-۳) را با هم جایگذاشت. نتیجه آنکه ماتریس آمیختگی سه‌بیشینه جایگشت‌های $e, \mu, \tau \leftrightarrow \mu, \tau, e \leftrightarrow \tau, e, \mu$ و $e, \mu, \tau \leftrightarrow \tau, \mu, \tau \leftrightarrow \tau, \tau, e \leftrightarrow \tau, \nu_1, \nu_2, \nu_3 \leftrightarrow \nu_1, \nu_2, \nu_3 \leftrightarrow \nu_2, \nu_3, \nu_1 \leftrightarrow \nu_3, \nu_1, \nu_2$ ناورداست. در حالیکه جایگایی $\nu_1, \nu_2, \nu_3 \leftrightarrow \nu_1, \nu_3, \nu_2$ دو ماتریس آمیختگی دیراکی ناهماز و سه‌بیشینه با ناورداهای یارلسکوگ متضاد را به یکدیگر تبدیل می‌کند. این ویژگیها پیامد مهمی در نوسانات نوترینو دارد.

۷-۳ آمیختگی N نسل نوترینو

در اینجا ماتریس جرمی $N \times N$ نوترینوی مازورانا را با $> 3 < N$ همانند آمیختگی دیراک-مازورانا در بخش ۵-۳ در نظر می‌گیریم. همانگونه که در بخش ۵-۳ توضیح داده شد، ماتریس آمیختگی U در لاغرانژی برهمکنش ضعیف جریان باردار

$$\mathcal{L}_{I,L}^{CC} = -\frac{g}{\sqrt{2}} \sum_{k=1}^N \sum_{\alpha=e,\mu,\tau} \overline{l_{\alpha L}} \gamma^\rho U_{\alpha k} \nu_{k L} + \text{H.c.} = -\frac{g}{\sqrt{2}} \overline{l_L} \gamma^\rho U n_L + \text{H.c.} \quad (223-3)$$

ماتریسی $N \times 3$ است.

$$U = V_L^l V_L^\nu \quad (224-3)$$

که V_L^l ماتریسی یکانی است که در قطری کردن ماتریس جرمی لپتون باردار در معادله (۱۱۶-۱۱) شرکت می‌کند. ماتریس U همانگونه که پیش از این هم نشان دادیم یکانی نیست.

برای بحث کلی درباره پارامتریندی U ، $N = N_A + N_s$ را می‌نویسیم، که 3 تعداد طعمهای $N_A \times N_s$ تعداد میدانهای نوترینوی سترون است. بنابراین U ماتریسی مستطیلی با ابعاد $N_A \times N$ است که در رابطه

$$UU^\dagger = \mathbf{1} \quad (225-3)$$

$$U^\dagger U \neq \mathbf{1} \quad (226-3)$$

صدق می‌کند. بطور کلی ماتریس مستطیلی مختلط $N_A \times N$ به $2N_A N$ پارامتر حقيقی بستگی دارند. از آنجا که $\mathbf{1}$ در (226-3) ماتریس یکه است، معادله (202-3) تعداد N_A^2 قید اعمال می‌کند که شمار پارامترهای مستقل حقيقی را به

$$N_A(N_A + 2N_s) \quad (227-3)$$

کاهش می‌دهد. برای آنکه دریابیم چه شمار از این پارامترهای حقيقی، زاویه‌های آمیختگی و چه شماری فاز هستند، ماتریس V با ابعاد $N \times N$ را بررسی می‌کنیم. این ماتریس به $\frac{1}{2}N(N-1)$ زاویه و $\frac{1}{2}N(N+1)$ فاز بستگی دارد. می‌توانیم V را با استفاده از همان روش بخش ۲-۳-۲ بسازیم.

$$V = D(\omega) \left[\prod_{a < b} W^{ab}(\theta_{ab}, \eta_{ab}) \right] \quad (a, b = 1, \dots, N) \quad (45-2)$$

پارامترها و متغیرها همانهایی هستند که در بخش (2-۳-۲) توضیح داده شد. اکنون با گرفتن N_A سطر نخست از ماتریس V ، ماتریس مستطیلی U را با ابعاد $N_A \times N$ می‌سازیم.

$$U = [D(\omega)]_{N_A \times N_A} \left[\prod_{a=1}^{N_A} \prod_{b=a+1}^N W^{ab}(\theta_{ab}, \eta_{ab}) \right]_{N_A \times N} \quad (228-3)$$

با استفاده از ماتریس (228-3) می‌توانیم زوایای آمیختگی و فازها را در U تعیین کنیم. ترکیب اندیسهای ab در معادله (228-3) عبارتند از

$$\begin{matrix} 12 & & & \\ 13 & 23 & \cdots & \\ \vdots & \vdots & \ddots & \\ N_A & 2N_A & \cdots & (N_A-1)N_A \end{matrix} \left. \begin{matrix} N_A(N_A-1) \\ \vdots \\ N_AN_s \end{matrix} \right\} \quad (229-3)$$

$$\begin{matrix} 1(N_A+1) & 2(N_A-1) & \cdots & (N_A-1)(N_A+1) & N_A(N_A+1) \\ \vdots & \vdots & \vdots & \vdots & \vdots \\ N & 2N & \cdots & (N_A-1)N & N_AN \end{matrix} \right\} N_AN_s$$

بنابراین

$$\frac{N_A(N_A-1)}{2} + N_AN_s = 3+3N_s \quad (230-3)$$

$$\frac{N_A(N_A+1)}{2} + N_AN_s = 6+3N_s \quad \text{شمار فازها} \quad (231-3)$$

می‌باشد که کل فازهای η_{ab} و ω_a را می‌شمارد. مجموع این تعداد زاویه آمیختگی و فاز دقیقاً برابر با

شمار پارامترهای حقیقی معادله (227-3) می‌باشد. می‌توان N_A فاز را با فازبندی دوباره و مناسب

میدانهای لپتونی باردار در لاغرانژی برهمکنش ضعیف جریان باردار (223-3) حذف کرد، بنابراین

همه فازهای شمرده شده در (231-3) فیزیکی نیستند. شمار فازهای فیزیکی برابر با

$$\frac{N_A(N_A-1)}{2} + N_AN_s = 3+3N_s \quad \text{فاز فیزیکی} \quad (232-3)$$

که دقیقاً برابر با (230-3) می‌باشد. این موضوع از (228-3) نیز روشن بود، زیرا نشان می‌داد که

فازهای ω_a را می‌توان با فازبندی دوباره و مناسب میدانهای لپتون باردار حذف کرد و به‌ازای هر زاویه

آمیختگی θ_{ab} ، یک فاز فیزیکی η_{ab} بر جای می‌گذارد. بنابراین پارامتریندی ممکن آمیختگی بر حسب

پارامترهای فیزیکی از معادله (228-3) با حذف ماتریس یکانی قطری $[D(\omega)]_{N_A \times N_A}$ به دست می‌آید.

ماتریس آمیختگی U را به شکل زیر می‌نویسیم:

$$U = [\text{ماتریس}]_{N_A \times N_A} D^M \quad (233-3)$$

$$D^M = \text{diag}(e^{i\lambda_1}, e^{i\lambda_2}, \dots, e^{i\lambda_N})$$

$$\begin{aligned}
\lambda_1 &= 0 \\
\lambda_2 &= \eta_{12} \\
\lambda_3 &= \eta_{13} + \eta_{23} \\
\eta'_{ab} &= \eta_{ab} + \lambda_b - \lambda_a \quad (a = 1, \dots, N_A; b = N_A + 1, \dots, N)
\end{aligned} \tag{234-3}$$

می‌توان تعداد N_s فاز λ_b را به‌گونه‌ای برگزید تا η'_{ab} حذف شود. به این ترتیب فازهای فیزیکی به دو دستهٔ زیر جدا می‌شوند:

$$N - 1 = 2 + N_s \quad \text{تعداد فازهای مازوران} \tag{235-3}$$

که می‌توان از آنها در ماتریس قطری D^M معادله (233-3) فاکتورگیری کرد و تعداد

$$\frac{(N_A - 1)(N_A - 2)}{2} + (N_A - 1)N_s = 1 + 2N_s \quad \text{فاز دیراک} \tag{212-3}$$

مثلاً می‌توان به‌ازای $b = 4, \dots, N$ برگزید.

نتیجه‌گیری کلی:

پدیده‌شناسی جرم‌های نوترینو و ماتریس آمیختگی دریچه‌ای بر فیزیک ماورای مدل استاندارد همچون نظریه‌های ابرتقارنی می‌باشد. در حالیکه از دید پدیدارشناسی می‌توانیم جرم نوترینوها و آمیختگی نوترینوها را توصیف کنیم، اطلاعات بسیار اندکی برای تصمیم‌گیری درباره بنیان فیزیک نهان در جرم نوترینوها در اختیار داریم. هرچند تعمیم اندکی که بر مدل استاندارد دادیم نظریه‌ای الکتروضعیف در انرژی پایین می‌باشد و سه حالت راستگرد نوترینو را هم در بر می‌گیرد اما کامل و دقیق نمی‌باشد. نظریه جامع ممکن است بسیار پیچیده‌تر باشد. اندیشه‌های اصلی مبنی بر ماژورانا بودن نوترینوها و تفاوت نوترینوهای ماژورانا و دیراک به تفصیل بیان شد. همچنین با جزئیات نشان داده شد که چگونه ماژورانا بودن نوترینو (یعنی یکسانی ذره و پادذره) منجر به نقض پایستگی عدد لپتونی می‌شود. نوسانات نوترینو و تبدیل طعمهای مختلف نوترینو به یکدیگر و نیز احتمال نوسان نوترینو بررسی شد. سازوکار الکلنگی را شرح دادیم و نشان دادیم که چگونه هر دو جمله جرمی دیراکی و ماژورانا در آن وجود دارد. بدین ترتیب که حالت آغازین نوترینو به صورت ذره دیراکی می‌باشد اما تحت تأثیر جمله جرمی ماژورانا به دو حالت نوترینویی شکسته می‌شود، به‌گونه‌ای که حاصلضرب این دو جرم جدید برابر با مجذور جرم دیراکی می‌باشد. این رابطه همانند دونیم‌شدگی حالتها در مکانیک کوانتمی تحت اختلالی کوچک است. همچنین نقض CP به تفصیل بررسی شد. نوسانات نوترینو تنها مقدار تفاوت مجذور جرمی را برای نوترینوها تعیین می‌کنند. آشکارسازی واپاشی‌های بتازای دوگانه بدون نوترینو برای تعیین مقیاس جرم نوترینوها و تأیید محکم سرشت ماژورانای نوترینو بسیار مهم است. وجود نوترینوهای سترون بررسی شد، که در حل مشکلات مربوط به فیزیک ماورای مدل استاندارد به‌ویژه منشای ناتقارنی بین ماده و پادماده بسیار زیاد است.

با توجه به مطالب گفته شده در این پایان‌نامه، پرسش‌های بنیادین و اصلی درباره فیزیک نوترینو را می‌توان به خلاصه چنین عنوان کرد:

۱) سبب کوچکی جرم نوترینو و U_{e3} در چیست؟ ۲) سرشت فازهای CP در بخش لپتونی مدل استاندارد و رابطه آن با فازهای CP که ممکن است سبب لپتون‌زاپی (و همچنین باریون‌زاپی در این پایان‌نامه به این امر اشاره‌ای نشده است) چیست؟ ۳) طیف جرمی نوترینو به صورت کامل به چه شکلی می‌باشد؟

با حرکت به سوی اندازه‌گیری دقیق نوترینو این پرسشها و همچنین دیگر پرسشها که مربوط به اخترفیزیک نوترینو، مدل‌های ابرتقارنی، و... می‌شود، حوزه‌ای بس جذاب برای پژوهش درباره نوترینو می‌باشد.

پیوست الف

مختصری درباره نظریه‌های پیمانه‌ای

مختصری درباره نظریه‌های پیمانه‌ای

گروه لی G از مرتبه N را درنظرمی‌گیریم که دارای N مولد T_a ($a=1, \dots, N$) می‌باشد. این مولدها در رابطه جابجایی (جبر لی) زیر صدق می‌کنند.

$$[T_a, T_b] = i f_{abc} T_c \quad (\text{الف-1})$$

که f_{abc} اعداد حقیقی و در واقع ثوابت ساختاری گروه می‌باشند. این مولدها عناصر infinitesimal گروه هستند، یعنی بسیار نزدیک به واحد می‌باشد.

$$g(\varepsilon) = 1 + i \underline{\varepsilon} \cdot \underline{T} \quad (\text{الف-2})$$

که $(\underline{\varepsilon})$ از N پارامتر حقیقی infinitesimal می‌باشد. عناصر infinitesimal $\underline{\varepsilon} \equiv (\varepsilon_1, \dots, \varepsilon_N)$ با از انتگرال‌گیری عناصر infinitesimal $\underline{\theta} \equiv (\theta_1, \dots, \theta_N)$ به دست می‌آید.

در نظریه میدان، نمایش یکانی n بعدی گروه G به شکل زیر بدست می‌آید.

$$\Psi = \begin{pmatrix} \psi_1 \\ \vdots \\ \psi_N \end{pmatrix} \quad \text{۱. مجموعه } n \text{ میدان } (r=1 \dots N), \psi_r \text{ که می‌توان آنها را به شکل} \quad \text{نوشت. به}$$

این میدانها، میدان‌های مادی گویند. زیرا برای توصیف فرمیون‌ها و بوزون‌های اسکالار هیگز به کار می‌آیند.

۲. مجموعه $(\underline{L}_1, \dots, \underline{L}_N)$ از N ماتریس هرمیتی $n \times n$ تشکیل شده است که نمایش n بعدی از مولدها می‌باشد. یعنی در روابط جابجایی

$$[L_a, L_b] = i \sum_{c=1}^N f_{abc} L_c \quad (\text{الف-3})$$

ماتریسهای L_a مستقلند و معمولاً به‌گونه‌ای انتخاب می‌شوند که در روابط تعامل بهنگاری^۱ صدق می‌کند.

$$\text{Tr}(L_a L_b) = \frac{1}{2} \delta_{ab} \quad (\text{الف-4})$$

به ازای هر عضو گروه، نگاشتی $U(\underline{\theta}) \mapsto U(\underline{\theta}) g(\underline{\theta})$ وجود دارد که $n \times n$ ماتریس یکانی است.

$$U(\underline{\theta}) = e^{i \underline{\theta} \cdot \underline{L}} \equiv \exp \left(i \sum_{a=1}^N \theta_a L_a \right) \quad (\text{الف-5})$$

که تبدیلات میدان‌های مادی را ایجاد می‌کند.

^۱ Orthonormality

$$\Psi(x) \rightarrow \Psi'(x) = U(\underline{\theta}) \Psi(x) \quad (\text{الف-6})$$

با معلوم بودن نمایش ماتریس n بعدی مولدها، می‌توان مقادیر ثوابت ساختاری را به طریق زیر معلوم کرد.

$$[L_a, L_b] L_c = i \sum_{c=1}^N f_{abc} L_c L_c \Rightarrow \text{Tr}([L_a, L_b] L_c) = i \text{Tr}(\sum_{c=1}^N f_{abc} L_c L_c) = i \frac{1}{2} \delta_{cc} f_{abc}$$

$$(3) \Rightarrow f_{abc} = -\frac{1}{2} i \text{Tr}([L_a, L_b] L_c) \quad (\text{الف-7})$$

تحت تبدیلات پیمانهای موضعی $\mathcal{L}(x) = \mathcal{L}(\psi_r(x), \partial_\mu \psi_r(x))$ ناوردا نمی‌شود زیرا مشتق میدانی $\partial_\mu \psi_r(x)$ مانند $\psi_r(x)$ تبدیل نمی‌یابد و تبدیل آن ناهمگن است.

$$\partial_\mu \psi_r(x) \rightarrow \partial_\mu \psi'_r(x) = \partial_\mu (U(\underline{\theta}) \psi(x)) = U(\underline{\theta}) \partial_\mu (\psi(x)) + \partial_\mu (U(\underline{\theta})) \psi(x) \quad (\text{الف-8})$$

مثلًا برای فرمیون‌ها، میدان‌های مادی ψ جمله جنبشی در لاغرانژی دیراک

$$\bar{\Psi}(x) \not{\partial}_\mu \Psi(x) \rightarrow \bar{\Psi}'(x) \not{\partial}_\mu \Psi'(x) = \bar{\Psi}(x) \not{\partial}_\mu \Psi(x) + \bar{\Psi}(x) [U^\dagger(\underline{\theta}(x)) \not{\partial}(U(\underline{\theta}))] \Psi(x) \quad (\text{الف-9})$$

اگر به جای ∂_μ ، مشتق هموردای D_μ را قرار دهیم، لاغرانژین تحت تبدیلات پیمانهای موضعی ناوردا می‌شوند و تبدیل $D_\mu \psi$ همگن و برابر با تبدیل ψ می‌باشد.

$$D_\mu \psi \rightarrow D'_\mu \psi' = U(\underline{\theta}) D_\mu \psi \quad (\text{الف-10})$$

و چون D_μ می‌باشد، تبدیل D_μ به صورت زیر است.

$$D_\mu \rightarrow D'_\mu = U(\underline{\theta}) D_\mu U^{-1}(\underline{\theta}) \quad (\text{الف-11})$$

این تبدیل با تعریف زیر برای D_μ حاصل می‌شود.

$$D_\mu \equiv \partial_\mu + i g \underline{A}_\mu \cdot \underline{L} \quad (\text{الف-12})$$

که g ثابتی حقیقی و $\underline{A}_\mu \equiv (A_1, \dots, A_N)$ مجموعه‌ای از N میدان پیمانهای برداری حقیقی می‌باشد. تبدیل D_μ به صورت زیر درست آید.

$$\begin{aligned} (\partial_\mu + i g \underline{A}' \cdot \underline{L}) \psi &= U(\underline{\theta}) [\partial_\mu + i g \underline{A} \cdot \underline{L}] U^{-1}(\underline{\theta}) \psi = \\ &= U(\underline{\theta}) \left\{ U^{-1}(\underline{\theta}) \partial_\mu \psi + [\partial_\mu U^{-1}(\underline{\theta})] \psi \right\} + i g U(\underline{\theta}) \underline{A}_\mu \cdot \underline{L} U^{-1}(\underline{\theta}) \\ &= \partial_\mu + U(\underline{\theta}) [\partial_\mu U^{-1}(\underline{\theta})] + i g U(\underline{\theta}) \underline{A}_\mu \cdot \underline{L} U^{-1}(\underline{\theta}) \end{aligned} \quad (\text{الف-13})$$

بنابراین تبدیل $\underline{A} \cdot \underline{L}$ از رابطه زیر به دست می‌آید.

$$\underline{A} \cdot \underline{L} \rightarrow \underline{A}' \cdot \underline{L} = U(\underline{\theta}) [\underline{A}_\mu \cdot \underline{L} - \frac{i}{g} \partial_\mu] U^{-1}(\underline{\theta}) \psi \quad (\text{الف-14})$$

تبدیل صریح میدان‌های پیمانهای A_a^μ را می‌توان با در نظر گرفتن تبدیل infinitesimal

$$U(\varepsilon(x)) = 1 + i \underline{\varepsilon}(x) \cdot \underline{L} \quad (\text{الف-15})$$

$$\delta \underline{A}_\mu \cdot \underline{L} = i [\underline{\varepsilon} \cdot \underline{L}, \underline{A}_\mu \cdot \underline{L}] - \frac{1}{g} \partial_\mu \underline{\varepsilon} \cdot \underline{L} \quad (\text{الف-16})$$

$$\sum_{a=1}^N \delta A_a^\mu L_a = - \sum_{a,b,c=1}^N f_{abc} \varepsilon_a A_b^\mu L_c - \frac{1}{g} \sum_{a=1}^N \partial_\mu \varepsilon_a L_a \quad (\text{الف-17})$$

با استفاده از رابطه تعامدبهنجاری $\text{Tr}(L_a L_b) = \frac{1}{2} \delta_{ab}$ در می‌باییم که A_a^μ از رابطه زیر به دست می‌آید.

$$\delta A_a^\mu = \sum_{b,c=1}^N f_{abc} A_b^\mu \varepsilon_c - \frac{1}{g} \partial_\mu \varepsilon_a \quad (\text{الف-18})$$

تبديل میدان‌های پیمانه‌ای مستقل از نمایش \underline{L} مولدهای گروه است.

$$\delta \underline{A}_\mu = \underline{A}_\mu \times \underline{\varepsilon} - \frac{1}{g} \partial_\mu \underline{\varepsilon} \quad (\text{الف-19})$$

(توجه: اگر گروه موردنظر $SU(2)$ باشد، آنگاه $N=3$ و $f_{abc}=\varepsilon_{abc}$ می‌باشد. در این حالت نمادگذاری فوق همان نمادگذاری معمول در ضرب برداری دو، سه بردار می‌باشد).

$$(A^\mu \times \varepsilon)_a = \sum_{b,c=1}^N f_{abc} A_b^\mu \varepsilon_c \quad (\text{الف-20})$$

شايان ذكر است که تغيير جزئی^۱ ميدان‌های پیمانه‌ای A_a^μ تعميمی بر حالت غير آبلی تغيير جزئی شناخته شده ميدان الکترومغناطيسی می‌باشد.

$$\delta A_\mu = -\frac{1}{e} \partial_\mu \theta \quad (\text{الف-21})$$

^۱: بهنظر می‌آيد واژه وردش واژه مناسبی نباشد. زیرا در زبان فارسی مصدر وردیدن وجود ندارد که بخواهیم اسم مصدر وردش بسازیم.

تحت تقارن موضعی (۱) $U(\mu)$ می‌باشد. جمله اضافی $\sum_{b,c=1}^N f_{abc} A_b^\mu \varepsilon_c$ ویژگی گروههای ناآلبی می‌باشد.

انتخاب D_μ بجای ∂_μ سبب ایجاد جملات جفت‌شده‌ی میدان‌های پیمانه‌ای A^μ با میدان‌های مادی

\mathcal{L}_r می‌شود. مثلًا برای میدان‌هایی با اسپین $\frac{1}{2}$ ، لاگرانژی دیراک، جمله جنبشی منجر می‌شود به

$$i \bar{\Psi} \not{D} \Psi = i \bar{\Psi} \not{\partial}_\mu \Psi - g \bar{\Psi} \underline{A} \cdot \underline{L} \Psi \quad (22)$$

بنابراین تقارن پیمانه‌ای موضعی لاگرانژین دلالت بر وجود

(۱) مجموعه‌ای از میدان‌های پیمانه‌ای برداری

(۲) برهمکنش میدان‌های پیمانه‌ای با میدان‌های مادی می‌باشد. این برهمکنش با قدرت ثابت

جفت‌شده‌ی g انجام می‌شود.

تعیین جمله جنبشی لاگرانژین برای میدان‌های پیمانه‌ای A_a^μ

برای این منظور باید حالت غیرآلبی تانسور الکترومغناطیسی را تعمیمی مناسب بدھیم.

$$F^{\mu\nu} = \partial^\mu A^\nu - \partial^\nu A^\mu \quad (23)$$

و جمله جنبشی الکترومغناطیسی

$$\mathcal{L}_{(\gamma)} = -\frac{1}{4} F^{\mu\nu} F_{\mu\nu} \quad (24)$$

تعمیم جمله جنبشی به حالت غیرآلبی راحت است.

$$\mathcal{L}_{(\gamma)} = -\frac{1}{4} \underline{A}^{\mu\nu} \cdot \underline{A}_{\mu\nu} = -\frac{1}{4} \text{Tr}[(\underline{A}^{\mu\nu} \cdot \underline{L})(\underline{A}_{\mu\nu} \cdot \underline{L})], \quad \underline{A}_\mu \equiv (A_1, \dots, A_N) \quad (25)$$

از طرفی تعمیم معمول و ساده (الف-۲۳) برقرار نمی‌باشد، زیرا جمله جنبشی متناظر تحت تبدیل

پیمانه‌ای (الف-۱۴) ناوردا نمی‌باشد.

برای آنکه عبارت صحیحی برای $A^{\mu\nu}$ بیابیم، جابجاگر $[D^\mu, D^\nu]$ را محاسبه می‌کیم.

$$\begin{aligned} [D^\mu, D^\nu] &= [\partial_\mu + i g \underline{A}_\mu \cdot \underline{L}, \partial^\nu + i g \underline{A}^\nu \cdot \underline{L}] = \\ &= [\partial^\mu, \partial^\nu] + i g [\partial^\mu, \underline{A}^\nu \cdot \underline{L}] + i g [\underline{A}^\mu \cdot \underline{L}, \partial^\nu] - g^\nu [\underline{A}_\mu \cdot \underline{L}, \underline{A}^\nu \cdot \underline{L}] \\ &= \circ + i g \partial^\mu \underline{A}^\nu \cdot \underline{L} + i g (-\partial^\nu \underline{A}^\mu \cdot \underline{L}) - g^\nu [\underline{A}_\mu \cdot \underline{L}, \underline{A}^\nu \cdot \underline{L}] \\ &= i g \left(\partial^\mu \underline{A}^\nu \cdot \underline{L} - \partial^\nu \underline{A}^\mu \cdot \underline{L} + i g [\underline{A}_\mu \cdot \underline{L}, \underline{A}^\nu \cdot \underline{L}] \right) = \\ &= i g \left(\partial^\mu \underline{A}^\nu - \partial^\nu \underline{A}^\mu - g \underline{A}^\mu \times \underline{A}^\nu \right) \cdot \underline{L} \end{aligned} \quad (26)$$

می‌بینیم که در حاصل جابجاگر، مشتقهایی که بر میدان‌های پیمانه‌ای عمل نمی‌کنند، ناپدید می‌شوند، علاوه بر آن با توجه به قانون تبدیل مشتق هموردا (الف-۱۱) تبدیل $[D^\mu, D^\nu]$ به صورت زیر درمی‌آید.

$$[D^\mu, D^\nu] \rightarrow [D'^\mu, D'^\nu] = U(\underline{\theta})[D^\mu, D^\nu]U^{-1}(\underline{\theta}) \quad (\text{الف-۲۷})$$

بنابراین $\text{Tr}\left\{ [D^\mu, D^\nu][D_\mu, D_\nu] \right\}$ تحت تبدیل پیمانه‌ای موضعی ناورداست و عبارت صحیح برای $\underline{A}^{\mu\nu} \cdot \underline{L}$ در معادله (الف-۲۵) به صورت زیر است.

$$\underline{A}^{\mu\nu} \cdot \underline{L} = -\frac{i}{g}[D^\mu, D^\nu] = (\partial^\mu \underline{A}^\nu - \partial^\nu \underline{A}^\mu - g \underline{A}^\mu \times \underline{A}^\nu) \cdot \underline{L} \quad (\text{الف-۲۸})$$

در نتیجه

$$A_a^{\mu\nu} = \partial^\mu A_a^\nu - \partial^\nu A_a^\mu - g \sum_{b,c=1}^N f_{abc} A_b^\mu A_c^\nu \quad (a=1, \dots, N) \quad (\text{الف-۲۹})$$

شایان توجه است که تعمیم به حالت غیرآبلی تانسور الکترومغناطیسی در معادله (الف-۲۳) مستلزم اضافه نمودن جمله جدیدی است که بحسب میدان‌های پیمانه‌ای از درجه دوم باشد. بنابراین لاگرانژین در معادله (الف-۲۵) نه تنها شامل جمله جنبشی از میدان‌های پیمانه‌ای می‌شود، بلکه جملات خود انرژی میدان‌های پیمانه‌ای را هم دربر دارد.

$$\begin{aligned} \mathcal{L}_{(A)} &= -\frac{1}{4}(\partial^\mu \underline{A}^\nu - \partial^\nu \underline{A}^\mu) \cdot (\partial_\mu \underline{A}_\nu - \partial_\nu \underline{A}_\mu) \\ &\quad + \frac{1}{2}(\partial^\mu A_a^\nu - \partial^\nu A_a^\mu) f_{abc} A_{b\mu} A_{c\nu} \quad (\text{الف-۳۰}) \\ &\quad - \frac{1}{4}g^a f_{abc} f_{ade} A_b^\mu A_c^\nu A_d^\mu A_{e\nu} \end{aligned}$$

در حالت آبلی میدان‌های پیمانه‌ای با خود برهمنکنش نمی‌کنند. (فوتون که بار الکتریکی ندارد) در حالت غیرآبلی میدان‌های پیمانه‌ای می‌توانند حامل بار باشند و بین خودشان برهمنکنش کنند. ثابت جفت‌شدنی g اهمیتی بنیادین دارد، زیرا هم قدرت خودبرهمنکنش میدان‌های پیمانه‌ای و هم قدرت برهمنکنش این میدان‌ها را با میدان‌های مادی تعیین می‌کند.

پیوست ب
لاگرانژین در نظریه کوانتمی میدان

لاگرانژین در نظریه کوانتمی میدان

در نظریه کوانتمی میدان، کوانتش کانونی با تعریف تکانه همیوغ کانونی برای میدانهای r ، به صورت

$$\pi_r = \frac{\partial \mathcal{L}}{\partial(\partial_\mu \psi_r)} \quad (\text{ب-}1)$$

و اعمال روابط زیر در همه زمانها بین آنها انجام می‌گیرد.

$$\begin{aligned} [\psi_r(t, \vec{x}), \pi_s(t, \vec{y})]_\pm &= i \delta_{rs} \delta^\mu(\vec{x}, \vec{y}) \\ [\psi_r(t, \vec{x}), \psi_s(t, \vec{y})]_\pm &= [\pi_r(t, \vec{x}), \pi_s(t, \vec{y})]_\pm = 0 \end{aligned} \quad (\text{ب-}2)$$

علامت مثبت مربوط به پادجایجی برای میدانهای فرمیونی و علامت منفی مربوط به جایجایی برای میدانهای بوزونی می‌شود.

قضیه نورث بین تقارنهای تحت تبدیلات پیوسته و قوانین پایستگی ارتباط بقرار می‌کند. برای تبدیل بسیار ناچیز n میدان r ،

$$\psi_r(x) \rightarrow \psi_r(x) + \varepsilon \delta \psi_r(x) \quad (\text{ب-}3)$$

که مقدار ε بسیار کوچک و تغییر ψ_r تحت هیچ قیدی نیست، میدانها باید در معادلات اولر-لاگرانژ صدق کنند.

$$\partial_\mu \frac{\partial \mathcal{L}}{\partial(\partial_\mu \psi_r)} - \frac{\partial \mathcal{L}}{\partial \psi_r} = 0 \quad (r = 1, 2, \dots, n) \quad (\text{ب-}4)$$

تبدیلات معادله (ب-3) تفعلن است، اگر معادلات میدان (ب-4) ناوردا بمانند، یعنی کنش $I_\Omega \equiv \int_\Omega d^4x \mathcal{L}(\psi_r(x), \partial_\mu \psi_r(x))$ ناوردا بماند که به معنای عدم شرکت جمله سطحی در معادلات میدان است. بنابراین تبدیل (ب-3) تفعلن است اگر لاگرانژین تا چهار-دیورژانس ناوردا باقی بماند.

$$\mathcal{L}(x) \rightarrow \mathcal{L}(x) + \varepsilon \partial_\mu \delta \psi_r(x) \quad (\text{ب-}5)$$

از طرفی بنا بر اصل وردش، باید میدانها به گونه‌ای باشند که کنش (Ω) I پایا باشد.

$$\delta_V I(\Omega) \equiv \delta_V \int_\Omega d^4x \mathcal{L}(\psi_r(x), \partial_\mu \psi_r(x)) = 0 \quad (\text{ب-}6)$$

که این شرط به‌ازای تغییرات بسیار کوچک و جزئی میدانها است. یعنی میدانها بر ابرسطح S دواردور ناحیه ناحیه فضا زمان Ω صفر شوند.

پیوست ج

کایرالیتی Chirality

واژه chirality از واژه یونانی $\chi \epsilon i \rho$ به معنای دست مشتق شده است. کایرالیتی ویژگی ناتقارنی بسیار مهمی در شاخه‌های مختلف از دانش (فیزیک، شیمی، ریاضی) است. جسمی را کایرال می‌گویند که با تصویر آینه‌ای خود متفاوت باشد. به دیگر سخن نتوان تصویر آینه‌ای را بر جسم اصلی منطبق کرد.

مشاهده می‌شود که تنها فرمیونهای چپگرد در برهمکنشهای ضعیف شرکت می‌کنند. آزمایش‌هایی که برای آزمودن این موضوع انجام گرفته است حاکی از آن است که جهان دارای ارجحیت چپگردی است، که تقارن بین دیگر نیروهای طبیعت را برهم می‌زنند.

کایرالیتی میدانهای فرمیونی با عملگر^۵ با γ^5 و بیژه مقادیر $1 \pm \frac{1+\gamma^5}{2}$ بر γ^5 به دو مؤلفه چپگرد یا دیراکی را می‌توان با استفاده از اعمال عمگر تصویر $\frac{1-\gamma^5}{2}$ یا $\frac{1+\gamma^5}{2}$ راستگرد تصویر کرد. جفت‌شدنگی برهمکنش ضعیف با فرمیونها متناسب با چنین عملگر تصویری انجام می‌شود که سبب نقض تقارن پاریتی می‌گردد.

باید دقت شود که تنها برای ذرات بدون جرم عملگر کایرالیتی یا عملگر هلیسیتی یکسان است. برای ذرات جرمدار هلیسیتی وابسته به چارچوب ذره است و درنتیجه ممکن است به نظر آید که ذره-ای در یک چارچوب مرجع برهمکنش ضعیف دارد اما در چارچوب مرجع دیگر چنین برهمکنشی ندارد. (به‌همین دلیل در مدل استاندارد نوترینو ذره بدون جرم است نوترینوی راستگرد در این مدل وجود ندارد. در مدل استاندارد نوترینو ذره بدون جرم درنظر گرفته می‌شود تا با سرعت c سیر کند و هیچ چارچوب مرجعی نباشد که نوترینو در آن دارای هلیسیتی راستگرد باشد، یا به دیگر سخن هلیسیتی آن مستقل از چارچوب مرجع باشد).

برای ذرات جرمدار، هلیسیتی با کایرالیتی یکسان نیست و بنابراین برهمکنش ضعیف هیچ وابستگی به چارچوب ندارد و ذره در هر چارچوبی با نیروی ضعیف برهمکنش می‌کند.

توضیح این نکته ضروری به نظر می‌آید که «دستینگی» و «دستوارگی» هیچ کدام ترجمة مناسبی برای واژه کایرالیتی نمی‌باشد. در زبان فارسی دستینه به معنای النگو و حلقة^۱ طلا و نقره و امثال آن باشد که زنان بر دست کنند.^۲ همچنین به معانی دستکش و پوشک دست، و به معنی دستبندی است که روز جنگ به دست بندند.^۳ نیز به معنی دسته طببور و عود و رباب و مانند آن است.^۳ همچنین به معنای مکتوبی است که به دست خود بنویسند. دستواره به معنی عصا و چوب دست شبانان و نیز به معنای رنج دست است [۵۷].

^۱ گهی دستینه از دستش ربودی بازوبندیش بازو نمودی (نظامی).

^۲ اساوره و دستینه های زر در دست راست کرد برسیل اکرام . (فارسنامه^۰ ابن البخت)
^۳ دستینه بسته بربط و گیسو گشاده چنگ یعنی درم خریده عیدیم و چاکرش (خاقانی).

مراجع

- [١] S. L. Glashow, Nucl. Phys., 22, 579–588, 1961.
- [٢] E. Leader & E. Predazzi, Camb. Monogr. Part. Phys. Nucl. Phys. Cosmol., 4, 1-431, 1966.
- [٣] P. W. Higgs, Phys. Lett. 12, 132-133, 1964.
- [٤] P. W. Higgs, Phys. Rev. Lett., 13, 508-509, 1964.
- [٥] P. W. Higgs, Phys. Rev., 145, 1156-1163, 1966.
- [٦] F. Englert & R. Brout, Phys. Rev. Lett., 13, 321-322, 1964.
- [٧] G.S. Guralnik , C.R. Hagon, & T. W. B. Kibble, Phys. Rev. Lett., 13, 585-587, 1964.
- [٨] T. W. B. Kibble, Phys. Rev., 155, 1554-1561, 1967.
- [٩] S. Eidelman et al., Phys. Lett., B592, 1, 2004.
- [١٠] S. F. Novaes, 2000, hep-ph/0001283, 10th Jorge Andre Swieca Summer School: Particle and Fields, Sao Paulo, Brazil, 31 Jan – 12 Feb 1999.
- [١١] S.L. Glashow, J. Iliopoulos, & L. Maiani, P.R.D. 2, 1285-1292, 1970
- [١٢] E. Leader & Predazzi, Camb. Mngr. Part. Phys. Nucl. Phys. Cosmo., 4, 1-431, 1996
- [١٣] C. Itzykson & J. B. Zuber, Quantum Field Theory, McGraw-Hill, 1980, International Series in Pure and Applied Physics.
- [١٤] S. M. Bilenky and S. T. Petcov, Rev. Mod. Phys., 59, 671, 1987.
- [١٥] N. Cabibbo, Phys. Rev. Lett., 10, 531–532, 1963.
- [١٦] F. D. Murnaghan, The Unitary and Rotation Groups, Spartan Articles, 1962.
- [١٧] J. Schechter and J. W. F. Valle, Phys. Rev., D21, 309, 1980.

- [¹⁸] J. Schechter and J. W. F. Valle, Phys. Rev., D22, 2227, 1980.
- [¹⁹] C. Giunti, C. W. Kim, and M. Monteno, Nucl. Phys. , B521, 3-36, 1998, hep-ph/9709439.
- [²⁰.] C. Giunti and M. Tanimoto, Phys. Rev., D66, 113006, 2002, hep-ph/0209169.
- [²¹] L.-L. Chau and W.-Y. Keung, Phys. Rev. Lett., 53, 1802, 1984.
- [²²] L. Wolfenstein, Phys. Rev. Lett., 51, 1945, 1983.
- [²³] A. J. Buras, M. E. Lautenbacher, and G. Ostermaier, Phys. Rev., D50, 3433–3446, 1994, hep-ph/9403384.
- [²⁴] M. Battaglia et al., 2003, hep-ph/0304132, First Workshop on the CKM Unitarity Triangle, CERN 13–16 February 2002.
- [²⁵] O. Nachtmann, Elementary Particle Physics: Concepts and Phenomena, Springer-Verlag, 1990. Sec 26.2
- [²⁶] B. Pontecorvo, Sov. Phys. JETP, 26, 984–988, 1968.
- [²⁷] C. Jarlskog, Phys. Rev. Lett., 55, 1039, 1985.
- [²⁸] O. W. Greenberg, Phys. Rev., D32, 1841, 1985.
- [²⁹] I. Dunietz, O. W. Greenberg, and D. di Wu, Phys. Rev. Lett., 55, 2935, 1985.
- [³⁰.] D.-d. Wu, Phys. Rev., D33, 860, 1986.
- [³¹] L. Landau, Nucl. Phys., 3, 127, 1957.
- [³²] T. D. Lee and C. N. Yang, Phys. Rev., 105, 1671, 1957.
- [³³] A. Salam, Nuovo Cim., 5, 299, 1957.
- [³⁴] E. Majorana, Nuovo Cim., 14, 171–184, 1937.
- [³⁵] R. N. Mohapatra and P. B. Pal, Massive Neutrinos in Physics and Astrophysics, World Scientific, 2004, Lecture Notes in Physics, Vol. 72.

- [۳۶] P. Langacker, Phys. Rep., 72, 185, 1981.
- [۳۷] S. Weinberg, Phys. Rev. Lett., 43, 1566–1570, 1979.
- [۳۸] F. Wilczek and A. Zee, Phys. Rev. Lett., 43, 1571–1573, 1979.
- [۳۹] S. Weinberg, Phys. Rev., D22, 1694, 1980.
- [۴۰] H. A. Weldon and A. Zee, Nucl. Phys., B173, 269, 1980.
- [۴۱] G. Costa and F. Zwirner, Riv. Nuovo Cim., 9N3, 1–134, 1986.
- [۴۲] C. Giunti, J. Phys. G: Nucl. Part. Phys., 34, R93–R109, 2007, hep-ph/0608070.
- [۴۳] U. Amaldi, W. de Boer, and H. Furstenau, Phys. Lett., B260, 447–455, 1991.
- [۴۴] J. R. Ellis, S. Kelley, and D. V. Nanopoulos, Phys. Lett., B260, 131–137, 1991.
- [۴۵] P. Minkowski, Phys. Lett., B67, 421, 1977.
- [۴۶] T. Yanagida, 1979, Workshop on the Baryon Number of the Universe and Unified Theories, Tsukuba, Japan, 13–14 Feb 1979.
- [۴۷] M. Gell-Mann, P. Ramond, and R. Slansky, 1979, In “Supergravity”, p. 315, edited by F. van Nieuwenhuizen and D. Freedman, North Holland, Amsterdam.
- [۴۸] R. N. Mohapatra and G. Senjanovic, Phys. Rev. Lett., 44, 912, 1980.
- [۴۹] C. Giunti, C.W. Kim, J. A. Lee, and U.W. Lee, Phys. Rev., D48, 4310–4317, 1993, hep-ph/9305276.
- [۵۰] G. Altarelli and F. Feruglio, Phys. Rep., 320, 295–318, 1999, hep-ph/9905536.
- [۵۱] K. Kanaya, Prog. Theor. Phys., 64, 2278, 1980.
- [۵۲] J. Schechter and J. W. F. Valle, Phys. Rev., D25, 774, 1982.
- [۵۳] S. A. Bludman, D. C. Kennedy, and P. G. Langacker, Phys. Rev., D45, 1810–1813, 1992.
- [۵۴] S. Nussinov, Phys. Lett., B63, 201–203, 1976.

[۵۵] L. Wolfenstein, Phys. Rev., D18, 958–960, 1978.

[۵۶] I. Dunietz, O. W. Greenberg, and D. di Wu, Phys. Rev. Lett., 55, 2935, 1985.

[۵۷] علی‌اکبر دهخدا، لغتنامه دهخدا، جلد ۷، چاپ اول از دوره جدید بهار ۷۳، مؤسسه انتشارات دانشگاه تهران

Abstract:

For a long time, it was believed that neutrinos were massless, spin-half particles, making them drastically different from their other standard model spin-half cousins such as the charged leptons (e , μ , τ) and the quarks (u , d , s , c , t , b), which are known to have mass. In fact, the masslessness of the neutrino was considered so sacred in the 1950s and 1960s that the fundamental law of weak interaction physics, the successful V-A theory for charged current weak processes proposed by Sudarshan, Marshak, Feynman and Gell-Mann, was considered to be intimately linked to this fact. The argument went as follows: a massless fermion field equation is invariant under the γ_5 transformation; since the neutrino is one such particle and it participates exclusively in weak interactions.

The accumulating evidences for neutrino mass from the solar and atmospheric neutrino data compiled in the 1990s and still are ongoing. However the possibility of a nonzero neutrino mass at phenomenological level goes back almost 1970s. In the context of gauge theories, they were discussed extensively in the 1970s and 1980s long before there was any firm evidence for it.

The existence of a nonzero neutrino mass makes neutrinos more like the quarks, and allows for mixing between the different neutrino flavors leading to the phenomenon of neutrino oscillation. More importantly, the simple fact that neutrino masses vanish in the standard model implies that evidence for neutrino mass is solid evidence for the existence of new physics beyond the standard model.

The standard model itself is based on the gauge group $SU(2)_L \times U(1)_Y$ and neutrinos are massless particles within it.

Existence of many observed evidences for neutrino masses besides other problems of standard model implies that one must seek physics beyond the standard model to explain them. This does not necessarily mean going beyond the gauge group of the standard model. Standard model is very successful in describing many phenomena. Even with the same gauge group as the standard model, one can make models so that the model predicts massive neutrinos. In this thesis, I will discuss some such simple modifications of the standard model to describe the massive neutrinos.

KeyWords: Neutrino mass,

$SU(2)_L \times U(1)_Y$ groups,

Non-conservation of total lepton number



Shahrood University of Technology

Faculty : Physics

Particle Physics

Neutrino Mass in $SU(2)_L \times U(1)_Y$ Models

Student: Hamidreza Rezazadeh

Supervisor: Prof. Ali Akbar Rajabi